



مكتبة جامعة حلب
كلية الآداب والعلوم

الفيزياء الحرارية الاحصائية

الدكتور

عبد القادر حريري

الدكتور

عصام سفريني

مكتبة الكتب والمطبوعات الجامعية

١٤١٩ هـ - ١٩٩٨ م

لطلاب السنة الثالثة

ف ٠ ك

بسم الله الرحمن الرحيم

المقدمة

الفيزياء علم دراسة الطبيعة وكما، ظواهرها، يسعى الى فهم هذه الظواهر وكشف أسرارها والبحث عن القوانين التي تتحكم فيها . ولا ريب أن الانسان منذ أقدم العصور قد سعى حثيثا بمراقبته لهذه الظواهر لوضع القوانين الاساسية لها ولعل من أهمها قوانين نيوتن الثلاثة والتي تعتبر أساسا للميكانيك الكلاسيكي المعروف والخاص بدراسة حركات الاجسام في الطبيعة . وكما نعلم هذه القوانين تسمح لنا بتحديد زمان ومكان حركة أي جسم في الماضي أو المستقبل اذا علمنا موضعه ومكانه في لحظة ما . وهذا ما يعرف بمبدأ الحتمية في الميكانيك الكلاسيكي (التقليدي) .

لا ريب أن كافة الظواهر الطبيعية منذ أقدم العصور قد تم تفسيرها استنادا الى مفهوم ميكانيكي لانه أقرب المفاهيم الى حواس الانسان لما لحركة الاجسام في حياته من أثر (حركة سقوط الاجسام - حركة المشي - التدرج وما شابه ذلك مما يلاقيه الانسان في حياته اليومية) . وفي كل هذه الحركات يظهر مفهوم " الاستمرار " ، استمرارية الحركة خلال زمن تطبيق قوة التأثير مثلا . لذا سعى الانسان الى تفسير كافة الظواهر الطبيعية وفق نفس الطريقة من التفكير وكان الظواهر الطبيعية ما هي الا حوادث مستمرة في طبيعتها ، ويتلخص هذا المفهوم بأن :

" كل الظواهر الفيزيائية يمكن ردها الى أسباب ميكانيكية لانها قابله للتفسير بعبارات الحركات الموهثرة على فترات الجسم الداخلة في الظاهره المدروسه " .

فالضوء مثلا انما هو عبارة عن حركة اهتزازية لامواج مرنة " هكذا قال كريستيان هوجنز Hugen في موسوعته عن الضوء التي ظهرت عام 1690 ، وذلك بدءا من التجارب التي لاحظها، وتلك التي كانت معروفة مسبقا عن الضوء في عصره . وهذا التفسير لا زال الى يومنا هذا صالحا نسبيا . وقد كان لهوجنز هذا فكرة واضحة عما يمكن لنظرية أن تقدم الى علم الفيزياء :

" ان نظرية مبنية على عدد من المبادئ يمكن اعتبارها مبرهنة عندما تكون النتائج المستخلصة من هذه المبادئ في اتفاق تام مع الظواهر التي نعرفها بالتجربة وبشكل خاص اذا كان عددها كبيرا، وخاصة أيضا اذا تصورنا ظواهر جديدة تتفق والفرضية المطروحة ويلاحظ أنها تنطبق مع ما يُنتظر وفقا لهذه النظرية " .

ان هذا التفكير يوحي بأن علم الفيزياء هو علم بحيث يجب أن يسمح لنا بالتنبؤ . فاذا كانت النظرية شاملة، فان كل التجارب المعروفة لدينا او تلك التي قد تظهر في المستقبل سيمكن تفسيرها استنادا الى هذه النظرية وإلا فانها لا تعتبر صالحة . لقد اعتقد هوجنز ان من المسموح له أن يأخذ بعين الاعتبار عدد صغير فقط من التجارب فكانت بذلك قدراتها البرهانية محدوده نسبيا . ولكن الحال تغيرت عندما جاء فريزل (1788- 1827) بتجاربه على ظواهر التداخل والانكسار التي دلت على الطبيعة الموجية للضوء، عندها طُرح السؤال ال فيصل اذا كانت التهربية تهربية

أيضا وجود حركة موجية "ميكانمكية" كسبب للضوء . لم يكن
لفرينل أي سبب للشك في ذلك . في ذلك العهد لم تكن الامواج
الكهرطيسية معروفة بعد ، ولم تكن تعرف سوى الامواج الميكانيكية
المحدثة باضطراب في وسط مادي . فلم البحث عن سبب الضوء في مجال
آخر وخصوصا أن هذا التفسير الميكانيكي يكفي لتفسير كل التجارب
والظواهر الضوئية المعروفة في ذلك الوقت ؟

من المدهش فعلا اليوم ان فرينل استطاع أن يقوم بهـذا
البرهان . ذلك أن الضوء يقوم في الواقع على ظاهرة كهرطيسية وليس
على ظاهرة ميكانيكية . فهل يعني ذلك أننا نستطيع أن نقيم نظرية
صحيحة من الضوء دون حاجة الى معرفة ما هو الضوء ؟

إذا استطعنا أن نجيب بصورة مُرضية على هذا السؤال فإن
جزءا كبيرا مما قد يبدو لنا للوهلة الاولى غريبا في الفيزياء
الكوانتية ، التي سنتعرض لنتائجها في هذا الكتاب ، سيكون أقل
غرابة بكثير مما بدا لنا أول الامر .

ان الفيزيائي يفحصه لمجموعة من الظواهر يصل دوما الى
معرفة التركيب للظاهرة الاساسية التي يدرسها . يعزى هذا التركيب
الى ما يتبقى من الظاهرة عندما يُطرح منها جانبها كل ما لا يمكن
قياسه ، وبالتالي ما لا يعبر عنه بعدد ، تبقى عندها علاقة
أو عدة علاقات بين المقادير القابلة للقياس - أو بقول آخر قانون
قابل للتطبيق على هذه المقادير . ما نريد أن نصل اليه هو أنه
ليس من المجدي معرفة ما يستتر خلف مجموعة معطاة من الظواهر كي
نكشف عن تركيبها . ذلك لان الفيزيائي يترك جانبا كل ما هو غير

ممکن على القياس . لناخذ الحالة الكثيرة الفائدة لنا وهي حالة الضوء . ماذا عرف فرينل ؟ ان شدة الاضاءة هي ما يمكن قياسه في الضوء وانها تظهر في تجارب التداخل في نقطة ما وعند لحظة ما ، فاستدل أن شدة الاضاءة تابعة للمكان وللزمان . قام فرينل بقياسها بعناية وهيا من ذلك قانونا يتفق بصورة قاطعة ودقيقة مع ما يساويه من أجل حركة موجية في وسط مرن . وبعبارات اخرى برهمن بالتالي على أن الضوء يتبع لنفس التركيب الذي لحركة موجية أو بقول أبسط إن الضوء هو " حركة موجية .

هذا البرهان يبقى صحيحا فقط حين نرده الى معارف فرينل من التجارب التي كان يعرفها آنذاك ، في الواقع اذا اتفقت ظاهرتان في نفس التركيب ، فهما اجمالا متطابقتان بالنسبة للفيزيائي لانه لا تكشفان له عن أية سمات تسمح له بالتمييز بينهما .

أما لماذا تركت جانبا النظرية الميكانيكية للضوء لصالح المفهوم الكهرطيسي فذلك لان تجارب اكثر تطورا بينت أنه وان يكن هناك تشابه في التركيب بين الضوء والامواج المرنة الميكانيكية فان هذا التشابه لم يكن تاما ، ولما كانت الظواهر الكهرطيسية قد اكتشفت فقد تبين فيما بعد ان الضوء ظاهرة موجية كهرطيسية . أما الملامح التركيبية التي ربطت بين ظاهرة الضوء والكهرطيسية فهي تعود أساسا الى علاقة ماكسويل التي تنص على أن شدة الانكسار في وسط ما تعتمد على قيم بعض الثوابت المميزة للسلوك الكهرطيسي لهذا الوسط .

إذا كان الضوء قد توقف من مساعدة المفهوم الميكانيكي للطبيعة فان هذا المفهوم قد عانى الكثير من الظواهر الحرارية التي ردت الى حركات عشوائية غير منتظمة لذرات وجزيئات . ولم يعد

بالامكان تفسير الحرارة بمفهوم ميكانيكي منذ أن بين خوليوس ماير و هلمهولتز أن الحرارة ليست بمادة وانما طاقة . عندها أمكن تصور أن جزيئات الغاز مثلا تتحرك وتتصادم فيما بينها بصورة عشوائية وأن صدمها لجدران الوعاء الذي يحتويها ينتج ضغطا هو ضغط الغاز .

منذ تلك اللحظة اصبح تفسير كل الظواهر المرتبطة بالحرارة بعبارات مادية سهل التصور . ولعل هذا هو الانجاز الكبير الذي قدمته النظرية الحركية الحرارية التي بقيت صالحة الى يومنا هذا لتكون أنموذجا غالبا في تفسير الكثير من ظواهر الفيزياء الحديثة المجردة . هذه الكمالية تعود الى واقع ان هذه النظرية تتجنب الاستثناء وتسمح بالاعتقاد أن كل الظواهر الطبيعية تخضع الى ضرورة منطقية . ان لغاز ما خاصية أن يطبق على جدران الوعاء الذي يحتويه ضغطا متزايدا عندما يُسخن او يُضغط . لماذا ؟ ليس في الواقع ما هو اوضح من التفسير الذي تعطيه النظرية الحركية . ان الضغط يحدث نتيجة حركة الجزيئات التي تصدم الجدران . فرفع درجة الحرارة يؤدي الى زيادة قوة الصدم على الجدران ، بينما تناقص الحجم يزيد من التركيز ، وفي كلتا الحالتين تزداد شدة الضغط .

ان هذا تفسير يبدو واضحا بصورة تامة ويسمح بالاعتقاد أنه يجب ان يرفي شخصا لم يدرس الفيزياء على الاطلاق خلال حياته . وهو يتخذ نفس اتجاه تفكير هوجنز بأنه " يجب فهم اسباب جميع الظواهر الطبيعية بتعابير الميكانيك " .

ان التمثيل الميكانيكي في الواقع لا يمدنا بفهم - ان صح التعبير - وانما بتمثيل مادي Concrète للظواهر الحرارية . ان السمة المادية لنظرية ترضي النفوس لدرجة أنها تستطيع ان تفل تفكيكاً فيزيائي لامع كهوجنز بحيث وجب في هذه الحالة ، الانتظار قرنين من الزمان كي يحل بدلا من نظريته تفسير حقيقي .

اذا كانت فائدة النظرية الحركية أمرا جليا ، فان فائدة التمثيل المادي ينبغي الا تكون أمرا زائدا عن حده . ان الغاية من نظرية ما هي دوما لهم الظواهر الملاحظة بوساطة مجموعة من القوانين الطبيعية (الفيزيائية) ؛ فكلما قل عدد هذه القوانين ، كانت النظرية أفضل في تحقيق الغاية المرجوة منها . وبالتالي بين نظريتين متنافستين في تفسير ظاهرة ما ، تكون الافضلية لتلك التي تحوي أقل عدد ممكن من القوانين . هناك نظريتان متنافستان للظواهر الحرارية : النظرية الترموديناميكية والنظرية الحركية . كلتاهما تعتبر أن الحرارة طاقة . الا أن الاولى لا تعين لنا أكثر من السمة Caractère ، في حين أن الثانية ترى حركة عشوائية لجزيئات وذرات . هذا القانون الاخير هو اذا الأكثر اقتصادا لانه يأخذ بعين الاعتبار مجمل الحوادث الحرارية مع عدد أقل من تلك التي يتطلبها الترموديناميك . لناخذ كمثال على ذلك حالة التوازن لغاز ما ، وهي تتعين بعلاقة بين الحجم والضغط ودرجة الحرارة تعتبرها النظرية الترموديناميكية كعلاقة يجب ان نقبل بها دون ردها الى أي مفهوم آخر ، في حين أن النظرية الحركية تسمح " بشرح " حالة التوازن هذه اذ تتبع هنا مبادئ الميكانيك ، وبالتالي ليس لها مقام قانون محدد . اضافة الى انها تفصح عن علاقات وبالتالي تراكيب الظواهر

التي لا تظهر على الإطلاق في النظرية الترموديناميكية وتبيان القيم الصحيحة للحرارة النوعية لبعض الغازات التي تعجز عنها النظرية الترموديناميكية . ولعله يمكن للفيزياء الميكانيكية ان تعتبرها نصرا كبيرا لها .

قوانين النظرية الحركية الحرارية كقوانين احصائية :

بيد أنه لا ينتج مما سبق مع ذلك أن الحرارة تظهر كطاقة ميكانيكية فقط في النظرية الحركية . لا شك أن ما قدمته هذه النظرية كان مصيريا ، الا أنها أشارت مباشرة مشكلة التطبيق . اذا اردنا أن نتداول بالدراسة جملة مادية معطاة استنادا الى قوانين الميكانيك ، فانه يجب معرفة الحالة البدائية للجملة بشكل دقيق أي معرفة مكان وسرعة كل جزء من أجزاء الجملة . في هذه الحالة فقط يمكننا أن نخمن الحالة النهائية لهذه الجملة . ومع ذلك فانه لا يمكن هنا أن نحدد امكنة وسرعات عدد غير قابل للعد من الجزيئات التي يحتويها جسم ماكروسكوبي . بمجرد قيامنا ببعض القياسات الدقيقة نرى أن هناك احتمالات متنوعة ومتعددة الى ما لا نهاية ستبقى موجودة فيما يخص الحالة الميكروسكوبية للجملة . يوافق كل من هذه الاحتمالات حالة نهائية مختلفة ؛ وبعبارة أخرى ان عينة نختارها للحالة البدائية لجسم ماكروسكوبي لا تسمح لنا الا بتنبؤات فيها ليس من حالته المستقبلية . ان مبدأ الحتمية الذي ينسب على أن نفس السلسلة من الحالات المتعاقبة ينبغي بالضرورة ان تنتج بدءا من نفس الحالة البدائية (الماكروسكوبية) ، هذا المبدأ لم تعد له قيمة من أجل جملة تتألف من عدد كبير جدا من الجزيئات . وهذا

لا يناقض من حيث المبدأ وجهة النظر التلديدية التي يقوم عليها الفيزياء الكلاسيكي ، ولكن يُفسر بعدم قدرتنا على معرفة دقيقة للحالة الميكروسكوبية للجملة ، شرط بحيث ان غيابه لا يسمح لنا بأية تنبؤات .

~~وقد وجدنا بالتحليل ان نظرية فيزيائية لا تكون صالحة~~
ما دامت لا تسمح لنا بالتنبؤات . فكيف يمكن للنظرية الحركية الحرارية أن تستجيب لهذا الشرط في حين انها لا تسمح بتحديد دقيق لحالة الجملة المدروسة ؟ لا توجد هنا سوى امكانية وحيدة وهي أن نستعين بطريقة " احصائية " وأن نعمل وفق الخطة النهجية المستخدمة في الميكانيك الكوانتي من أن جملة معطاة يمكن ردها دوما الى نفس الحالة البدائية الماكروسكوبية باستخدام عدد كبير من الطررق تمر الجملة في كل منها بحالات مختلفة . نعين الحالة الماكروسكوبية عند لحظة ما ونسجلها وبالتالي يمكننا أن نتبع طريقة العيننة الاحصائية لعدد الحالات التي تقع فيها الجملة فننتبين ما هو الاحتمال في أن تقع في أية حالة أو حالة . وإذا أمكن بتجارب مناسبة لكل حالة بدائية ممكنة ادخال الزمن في حساباتنا الاحصائية ~~هذه هي المقام~~ بتنبؤات مستقبلية للجملة . بالطبع ستكون تنبؤات مجردة من كل حتمية ، كل ما يمكننا التنبؤ به هو أنه اعتباراً من حالة معطاة للجملة ما هو احتمال أن يحدث أي حدث أو حدث عند لحظة ما لاحقه ، وبقول آخر لا توجد حتمية مطلقة وانما " حتمية احصائية " .

بهذا الشكل اتخذت النظرية الحركية لها اتجاهها احصائي

بشكل أساسي ان لم يعد لتنبؤاتها سمة الحتمية ولكن فقط سمة
احتمالية . ولكن يجب ان نلاحظ هنا أنها لم تدفع بذلك شكاً حول وجود
حتمية دقيقة ، فهي لم تشكك في أن حركات الجزيئات داخل جملـة
غازية تخضع لقوانين الميكانيك وبالتالي فهي محددة بدقة رغم أنه
ما من أحد استطاع متابعة هذه الحركات المحددة ؛ وهذا يجبر
الفيزياء على القبول بوصف احصائي لحالات الغاز ، وبذلك سعت هذه
النظرية الى اتباع طريقة نستخدمها في كل مرة لا تكون الجملة فيها
معروفة بصورة كاملة . كمثال على ذلك حالة شخص يريد ان يقيم عقد
تأمين على حياته . ان شركة التأمين تجهل تماماً كم من الوقت
سيعيش أيضاً هذا الشخص . فهو قد يموت اليوم وقد يحتفل بعيد
ميلاده . المثوي . ومع ذلك فان عدم المعرفة هذا لا يمنع شركة التأمين
من أن تقيم العقد وتوقعه . في الواقع ان الشركة تعتمد على
احصائية تعلمها بعدة الحياة المحتملة لشخص ذي ~~من~~ وبدءاً من
هذه المعلومات يمكن للشركة ~~أن~~ ~~تحدد~~ ~~المبلغ~~ ~~الذي~~ يتبغي على هذا
الشخص دفعه . بعض الحالات تؤدي الى خسارة ولكن في المتوسط سيكون
هناك ربح .

حلب ١٤ شباط ١٩٩٠

المؤلفان

الفصل الأول

مباوى نظرية الاحتمالات

الغاية من هذا الفصل طرح مشكلة الجمل المؤلف من عدد كبير من الجسيمات وتقديم العناصر الضرورية لحلها وحيث نقدم من جهة ثانية لغة خاصة بهذا النوع من المحاكمات التي يسهم استيعابها بشكل كبير في فهم بقية الفصول .

1.1- الجمل - المقادير الماكروسكوبية والميكروسكوبية :

نعلم أن الوصف المعتاد للمادة يقوم على افتراض أنها مؤلفة من عدد كبير من الجسيمات . هذا التركيب الداخلي لا يكشف عنه على الإطلاق بالملاحظات البسيطة التي يمكننا أن نقوم بها، ومع ذلك فإن هذا التركيب هو المسؤول عن مختلف الخصائص المألوفة للطبيعة كالتمدد والتميع الى آخره . من الضروري إذن أن نشرح مثل هذه الخصائص التي نلاحظها عندما تكون المادة بكمية محسوسة بالنسبة لنا، وبقول آخر بكمية ماكروسكوبية وذلك باستخدام نظرية جزيئية .

إن كلمة جزيئة المستخدمة هنا يجب أن نأخذها بمعناها الواسع، يقصد بها عموماً العناصر الدقيقة من المادة والتي يقبل الفيزيائي

بها في محاكماته العلمية والتي يجب اعتبارها ككمية ميكروسكوبية غير محسوسة على المعيد الانساني . واستنادا الى الفرضية المطروحة فان هذه الكميات الميكروسكوبية تكون مختلفة : فنظرية انضغاط الازوت الغازي تقوم على اعتبار الغاز مؤلفا من جزيئات آزوت غير قابلة للتحطيم ، ونظرية انتقال الكهربائية عبر نفس هذا الغاز تتطلب اقتراح وجود الايونات والالكترونات والذرات بشكل حر الى جانب الجزيئات وناتجة عن تفككها .

وبالتالي يوجد من أجل كل ظاهرة ماكروسكوبية كمية ميكروسكوبية من المناسب اختيارها كمركب أولي للمادة . ونستخدم في كل ما يلي تعبير جسيمة أو جسيم كيلا يختلط على القارئ مفهوم الجزيئة الكيميائية مع المفهوم الذي شرحناه .

عموما ، من أجل وصف ظاهرة فيزيائية ما نقرن مقدارا أو عدة مقادير بهذه الظاهرة ، وتدعى هذه المقادير المميزة للحالمة الماكروسكوبية للظاهرة المدروسة "مقادير ماكروسكوبية" ، وغالبا ما تسمى "مقادير ترموديناميكية" . وقد يكون لبعضها اضافة الى المعنى الترموديناميكي معنى ميكانيكي بحث ومثال ذلك الطاقة .

1.2- الحاجة الى دراسة احصائية :

تتألف الجملة الفيزيائية في الحالة العامة اذن من عدد كبير من الجسيمات . فاذا فرضنا أننا نعلم الحالة البدائية لكل منها مع كافة القوى التي تخضع لها كل من هذه الجسيمات ، فإن معادلات الميكانيك تسمح لنا عموما بتحديد موضع كل جسيمة عند لحظة

ما ٤ . وبالتالي التنبؤ بمراحل تطورها خلال الزمن .

في الواقع ان مسألة كهذه حيث يوجد عدد كبير من الجسيمات غير قابلة للحل عمليا بسبب العدد الهائل للمتحولات التي يجب أن نأخذها بعين الاعتبار . حتى لو افترضنا ان كافة القوى الداخلية للجملة - بين الجسيمات - معلومة فإنه من المستحيل بالنسبة لنا أن نعين في كل لحظة كلا من الموضع والسرعة لكل جسيم . أضف الى ذلك أنه قبل السعي لحل هذه المسألة يمكننا أن نتساءل فيما اذا كان هذا الحل ضروريا وفيما اذا كان حقا مجديا بالنسبة لنا في وصف الظواهر الماكروسكوبية للجمال . الجواب هو النفي وضوحا فنحن نهتم فقط بالقيم الوسطى للظواهر الماكروسكوبية أي بخصائص جماعية للجزيئات وليس بخصائص كل جزيئة على حده . وهكذا فمن اجل دراسة جمال موهلة من أعداد كبيرة من الجسيمات سيكون من الضروري الاعتماد على ميكانيك يحقق ما يلي :

١- أن نقبل بوجود ارتياب حول الحالة الملاحظة . بمعنى أن لا نبحث عن تعريف حالة للجملة بصورة مؤكدة وانما عن حالة محتملة لها .

٢- ان يسمح لنا بالتنبؤ عن تطور محتمل لهذه الحالة خلال الزمن .

ان وصفا كهذا يجب ان يربط بالاعتبارات الميكانيكية اعتبارات احتمالية ونسمى عندها هذا العلم " الميكانيك الاحصائي " . وتؤلف دراسة الظواهر الترموديناميكية باستخدام الميكانيك الاحصائي موضوع الفيزياء الحرارية الاحصائية التي سنعالجها في هذا الكتاب .

سنحتاج اذن الى بعض مفاهيم الاحتمال في تفسير الظواهر
الحرارية اعتمادا على الميكانيك الاحصائي لذا سنقوم بطرح موجز
لهذه المفاهيم خلال الفترات القادمة .

1.3-قوانين الاحتمال :

1.3.A- تعريف الاحتمال

لو ألقينا بقطعة نقود في الهواء فاننا لا نعلم مسبقا أن
سقوطها سيعطينا كتابة أو نقشا . ان ظهور الكتابه أو النقش
بالنتيجة سيكون ممكنا بصورة متساوية . نقول اننا أزاء حادثة
عشوائية . فاذا كان موءكدا ان حادثة ماستعطينا بالنتيجة القيمة x
فاننا نعبر عن ذلك بقولنا ان احتمال وجود هذه النتيجة ، وسنرمز
لذلك بالرمز $P(x)$ ، يكون مساويا الواحد : $P(x)=1$. أما اذا كان
موءكدا أن النتيجة المحددة x سوف لن تظهر يكون $P(x) = 0$ (حدث
مستحيل) . وحين لا نكون متأكدين من النتيجة فان الاحتمال سيكون
عددا مثل P حيث $0 < P < 1$ ونسمى x مقداراً عشوائياً .

بالتعريف ، ان احتمال وقوع الحدث x يساوي نسبة عدد
المرات N التي يظهر بها هذا الحدث (ونسمى عدد الحالات المرغوب
فيها) الى العدد الكلي N للحالات الممكنة الحدوث للحدث x
باعتبارها متساوية الاحتمال ، أي :

$$P = \frac{n}{N} \quad (1.1)$$

فاذا كان $n=N$ يتحول الاحتمال الى تأكيد : $P = 1$

1.3.B - الاحداث المتنافية :

نقول عن حدثين A و B انهما متنافيان اذا كان وقوعهما معا هو حدث مستحيل . ويكون احتمال وقوع الحدث المنافي لوقوع الحدث x ، ولنرمز له بـ q ، مساويا :

$$q = \frac{N-n}{N} = 1 - p \quad (1.2)$$

ويسمى هذا الاحتمال أيضا بالاحتمال المعاكس ، وينتج أن :

$$q + p = 1 \quad (1.3)$$

مثال : بفرض أننا نرغب الحصول على النقش في تجربة القاء قطعة النقود فاذا القينا القطعة عددا من المرات $N=5$ وكان عدد مرات ظهور النقش $n=2$ مرة . كان $P = \frac{2}{5}$ و $q = \frac{3}{5}$

1.3.C - الاحتمال الاحصائي :

ان لتعريف الاحتمال المعطى فيما تقدم عيوباً كثيرة منها أنه يقصر عن دراسة التجارب ذات الامكانات المختلفة في فرض ظهورها . كما أنه يعجز عن اعطائنا مثلاً احتمال نجاح مرشح في انتخابات معينة . لذلك يعرف الاحتمال أحيانا عن طريق الاحماء وذلك بالاعتماد على ما يسمى بالتردد النسبي كما يلي :

إذا كررنا تجربة ما تحت نفس الشروط عددا كبيرا قدره N من المرات وكان عدد مرات ظهور الحدث A المطلوب بالنتيجة هو n مرة فاننا نسمي العدد $\frac{n}{N}$ بالتردد النسبي للحدث A وهو يساوي تقريبا احتمال وقوع الحدث A .

وهكذا فان التعريف الاحصائي لاحتمال وقوع الحدث A ينص على أن احتمال وقوع الحدث A ونرمز له بالرمز W يعطى بالعلاقة :

$$W = \lim_{N \rightarrow \infty} \frac{\bar{n}}{N} \quad (1.4)$$

ويجب ملاحظة أن التعريف الاحصائي للاحتمال هو الآخر غير كاف لبناء النظرية العامة للاحتمال لان التردد النسبي يعطي في الحقيقة قيمة تقريبية للاحتمال ولا يمكننا ، احصائيا ، أن نصل الى نهاية النسبة $\frac{n}{N}$ عندما تسعى N الى اللانهاية ، كما أن هناك بعض التجارب التي لا يمكن ان نكررها عددا كبيرا من المرات تحت نفس الشروط ومع ذلك سنعتبر فيما يلي انه بتكرار التجربة عددا كبيرا من المرات فان الاحتمال الاحصائي " التجريبي " يصبح قريبا جدا من الاحتمال النظري المعطى بعلاقة التعريف المذكورة أعلاه .

إذا كانت النتيجة أو الحدث المطلوب تابعا للزمن فإن الاحتمال النسبي لحصول هذا المقدار على قيمة معينة x يساوي :

$$W = \lim_{t \rightarrow \infty} \frac{\Delta t}{t}$$

حيث Δt مجموع الفترات الزمنية التي يأخذ بها المتحول

(العشوائي) القيمة x المطلوبة وذلك خلال زمن الملاحظة الكلي t .

1.3.D - الاحتمالات المركبة أو المشروطة : قاعدة جداء الاحتمالات :

إذا اقتضى لتحقيق حادثة ما حدوث حدثين A و B معا فإن

احتمال حدوثها ، $P(AB)$ ، يكون مساويا جداء احتمال حدوث الحدث

A ، $P(A)$ ، في احتمال حدوث الحدث B شريطة وقوع الحدث A ، ونرمز

لذلك بالرمز $P(B/A)$ أي

$$P(AB) = P(A) \cdot P(B/A)$$

ويكون أيضا :

$$P(AB) = P(A/B) \cdot P(B)$$

حيث $P(A/B)$ هو احتمال حدوث الحدث A شريطة حدوث B .

1.3.B- الاحتمالات الكلية أو الشاملة : قاعدة جمع الاحتمالات :

عندما يمكن لحادثة مرغوب فيها أن تتم بعدة طرق مختلفة بصورة مستقلة احداها عن الاخرى (غير منسجمة) ، فان احتمال حدوثها يكون مساويا لمجموع الاحتمالات الموافقة لكل من هذه الطرق .

ينتج مما تقدم أن دراسة الاحتمالات ومعرفة احتمال وقوع حدث ما يتطلب معرفة عدد الامكانات وعدد عناصر الحدث المدروس وهذا يستدعي معرفة جيدة بمبادئ العد الاساسية والمفاهيم الاولى لما يسمى بالتحليل العددي لذا سنتطرق في الفقرة القادمة الى بعض اساسيات هذا العلم الضرورية لدراسة الاحتمال والاحصاء .

1.4- بعض القواعد الاساسية في الحساب العددي :

1.4.A- قاعدة $n \times m$:

إذا كان لدينا مكانان شاغران وكان بالامكان ملء المكان الاول بـ n من الطرق . وملء المكان الثاني بـ m من الطرق فانه يمكن ملء المكانين بـ $n \times m$ من الطرق .

ويمكن تعميم هذه القاعدة على أكثر من مجموعتين .

1.4.B- قاعدة التبديلات الممكنة (أو التبادلات)

إذا كان لدينا n من العناصر المختلفة وأردنا ترتيبها على r من الامكنة فان عدد الطرق التي يمكن أن تتم بها عملية

الترتيب هذه وفق نظام محدد نسميها بعدد تبديلات n مأخوذة r منها
في وقت واحد .

في الواقع يمكن ملء المكان الاول بـ n طريقة لانه يمكن
اختيار أي من العناصر n لملء هذا المكان ، وبعد ملء المكان
الاول يبقى عندها $n-1$ عنصرا متميزا ، يمكننا اختيار أي منها لملء
المكان الثاني أي أنه يمكن ملء المكان الثاني بـ $n-1$ طريقة . وبصورة
مشابهة نجد أنه يمكن ملء المكان الثالث بـ $n-2$ طريقة والرابع بـ $n-3$
طريقة و والمكان r بـ $n-r+1$ طريقة .

ومنه فان عدد الطرق التي يمكن أن تتم بها عملية ترتيب
من العناصر المختلفة في r مكانا ولنرمز لها بـ P_r^n هو حسب
القاعدة السابقة (1.4.A) :

$$P_r^n = n(n-1)(n-2).....(n-r+1)$$

وبملاحظة أن

$$n! = n(n-1)(n-2).....x2x1$$

$$P_r^n = \frac{n!}{(n-r)!} \quad \text{نجد أن} \quad (1.5)$$

حيث نفع $0! = 1$

وينتج أن عدد التبديلات لـ n عنصر (التباديل) مأخوذة منها
 n عنصر في كل مرة يساوي :

$$P_n^n = n! \quad (1.6)$$

وإذا كانت العناصر n (التباديل) تحوي n_1 من العناصر
المتماثلة وعلى n_2 من عناصر أخرى متماثلة وعلى n_3 من نوع آخر

من العناصر المتماثلة و فان عدد التبديلات المختلفة (عدد الطرق المختلفة) التي يمكن الحصول عليها يساوي :

$$p_{n_1, n_2, n_3, \dots}^n = \frac{n!}{n_1! n_2! n_3! \dots} \quad (1.7)$$

$$n = n_1 + n_2 + n_3 \quad \text{حيث}$$

وهكذا نجد أن عدد تبديلات الاحرف الموجودة في كلمة

Statistiques هو :

$$\frac{12!}{3! 3! 2! 1! 1!} = 6652800$$

1.4.C - قاعدة المتوافقات (التراكيب)

في كثير من الاحيان لا يكون الترتيب هاما، انما يهمنا عدد الاختيارات الممكنة فقط بغض النظر عن ترتيبات كل اختيار .

نسمي متوافقة (أو تركيبا) لـ r عنصرا مأخوذه من n من الاشياء كل جملة مؤلفة من r عنصرا مأخوذه من الاشياء n المعطاة بغض النظر عن ترتيبها .

ينتج عن هذا التعريف أن متوافقة r عنصرا مأخوذة من n شيئا ولنرمز لها بالرمز C_r^n هي أحد اختيارات متبادلة r مأخوذه من n شيئا ، ومنه فان :

$$C_r^n = \frac{p_r^n}{r!} = \frac{n!}{(n-r)! r!} \quad (1.8)$$

وذلك لان كل متوافقة r عنصر ، لها $r!$ تبديلة لـ r عنصرا .
مثال ذلك لتكن r تمثل عددا من الكرات المتماثلة و n تمثل عددا .

من الضاديق التماثلة أيضا ، ولنغرض أن كل صندوق لا يتسع لأكثر من كرة واحدة وان عدد الضاديق أكبر أو يساوي عدد الكرات ($n \geq r$) لنحسب عدد التراكيب المختلفة الممكنة لتوزع الكرات على الضاديق .

عندما تتوزع الكرات r على الضاديق n فانها تملأ قسما منها ويبقى قسم آخر غير مملوء يساوي $(n-r)$. ان احتمال امتلاء كل صندوق من الضاديق n يساوي الواحد أو الصفر ذلك أنه إما أن يكون ممتلئا أو فارغا . لذلك فان الاختلاف في طرق توزيع الكرات على الضاديق سينتج عن تبديل الضاديق المملوءة بالضاديق الفارغة أما تبديل الضاديق الفارغة بضاديق فارغة أو الضاديق المملوءة بضاديق مملوءة فسيعطي نفس التوزيع .

ان عدد التوزيعات الممكنة لعدد من الكرات r على n صندوق يساوي $n!$ طريقة يكون من بينها $r!$ طريقة متشابهة ناتجة عن تبادل الضاديق المملوءة و $(n-r)!$ طريقة متشابهة ناتجة عن تبديل الضاديق الفارغة . فاذا رمزنا لعدد التبديلات المختلفة (التراكيب) بالرمز C فان عدد التبديلات الكلي $n!$ يساوي $C(n-r)!r! = n!$ ويكون عدد التبديلات المختلفة أو التراكيب يساوي :

$$C = \frac{n!}{(n-r)! r!}$$

ملاحظة : عندما تكون n كبيرة جدا يكون من الصعب حساب $n!$ لذلك يستخدم عددا تقريبا ستيرلنج Sterling التالي :

$$n! \approx \sqrt{2\pi n} \cdot n^n e^{-n} \quad (1.9)$$

حيث $e = 2.71828 \dots$ وهو أساس اللوغاريتم الطبيعي
كما ويمكن استخدام التقريب بشكله اللوغاريتمي التالي (أنظر

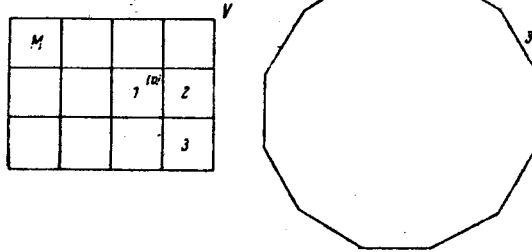
الملحق II)

$$\ln n! \approx n \ln n - n \quad (1.10)$$

1.5- تطبيقات :

1.5.A- التوزيع الشائى الحد : مثال : ترجمات كثافة غاز مثالي

ليكن لدينا غاز مثالي مؤلف من N ذرة في وعاء حجمه V .
نريد الحصول على بيانات حول عدد الذرات الموجودة في حجم جزئي
 τ من V . للتوضيح لنقارن هذه المسألة بلعبة الزهر نرد له $M = \frac{V}{\tau}$
من الوجوه مرقمة من 1 وحتى M . كل نرد يمثل جزيئة . فإذا كان
الرقم 1 للنرد نحو الأعلى نفترضه في الحجم الجزئي τ (شكل رقم
1-1) كل الوجوه متماثلة وتوافق حظوظا متساوية من أجل حجوم جزيئة
مختلفة .



الشكل رقم (1-1)

من أجل جزيئة واحدة ، ان احتمال أن توجد في τ - أي أن يكون
وجه النرد (1) نحو الأعلى - يعطى بالقيمة $\frac{1}{M}$ حسب تعريف
الاحتمال ويساوي $\frac{\tau}{V}$ ، واحتمال وجودها في أي حجم جزئي آخر غير τ
- أو أي عدد نحو الأعلى باستثناء 1 - هو $q = 1 - p$.

الآن اذا رمينا N من النرد وفتشنا عن احتمال وجود الذرات رقم 1 ورقم 2 و ورقم n في الحجم τ وبقية الذرات خارجه فان هذا الاحتمال يعطى حسب قاعدة الجداءات وقاعدة \max المتممة بالقيمة $p^n q^{N-n}$. ولما كان عدد الاختيارات الممكنة لـ n ذرة مختلفة مأخوذه من N يساوي حسب العلاقة (1.8) الى $\frac{N!}{(N-n)! n!}$ فان احتمال وجود n ذرة في الحجم الجزئي τ يساوي :

$$W(n) = \frac{N!}{(N-n)! n!} p^n q^{N-n} \quad (1.11)$$

ان احتمالا كهذا يجب أن يحقق دوما شرط التنظيم الى الواحد بالتعريف أي :

$$\sum_{n=0}^N W(n) = 1$$

أو على الشكل :

$$\sum_{n=0}^N \frac{N!}{(N-n)! n!} p^n q^{N-n} = (p+q)^N = 1^N = 1 \quad (1.12)$$

في كثير الاحيان يستفاد من هذه العلاقة الاخيرة في حساب احتمالات . وتمثل تابعا لمتحول هو n لذا تعرف مثل هذه العلاقات باسم توزيعات الاحتمال .

1.5.B- توزيعات الاحتمال :

ان الكمية $W(n)$ المعرفة بالعلاقة (1.11) تمثل كسرا أو جزءا من احداث وجود n ذرة في الحجم τ وذلك برمي النرد عددا كبيرا من المرات أو اذا صادفنا الرقم n في τ مرارا .

توزيعات الاحتمال كما هي في العلاقة (1.11) تبين من أجل

عدد N كبير سلوكا جد غريب ولكنه كثير التكرار في الميكانيكا

الاحصائي . لروية ذلك تناقش أولا الحالة $\tau = \frac{V}{2}$ او $p=q = \frac{1}{2}$

حيث قسمت V الى حجمين متساويين .

$$W(n) = \frac{N!}{(N-n)! n!} \frac{1}{2^N}$$

من أجل $n=0$ و $n=N$ فان الاحتمال $\frac{1}{2^N}$ $W(0) = W(N) =$

يكون صغيرا جدا . فالتوزيع يكون متناظرا بالنسبة للقيمة $n = \frac{N}{2}$

ويوجد له قيمة عظمى :

$$W\left(\frac{N}{2}\right) \approx \sqrt{\frac{2}{\pi N}}$$

حيث استخدمنا تقريب ستيرلنج (1.9) .

التوزيع $W(n)$ لا يمكن أن يمتد بعيدا جدا عن طرفي $\frac{N}{2}$

بسبب التنظيم $\sum W(n) = 1$. في الواقع من الممكن ملاحظة أن عرض

مجال التوزيع يجب ان يكون من مرتبة \sqrt{N} لكي يحقق متطلبات

التنظيم . ان العرض النسبي العائد الى القيمة الاكثر احتمالا

$\frac{N}{2}$ ، التي يقابلها ما يسمى التوزيع الاكثر احتمالا ، سيكون عندها

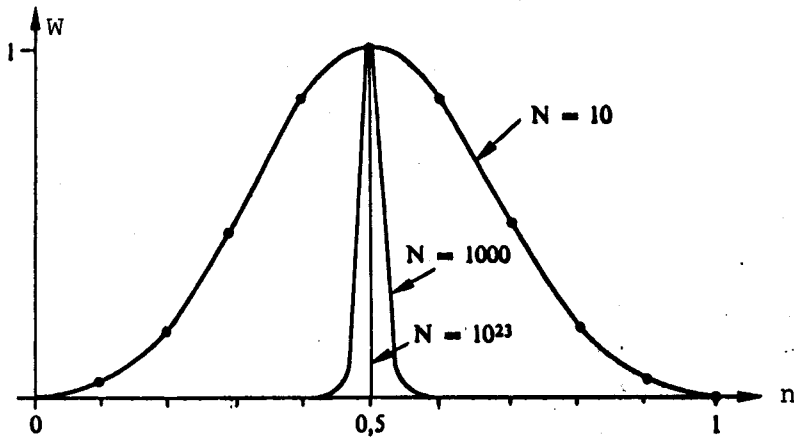
من مرتبة $\frac{1}{\sqrt{N}}$. مثال ذلك اذا اردنا ان نرسم $W(n)$ بدلالة n

من أجل $N=10^{20}$ على سلم خطي فان العرض النسبي سيكون من مرتبة

10^{-10} ، ومن الواضح انه مهما كانت ورقة الرسم عريضة فـ

التوزيع ينطبق الى خط مستقيم (الشكل رقم 1,2) ، وهذا يعني

أننا سنجد دوما n قريبة جدا من $\frac{N}{2}$.



الشكل رقم (1.2)

1.5.C-القيم الوسطى :

لكي نناقش بصورة أكثر كمية ما عالجنه في الفقرة السابقة

نحسب متوسط n المعروف بالعلاقة :

$$\bar{n} = \frac{\sum_n nW(n)}{\sum_n W(n)}$$

أي

$$\bar{n} = \sum_n nW(n) \quad (1.13)$$

وذلك باستخدام شرط التنظيم .

هذا المتوسط سهل الحساب ، فالمعادلة :

$$\sum_n W(n) = \sum_n \frac{N!}{(N-n)!n!} p^n q^{N-n} = (p+q)^N \quad (1.14)$$

محققة مهما كانت p و q فإذا اعتبرنا للحظة أن p و q مستقلة

عن بعضها فانه يبرهن رياضيا أن موثر الاشتقاق $p \frac{\partial}{\partial p}$ يولد فقط المعامل n في المجموع Σ عند التأثير أي :

$$p \frac{\partial}{\partial p} p^n = n p^n$$

ونحصل بالنتيجة على :

$$\bar{n} = \sum_n n W(n) = p \frac{\partial}{\partial p} (p+q)^N = Np (p+q)^{N-1}$$

ومن أجل $p+q=1$ فإن $\bar{n}=Np$ (حيث $\bar{n} = \frac{N}{2}$ في الحالة التي ناقشناها في الفقرة السابقة) .

1.5.D - التشتت (الترجحات)

كمية أخرى هامة مميزة لعرض مجال التوزيع هي التشتت (Variance) أو الترجح التربيعي الوسطي ونعرفه كمتوسط القيمة

$$\begin{aligned} \overline{(n-\bar{n})^2} &= \overline{n^2 - 2n\bar{n} + \bar{n}^2} = \overline{n^2} - 2\bar{n}\bar{n} + \bar{n}^2 \\ \overline{(n-\bar{n})^2} &= \overline{n^2} - \bar{n}^2 \end{aligned} \quad (1.15)$$

فبالتأثير مرتين بالموثر $p \frac{\partial}{\partial p}$ نحصل على :

$$\overline{n^2} = \sum_n n^2 W(n) = p \frac{\partial}{\partial p} p \frac{\partial}{\partial p} (p+q)^N = Np(p+q)^{N-1} + N(N-1)p^2(p+q)^{N-2}$$

ومن أجل $p+q=1$

$$\overline{n^2} = Np + N(N-1)p^2$$

ويأخذ التشتت القيمة :

$$\overline{n^2} - \bar{n}^2 = Np - Np^2 = \bar{n} (1-p) = \bar{n} q$$

كثيرا ما يحدد جذر التشتت عرض مجال التوزيع بصورة تقريبية .
ومن أجل الحالة المناقشة أعلاه ($q = 1/2$) يكون العرض $\sqrt{\frac{N}{2}}$ كما
وجدنا سابقا . ومن أجل $\tau = V$ من الطبيعي أن ينعدم التشتت ولا يكون
هناك ترجحات لان القيمة N للمقدار n مؤكدة. مثله بالمئة .

عادة نتعامل مع حجوم جزئية τ صغيرة جدا $V \ll \tau$ ($p \ll 1$, $q \approx 1$)

$$\overline{n^2} - \bar{n}^2 = \bar{n} \quad \text{حيث :} \quad (1.16)$$

ومع أن التشتت يزداد بزيادة الرقم n الموجود في الحجم
الجزئي τ فان التشتت النسبي المعروف بالعلاقة :

$$\frac{\overline{n^2} - \bar{n}^2}{\bar{n}^2} = \frac{1}{\bar{n}} \quad (1.17)$$

يتناقص . وفي مختلف الدراسات الفيزيائية يشكل التشتت
النسبي مقدارا حاسما مقررًا في وصف الظواهر الماكروسكوبية اذ نهتم
بقيمها الوسطى . ذلك أنه اذا كان للحجم τ ابعاداً ماكروسكوبية
تكون \bar{n} عادة كبيرة جدا . والتشتت النسبي الموافق صغير . بسبب ذلك
فان كثافة الترجح $\frac{\bar{n}}{\tau}$ هي كمية معرفة بشكل جيد وبالتالي يمكن
اهمال الترجحات في مختلف التطبيقات العملية .

ان نتائج مشابهة ستصادفنا خلال دراستنا القادمة وبهذا

المعنى تكون المتحولات الماكروسكوبية كميات معرفة بشكل جيد .

1.6- كثافة الاحتمال :

سنحتاج فيما بعد الى مفهوم كثافة الاحتمال . ولكي نتلّام
مع هذا المفهوم سنقوم أولا بطرح التمثيل التالي لتابع التوزيع

الاحتمالي :

إذا تصورنا مجموعة القيم x للمتحول العشوائي كنقاط محور
أو قضيب لا متناه في الطول ، وليست له كتلة ، وإذا تصورنا أن كتلة
واحدة الكتلة موزعة على هذا المحور ، وإذا رمزنا بـ $W(x)$ لمجموع
الكتل الموجودة في النقطة x وعلى يسارها فقط (الشكل رقم (1.3))

الشكل رقم (1.3)



نجد أن $W(+\infty)$ تمثل مجموع الكتل الموزعة على القضيب بكامله وهي
تساوي الواحد. كما أن $W(-\infty)$ تمثل مجموع الكتل الواقعة على
يمين كل نقاط القضيب وهي تساوي الصفر . ثم أن الكتلة الواقعة
في أي مجال $[a, b]$ تساوي $W(a) - W(b)$.

يمكن أن نستفيد من هذا التصور والمعروف بالصورة الميكانيكية
لتابع التوزيع في شرح كثير من المسائل .

يمكن القول أن توزيعاً ما يكون منفصلاً إذا كان تابع التوزيع
 $W(x)$ يأخذ قيماً منفصلة ، أي أن الكتلة في الصورة الميكانيكية
المذكورة أعلاه تتوزع في نقاط قابلة للعد . ويكون التوزيع مستمراً
عندما تكون واحدة الكتلة موزعة بشكل مستمر على طول القضيب بكثافة
قيمتها مثلاً $f(x)$ في النقطة x .

نسمى التابع $f(x)$ بكثافة الاحتمال (أو تابع الكثافة
للاحتمال) وهو يتمتع في حالة التوزيع المستمر بالمفتتين التاليتين:

$$f(x) \geq 0$$

(1.18)

(كمية الكتلة الموزعة)
على طول القضيب
تساوي الواحد

$$\int_{-\infty}^{\infty} f(x) dx = 1$$

وتمثل الصفة الثانية شرط تنظيم الاحتمال . فلحساب احتمال
حصول المقدار x العشوائي على احدى القيم الواقعة في المجال
المحدود $x=a$ الى $x=b$:

$$W(a \leq x \leq b) = \int_a^b dW(x) = \int_a^b f(x) dx$$

في الحالة التي يكون فيها المجال (a, b) محتويا على جميع
القيم الممكنة للمقدار x يصبح التكامل مساويا الواحد حسب
شرط التنظيم . وبما أن التابع f مستمر فانه ينتج من النظرية
الاساسية للتكامل أن :

$$f(x) = \frac{dW(x)}{dx}$$

أي يساوي قيمة الاحتمال الموافقة لوحدة عرض المجال . فتابع
الكثافة يبين كيف يتوزع الاحتمال على نفس المجالات عندما تتغير قيمة

• x

ويلاحظ انه يجب الانتباه الى ان الكمية $f(x)$ تمثل كثافة
الاحتمال ولكنها ليست احتمالا (كثافة الكتلة لا تمثل الكتلة
بمفهوم الميكانيك) . اذ يمكن أن يكون لدينا $f(x) \gg 1$ مثال ذلك
التابع المعروف كما يلي .

$$f(x) = \begin{cases} 2 & \forall x \in [0, \frac{1}{2}] \\ 0 & \forall x \notin [0, \frac{1}{2}] \end{cases}$$

• فهو تابع كثافة لانه يحقق الشرطين (1,18) .

* * *

الفصل الثاني

الفكرس (التي تقوم عليها الفيزياء (الحرارية)

القوانين التي سنقوم بايجادها في الفصول القادمة تقتضي قبولنا بعض المبادئ الاساسية المعروفة في مختلف العلوم وبعض نتائج الميكانيك الكوانتي .

2.1 - المبادئ الاساسية :

١- المبدأ الاول أو مبدأ حفظ الطاقة .

وهو ينص على أن طاقة جملة معزولة تبقى ثابتة .

بد المبدأ الثاني أو مبدأ تزايد الانتروبية - مبدأ كارنو-

كلاويوس .

وهو ينص على أنه لا يمكن لانتروبية جملة معزولة في حالة تطور (غير متوازنة) إلا أن تكون متزايدة . ان مفهوم الانتروبية لن يكون جليا الا على ضوء نتائج الترموديناميك الاحصائي كما سنجد حيث سنبرهن أن الانتروبية S ترتبط بالاحتمال الترموديناميكي للجملة W وفق علاقة من الشكل $S = K \ln W$. مفهوم الانتروبية هو إذا ماكروسكوبي ولكنه يرتبط بوجود عدد كبير من الجمل الميكروسكوبية .

ج - المبدأ الثالث أو مبدأ نرنست -

وهو ينص على أن انتروبية الاجسام في حالة التوازن الاكثر استقرارا معدومة عند الصفر المطلق . ولهذا المبدأ تطبيقات أقل شمولية من المبدأين السابقين .

د - مبدأ الشك لهايزنبرغ

وهو أحد المبادئ الأساسية للميكانيك الكوانتي . ان المقادير المقاسة يمكن تصنيفها من حيث الرتبة كمنسجمة (compatible) أو غير منسجمة (incompatible) وفقا لما تكون قياساتها الدقيقة والمتواقته ممكنة أو مستحيلة على الترتيب .

وبالتالي فان مركبة الدفع P_x والموضع x لجسيمة ما هي مقادير غير منسجمة لان القياس الدقيق والمتواق لـ P_x و x غير ممكن وعدم التحديد الأدنى في قياس كل من هذين المقدارين هو بحيث يكون: $\Delta P_x \Delta x \sim h$. وكذلك الامر فان عدم التحديد الأدنى في قياس الطاقة ΔE لجملة يعتمد على زمن التجربة $\Delta t \sim h$. ΔE وحيث h تمثل ثابتة بلانك .

هـ - مبدأ عدم التمايز

ويمثل هذا المبدأ نتيجة للمبدأ السابق ، الا أن بعض الظواهر الترموديناميكية المرتبطة بمتناقضة جيبس وبانتروبية مزيج مكنت من الحدس به حتى قبل ظهور علم الميكانيك الموجي .

ان عدم التحديد في موقع جسيم داخل حجم $\Delta \tau$ من الفضاء توجب

أنه إذا كان لدينا جسيमान متماثلان داخل هذا الحجم في نفس الوقت فإنه من المستحيل أن نخصهما بمميزات تسمح لنا بترقيتهما بصورة مشتركة. حيث أن مركبات متجه الموضع ومتجه السرعة لا يمكن اعتمادها، كما هو الحال في الميكانيك الكلاسيكي، كمعيار للتمايز. فالجسيمات التي من نفس النوع تكون غير متمايضة. وهكذا بالنسبة لجزيئات غاز من نفس النوع وبالنسبة للالكترونات أو الفوتونات ... إلى آخره فإنها تكون غير متمايضة. وبالمقابل لن يكون الحال كذلك بالنسبة لجسيمات من طبيعة مختلفة كالالكترونات والنيكليونات مثلا.

ينتج من مبدأ عدم التمايز هذا أنه في حالة جملة مؤلفة من جسيمين متماثلين أن تابع كثافة الاحتمال للتابع الموجي ψ لهذه الجملة، حيث سنعتبر عن التتابع الموجي بالرمز $\psi(x_1, y_1, z_1, x_2, y_2, z_2)$ $\psi(1,2)$ وهو يسمح لنا بمعرفة كافة الخصائص الكوانتية لهذه الجملة، لا يغير من قيمته عندما يتبادل هذين الجسيمين موضعهما داخل الجملة، أي :

$$|\psi(1,2)|^2 = |\psi(2,1)|^2$$

وهنا نميز حالتين لتتابع الموجه :

١- تابع الموجه متناظر بحيث لا يغير من اشارته عندما تتبادل الجسيمتان موضعيهما :

$$\psi(1,2) = \psi(2,1)$$

٢- تابع الموجه غير متناظر بحيث يغير تابع الموجه من اشارته

عندما تتبادل هاتان الجسيمتان موضعيهما :

$$\psi(1,2) = -\psi(2,1)$$

فتابع الموجة الممثل لجملة جسيمات غير متمايضة (متماثلة) لا يمكن أن يكون الا متناظرا أو غيرمتناظر . ويبرهن في الميكانيك الكوانتي أن تابع الموجة لا يمكن أن يغير من حالة تناظره مهما كان تطور الجملة التي يمثلها ، كذلك فان الانتقال من حالة تناظر الى حالة غير تناظر أو بالعكس هو أمر مستحيل .

لنفرض ان الحالات الكوانتية المختلفة A , B , C , L... , لجسيم من جملة مؤلفة من N جسيم متماثل (1,2,3...r, N....) ضعيفه التأثير المتبادل مع بعضها تتمثل بتابع الموجة $\phi_L(r)$. وللتبسيط لنقتصر على حالة ثلاثة جسيمات ولنعتبر حالة لهذه الجملة يكون فيها الجسيم 1 في الحالة A ، الجسيم 2 في الحالة B والجسيم 3 في الحالة C . يمكن وصف هذه الجملة بتابع الموجة :

$$\Phi_I = \phi_A(1) \cdot \phi_B(2) \cdot \phi_C(3)$$

ان تبادلات الجسيمات بين الحالات A و B و C توافق حالات لها نفس الطاقة وذلك لان الجسيمات غير متمايضة . هذه الحالات تتمثل بمجموعة من ستة توابع موجية (حسب العلاقة 1.6) :

$$\Phi_{11} = \phi_A(2) \cdot \phi_B(1) \cdot \phi_C(3)$$

$$\Phi_{111} = \phi_A(2) \cdot \phi_B(3) \cdot \phi_C(1)$$

.....

.....

وكذلك من أي تركيب خطي لتوابع الموجة هذه .

استنادا الى ما سبق سيكون هناك معنى فيزيائي فقط لتلك الحالات الكوانتية التي تتمثل بتابع موجة متناظر ψ_s أو بتابع موجة غير متناظر ψ_a .

ان تابع الموجة المتناظر الوحيد ψ_s هو التركيب الخطي :

$$\psi_s = \Phi_I + \Phi_{II} + \Phi_{III} + \dots + \Phi_{VI}$$

وتابع الموجة غير المتناظر الوحيد ψ_a هو التركيب الخطي :

$$\psi_a = \Phi_I - \Phi_{II} + \Phi_{III} - \dots - \Phi_{VI}$$

والذي يمكن التعبير عنه بمنشور المعين :

$$\psi_a = \frac{1}{\sqrt{3!}} \begin{bmatrix} \phi_A(1) & \phi_B(1) & \phi_C(1) \\ \phi_A(2) & \phi_B(2) & \phi_C(2) \\ \phi_A(3) & \phi_B(3) & \phi_C(3) \end{bmatrix} \quad (2.1)$$

حيث يمثل المقدار $\frac{1}{\sqrt{3!}}$ معامل التنظيم الموجي للتابع .
ويلاحظ أن هذه المحاكمة تصلح لأي عدد من الحالات الكوانتية أو لأي عدد من الجسيمات .

ان شكل توابع الموجة تستثني المطابقة بين الحالتين A و B عندما يكون تابع الموجة غير متناظر . هذه المطابقة تؤدي فسي الواقع الى انعدام ψ_a وذلك لان عمودين من المعين السابق سيكونان متطابقين . ولكن $\psi_a = 0$ يقتضي نفيان وجود الجملة على الاطلاق .

بالمقابل عندما يكون تابع الموجه متناظرا فان تطابقاً
 حالتين A و B سيكون غير ذي أهمية . ينتج عن ذلك أنه حين تكون
 الجملة ممثلة بتابع موجه متناظر فانه يمكن لعدد من الجسيمات أن
 تكون في نفس الحالة الكوانتية ، او بقول آخر ان كل حالة كوانتية
 يمكن أن تشغل بعدد من الجسيمات . عندها نسمي هذه الجسيمات
" البوزونات " ويكون لها سبين معدوم (حالة الفوتونات) أو عدد
صحیح ، وتخضع الى احصاء بوزة - آينشتاين .

مثال ذلك : الفوتونات والميزونات π والميزونات λ .

وعلى العكس نسمي الجسيمات التي تنتمي الى جملة ممثلة بتابع
 موجي غير متناظرة والتي لا يمكن لكل منها أن تشغل سوى حالة كوانتية
 وحيدة ، نسميها " الفرميونات " وتتميز بأن لها سبين نصف عدد صحيح
وتخضع الى احصاء فرمي - ديراك . مثال ذلك : الالكترونات -
النيوترونات ، الميزونات ، والبروتونات .

و - مبدأ باولي :

يمكن التعبير عنه بالشكل التالي : الالكترونات هي فيرميونات
 أي أن التوابع الموجية التي تمثل جملة الكترونات ، بعد الأخذ
 بعين الاعتبار السبين ، هي توابع غير متناظرة .

كنتيجة لهذا المبدأ استحاله وجود الكترونين من نفس الذرة
 لها نفس الاعداد الكوانتية الاربعة n العدد الكوانتي الرئيسي ،
 l العدد الكوانتي السمتي ، m_l العدد الكوانتي المغناطيسي n_g العدد
 الكوانتي للسبين .

2.2- نتائج من الميكانيك الكوانتي :

سنعطي في هذه الفقرة بعض النتائج المستمدة من الميكانيك الكوانتي التي سنحتاجها خلال الفصول القادمة تاركين للقارئ مطالعة برآهينها في الكتب المختصة.

لدينا معادلة شرودينغر

$$\Delta \psi + \frac{8\pi^2 m_0}{h^2} (E - U) \psi = 0$$

حيث ψ تابع الموجه ، Δ اللابلاسيان ، h ثابتة بلانك ، m_0 كتلة الجسيم ، E الطاقة الكلية ، U الكمون .

ان حل معادلة شرودينغر من أجل عدد محدد من " حركات " جسيم تقودنا الى النتائج التالية :

أ- الحركة الانسحابية :

يتحدد التابع الموجي لجسيمة احداثيات موضعها (x, y, z) لا تخضع الى أية قوة خارجية ($U=0$) ولكنها خاضعة للبقاء في داخل حجم متوازي سطوح اضلاعه a, b, c ($U = \infty$ خارج هذا الحجم) بالعلاقة :

$$\psi = \frac{2\sqrt{2}}{\sqrt{a.b.c.}} \sin(n_x \pi \frac{x}{a}) \sin(n_y \pi \frac{y}{b}) \sin(n_z \pi \frac{z}{c}) \quad (2.2)$$

أما طاقتها فتساوي :

$$\epsilon_t = \frac{h^2}{8m_0} \left(\frac{n_x^2}{a^2} + \frac{n_y^2}{b^2} + \frac{n_z^2}{c^2} \right) \quad (2.3)$$

حيث n_x, n_y, n_z اعداد صحيحة موجبة تمثل الاعداد الكوانتية

الانسحابية، فإذا كان $a=b=c$ فإن :

$$\epsilon_t = \frac{h^2}{8 m_0 V^{2/3}} (n_x^2 + n_y^2 + n_z^2) \quad (2.4)$$

وذلك بفرض $V = a.b.c$ الحجم الذي تشغله الجسيمة :

ويكون انطباق كل سوية طاقة (g) معرفا بعدد حلول المعادلة :

$$n_x^2 + n_y^2 + n_z^2 = \text{constant} \quad (2.5)$$

حيث يؤخذ الانطباق كأعداد صحيحة ، ونذكر هنا أن الانطباق (dégénérescence) أو (الوزن الاحصائي) لسوية طاقة هو عدد الحالات التي لها نفس الطاقة، أو كذلك عدد التوابع الموجية الممثلة لحالات مختلفة لها نفس الطاقة ولذلك يسميه بعض المؤلفين التكرارية multiplicity .

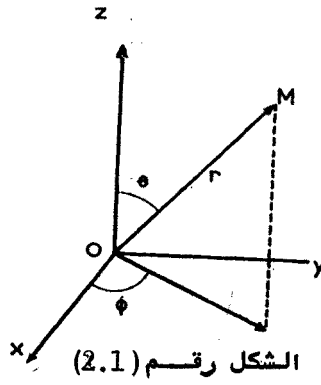
ب- الحركة الدورانية :

إذا خضعت جزيئة M التي يتحدد موضعها بالاحداثيات الاسطوانية (r, θ, ϕ) - الشكل رقم (2.1) - لحركة دورانية حول مركز يبعد عنها بعدا ثابتا فإن حركتها تتحدد بتابع موجي من الشكل :

$$\psi = \sin^m \theta \frac{d^{m+J} \sin^{2J} \theta}{d(\cos \theta)^{m+J}} e^{\pm i m \phi} \quad (2.6)$$

وذلك بتقريب معامل تنظيم وحيث m و J اعداد صحيحة (J = العدد

الكوانتي للدوران) .



الشكل رقم (2.1)

أما طاقة الدوران للجزيئة فتعطى بالعلاقة :

$$\epsilon_r = J(J+1) \frac{h^2}{8 \pi^2 I} \quad (2.7)$$

حيث I عزم عطالة الجزيئة بالنسبة لمركز الدوران : $I = m_0 r^2$ حيث m_0 كتلة الجزيئة .

من أجل طاقة محددة ، أي من أجل قيمة لـ J معطاة ، يكون هناك عدد من التوابع الموجية بقدر قيمة m وحيث تأخذ هذه الأخيرة $2J+1$ قيمة . يكون بالتالي انطباق سوية طاقة دورانية مساويا :

$$g_r = 2J + 1 \quad (2.8)$$

و حين نقس الجسيمة على الحركة في المستوي xoy فان الدوار rotateur الذي تمثله لا يكون كرويا كالحالة المذكورة آنفا بل مستويا . عندها تابع الموجه المميز لهذا الدوار المستوي يعطى بالتابع :

$$\psi = C_1 e^{im\phi} + C_2 e^{-im\phi} \quad (2.6.a)$$

حيث C_1 و C_2 ثوابت و m عدد صحيح ، وتكون طاقة الجسيمة الدورانية عندها :

$$\epsilon_r = m^2 \frac{h^2}{8 \pi^2 I} \quad (2.7.a)$$

ولكونها تحافظ على نفس القيمة من أجل m و $-m$ فإن انطباق

كل سوية. طاقة يكون مساويا :

$$g_r = 2 \quad (2.8.a)$$

هذا الانطباق يوافق في الصورة الكلاسيكية لحالتي الدوران

المباشرة والتراجعية .

ج - الحركة الاهتزازية :

يوافق الهزان التوافقي حالة جسيم كتلته m_0 يهتز حول موضع

توازن تحت تأثير قوة ارجاع متناسبة مع الاستطاله x $F = K \frac{x^2}{2}$ حيث

K ثابتة القوة) .

التابع الموجي لهذه الحركة يساوي :

$$\psi_V = (-1)^V e^{-\frac{\alpha x^2}{2}} \frac{d^V}{d(x\sqrt{\alpha})^V} e^{-\alpha x^2} \quad (2.9)$$

حيث $\alpha^2 = \frac{4 \pi^2 m_0}{h^2} K$ و V عدد صحيح : العدد الكوانتي

للا اهتزاز .

أما طاقة الحركة الاهتزازية هذه فتساوي :

$$\epsilon_V = (V + \frac{1}{2}) h\nu \quad (2.10)$$

حيث ν تواتر اهتزاز الهزان التوافقي المدروس في الميكانيك

الكلاسيكي .

$$v = \frac{1}{2\pi} \sqrt{\frac{K}{m_0}} \quad (2.11)$$

أما أخفض سوية طاقة ($V=0$) فتوافق استناداً الى مبدأ الشك طاقة غير معدومة .

من أجل قيمة معطاة لـ V ، أي من أجل طاقة معينة ، لا يوجد سوى تابع موجة واحد ، وبالتالي فان سويات طاقة الاهتزاز لا يمكن ان تكون منطبقة :

$$g_V = 1 \quad (2.12)$$

■ ■ ■

الفصل الثالث

قوانين التوزيع الاحصائية

3.1 - طرح المسألة الاحصائية

وفقا للنتائج التي عالجناها في الفصل السابق يمكننا القول أنه من أجل عدد N من الجسيمات توجد حالات كوانتية معرفة تماما يمكن أن نعد في كل منها عدد من الجسيمات وأن نعرف بالشالي "عدد الانشغال" لحالة بأنه عدد الجسيمات الموجودة في تلك الحالة. عدد الانشغال هذا لحالة كوانتية يمكن أن يكون أي عدد من أجل البوزونات. ولكن لا يمكن أن يكون الا صفرا أو واحدا من أجل الفرميونات.

سنقوم فيما يلي بدراسة مختلف نماذج التوزيع لـ N جسيم والتي يمكن أن تكون :

- اما بوزونات: قانون التوزيع لبوزه - آينشتاين (B.E).
- أما فيرميونات: قانون التوزيع لفرمي - ديراك (F.D).

بحيث يكون لدينا :

N_0 جسيم في سوية الطاقة ϵ_0 يمكنها أن تشغل g_0 حالة كوانتية (الانطباق)

N_1 جسيم في سوية الطاقة ϵ_1 يمكنها ان تشغل g_1 حالة كوانتية
 N_2 جسيم في سوية الطاقة ϵ_2 يمكنها ان تشغل g_2 حالة كوانتية
.....
 N_i جسيم في سوية الطاقة ϵ_i يمكنها ان تشغل g_i حالة كوانتية
.....

تشكل N_1, N_2, \dots, N_i أعداد الانشغال لسويات الطاقة
 $\epsilon_0, \epsilon_1, \dots, \epsilon_i$ من أجل توزيع معطى وحيث سنرمز بـ C للعدد الكلي
لنماذج الانشغال بالجسيمات لمختلف الحالات الكوانتية .

هذه الجسيمات تتحرك داخل الجملة الترموديناميكية بسرعة
مختلفة وتتصادم فيما بينها بحيث تغير من حركاتها . ولكن اذا
قبلنا ان هذه الافعال المتبادلة تبقى ضعيفة، أي أن طاقة التصادم
بين جسيمين تبقى مهملة أمام طاقة كل منهما، فاننا بذلك نعرف
الجملة المثالية أو الكاملة وتكون الطاقة الكلية للجملة معطاة
بالعلاقة :

$$U = \sum_i N_i \epsilon_i$$

وحيث يقوم الجسيم بعدة حركات : دورانية، اهتزازية
الى اخره فاننا سنقبل ان هذه الحركات ليست متأثرة ببعضها وأن
طاقة الجسيم في حركته العامة تساوي مجموع طاقاته الموافقة لكل
من هذه الحركات .

رغم أنه بتوخي الدقة يمكن اعتبار الغاز المثالي وحده كجملة
مثالية فانه يمكن مع ذلك توسيع مفهوم الاكتمال هذا الى جمل جزئية
لجملة ما . فالجسم الصلب لا يمكن طبعا اعتباره جملة مثالية ولكن

يمكن حساب مغناطيسيته باعتبار أن سبينات أيوناته يمكن تشبيهها
بجملة مثالية كلاسيكية ما دامت التأثيرات المتبادلة : سبيناً -
شبكة - أو سبيناً - سبيناً ضعيفة للغاية .

ان البحث عن كيفية توزع الجسيمات بين سويات الطاقة والحالات
الكوانتية يشكل المسألة الرئيسية للفيزياء الحرارية الاحصائية
لان معرفتنا لهذه التوزيعات أي تحديد التابع $N_i = f(q_i, \epsilon_i)$ يسمح
لنا بايجاد مختلف قوانين الترموديناميك الوصفية . وقد وجدنا
(فقرة 1.2) أن الغرض الرئيسي للفيزياء الحرارية الاحصائية
هو أن تسمح لنا بحساب مقادير ماكرو سكوبية قابلة للقياس بدءاً من
مقادير جزيئية للحالات الميكرو فيزيائية .

من أجل ذلك يجب البحث عن عدد التراكيب الممكنة مع N جسيم
يمكن لها أن تشغل سويات طاقة ϵ_i ، منطبقة q_i مرة . ولكن لما كان
العدد N كبيراً فإن العدد الكلي لهذه التراكيب سيكون عملياً مساوياً
عدد التراكيب الموافقة لاحتمال الاعظمي (فقرة 1.5.B) حيث يمكن
القول أن كل الجسيمات ستكون عملياً في الحالة الأكثر احتمالاً ؛ أي
أنه يمكن أن نهمل تلك الجسيمات التي تبعد عن هذه الحالة كونها
نسبياً قليلة العدد .

3.2- أمثلة على التوزيعات :

ان توزع الجسيمات في مختلف الحالات الكوانتية وعلى سويات
الطاقة المختلفة ، أي عدد التراكيب التي نحمل عليها بكل الطرق
الممكنة لتوزيع N_i جسيم في q_i حالة كوانتية ذات الطاقة ϵ_i ،
يعتمد على طبيعة الجسيمات المدروسة .

المثال الاول :

ما هو عدد التراكيب الممكنة مع $N_0 = 2$ جسيمة ، طاقة كل منها

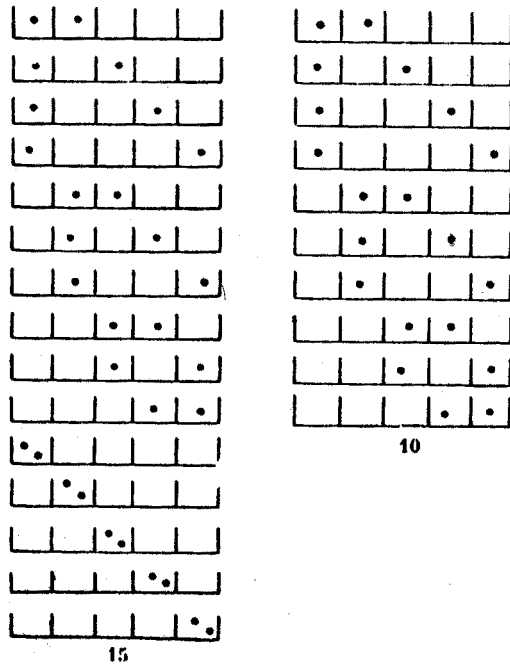
ϵ_0 ، ويمكنها ان تشغل خمس حالات كوانتية $g_0 = 5$ ؟

نميز هنا نوع الجسيمة ونطبق الدستور (1.8) فنجد أن هاتين

الجسيمتين والتي لكل منهما نفس الطاقة تعطيان 15 تركيبه كما يبين

الشكل (3.1) اذا كانت من نوعية البوزونات و 10 تركيبات اذا

كانت من نوع الفيرميونات .



احماء - بوزة - آينشتاين

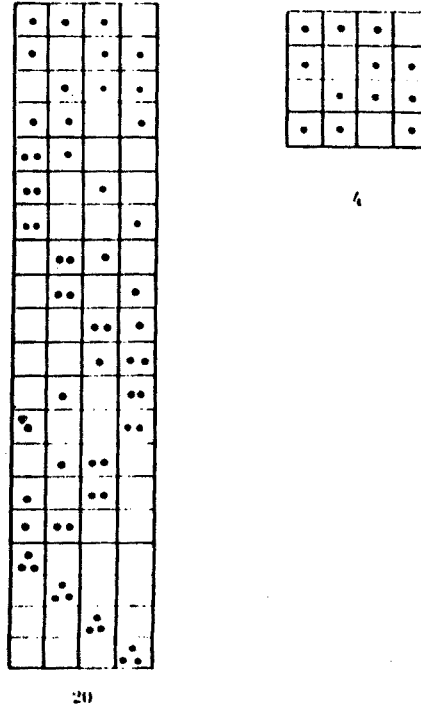
احماء - فيرمي - ديراك

الشكل رقم (3.1)

المثال الثاني :

ما هو عدد التراكيب الممكنة مع $N_1=3$ جسيمة طاقة كل منها ϵ_1 ويمكنها أن تشغل أربع حالات كوانتية $g_1=4$ ؟

نلاحظ هنا أن هذه الجسيمات الثلاث تعطينا 20 تركيبه إذا كانت بوزونات و 4 تركيبات إذا كانت فرميونات (الشكل 3.2) .



احصاء فرميديراك احصاء بوزة-آينشتاين
الشكل رقم (3.2)

المثال الثالث :

ما هو عدد التراكيب التي يمكننا انشاؤها مع $N_0=2$ جسيمة طاقة كل منها ϵ_0 ويمكنها أن تشغل خمس حالات كوانتية $g_0=5$ و $N_1=3$

جسيمة ، طاقة كل منها ϵ_1 يمكنها أن تشغل اربع حالات كوانتية ،
 $g_1 = 4$ ؟ .

هنا نحصل على تركيب جديد بأن نشارك كل تركيبه من المثال
 الاول جميع تراكييب المثال الثاني وذلك حسب قاعدة nxm (فقرة 1.4.A)
 فعدد التراكييب الكلية سيكون مساويا جداء عدد التراكييب التي نحصل
 عليها في المثال الاول مفروبا بعدد التراكييب التي نحصل عليها في
 المثال الثاني أي :

$$\begin{array}{ll} 15 \times 20 = 300 & \text{في احصاء بوزه - اينشتاين} \\ 10 \times 4 = 40 & \text{وفي احصاء فيرمي - ديراك} \end{array}$$

3.3- توزيع البوزونات :

يمكن أن يوجد في كل حالة كوانتية عدد ما من الجسيمات
 ما هو عدد الطرق التي يمكن ان نوزع بها N_i بوزونا ذي طاقة ϵ_i
 في g_i حالة كوانتية .

لحساب عدد الطرق هذا سوف نعتبر التمثيل التالي ، سوف نمثل
 الجسيمة بكرة والحالة الكوانتية بصندوق ، فتصبح المسألة كما يلي:
 ما هو عدد الطرق لوضع N_i كرة في g_i صندوق ، دون أن يكون هناك
 ترقيم للكرات ، أي دون أن نرغب في معرفة أي الكرات موجودة فـي
 أي صندوق (مبدأ عدم التمايز) .

ان الجسيمات غير خاضعة لمبدأ باولي ، وبالتالي يجب أن
 نفترض هنا أن كل صندوق يمكن أن يستوعب اي عدد من الكرات .

وهكذا ينتج ،حسب الفقرة 1.4.C، أن عدد الطرق المختلفة التي يمكن أن نوزع بها N_i كرة (بوزونا) في g_i صندوقا (حالة كوانتية) يعطى بالعلاقة :

$$C = \frac{(N_i + g_i - 1)!}{N_i! (g_i - 1)!} \quad (\text{تركيبا})$$

هذا الحساب محقق من أجل N_i جسيمة ذات طاقة ϵ_i .

من أجل مجموعة مؤلفة من N بوزونا فان عدد التراكيب الكلية الممكنة يساوي الى جدا عدد التراكيب الممكنة من أجل كل سوية طاقة (قاعدة nxm) ويكون :

$$C_B = \prod_i \frac{(N_i + g_i - 1)!}{N_i! (g_i - 1)!} \quad (3.1)$$

3.4- توزيع الفرميونات :

عندما تكون الجسيمات خاضعة لمبدأ باولي (فرميونات) يكون حساب عدد الطرق الممكنة التي تتوزع بها الجسيمات (الفرميونات) والتي طاقة كل منها ϵ_i في g_i حالة كوانتية أكثر سهولة . اذ يكون لدينا حينئذ على الدوام المتراجحة : $g_i \geq N_i$ ،لانه لا يوجد الا جسيم واحد في كل حالة ، لذلك من بين العدد الكلي g_i حالة سيكون هنأ فقط N_i حالة مشغولة .

لنأخذ ثانية تمثيل الكرات والصناديق حيث نمثل الجسيمة N_i

بكرة والحالة g_i بصندوق .

ان الطرق المختلفة للتوزيع تتباين فيما بينها فقط بتحديد عدد التبديلات الممكنة بين مختلف الصناديق والتي عددها g_i والتي

يكون قسم منها فارغا وعددها $(g_i - N_i)$ صندوق فارغ والقسم الآخر يكون مملوءاً وعددها N_i صندوقاً مملوءاً.

ان عدد التبديلات الممكنة بين مختلف الصناديق فارغة أو مملوءة يساوي $g_i!$. ولكن من جهة ثانية لدينا $(g_i - N_i)$ صندوقاً فارغاً كونها غير متميزة . فان تغيير الترتيب فيما بينها لا يغير من الحالة الكلية لتوزع الكرات ، أي أن هناك $(g_i - N_i)!$ ترتيباً لا يغير من الحالة المدروسة شيئاً وبالتالي فان عدد التبديلات الكلية سيصغر $(g_i - N_i)!$ مرة .

كذلك الامر كون الكرات غير متميزة فيما بينها فان تغيير ترتيب الصناديق المملوءة فيما بينها والتي عددها N_i صندوقاً لا يغطيها ترتيباً جديدة . أي أن هناك $N_i!$ ترتيباً إضافة الى ما سبق لا يغير من الحالة المدروسة شيئاً وسيصغر مرة ثانية عدد التبديلات الكلية $N_i!$ مرة .

وهكذا نجد أنه من بين كل الترتيبات $g_i!$ الممكنة هناك فقط مجموعة مختلفة من التراتيب عددها :

$$C_i = \frac{g_i!}{N_i! (g_i - N_i)!}$$

ومن أجل مجموعة مؤلفة من N فرميونات فان عدد الطـــــــرق المختلفة يساوي الى جداء عدد التراكيب الممكنة من أجل كل سوية

هالة ويكون

$$C_F = \prod_i \frac{g_i!}{N_i! (g_i - N_i)!} \quad (3.2)$$

3.5- تطبيق التوزيعات على المثال المدروس في الفقرة (3.2) :

المثال الاول : $g_0 = 5$, $N_0 = 2$

$$\text{بوزونات } C = \frac{(g_0 + N_0 - 1)!}{N_0! (g_0 - 1)!} = \frac{6!}{2!4!} = 15$$

$$\text{فرميونات } C = \frac{g_0!}{N_0! (g_0 - N_0)!} = \frac{5!}{2!3!} = 10$$

المثال الثاني : $g_1 = 4$, $N_1 = 3$

$$\text{بوزونات } C = \frac{(g_1 + N_1 - 1)!}{N_1! (g_1 - 1)!} = \frac{6!}{3!3!} = 20$$

$$\text{فرميونات } C = \frac{g_1!}{N_1! (g_1 - N_1)!} = \frac{4!}{3!1!} = 4$$

3.6- تحويل علاقات التراكيب :

تطبق العلاقتان (3.1) و (3.2) عموماً على عدد كبير من الجسيمات وعلى عدد كبير من الحالات الكوانتية . وقد وجدنا أنه في حالة الأعداد الكبيرة أن التوزيعات الاحتمالية (1.5.B) تمتد على مجال ضيق حيث يبين التوزيع سلوكاً مكثفاً قرب قمة المنحني الممثل للتوزيع (أنظر الشكل 1.2) . لذا يفضل في الاحصاء استخدام المنشور اللوغاريتمي كونه أكثر متناولاً ، إضافة إلى أن مجال صلاحيته تكون أكثر سعة ويغطي في الواقع كل عرض التوزيع . لذا سنقوم فيما يلي بتحويل العلاقتين المذكورتين إلى شكل لوغاريتمي وذلك باستخدام الصيغة المبسطة لقانون ستيرلينغ .

$$\ln N! = N \ln N - N$$

أ- في احصاء بوزة - آينشتاين (حالة البوزونات)

$$C_B = \prod_i \frac{(N_i + g_i - 1)!}{N_i! (g_i - 1)!}$$

باهمال الواحد أمام g_i لأن $g_i \gg 1$ يأخذ هذا التابع الشكل

$$C_B = \prod_i \frac{(N_i + g_i)!}{N_i! g_i!} \quad (3.3)$$

بأخذ اللوغاريتم نجد :

$$\text{Ln} C_B = \sum_i [\text{Ln}(N_i + g_i)! - \text{Ln} N_i! - \text{Ln} g_i!]$$

$$\text{Ln} C_B = \sum_i [(N_i + g_i) \text{Ln} (N_i + g_i) - (N_i + g_i) - N_i \text{Ln} N_i + N_i - g_i \text{Ln} g_i + g_i]$$

$$\text{Ln} C_B = \sum_i [(N_i + g_i) \text{Ln}(N_i + g_i) - N_i \text{Ln} N_i - g_i \text{Ln} g_i]$$

$$\text{Ln} C_B = \sum_i [N_i \text{Ln}(1 + \frac{g_i}{N_i}) + g_i (\frac{N_i}{g_i} + 1)] \quad (3.4)$$

ب- في احصاء فرمي - ديراك (حالة الفرميونات)

$$C_F = \prod_i \frac{g_i!}{N_i! (g_i - N_i)!}$$

بأخذ اللوغاريتم نجد :

$$\text{Ln} C_F = \sum_i [(\text{Ln} g_i! - \text{Ln} N_i! - \text{Ln}(g_i - N_i)!)]$$

$$\text{Ln} C_F = \sum_i [g_i \text{Ln} g_i - g_i - N_i \text{Ln} N_i + N_i - (g_i - N_i) \text{Ln}(g_i - N_i) + (g_i - N_i)]$$

وذلك باضافة وطرح المقدار الاخير في المنشور .

$$\text{Ln} C_F = \sum_i [(N_i - g_i) \text{Ln}(g_i - N_i) - N_i \text{Ln} N_i + g_i \text{Ln} g_i]$$

$$\text{Ln} C_F = \sum_i [N_i \text{Ln}(\frac{g_i}{N_i} - 1) - g_i \text{Ln}(1 - \frac{N_i}{g_i})] \quad (3.5)$$

ج - يمكن الاستعاضة عن العلاقتين (3.4) و (3.5) بعلاقة وحيدة :

$$\text{Ln} C = \sum_i [N_i \text{Ln}(\frac{g_i}{N_i} - \delta) - \delta g_i \text{Ln}(1 - \delta \frac{N_i}{g_i})]$$

حيث نأخذ :

$\delta = 1$ في احصاء فرمي - ديراك .

$\delta = -1$ في احصاء بوزة - آينشتاين .

$\delta^2 = 1$ في كلا الاحصائيين .

$$\underline{N_i = f(g_i, \epsilon_i) \text{ التابع 3.7}}$$

بعد أن قمنا بحساب العدد الكلي للتراكيب الممكنة لـ N جسيمة ، نلاحظ أنه في الحالة الأكثر احتمالا تعتمد قيمة N_i على كل من g_i و ϵ_i كما وجدنا في الفقرة 3.1 . لحساب التابيع $N_i = f(g_i, \epsilon_i)$ الذي يبين كيف تتوزع N_i جسيمة بين سويات الطاقة في الحالة الأكثر احتمالا، يكفي ان نفتش عن قيم المتحولات N_i بحيث تحقق الشروط التالية المفروضة على جملة الجسيمات

المبدأ الاول المطبق على جملة جسيمات ضعيفة التأثير المتبادل فيما بينها او جملة مثالية :

$$U = \sum_i N_i \epsilon_i$$

ب- مصونية عدد جسيمات الجملة أي :

$$N = \sum_i N_i$$

وهذا الشرط المفروض على جملة جسيمات يتعلق بطبيعة هذه الجسيمات ، وهو محقق في كل مره لا يكون فيها هذا العدد معتمدا على الطاقة الكلية ، أي في أكثر الاحوال ، الا أنه لا يكون محققا بشكل خاص في حالة الفوتونات .

ج- اعتبار حالة الجملة هي الحالة الأكثر احتمالا ، ويوافق ذلك كون

C اعظميا عندما تتغير قيم N_0, N_1, N_2, \dots بفرض :

$$C_{\max} = W$$

نسمي W الاحتمال الترموديناميكي ، ويجب ان نلاحظ أنها ليست احتمالا ولكنها كمية تتناسب معه ومعامل التناسب هو العدد الكلي لكل التراكيب الممكنة ، وبالتالي فان W هي عدد كبير جدا .

إذا كانت C أعظمية فان $dC=0$ ويكون (حيث $C \neq 0$)

$$dC/C = d \ln C = 0$$

ويعطينا هذا الشرط وجود نهاية للتابع ويبرهن رياضيا أن هذه النهاية أعظمية .

د- يتم حساب عدد التراكيب وفقا لنوع الجسيمات ، توزع بوز-آيشتاين من أجل البوزونات أو توزع فرمي - ديراك من أجل الفرميونات

3.8- قوانين التوزع

3.8.A- الاحصاءات الكوانتية :

ان المعادلات الثلاث التي تميز الجملة المدروسة في حالتها

الأكثر احتمالا هي التالية :

$$N - \sum_i N_i = 0 \quad (3.6)$$

$$U - \sum_i N_i \epsilon_i = 0 \quad (3.7)$$

$$L_n C = \sum_i \left[N_i \ln \left(\frac{g_i}{N_i} - \delta \right) - \delta g_i \ln \left(1 - \delta \frac{N_i}{g_i} \right) \right] \quad (3.8)$$

يجب ان يكون أعظميا .

يجب أن تكون هذه العلاقات الثلاث منسجمة ، أي محققة معا في

نفس الوقت .

- لكي نفتش عن نهاية تابع $f(x_1, \dots, x_k)$ يتبع k متحولا

ترتبط فيما بينها وفق علاقيتين من الشكل $g(x_1, \dots, x_k) = 0$

و $h(x_1, \dots, x_k) = 0$ يلزم ويكفي أن تتحقق العلاقات التالية :

$$f'_{x_1} + \alpha g'_{x_1} + \beta h'_{x_1} = 0$$

$$\vdots$$

$$f'_{x_k} + \alpha g'_{x_k} + \beta h'_{x_k} = 0$$

حيث

$$f'_{x_1} = f'_{x_1}(x_1, x_2, \dots, x_k) = \frac{\partial f}{\partial x_1}$$

وهكذا بالنسبة لبقية المشتقات الجزئية ، α و β تمثّلان وسائط

تسمى مضارب لاغرانج (انظر الملحق I) .

وبالنسبة لمسألتنا يوجد k متحول N_1, N_2, N_3, \dots بفرغ

$$g(N_1, N_2, \dots) = \text{Ln } C$$

$$g(N_1, N_2, \dots) = N - \sum_i N_i$$

$$h(N_1, N_2, \dots) = U - \sum_i N_i \epsilon_i$$

فان الشروط الواجب تحققها تمثل حل جملة المعادلات التالية

وعددتها k :

$$\frac{\partial}{\partial N_1} \text{Ln} C + \alpha \frac{\partial}{\partial N_1} (N - \sum_i N_i) + \beta \frac{\partial}{\partial N_1} (U - \sum_i N_i \epsilon_i) = 0$$

$$\dots$$

$$\frac{\partial}{\partial N_k} \text{Ln} C + \alpha \frac{\partial}{\partial N_k} (N - \sum_i N_i) + \beta \frac{\partial}{\partial N_k} (U - \sum_i N_i \epsilon_i) = 0$$

ولكن باخذ مشتق $\text{Ln} C$ بالنسبة لـ N_i نجد مع ملاحظة أن g_i

ليست تابعا لـ N_i ان :

$$\frac{\partial}{\partial N_i} \text{Ln} C = \text{Ln} \left(\frac{g_i}{N_i} - \delta \right)$$

وكذلك

$$\frac{\partial}{\partial N_i} (N - \sum_i N_i) = -1$$

$$\frac{\partial}{\partial N_i} (U - \sum_i N_i \epsilon_i) = -\epsilon_i$$

$$\text{Ln} \left(\frac{g_i}{N_i} - \delta \right) - \alpha - \beta \epsilon_i = 0$$

ومنه

$$\frac{g_i}{N_i} - \delta = e^{\alpha + \beta \epsilon_i}$$

$$N_i = \frac{g_i}{e^{\alpha + \beta \epsilon_i} + \delta} \quad (3.9)$$

حيث $\delta = 1$ في احصاء فرمي - ديراك أي :

$$N_i = \frac{g_i}{e^{\alpha + \beta \epsilon_i} + 1} \quad (3.10)$$

و $\delta = -1$ في احصاء بوزة - آينشتاين أي :

$$N_i = \frac{g_i}{e^{\alpha + \beta \epsilon_i} - 1} \quad (3.11)$$

نسمي تلك التوابع توابع التوزع للجسيمات في سويات الطاقة وفي الحالات الكوانتية وذلك عندما تكون هذه الجسيمات في الحالة الأكثر احتمالا .

ونلاحظ أن N_i تتناسب مع g_i وهذا منطقي لان كل حالة منطبقة (متكررة) يفترض انها متساوية الاحتمال.

3.8.B- تقريب الاحصاءات الكوانتية - احصاء ماكسويل - بولتزمان :

يحدث غالبا أن يكون المقدار الاسي $e^{\alpha + \beta \epsilon_i}$ كبيرا جدا بالمقارنة مع الواحد. في هذه الحالة يأخذ تابع التوزع القيمة :

$$N_i = g_i e^{-\alpha - \beta \epsilon_i} \quad (3.12)$$

هذا التقريب مشروع عندما يكون عدد الجسيمات، طاقة كل منها ϵ_i ، اقل بكثير من عدد الحالات الكوانتية التي يمكن أن تشغلها هذه الجسيمات، أي $N_i \ll g_i$ وهذا يتفق مع حالة كون الجسيمات بشكل ذرات أو جزيئات .

في الواقع يمكن أن نكتب المعالتين (3.10) و (3.11) بالشكل :

$$\frac{g_i}{N_i} - 1 = e^{\alpha + \beta \epsilon_i} \quad \text{توزع فرمي - ديراك}$$

$$\frac{g_i}{N_i} + 1 = e^{\alpha + \beta \epsilon_i} \quad \text{توزع بوز - آينشتاين}$$

فإذا كانت $\frac{g_i}{N_i} \gg 1$ أي $g_i \gg N_i$ فإن بإمكاننا إهمال الواحد في هاتين العلاقتين اللتين تصبحان مطابقتين للعلاقة (3.12) المعروفة بعلاقة ماكسويل - بولتزمان .

في الحقيقة توصل ماكسويل - بولتزمان الى هذه العلاقة منذ نهاية القرن التاسع عشر قبل أن تكون مفاهيم التناظر والتتابع الموجية وعدم التمايز قد عرفت بعد وذلك باستخدام مبادئ التحليل العددي (الفقرة 1.4.B) كما يلي :

بفرض أن لدينا غازا مؤلفا من N جسيمة مختلفة (متمايزة) نريد توزيعها على السويات الطاقية بحيث يكون لدينا :

N_0 جسيمة في سوية الطاقة ϵ_0 يمكن أن تأخذ g_0 حالة كوانتية (الانطباق)

N_1 جسيمة في سوية الطاقة ϵ_1 يمكن أن تأخذ g_1 حالة كوانتية

N_i جسيمة في سوية الطاقة ϵ_i يمكن أن تأخذ g_i حالة كوانتية

ان عدد الطرق المختلفة لتوزيع الجسيمات الـ N على سويات الطاقة بالشكل المذكور اعلاه دون الاخذ بعين الاعتبار التوزيعات المختلفة الممكنة في سوية طاقة ما يعطى بالعلاقة (1.7) أي :

$$\frac{N!}{N_1! N_2! \dots} = \frac{N!}{\prod_i N_i!}$$

لنأخذ الآن سوية الطاقة ϵ_i مثلا ، ان عدد الطرق التي يمكن أن تتوضع بها الـ N_i جسيمة في الحالات الكوانتية g_i لهذه السوية الطاقةية يساوي $g_i^{N_i}$ حسب العلاقة (1.6) .

وبالتالي فان عدد الطرق المختلفة لتوزيع الجسيمات على سويات الطاقة يكون مساويا :

$$C_M = \left(\frac{N!}{\prod_i N_i!} \right) \left(\prod_i g_i^{N_i} \right) = N! \prod_i \frac{g_i^{N_i}}{N_i!} \quad (3.13)$$

وهي نفس القيمة المشتركة التي يتناهى اليها توزيع البوزونات (3.1) وتوزيع الفرميونات (3.2) عند افعال الحدود التي تحوي N_i وكل حد يصغره امام g_i ونترك برهان ذلك كتطبيق للقارئ.

بأخذ لوغاريتم العلاقة (3.13) نجد :

$$\ln C_M = \sum_i N_i \ln g_i - \sum_i (N_i \ln N_i - N_i) + N \ln N - N \quad (3.14)$$

وهي علاقة مطابقة بتقريب قدره $(N \ln N - N)$ الى تلك العلاقة

■ يتفح من دراسة أنتروبية مزيج أن الحد $N \ln N - N$ يفرق بين الجسيمات المتمايزة والجسيمات غير المتمايزة. في الحالة الأخيرة يكون :

$$\ln C = \sum_i N_i \ln \frac{g_i}{N_i} + N$$

التي نحصل عليها بأخذ $N_i/g_i \ll 1$ في العلاقة العامة (3.8) وبالتالي يكون من السهل بأجراء حساب مشابه للذي اتبعناه في الفقرة السابقة أن نجد بدءاً من المعادلات الثلاث :

$$N - \sum_i N_i = 0$$

$$U - \sum_i N_i \epsilon_i = 0$$

$$\text{Ln} C_M = \sum_i (N_i \text{Ln} \frac{g_i}{N_i} + N_i) + (N \text{Ln} N - N)$$

قانون توزع ماكسويل - بولتزمان (العلاقة 3.12) .

3.8.B.1 ملاحظة على احصاء ماكسويل - بولتزمان :

تسمح لنا العلاقة (3.13) بحساب عدد التراكيب الممكنة مع

N جسيمة متمايزة ونكتب :

$$C_{dis} = N! \prod_i \frac{g_i^{N_i}}{N_i!} \quad (3.15)$$

أما إذا كانت الجسيمات N غير متمايزة فيما بينها فان عدد

التراكيب الممكنة تصبح :

$$C_{indis} = \prod_i \frac{g_i^{N_i}}{N_i!} \quad (3.16)$$

وذلك لان :

$$C_{dis} = N! C_{indis}$$

كما يمكن الوصول الى العلاقة (3.16) مباشرة بدءاً من توزيع

البوزونات (3.3) أو بدءاً من توزيع الفيرميونات (3.2) وذلك عند إهمال الحدود التي تحوي N_i وكل حد يصغره أمام g_i (حالة ذرات أو جزيئات) كما يلي :

$$C_B = \prod_i \frac{(N_i + g_i)!}{N_i! g_i!} = \prod_i \frac{(g_i + N_i)(g_i + N_i - 1) \dots (g_i + 1)}{N_i!} \rightarrow \prod_i \frac{g_i^{N_i}}{N_i!}$$

مع بقاءه دوماً أكبر من هذه النهاية ، وكذلك :

$$C_F = \prod_i \frac{g_i!}{N_i! (g_i - N_i)!} = \prod_i \frac{(g_i) \dots (g_i - N_i + 2)(g_i - N_i + 1)}{N_i!} \rightarrow \prod_i \frac{g_i^{N_i}}{N_i!}$$

مع بقاءه دوماً أصغر من هذه النهاية .

* * *

الفصل الرابع

التوزيعات الاحصائية والمقادير الترموديناميكية

4.1 - تمهيد :

عالجنا في الفصول السابقة المفاهيم الاساسية لنظرية جزيئية تتعلق بتوزيع الجسيمات على حالات كوانتية تؤول بمجمليها حالة ماكروسكوبية معينة للجسم المدروس ، الا أننا لم نبين بعد كيف يتم هذا الارتباط بين الحالة الميكروسكوبية المبينة بقوانين توزيع (احتمالية) والمقادير الترموديناميكية (الماكروسكوبية) التي نستخدمها لتحديد قيمها الوسطى كما ذكرنا في مقدمة دراستنا (الفقرة 1.2) ، أو بقول آخر كيف يتم حساب هذه المقادير الترموديناميكية بدءاً من قوانين التوزع الاحصائية التي وجدناها في الفصل السابق .

في هذا الفصل سنقوم بالاجابة على هذه المسألة المطروحة باستخدام مفاهيم أوجدها العالم النمساوي الشهير بولتزمان تتعلق بحالة التوازن لغاز .

4.2 - فراغ الطور

لنعتبر غازا وحيد الذرة مؤلفا من عدد معين N من الجزيئات ، طاقته الكلية U ثابتة ضمن حجم V لا يتغير. عند لحظة ما تتحدد حالة جزيئة وحيدة الذرة بستة وسائط : احداثيات الموضع الثلاثة x, y, z والمركبات الثلاثة لشعاع سرعتها V_x, V_y, V_z . اعتبر بولتزمان وجود فراغ سداسي الابعاد اطلق عليه اسم "فراغ الطور" . تتمثل فيه حالة جزيئة ما بنقطة واحدة. لها ستة احداثيات

$$P_y = m v_y , \quad P_x = m v_x \quad \text{حيث } x, y, z, P_x, P_y, P_z$$

$P_z = m v_z$ تمثل مركبات شعاع كمية الحركة $m \vec{v}$ الناتجة عن كتلة الجزيئة وشعاع سرعتها. سنطلق على هذا الشعاع للاختصار اسم شعاع العزم " Moment " أو بالانكليزية " momentum " . تكون حالة الغاز

في لحظة معينة معرفة تماما اذا عرفنا في فراغ الطور النقطة P_i الممثلة لكل جزيئة. تصور بولتزمان انه يمكن تقسيم فراغ الطور الى مناطق متساوية الحجم (Δ) ذات ابعاد صغيرة جدا. بحيث يمكننا أن نهمل التغير الطفيف بين طاقات الجزيئات الموجودة في كل منطقة ، تتحدد حالة الغاز عندها بمعرفة عدد الجزيئات الموجوده في كل منطقة كما تتميز الجزيئات الموجودة في نفس المنطقة بأن لها نفس الاحداثيات الستة $x_i, y_i, z_i, P_{ix}, P_{iy}, P_{iz}$ (بتقريب متناه في الصغر نفترضه مهمل) وبالتالي يمكن وصف حالة الغاز على السليم \blacksquare نفترض هنا أن الجزيئات وحيدة الذرة ومتماثلة المناحــي Isotropes. في هذه الحالة تتميز الجزيئات فقط بستة وسائط كون طاقة الهيجان الحراري تتطابق مع الطاقة الانسحابية لها .

الجزيئي بالاحداثيات الستة للمناطق المختلفة وبعدد الجزيئات الموجودة في كل منطقة . ان حالة كهذه حيث استثنينا فردية الجزيئات تمثل الحالة الماكروسكوبية . لنفترض الان ان الجزيئات متمايضة ومرقمة ولناخذ ارقام الجزيئات الموجودة في كل منطقة . فنناذا اضطلعنا على تعريف حالة ما ليس فقط بعدد الجزيئات في كل منطقة وانما بمعرفة ارقامها فاننا نقول مع بولتزمان اننا نميز بذلك "بنية" Complexion . مفهوم البنية هذا حسب بولتزمان هو شيء أكثر تحديدا بكثير من حالة ماكروسكوبية . عموما يمكن أن تشكل حالة ماكروسكوبية ما من عدد كبير من البنى التي يمكن استنتاج احداها من الاخرى بتبادل مواضع الجزيئات بين المناطق المختلفة . في الواقع هذا ما قمنا به حتى الان في حساب التوزعات الاحصائية حيث شبهنا الجزيئات بكرات ومناطق فراغ الطور بالمناديق التي نوزع الكرات بداخلها (انظر الفقرة 3.3) .

4.3 - الاحتمال والانتروبية (مبدأ بولتزمان)

وفقا لبولتزمان فان مجموعة من جزيئات غاز توجد في لحظة ما في حالة ماكروسكوبية ذات احتمال ضعيف ستتطور خلال الزمن بسبب الاصطدامات المتعاقبة نحو حالة ماكروسكوبية باحتمال أعظمي . ان كافة البنى التي نفترض من حيث المبدأ انها متساوية الاحتمال تتشكل بصورة متتابعة خلال الزمن والحالة الماكروسكوبية المتشكلة في اغلب الاحيان توافق العدد الاكبر من البنى . وهذا يقودنا الى قبول من جهة أن حالة التوازن الاحصائية توافق الحالة الماكروسكوبية الأكثر احتمالا، وقبول من جهة أخرى أن الجملة باستمرارها في التطور

دون توقف تمر بحالات ماكرو سكوبيه تبعد أو تقرب من الحالة الاكثـر
احتمالا. فالجملة تخضع " لترجحات " Fluctuation خلال الزمن.
ترجحات توافق الى فوارق ضعيفة زهيدة بالنسبة للحالة الاكثـر
احتمالا عندما تكون الجملة مؤلفة من عدد كبير جدا من الجسيمات
كما سنجد في نهاية هذه الفقرة.

من جهة ثانية نعلم في علم الترموديناميك الماكرو سكوبي
أن حالة التوازن الترموديناميكي لجملة معزولة ذات حجم ثابت
تتميز بكون تابع الانتروبيه S أعظـميا . فالجملة التي لا تكون في
حالة توازن ترموديناميكي تتطور بصورة غير عكوسة، نحو هذه الحالة
من الانتروبيه العظمى (2.2 فقرة ب).

لقد تنبأ بولتزمان مستنتجا هذا التوازي وجود علاقة بيـن
مفهوم الانتروبيه S الترموديناميكي والمفهوم الاحصائي لاحتمال W .
لتحديد هذه العلاقة يجب ملاحظة أن الانتروبيه مقدار يتمتع بخاصية
التجميع : فانتروبيه مجموعة مؤلفة من عدة أجزاء مميزة ومفصلة
عن بعضها بعضا تساوي مجموع انتروبـيات الأجزاء . في حين أن الاحتمال
 W هو على العكس مقدار يتمتع بخاصية الجداءات . بمعنى اذا كانت
 W_1 تمثل تابع الاحتمال لجملة A كي تكون في الحالة 1 ، واذا كانت
 W_2 تمثل تابع الاحتمال لجملة B كي تكون في حالة 2 ، واذا كانت A و
 B مجموعات غير مرتبطة (مستقلة) فان الاحتمال الكلي كي توجد A
في الحالة 1 و B في الحالة 2 معا في نفس الوقت يساوي (حسب 1.4.A):

$$W = W_1 \cdot W_2$$

اذن كي نتمكن من تحقيق أن جملة مركبة تحقق معا العلاقتين

$S = S_1 + S_2$ و $W = W_1 \cdot W_2$ فان العلاقة بين S و W يجب أن تأخذ

الشكل :

$$S = K \ln W \quad (4.1)$$

حيث تمثل K ثابتة التناسب وتسمى ثابتة بولتزمان نسبة الى بولتزمان الذي افترض وجود مثل هذه العلاقة بين الانتروبية والاحتمال.

بايجاد هذه العلاقة يصبح من الممكن ربط المقادير الترموديناميكية بالمقادير الاحصائية وادخال المعنى الاحصائي لمفهوم درجة الحرارة المطلقة بدءاً من العلاقة $T = \frac{dQ}{dS}$ أو $dS = \frac{dQ}{T}$ مطبقة على تحول عكوس متناه في الصغر . فاستنادا الى فرضية بولتزمان تأخذ هذه العلاقة الشكل :

$$T = \frac{dQ}{K d \ln W} \quad (4.2)$$

إذا في حالة التوازن تكون الانتروبية اعظمية، وبالتالي يمكن أن نكتب $dS = 0$ وينتج عن ذلك أن $d \ln W = 0$ الموافق للتوزع الاكثر احتمالا .

لذلك فالميكانيك الاحصائي يفسر الزيادة في انتروبية جملة مغلقة كنتيجة لميل طبيعي للجملة في أن تنتقل من حالة اقل احتمالا الى حالة أكثر احتمالا .

وانه ليساعدنا كثيرا أن نعبر عن مفهوم الاحتمال بعبارات أخرى مثل فوضى او عدم انتظام الجملة " Disordre " بأن نقول انه كلما كانت الفوضى كبيرة كان الاحتمال الترموديناميكي كبيرا، وبالتالي كانت الانتروبية كبيرة. كذلك عندما تأخذ الانتروبية،

وبالتالي الاحتمال الترموديناميكي ، اقل قيمة لها ؛ تكون فوضى —
الجملة في أدنى مرتبه ، أي أن الجملة ستكون في أقصى حالات انتظامها .
تفسير ذلك هو في أن أكبر مرتبة لدرجة انتظام النقاط الطورية لجملة
غازية مثلا في الفراغ الطوري تنتج اذا وقعت بكاملها في منطقة
واحدة ، أي اذا كانت محصورة في حجم من الفراغ العادي صغير جدا
وتتحرك كلها بنفس السرعة . الاحتمال الترموديناميكي W لحالة كهذه
يأخذ أصغر قيمة له وهو $W = 1$ وتصبح الانتروبية $k \ln W$ مساوية الصفر .
كلما تباعدت الجسيمات في الفراغ العادي، تباعدت قيم سرعتها فـي
فراغ السرعة وازدادت فوضى الجملة وبالتالي ازدادت انتروبيتها .
مثال ذلك لننتصور أن وعاء قسم حجمه الى قسمين بواسطة حاجز ويحتوي
كل قسم على غاز يختلف عن الآخر ولكن بحيث ان عدد جزيئات الغاز
الاول يساوي عدد جزيئات الغاز الثاني . ان جملة كهذه لها درجة
انتظام محددة في أن جزيئات الغاز الاول تبقى في القسم الاول وجزيئات
الغاز الثاني تبقى في القسم الثاني . لنفرض أننا رفعنا الحاجز
عندها ينتشر كل غاز في الآخر ويملا كل منهما حجم الوعاء بكامله
بصورة متجانسة . الانتظام الاصلي اختفى وفوضى الجملة أو عدم انتظامها
الاصلي قد ازداد . ولكن الانتروبية قد ازدادت ايضا لان الحجم الذي
كان يشغله كل غاز قد تضاعف (عند درجة حرارة ثابتة اذا كان
الغازان كاملين) .

في تمدد كظوم عكوس لغاز ما يزداد الحجم ولكن درجة الحرارة
تتناقص ومع ذلك تبقى الانتروبية ثابتة وكذلك فوضى disorder
الجملة يبقى ثابتا . تعليل ذلك ان زيادة الفوضى الناتجة عن زيادة
الحجم توازنها نقصان الفوضى الناتجة عن تباطؤ سرعة جزيئاتها

عند درجة حرارة أخفض .

استنادا الى قوانين الترموديناميك تمثل هذه التحولات بالنسبة لجملة مغلقة التحولات الممكنة لها والتي اما أن تتزايد خلالها انتروبية الجملة أو أن تبقى ثابتة . في حين أن أي تحول تتناقض خلاله الانتروبية سيكون ممنوعا . ولكن هذه الفرضية الجازمة يجب تعديلها في ضوء الميكانيك الاحصائي . فلو فرضنا أن جملة في حالة احتمال أعظمي أو أنتروبية عظمى فان هذه الحالة لا تمثل حالة توازن بسبب الترحجات المستمرة للنقاط الطورية في فراغ الطور . وبالمصادفة يمكن أن تقع في احدى الحالات التي يكون الاحتمال من أجلها ، وبالتالي الانتروبية ، اقل من الاحتمال الاعظمي . لا شك أن التغيرات الطفيفة تكون أكثر شيوعا من التغيرات الكبيرة ، الا أن هذه الاخيرة ليست مستحيلة وانما احتمال عدم حدوثها يكون كبيرا . وسوف نتعرض لهذه المسألة بتفصيل اكبر في فصل الترحجات .

4.3.A - علاقة الانتروبية الاحصائية :

استنادا الى مبدأ الشك لهايزنبرغ (فقرة 5.2.1) فان طاقة جملة ما لا يمكن تعيينها الا بدقة منتهية . لنفرض أنها محصورة بين قيمتين متجاورتين U و $U + \epsilon U$ وأن W هو عدد الحالات الكوانتية الممكنة للجملة في مجال الطاقة هذا ، ان احتمال ملاحظة حالة ما i يكون عندها مساويا :

$$P_i = \frac{1}{W} \quad (U \leq U_i \leq U + \epsilon U)$$

$$P_i = 0 \quad (U_i < U \text{ أو } U_i > U + \epsilon U)$$

$$S = \sum_i p_i = 1 \quad \text{مع تحقق شرط التنظيم}$$

تعرف الانتروبية الاحصائية بالعلاقة :

$$S = -k \overline{\text{Ln} P_i}$$

أي

$$S = -K \sum_i P_i \text{Ln} P_i \quad (4.1.a)$$

والمكافئة للعلاقة (4.1) . ونلاحظ أن المجموع في العلاقة

(4.1.a) ممتد على الحالات الممكنة في مجال الطاقة ولكن يمكن

أيضا أن نأخذه همتدا على مجمل الحالات الطاقية لان $\sum_i P_i \text{Ln} P_i = 0$

إذا كانت $P_i = 0$

تعتبر هذه العلاقة (4.1.a) التي تعرف الانتروبية

الترموديناميكية بعبارات الارتياب للحالة الميكروسكوبية لجملة

ما علاقة عامة جدا يمكن استخدامها في كثير من العلوم كالنظرية

المعلوماتية مثلا حيث تعرف الانتروبية بعلاقة مشابهة لهذه العلاقة

المذكورة كما سنجد في الفقرة (10.7.B) .

4.4 - تعيين الوسائط α و β لقوانين التوزع:

سنقوم بحساب الوسائط α و β في حالة احصاء ماكسويل -

بولتزمان أولا لانه يستخدم في أغلب الحالات ولان قيمة α تكون

فيه محددة بعلاقة بسيطة، أما قيمة β فتأخذ نفس القيمة مهما كان

الاحصاء المدروس .

4.4.A - تعيين الوسيط α

إذا كان عدد جسيمات الجملة المدروسة ثابتا فانه يمكننا

أن نكتب باستخدام احصاء ماكسويل بولتزمان أن $N = \sum_i N_i$ حيث

$$N_i = g_i e^{-\alpha - \beta \epsilon_i} \quad \text{منه :}$$

$$N = e^{-\alpha} \sum_i g_i e^{-\beta \epsilon_i} = e^{-\alpha} Z$$

ومنه نجد :

$$N_i = \frac{N}{Z} g_i e^{-\beta \epsilon_i} \quad (4.3)$$

حيث فرضنا أن :

$$Z = \sum_i g_i e^{-\beta \epsilon_i} \quad (4.4)$$

ويسمى Z مجموع الحالات أو تابع التحاص وهو عدد مميز للجسيمة يلعب دورا أساسيا في دراسات الفيزياء الحرارية الاحصائية .

أما قيمة α فتساوي :

$$\alpha = \ln \frac{Z}{N} \quad (4.5)$$

أي أنها تابع للمقادير N و β و U لأن Z يتبع الطاقة الكلية

U وهذا ما سنبرهنه فيما يلي : لدينا

$$U = \sum_i N_i \epsilon_i = \sum_i \epsilon_i g_i e^{-\alpha - \beta \epsilon_i} = e^{-\alpha} \sum_i \epsilon_i g_i e^{-\beta \epsilon_i} \quad (4.6)$$

ولكن مجموع الحالات Z تابع كما يتضح من تعريفه (4.4) للعدد g_i و β و ϵ_i . ولكن ϵ_i تابع للحجم الذي تشغله الجسيمة (في الحركة الانسحابية فقط) وإلى مقادير مميزة لتركيبها الهندسي والالكتروني (المعادلة 2.4) . ومن أجل جزيئة شائبة الذرة فان الطاقة الدورانية تتعلق بالبعد بين الذرتين فيها (2.7) وطاقة الاهتزاز تابع لتواتر الاهتزاز (2.10) . وبالتالي فان Z تابع لـ β وللحجم V الذي يتبع نوع الجسيمة المدروسة :

$$Z = f(\beta, V) \quad (4.7)$$

يمكننا ضمن هذه الشروط أن نكتب :

$$U = - \frac{N}{Z} \left(\frac{\partial}{\partial \beta} \sum_i g_i e^{-\beta \epsilon_i} \right)_V = - \frac{N}{Z} \left(\frac{\partial Z}{\partial \beta} \right)_V$$

$$U = -N \left(\frac{\partial}{\partial \beta} \ln Z \right)_V \quad (4.8)$$

وتجدر الملاحظة أن قيما α لا تتحدد بمعادلة (4.5) فهي الاحصاءات الكوانتية وانما تكرر أكثر تعقيداً ولا يمكن الحصول عليها إلا باستخدام النشر وفق سلاسل .

4.4.B تعيين الوسيط β

يتم تعيين الوسيط β بإجراء المقارنة بين توابع الحالة المحسوبة انطلاقاً من الميكانيك الاحصائي مع تلك المعطاة في الترموديناميك الكلاسيكي، في الواقع يمكننا أن نكتب العلاقة (3.14) على الشكل :

$$\ln C_M = \sum_i N_i \ln g_i - \sum_i N_i \ln N_i + N \ln N$$

$$\ln C_M = \sum_i N_i \ln \frac{g_i}{N_i} + N \ln N \quad (4.9)$$

كما ويمكننا حساب المقدار $\frac{g_i}{N_i}$ من العلاقة (4.3) التي تكتب على الشكل :

$$\frac{g_i}{N_i} = \frac{Z}{N} e^{\beta \epsilon_i}$$

التي باخذ اللوغاريتم تصبح :

$$\ln \frac{g_i}{N_i} = \ln Z - \ln N + \beta \epsilon_i$$

وبتعويض هذه القيمة في العلاقة (4.9) نحصل من أجل الحالة

الماكروسكوبية الأكثر احتمالا على :

$$\ln W = \sum_i N_i \ln Z - \sum_i N_i \ln N + \beta \sum_i \epsilon_i N_i + N \ln Z$$

$$\ln W = N \ln Z + \beta U$$

وبالتعويض في العلاقة الأساسية لبولتزمان :

$$S = k \ln W$$

نجد

$$S = Nk \ln Z + k \beta U$$

في الواقع اذا قمنا بتقديم طاقة dU الى الجملة المدروسة بشكل عكوس مع بقاء الحجم ثابتا ، فان هذه الزيادة dU تؤدي الى زيادة انتروبية الجملة بالمقدار

$$dS = k \beta dU \quad (4.10)$$

بعد الاخذ بعين الاعتبار العلاقة (4.7)

ولكن تحت حجم ثابت تغير الطاقة الداخلية للجملة يتم حسب

المبدأ الاول في الترموديناميك تحت شكل طاقة حرارية لان :

$$dU = dQ$$

ولدينا من جهة ثانية حسب المبدأ الثاني :

$$dS = \frac{dQ}{T} = \frac{dU}{T} \quad (4.11)$$

وبمطابقة العلاقتين (4.10) و (4.11) نجد أن $k\beta = \frac{1}{T}$ أو :

$$\beta = \frac{1}{KT} \quad (4.12)$$

ان قيمة β هذه تبقى نفسها مهما كان الاحصاء المدروس كما ذكرنا في مقدمة هذه الفقرة و سنبرهن فيما يلي على ذلك. لنعتبر من أجل ذلك جملة مثالية مؤلفة من جملتين جزيئيتين مثاليتين مركبتين لها عدد جسيمات الاولى N_0, N_1, \dots, N_i جسيمة طاقاتها $\epsilon_0, \epsilon_1, \dots, \epsilon_i$ وعدد جسيمات الثانية N'_0, N'_1, \dots, N'_i جسيمة طاقاتها $\epsilon'_0, \epsilon'_1, \dots, \epsilon'_i$ لا تخضعان الى نفس الاحصاء كأن تكون احداها مؤلفة من فرميونات والثانية من بوزونات مثلا .

يمكن أن نكتب من أجل هذه الجملة المركبة المعادلات التالية :

$$N = \sum_i N_i, \quad N' = \sum_i N'_i, \quad U = \sum_i (N_i \epsilon_i + N'_i \epsilon'_i)$$

بفرض أن عدد التراكيب التي يمكن أن تعطىها كل جملة جزيئية

هو C للأولى و C' للثانية يكون عدد التراكيب الجملة هو CC'

حسب 1.4.A .

بتطبيق طريقة مضارب لاغرانج يمكننا دراسة الحالة الأكثر

احتمالا لهذه الجملة بأن نكتب من أجل كل متحول N_i و N'_i معادلة

من الشكل :

$$\frac{\partial}{\partial N_i} \ln C + \frac{\partial}{\partial N'_i} \ln C' + \alpha \frac{\partial}{\partial N_i} (N - \sum_i N_i) + \alpha' \frac{\partial}{\partial N'_i} (N' - \sum_i N'_i) + \\ + \beta \frac{\partial}{\partial N_i} (U - \sum_i N_i \epsilon_i - \sum_i N'_i \epsilon'_i) = 0$$

ولكن لما كانت C' ، $N'_i - \sum N'_i \epsilon'_i$ و $\sum N'_i \epsilon'_i$ مقادير مستقلة

عن المتحولات N_i تأخذ العلاقة السابقة الشكل :

$$\frac{\partial}{\partial N_i} \text{Ln} C - \alpha - \beta \epsilon_i = 0$$

وبمحاكمة مشابهه بالنسبة للمتحولات N'_i نجد :

$$\frac{\partial}{\partial N'_i} \text{Ln} C' - \alpha - \beta \epsilon'_i = 0$$

ان قيم N_i و N'_i تتعين بحل هاتين المعادلتين .

نلاحظ ان قيم C و α تختلف حسب الاحصاء المقترح ، ولكن

مهما كانت طبيعة الجسيمات فان المعامل β يبقى نفسه . في الواقع

ان طاقة الجملة تؤول الى معادلة وحيدة معطاة بمبدأ حفظ

الطاقة وهو :

$$U = \sum_i N_i \epsilon_i + \sum_i N'_i \epsilon'_i$$

مما يفسر وحدانية قيمة β مهما كان الاحصاء المدروس .

نلاحظ اخيرا أنه يمكن التعبير عن الوسيط β بدلالة الاحتمال

الترموديناميكي W وذلك بالاستفادة من العلاقة (4.2) مع ملاحظة

أن $dU = dQ$ بشبوت الحجم ، فنجد أن :

$$\frac{1}{KT} = \beta = \frac{\partial \text{Ln} W}{\partial U}$$

أي أن β تابع للطاقة U للجملة المدروسة ، وهذه العلاقة

تصير قيمة الطاقة عندما يكون الاحتمال اعظما ، حسب تعريف W ، أي في

حالة التوازن الترموديناميكي ، كما يتضح منها أن أبعاد β هي من

أبعاد مطلوب الطاقة . يمكن اذا الاستفادة من خاصية الوسيط β

باستخدامه كمتحول ترمومتري لميزان حراري. فإذا وجدنا مثلا القيمة الخاصة β_M لهذا المتحول لميزان حراري M حين استخدامه لقياس درجة حرارة جسم ما A ، فإننا نعلم عندها أنه في حالة التوازن الحراري بين الترمومتر والجسم أن $\beta_M = \beta_A$. . تحدد لنا أيضا هذه العلاقة خاصية أساسية هامة للجسم A ، إذ أن ميزان الحرارة يقيس لنا كما تبين المعادلة المذكورة أعلاه تغير كثافة الحالات بالنسبة للجسم مع الطاقة.

نتبين من ذلك مدى أهمية ادخال هذا الوسيط في علاقات التوزيع لمختلف الاحصاءات المدورسه حتى الان .

4.5- التفسير الاحصائي لكمية الحرارة والعمل لمجموعة جسيمات

ليكن لدينا مجموعة من N جسيم محتواة في حجم ثابت وموزعة على سويات طاقة ϵ_i منطبقة g_i مرة وتضع لاحصاء ماكسويل - بولتزمان وجدنا أن الطاقة الداخليه لهذه الجملة معطاة وفق العلاقة (4.8) أي :

$$U = - N \left(\frac{\partial}{\partial \beta} \ln Z \right)_V$$

ان تفسير طاقة جملة كهذه لا نتبادل مع الوسط الخارجي سوى طاقة ميكانيكية بشكل عمل وطاقة حرارية Q يعطى استنادا الى المبدأ الاول في الترموديناميك على الشكل :

$$\Delta U = \tau + Q$$

$$dU = d\tau + dQ \quad \text{او} \quad (4.13)$$

حيث نرمز بـ τ و Q للقيم المطلقة للعمل ودرجة الحرارة على الترتيب المتبادلة مع الوسط الخارجي مهما كان اتجاه هذا التبادل.

وقد وجدنا أن الطاقة الداخلية لجملة كهذه تعطى بالعلاقة

(فقره 3.7) :

$$U = \sum_i N_i \epsilon_i \quad (4.14)$$

والتي بمفاضلتها تأخذ الشكل :

$$dU = \sum_i N_i d\epsilon_i + \sum_i \epsilon_i dN_i \quad (4.15)$$

أي أن dU تمثل مجموع حدين يرتبط الحد الاول $\sum_i N_i d\epsilon_i$ بتغير في قيمة الطاقة للسويات الطاقية، في حين يتعلق الحد الثاني $\sum_i \epsilon_i dN_i$ بتوزيع الجسيمات على سويات الطاقة المختلفة.

ولكن دراسة حركة جسيمة بمساعدة قوانين الميكانيك الكلاسيكي تقتضي وفق مبادئ هذا الميكانيك أن يكون العمل مساويا تغير طاقة الجسيمة أي $d\tau = d\epsilon_i$ إلا أن المصاعب تظهر عند حساب العمل الوسطي المتبادل مع الوسط الخارجي " لمجموعة " مؤلفة من N جسيمة. ان قيمته $d\tau$ لا تكون مساوية $\sum_i N_i d\epsilon_i$ إلا اذا افترضنا ان العمل العنصري $d\epsilon_i$ للجسيمة ذات الطاقة ϵ_i لا يؤثر في توزيع الجسيمات، او بقول آخر سيكون لكل من الجسيمات N_i الطاقة $\epsilon_i + d\epsilon_i$ ان تحقق هذا الشرط يوافق حسب (4.13) تحولا كظوميا. فاذا أردنا من جهة ثانية مقارنة هذا العمل الوسطي بالعمل الماكروسكوبي كما نعرفه عادة، فيجب ان نفترض ان التحول شبه سكوني (أو عكوس بالمفهوم الترموديناميكي) شرط لازم كي نتمكن من مطابقة متحولات الجملة مع المتحولات الخارجية عن الجملة (كقولنا ضغط الجملة هو ضغط

جدران هذه الجملة عليها) . وبالتالي فالعبارة $d\tau = \sum_i N_i d\epsilon_i$ لا تكون صحيحة الا اذا اكدنا على أن العمل $d\tau$ متبادل خلال تحول شبه سكوني وكظوم . اذا ضمن الشروط المذكورة آنفا نستطيع ان نكتب

$$d\tau = \sum_i N_i d\epsilon_i \quad (4.16)$$

نستنتج اذا أن العمل $d\tau$ الذي يمكننا حسابه بدءاً من قوانين الميكانيك الكلاسيكي لعدد من الجسيمات قدره N لا يشكل الطاقة الكلية لهذه الجملة ، فهو ان كان كذلك من أجل جسيمة واحدة ($d\tau = d\epsilon_i$) الا أن الامر يختلف حين تكون الجسيمات مجتمعة . واستناداً الى العلاقة (4.15) يمكننا أن نكتب عندها ان :

$$dU = d\tau + \sum_i \epsilon_i dN_i = d\tau + dQ$$

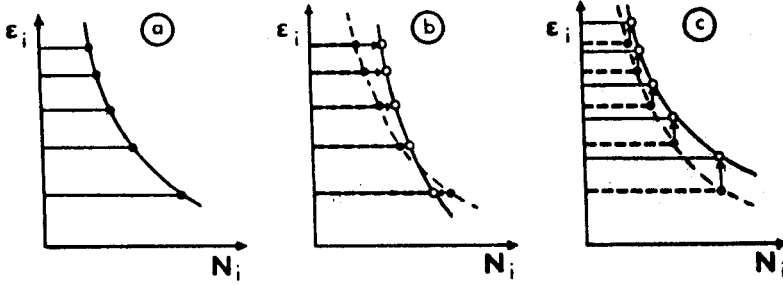
وذلك بتطبيق المعادلة (4.13) ومنه نجد أن :

$$dQ = \sum_i \epsilon_i dN_i \quad (4.17)$$

فكمية الحرارة Q والتي ليس لها معنى فيزيائي من أجل جسيم تصبح كمية فيزيائية لجملة ماكروسكوبية اذ تحتوي على عدد كبير من الجسيمات (أو عدد كبير من درجات الحرية) فهي تمثل اعادة توزيع الجسيمات في مختلف سويات الطاقة ، او بقول آخر تعادل من اشغالها .

ان العلاقتين (4.16) و (4.17) للعمل $d\tau$ وكمية الحرارة dQ تبين أن لكل منهما طبيعة تختلف بصورة كبيرة احدها الاخرى في حين أن المبدأ الاول في الترموديناميك بعلاقته التفاضلية (4.13) لا يميز بينهما اطلاقاً وان كان هذا التمييز يظهر بشكل كيفي في المبدأ الثاني.

الشكل (4.1) يوضح هذا الاختلاف على المعيد الميكروسكوبي .



الشكل رقم (4.1)

الحالة البدائية: سويات الطاقة ومنحنيات متقطعة . الانشغال .

الحالة النهائية: سويات الطاقة ومنحنيات مستمرة . الانشغال .

(a) توزيع عند حالة التوازن في جملة طاقتها الداخلية U .

(b) تحول عكوس تحت حجم ثابت : طاقات مختلف سويات الطاقة

$$dU = dQ = \sum_i \epsilon_i dN_i \quad \text{و} \quad d\tau = 0 \quad : \quad \text{تبقى شابته}$$

زيادة الطاقة الداخلية للجملة يأتي من انزياح جسيمات

سويات الطاقة الاخفض نحو سويات الطاقة الاعلى .

$$dU = d\tau = \sum_i N_i d\epsilon_i \quad : \quad \text{لنعتبر تحولا كظوما عكوسا}$$

زيادة الطاقة الداخلية للجملة تأتي من انزياح سويات

الطاقة وليس من اعادة توزيع الجسيمات على سويات الطاقة .

4.6 - حساب التوابع الترموديناميكية بتطبيق احصاء ماكسويل -

بولتزمان :

ان التوابع الترموديناميكية المعتادة - توابع الحالة -

في الترموديناميك التقليدي قابلة للحساب بدءاً من تابع مجموع

الحالات Z كما سنبين فيما يلي . وبالتالي يمكننا أن نستنتج أن كل

المقادير الترموديناميكية التي تعرف الذرات والجزيئات تتحدد

بدءاً من تركيبها الداخلي . الا أنه يجب ملاحظة ما يلي : ان قيم

C_{dis} و C_{indis} والمعرفة بالعلاقتين (3.15) و (3.16) وذلك عند تطبيق احصاء ماكسويل - بولتزمان تؤدي عند تعويضها في علاقة مبدأ بولتزمان $S = K \ln W$ الى ما يلي :

$$S_{dis} - S_{indis} = K \ln \frac{W_{dis}}{W_{indis}} = K \ln N! \approx NK(\ln N - 1) \quad (4.18)$$

يتضح من ذلك أنه فيما يخص الانتروبية والكميات التي تنتج عنها كالطاقة الحرة F والانتالبية الحرة G فان التمييز بين حالتى الجسيمات المتمايزة (dis) وغير المتمايزة (indis) سيكون اساسيا في حساباتنا .

كذلك بتعويض قيمة β المحسوبة بالعلاقة (4.12) في قانون ماكسويل - بولتزمان وفق الشكل (4.3) يعطينا :

$$N_i = \frac{N}{Z} g_i e^{-\epsilon_i / KT} \quad (4.19)$$

حيث

$$Z = \sum_i g_i e^{-\epsilon_i / KT} \quad (4.20)$$

وذلك بتعويض β في العلاقة (4.4) .

4.6.A- التوابع الناتجة عن المبدأ الاول في الترموديناميك :

الطاقة الداخلية U:

$$U = \sum_i N_i \epsilon_i$$

ويكون لدينا بعد الاخذ بعين الاعتبار المعادلة (4.19) :

$$U = \frac{N}{Z} \sum_i g_i \epsilon_i \exp\left(-\frac{\epsilon_i}{KT}\right)$$

وبملاحظة ان :

$$\left(\frac{\partial Z}{\partial T}\right) = \frac{1}{KT^2} \sum_i g_i \epsilon_i \exp\left(-\frac{\epsilon_i}{KT}\right) = \left(\frac{\partial Z}{\partial T}\right)_V$$

نجد أن :

$$U = + NKT^2 \left(\frac{\partial \ln Z}{\partial T}\right)_V \quad (4.21)$$

او مباشرة من العلاقة (4.8) بعد تعويض β بقيمتها من

العلاقة (4.12) .

العمل τ :

$$\begin{aligned} d\tau &= \sum_i N_i d\epsilon_i = \frac{N}{Z} \sum_i g_i e^{-\beta \epsilon_i} d\epsilon_i \\ &= -\frac{1}{\beta} \frac{N}{Z} (dZ)_\beta = -\frac{N}{\beta} (d \ln Z)_\beta \end{aligned} \quad (4.22)$$

$$d\tau = - NKT \sum_i \left(\frac{\partial \ln Z}{\partial \epsilon_i}\right)_T d\epsilon_i \quad (4.23)$$

كمية الحرارة Q :

$$dQ = dU - d\tau$$

ويكون استنادا للعلاقين (4.21) و (4.23) :

$$dQ = NKT \left[2 \left(\frac{\partial \text{Ln} Z}{\partial T} \right)_V dT + T \left(\frac{\partial^2 \text{Ln} Z}{\partial T^2} \right)_V dT + \sum_i \left(\frac{\partial \text{Ln} Z}{\partial \epsilon_i} \right)_T d\epsilon_i \right]$$

وبالخذ بعين الاعتبار ان $Z = f(\beta, \epsilon_i)$ وبالتالي يمكن

أن نكتب :

$$d \text{Ln} Z = \sum_i \left(\frac{\partial \text{Ln} Z}{\partial \epsilon_i} \right)_T d\epsilon_i + \left(\frac{\partial \text{Ln} Z}{\partial T} \right)_V dT$$

نحصل على :

$$dQ = NKT \left[d \text{Ln} Z + \left(\frac{\partial \text{Ln} Z}{\partial T} \right)_V dT + T \left(\frac{\partial^2 \text{Ln} Z}{\partial T^2} \right)_V dT \right]$$

$$dQ = NKT \left[d \text{Ln} Z + d \left(T \left(\frac{\partial \text{Ln} Z}{\partial T} \right)_V \right) \right]$$

$$dQ = NKT \left[d \left(T \left(\frac{\partial \text{Ln} Z}{\partial T} \right)_V \right) + \text{Ln} Z \right] \quad (4.24)$$

ونستنتج مباشرة من هذه العلاقة ان $\frac{dQ}{T} = dS$ تفاضل كلي تام

الضغط P:

لدينا $d\tau = -PdV$ ومنه نجد بالاستفادة من (4,23) أن :

$$P = NKT \left(\frac{\partial \text{Ln} Z}{\partial V} \right)_T \quad (4.25)$$

معادلة الحالة لمجموعة جسيمات مهملة التأثير المتبادل :

وجدنا ان تابع التخاص (حسب المعادلة 4.7) هو تابع لـ β

4.6.B. التوابع الناتجة عن المبدأ الثاني في الترموديناميك :

الانتروبية S :

(أ) جسيمات غير متمايزة :

$$S_{\text{indis}} = K \ln w_{\text{indis}} = K \left[\sum_i N_i \ln \frac{g_i}{N_i} + N \right]$$

وبتعويض (4.20) نجد :

$$S_{\text{indis}} = K \left[\sum_i N_i \left(\ln \frac{Z}{N} + \frac{\epsilon_i}{KT} \right) + N \right] = \frac{U}{T} + NK \left(\ln \frac{Z}{N} + 1 \right)$$

$$S_{\text{indis}} = NK \left[T \left(\frac{\partial \ln Z}{\partial T} \right)_V + \ln \frac{Z}{N} + 1 \right] \quad (4.27)$$

(ب) جسيمات متمايزة :

ينتج بعد الاخذ بعين الاعتبار (4.18) أن :

$$S_{\text{dis}} = NK \left[T \left(\frac{\partial \ln Z}{\partial T} \right)_V + \ln Z \right] \quad (4.28)$$

الطاقة الحرة F:

(أ) جسيمات غير متمايزة :

$$F = U - TS$$

$$F_{\text{indis}} = -NKT \left(\ln \frac{Z}{N} + 1 \right) \quad (4.29)$$

(ب) جسيمات متمايزة :

$$F_{\text{dis}} = -NKT \ln Z \quad (4.30)$$

الانتالبية الحرة G :

(أ) جسيمات غير متمايضة :

$$G = F + PV = F + NKT$$

$$G_{indis} = -NKT \ln \frac{Z}{N} \quad (4.31)$$

(ب) جسيمات متمايضة :

$$G_{dis} = -NKT (\ln Z - 1) \quad (4.32)$$

والجدول رقم (4.1) يبين مختلف قيم التوابع الترموديناميكية

بتطبيق احصاء ماكسويل - بولتزمان .

4.7 - حساب التوابع الترموديناميكية بتطبيق الاحصاء الكوانتية

4.7.A - الاحتمال الترموديناميكي :

لدينا العلاقة (3.8) أي :

$$\ln C = \sum_i [N_i \ln \left(\frac{g_i}{N_i} - \delta \right) - \delta g_i \ln \left(1 - \delta \frac{N_i}{g_i} \right)]$$

وتابع التوزع (3.9) أي :

$$N_i = \frac{g_i}{e^{\alpha + \beta \epsilon_i + \delta}}$$

والذي نحصل عليه بجعل C أعظميا . ولكن لما كان الاحتمال

الترموديناميكي يمثل القيمة الاعظمية لـ C (انظر فقرة 3.7) ،

يكون مع تعويض (3.9) في (3.8) .

$$\ln W = \sum_i [N_i \ln e^{\alpha + \epsilon_i / KT} - \delta g_i \ln \left(1 - \frac{\delta}{e^{\alpha + \epsilon_i / KT} + \delta} \right)]$$

الجمية	$\frac{U}{NK}$	$\frac{P}{NK}$	$\frac{H}{NK}$	$\frac{S}{NK}$	$\frac{F}{NK}$	$\frac{G}{NK}$
غير متساوية	$T^2 \left(\frac{\partial L n Z}{\partial T} \right) V$	$T \left(\frac{\partial L n Z}{\partial V} \right) T$	$T^2 \left(\frac{\partial L n Z}{\partial T} \right) p$	$T \left(\frac{\partial L n Z}{\partial T} \right) + L n \frac{Z}{N} + 1$	$-T \left(L n \frac{Z}{N} + 1 \right)$	$-\frac{Z}{N}$
متساوية	$T^2 \left(\frac{\partial L n Z}{\partial T} \right) V$	$T \left(\frac{\partial L n Z}{\partial V} \right) T$	$T^2 \left(\frac{\partial L n Z}{\partial T} \right) p$	$T \left(\frac{\partial L n Z}{\partial T} \right) + L n \frac{Z}{N}$	$-T L n Z$	$-T (L n Z - 1)$

الجدول رقم (4.1)

$$\text{Ln}W = N\alpha + \frac{U}{KT} + \delta \sum_i g_i \text{Ln}(1 + \delta e^{-\alpha - \epsilon_i/KT})$$

$$\text{Ln}W = \frac{U}{KT} + \Lambda$$

حيث رمزنا بالرمز Λ (لمبدأ باللغة الاغريقية) للمقدار :

$$\Lambda = N\alpha + \delta \sum_i g_i \text{Ln}(1 + \delta e^{-\alpha - \epsilon_i/KT}) \quad (4.33)$$

في "تقريب الاحصاءات الكوانتية" أو احصاء ماكسويل - بولتزمان

تأخذ هذه العلاقات الشكل :

$$\text{Ln}C = \sum_i [N_i \text{Ln} \frac{g_i}{N_i} - \delta g_i (-\delta \frac{N_i}{g_i})] = \sum_i N_i \text{Ln} \frac{g_i}{N_i} + N$$

لان

$$\text{Ln}(1 - \delta \frac{N_i}{g_i}) \approx -\delta \frac{N_i}{g_i}, \quad \delta^2 = 1$$

وذلك عندما تكون النسبة $\frac{N_i}{g_i}$ صغيرة بقدر كاف . ومنه :

$$\text{Ln}W = N\alpha + \frac{U}{KT} + N = \frac{U}{KT} + N(\alpha + 1)$$

وفي هذه الحالة الخاصة يكون

$$\Lambda = N(\alpha + 1)$$

4.7.B - التوابع الترموديناميكية :

حسبنا في الفقرة 4.6 قيم التوابع الترموديناميكية فـ

"تقريب الاحصاءات الكوانتية" بدلالة تابع مجموع الحالات (التحاص) z

ولما كان :

$$\Lambda = N(\alpha + 1) = N \left(\ln \frac{Z}{N} + 1 \right)$$

فانه من السهل الحصول على التوابع الترموديناميكية ففي

الاحصاءات الكوانتية بدءاً من القيم السابقة المحمولة ففي

الجدول (4.1) نجد مثلاً :

$$U = KT^2 \left(\frac{\partial \Lambda}{\partial T} \right)_V$$

$$F = -KT \Lambda$$

$$S = \frac{U}{KT} + K \Lambda$$

أو :

$$S = K \left(\Lambda + T \left(\frac{\partial \Lambda}{\partial T} \right)_V \right)$$

$$G = -KT (\Lambda - N)$$

مع الاخذ بعين الاعتبار تعريف تابع مجموع الحالات Z وفـق

العلاقة (4.20) وهذه العلاقات تبقى صحيحة دوماً في الاحصاءات

الكوانتية شريطة أن نعطي التابع Λ القيمة المعرفة في العلاقة

(4.33) حيث تأخذ القيمة $\delta = +1$ في احصاء فيرمي - ديـراك

والقيمة $\delta = -1$ في احصاء بوز - آينشتاين .

■ ■

■

الفصل الخامس

مجموع الحالات (تابع التحاص)

5.1 - تعاريف :

يظهر في مختلف علاقات المقادير الترموديناميكية تابع

مجموع الحالات (تابع التحاص) :

$$Z = \sum_i g_i e^{-\epsilon_i/KT} \quad (5.1)$$

يلعب اذا هذا التابع دورا اساسيا وكان قد أطلق عليه بلانك اسم تابع مجموع الحالات Zustandsum وسماه فاو لير فيما بعد تابع التجزئة (أو التحاص) . وتابع التحاص هذا مقدار لا أبعاد له . ويمكننا أن نعرف توابع تحاص خاصة بكل نوع من أنواع الحركات فاذا قبلنا أن الحركات المختلفة مستقلة عن بعضها بمعنى أنه ليس هناك من تأثير بين مختلف أنواع هذه الحركات ، فانه يمكن أن نعبر عن طاقة جسيم بالشكل :

$$\epsilon = \epsilon_t + \epsilon_r + \epsilon_v + \epsilon_e + \epsilon_N + \dots \quad (5.2)$$

حيث يرمز الدليل :

t للحركة الانشحابية .

r للحركة الدورانية .

v للحركة الاهتزازية .

e للحركة الالكترونية .

N للحركة النووية .

ويعطى انطباق هذه الطاقة عندها على الشكل :

$$g = g_t \cdot g_r \cdot g_v \cdot g_e \cdot g_N \dots \dots \dots (5.3)$$

وبالتالي يكون :

$$Z = \sum_i g_i e^{-\epsilon_i / KT} = \sum_i g_{it} g_{ir} g_{iv} g_{ie} g_{iN} e^{\left(\frac{-\epsilon_{it} - \epsilon_{ir} - \epsilon_{iv} - \epsilon_{ie} - \epsilon_{iN}}{KT} \right)} \quad (5.4)$$

أي أن المجموع يجب أن يتم بأخذ كل التراكيب الممكنة
لسويات الانسحاب والدوران والاهتزاز والالكترونية والنووية . ومنه :

$$Z = Z_t \cdot Z_r \cdot Z_v \cdot Z_e \cdot Z_N \quad (5.5)$$

وذلك بفرض :

$$Z_t = \sum_i g_{it} e^{-\frac{\epsilon_t}{KT}} \quad (5.6)$$

$$Z_r = \sum_i g_{ir} e^{-\frac{\epsilon_r}{KT}}$$

.....

.....

وتضم عادة معا كل الحركات ما عدا الانسحابية منها تحت اسم

حركات داخلية ونكتب :

$$Z = Z_t \cdot Z_{in} \quad (5.7)$$

حيث

$$Z_{in} = Z_r \cdot Z_v \cdot Z_e \cdot Z_N \quad (5.8)$$

5.2 - حساب مجموع الحالات :

يتم حساب مجموع الحالات بأن نفترض اصطلاحاً كمبدأ للطاقة ($\epsilon=0$) الحالة الاساسية للجسيمة . ويجب اذا أردنا حساب ثوابت التوازن تذكر هذه الفرضية اذ يجب عندها ان نحدد بدقة قيمة طاقة الحالة الاساسية هذه .

لنحسب اذا من أجل الحركات الاكثر شيوعاً قيمة التابع :

$$Z = \sum_i g_i e^{-\epsilon_i / KT} \quad (5.9)$$

حيث نقوم باجراء هذا الحساب من أجل جسيمة واحدة . معنى ذلك أن نعرف ما هو مجموع الحالات التي يمكن أن تأخذها هذه الجسيمة والتي يمكن بدورها أن توجد في حالات طاقة : $\epsilon_0, \epsilon_1, \epsilon_2, \dots, \epsilon_k$ لكل منها الانطباق $g_0, g_1, g_2, \dots, g_k$. يجب الا ننسى اذا أن Z يميز حركة "جسيمة واحدة" .

5.3 - مجموع الحالات للحركة الانسحابية Z_t :

تعطى طاقة الحركة الانسحابية بالعلاقة (2.4) أي :

$$\epsilon_t = (n_x^2 + n_y^2 + n_z^2) \frac{h^2}{8m V^{2/3}}$$

وبالتالي يكون :

$$Z_t = \sum_{\text{حالات}} g_t \exp \left[- \frac{h^2}{8m V^{2/3} KT} (n_x^2 + n_y^2 + n_z^2) \right]$$

ومنه *:

$$Z_t = \sum_{n_x=0}^{n_x=\infty} \exp\left(-\frac{n_x^2 \Theta_t}{T}\right) \sum_{n_y=0}^{n_y=\infty} \exp\left(-\frac{n_y^2 \Theta_t}{T}\right) \sum_{n_z=0}^{n_z=\infty} \exp\left(-\frac{n_z^2 \Theta_t}{T}\right)$$

وذلك بفرض أن :

$$\Theta_t = \frac{h^2}{8mKV^{2/3}} \quad (5.11)$$

أبعاد هذا المقدار Θ_t هو من أبعاد درجة الحرارة وتسمى درجة الحرارة المميزة للحركة الانسحابية. ولما كان المقدار Θ_t هو مقدار صغير جدا فإنه يمكن حساب المجموع في العلاقات السابقة بواسطة التكاملات التالية :

$$Z_t = \int_0^\infty \exp\left(-\frac{n_x^2 \Theta_t}{T}\right) dn_x \int_0^\infty \exp\left(-\frac{n_y^2 \Theta_t}{T}\right) dn_y \int_0^\infty \exp\left(-\frac{n_z^2 \Theta_t}{T}\right) dn_z \quad (5.12)$$

في الواقع ان قيمة Θ_t للجزيئات هي اصغر بكثير من قيمة درجة الحرارة T للغاز المدروس . وهي تساوي القيمة $\Theta_t = 10^{-2} K$ من أجل جزيئة هيدروجين تشغل حجما بشكل مكعب طول حرفه $100^\circ A$ تقريبا أما درجة الحرارة المميزة للحركة الانسحابية لجزيئة من غاز في الشروط العادية فهي من مرتبة $10^{-16} K$.

بالاستفادة من التكامل :

$$\int_0^\infty e^{-ax^2} dx = \frac{1}{2} \sqrt{\frac{\pi}{a}} \quad (5.13)$$

نجد أخيرا

* أخذ المجموع بالنسبة لكل القيم الصحيحة (n_x, n_y, n_z) يوافق أخذ كل الحالات وهذا يعني الاخذ بعين الاعتبار ضمن g ، ولهذا السبب لا تظهر g في العلاقات اللاحقة لتابع التخاص Z_t .

$$Z_t = \left[\frac{T}{4} \frac{\pi}{\Theta_t} \right]^{3/2} = \frac{V}{h^3} (2\pi m k T)^{3/2} \quad (5.14)$$

ويمكن التعبير عن تابع التخاص هذا بدلالة β فنجد :

$$Z_t = \frac{V}{h^3} \left(\frac{2\pi m}{\beta} \right)^{3/2} \quad (5.15)$$

5.4 - مجموع الحالات النووية Z_N :

تتألف النواة بالاساس من نيوترونات وبروتونات ، وهي جسيمات أولية ذات سبين $\frac{1}{2}$ أي أنها فرميونات ، وبالتالي يكون لها سبين محمل قد يكون عددا صحيحا اذا كان للذرات عدد كتلة زوجي ونصف عدد صحيح اذا كان للذرات عدد كتلة فردي .

ان سوية الطاقة الاولى المباشرة للنواة تكون بعيدة جدا عن سوية الحالة الاساسية التي تكون عمليا غير مشغولة على الاطلاق . فاذا كان i هو العدد الكوانتي لسبين النواة فان عدد الحالات الكوانتية في الحالة الاساسية يساوي $g_0 = 2i+1$ ويكون بالتالي مجموع الحالات (تابع التخاص) النووي Z_N من أجل ذرة معزولة ذات سبين نووي i ثابتا ويساوي :

$$Z_N = 2i+1 \quad (5.16)$$

حيث لا يظهر الحد الاسي الا عند درجات الحرارة التي تصل النواة اليها أثناء الانفجارات النووية .

أما تابع مجموع الحالات Z_N لجزيئة ما تتألف من عدة ذرات ذات سبين نووي i, i', i'', \dots فيساوي :

$$Z_N = g_O \cdot g'_O \cdot g''_O \cdot \dots = (2i+1)(2i'+1)(2i''+1) + \dots \quad (5.17)$$

لكون النوى في حالاتها الاساسية فان تابع مجموع الحالات النووي يختزل أثناء حساب ثوابت التوازن الكيميائية أو أثناء حساب السعات الحرارية . في الواقع ، ان السعات الحرارية تمثل المشتق بالنسبة لدرجة الحرارة لتابع الطاقة أو الانتالبيه ، ولكن مجموع الحالات النووي يبقى ثابتا عند درجات الحرارة العادية . وهو إذ يضيف هذا اضافة في حساب الانتروبية والانتالبية الحرة الا انه يختفي تماما في حساب تغيرات هذه المقادير خلال تفاعل كيميائي .

إذا من الملائم ان لا نأخذ بعين الاعتبار قيم تابع مجموع الحالات النووي في حساب مجموع الحالات الكلي أثناء دراسة التفاعلات الكيميائية .

ونذكر هنا بعض النتائج الاساسية من الميكانيك الكوانتي ضمن الجدول (5.1) التي تهمننا في الفقرات التالية :

تابع الموجة للحركة الدورانية	عدد التتابع الموجية للسبين	الجزئيات	تابع الموجة للسبين	نوع الجسيمات
متناظر، J زوجي	$i(2i+1)$	ذات سبين متعاكس para	غير متناظر	فرميونات
غير متناظر، J فردي	$(i+1)(2i+1)$	ذات سبين متوازن ortho	متناظر	
غير متناظر، J فردي	$i(2i+1)$	ذات سبين متعاكس para	غير متناظر	بوزونات
متناظر، J زوجي	$(i+1)(2i+1)$	ذات سبين متوازن ortho	متناظر	

الجدول رقم (5.1)

5.5 - مجموع الحالات للحركة الدورانية Z_r

5.5.A - حالة جزيئة ثنائية الذرة

تعطى الطاقة الدورانية لجزيئة ثنائية الذرة بالعلاقة

(2.7) أي :

$$\epsilon_r = J(J+1) \frac{h^2}{8\pi^2 I} = J(J+1) K \Theta_r$$

وانطبق السوية الدورانية بالعلاقة (2.8) أي :

$$g_r = 2J + 1$$

$$\Theta_r = \frac{h^2}{8\pi^2 I K} \quad \text{حيث} \quad (5.18)$$

تمثل درجة الحرارة المميزة للحركة الدورانية .

يأخذ عندها تابع التحاص Z_r للحركة الدورانية الشكل التالي:

$$Z_r = \sum_i g_r e^{-\epsilon_r / KT} \quad (5.19)$$

$$Z_r = \sum_{J=0}^{\infty} (2J+1) e^{-J(J+1) \Theta_r / T} \quad (5.20)$$

ان حساب تابع التحاص للحركة الدورانية يتعلق بخواص التناظر

للتابع الموجي وبطبيعة الجزيئة المدروسة ذلك انه لا يمكن فصل

تابع التحاص للحركة الدورانية عن التابع الخاص بالنواة Z_N والمتعلق

بالسبين النووي للذرة .

أولا : يتعين مجموع الحالات للحركة الدورانية لجزيئة موءلفة من ذرتين مختلفتين لهما سبين نووي i و i' بالعلاقة:

$$Z_N Z_r = (2i+1)(2i'+1) \sum_{J=0,1,2,\dots} (2J+1) e^{-J(J+1)\theta_r/T} \quad (5.21)$$

أما من أجل جزيئة موءلفة من ذرتين متماثلتين لكل منهما سبين نووي فيجب ان نأخذ بعين الاعتبار النوعين : جزيئات نوياتها متوالية السبين (ortho) أو جزيئات نوياتها متعاكسة السبين (para) :

أ- إذا كان للذرات عدد زوجي (i عدد صحيح) وهي حالة البوزونات يكون تابع التحاص من أجل الجزيئات متوالية السبين (أورتو)

$$Z_N Z_r = (2i+1)(i+1) \sum_{J=0,2,4,\dots} (2J+1) e^{-J(J+1)\theta_r/T} \quad (5.22)$$

الجزيئات متعاكسة السبين (بارا) :

$$Z_N Z_{\epsilon_0 r} = i(2i+1) \sum_{J=1,3,5,\dots} (2J+1) e^{-J(J+1)\theta_r/T} \quad (5.23)$$

والكتابة $Z_{\epsilon_0 r}$ للتأكيد على أن الحالة الاساسية $J=1$ لها طاقة ϵ_0 غير معدومة ذلك أن تابع التحاص المعطى بالعلاقة (5.23) لا يخضع الى الاصطلاح الذي اعتمدناه في الفقرة (5.2)، ينتج عن ذلك العلاقة

التالية :

$$Z_{\epsilon_0 r, J=1,3,5,\dots} = Z_{r, J=1,3,5,\dots} e^{-(2\theta_r/T)} \quad (5.24)$$

ثانياً: إذا كان للذرات عدد كتلة فردي ($i=1/2, 3/2, 5/2, \dots$)

وهي حالة الفيرميونات يكون تابع التحاص من أجل :

الجزيئات متوازية السبين (أورتو) :

$$Z_N Z_{\epsilon_O} = (2i+1) \sum_{J=1,3,5,\dots} (2J+1) e^{-J(J+1)\Theta_r/T} \quad (5.25)$$

الجزيئات متعاكسة السبين (بارا) :

$$Z_N Z_r = i(2i+1) \sum_{J=0,2,4,\dots} (2J+1) e^{-J(J+1)\Theta_r/T} \quad (5.26)$$

يجب إذا أن نعتبر كل مجموعة من جزيئات مؤلفة من ذرتين

متماثلتين كمزيج من جزيئات متوازية السبين (أورتو) وجزيئات

متعاكسة السبين (بارا) .

ثالثاً: عند درجات حرارة منخفضة يمكن أن يأخذ المقدار $\frac{\Theta_r}{T}$ قيمة

كبيرة. عندها يجب أن نحسب كل حد على حده في المجموع .

وعلى العكس عند درجات حرارة مرتفعة يكون المقدار $\frac{\Theta_r}{T}$

صغيراً بشكل كاف بحيث يمكننا أن نأخذ التكامل بدلا من المجموع في

العلاقات السابقة .

أ- عندما يمكن أن تأخذ J جميع القيم من الصفر الى اللانهاية

تأخذ العلاقة (5.20) القيمة التقريبية التالية :

$$Z_r = \int_0^{\infty} (2J+1) e^{-J(J+1)\Theta_r/T} dJ \quad (5.27)$$

$$Z_r = \int_0^{\infty} e^{-J(J+1)\Theta_r/T} d[J(J+1)]$$

$$Z_r = -\frac{T}{\Theta_r} \left[e^{-J(J+1)\Theta_r/T} \right]_0^{\infty} = \frac{T}{\Theta_r}$$

$$Z_r = \frac{8 \pi^2 I K T}{h^2} \quad (5.28)$$

ب- عندما لا يمكن ان تأخذ J الا قيما زوجية او فردية فاننا نستنتج بسهولة أن كلا من المجموعين الواردين في علاقات مجموع الحالات لجزيئة موءلفة من ذرتين متماثلتين ، يتناهى نحو نفس القيمة عندما $J \rightarrow \infty$ وهذه القيمة التقريبية هي :

$$Z_r = \sum_{J=0,2,4,\dots}^{\infty} (2J+1) e^{-J(J+1)\Theta_r/T} \approx$$

$$\approx \sum_{J=1,3,5,\dots}^{\infty} (2J+1) e^{-J(J+1)\Theta_r/T} \approx \frac{T}{2\Theta_r} \quad (5.29)$$

ان تناظر جزيئة (بعد نصف دورة حول نفسها تعود مطابقة لنفسها) يعدل من مجموع الحالات الذي يقسم عندها على عدد يسمى عدد التناظر σ ($\sigma = 2$) . ان ادخال عدد التناظر هذا ليس ضروريا الا عندما نحري حساب مجموع الحالات بواسطة تكامل ، أي عندما $\Theta_r \ll T$ ، وفي الحالات الاخرى يحسب المجموع باستخدام القيمة

الصحيحة لـ J .

5.5.B - حالة جزيئة متعددة الذرات :

عندما يكون للجزيئة عدة محاور دوران فانه يجب أن نعـرف

ثلاثة عزوم عطالة رئيسية ولتكن I_A, I_B, I_C . ويبرهن عندما $\Theta_r \ll T$ (ونكتفي هنا باعطاء النتيجة) ان :

$$Z_r = \frac{\pi^{1/2}}{\sigma h^3} (I_A \cdot I_B \cdot I_C)^{1/2} (8 \pi^2 kT)^{3/2} \quad (5.30)$$

$$Z_r = \frac{\pi^{1/2}}{\sigma} \frac{T^{3/2}}{(\Theta_A \cdot \Theta_B \cdot \Theta_C)^{1/2}} \quad (5.31)$$

حيث

$$\Theta_A = \frac{h^2}{8 \pi^2 I_A K} \quad (5.32)$$

$$\Theta_B = \frac{h^2}{8 \pi^2 I_B K} \quad (5.33)$$

$$\Theta_C = \frac{h^2}{8 \pi^2 I_C K} \quad (5.34)$$

وذلك بعد الاخذ بعين الاعتبار تناظر الجزيئة باستخدام عدد

التناظر σ .

في الحالة التي يكون فيها عزما عطالة متساويان $I_A = I_B$

يكون :

$$Z_r = \frac{\pi^{1/2}}{\sigma h^3} I_A \cdot I_C^{1/2} (8 \pi^2 KT)^{3/2} \quad (5.35)$$

$$Z_r = \frac{\pi^{1/2}}{\sigma} \frac{T^{3/2}}{\Theta_A \cdot \Theta_C^{1/2}} \quad (5.36)$$

وإذا كان للجزيئة مجسم عطالة كروي يكون :

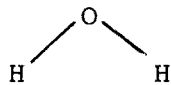
$$\left. \begin{aligned} \Theta_A = \Theta_B = \Theta_C = \Theta \\ I_A = I_B = I_C = I \end{aligned} \right\} \quad (5.37)$$

$$Z_r = \frac{\pi^{1/2}}{\sigma h^3} (I \cdot 8 \pi^2 KT)^{3/2} \quad (5.38)$$

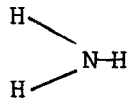
$$Z_r = \frac{\pi^{1/2}}{\sigma} \left(\frac{T}{\Theta} \right)^{3/2} \quad (5.39)$$

حيث يعتمد عدد التناظر الوارد في علاقات هذه الفقرة على

شكل الجزيئة فمثلا في حالة :



(محور ثنائي واحد) $\sigma = 2$



(محور ثلاثي واحد) $\sigma = 3$



(ستة محاور ثنائية) $\sigma = 12$

5.6 - مجموع الحالات الاهتزازية Z_V :

تعطى طاقة الهزاز التوافقي بالعلاقة (2.10) أي :

$$\epsilon_V = (V + 1/2) h\nu \quad (5.50)$$

وحيث يوجد حالة كوانتية واحدة من أجل كل سوية طاقة $g_V = 1$.

من ناحية ثانية كنا قد افترضنا (فقرة 5.2) أن لسوية الطاقة

الاساسية طاقة معدومة ($\epsilon = 0$) ومنه يكون :

$$Z_V = \sum_V e^{-\frac{Vh\nu_V}{KT}} = \sum_V e^{-V \frac{\Theta_V}{T}} \quad (5.51)$$

حيث

$$\frac{h\nu_V}{K} = \Theta_V \quad (5.52)$$

تسمى Θ_V درجة الحرارة المميزة للحركة الاهتزازية. ويكون :

$$Z_V = 1 + e^{-\frac{\Theta_V}{T}} + e^{-\frac{2\Theta_V}{T}} + e^{-\frac{3\Theta_V}{T}} + \dots$$

وهي سلسلة هندسية لا متناهية حدها الاول يساوي الواحد

واساسها $e^{-\frac{\Theta_V}{T}} < 1$ ويكون مجموعها مساويا :

$$Z_V = \frac{1}{1 - e^{-\frac{\Theta_V}{T}}} = (1 - e^{-\frac{\Theta_V}{T}})^{-1} \quad (5.53)$$

ونلاحظ أن هذه العلاقة صالحة مهما كانت قيمة Θ_V اذاً لم

نشتط في حساب Z_V أية شروط على هذه القيمة .

يوجد عدد من هذه التوابع المعطاة (5.53) بقدر ما يوجد من عدد درجات حرية اهتزازية (انماط اهتزاز) فمن أجل جزيئة موءلفة من N ذرة يكون لدينا $3N-5$ درجة حرية اهتزازية اذا كانت الجزيئة خطية و $3N-6$ درجة حرية اهتزازية اذا لم تكن الجزيئة خطية .

وبالتالي يكون :

$$Z_V = \prod_i \left(1 - e^{-\frac{\Theta_{vi}}{T}} \right)^{-1} \quad (5.54)$$

حيث Θ_{vi} درجة الحرارة المميزة الموافقة للاهتزاز i .

عندما $T \gg \Theta_V$ فان :

$$1 - e^{-\Theta_V/T} \longrightarrow \frac{\Theta_V}{T} \quad \text{و} \quad Z_V \longrightarrow \frac{T}{\Theta_V} \quad (5.55)$$

من أجل كل اهتزاز .

ومن أجل أنماط اهتزاز متعددة يكون لدينا :

$$Z_V = \prod_i \frac{T}{\Theta_{vi}} \quad (5.56)$$

5.7 - مجموع الحالات الالكترونية Z_e :

تعطى طاقة سوية الكترونية بالعلاقة :

$$\epsilon_e = h\nu \quad (5.57)$$

حيث تمثل ν تواتر الانتقال بين هذه السوية والحالة

الاساسية . ويكون انطباق كل سوية طاقية في حالة ذرة واحدة مساويا :

$$g_e = 2j + 1 \quad (5.58)$$

حيث j العدد الكوانتي الداخلي .

$$Z_e = \sum_{j=0}^{\infty} (2j+1) e^{-\frac{h\nu}{KT}}$$

$$Z_e = \sum_{j=0}^{\infty} (2j+1) e^{-\frac{\theta_e}{T}} \quad (5.59)$$

وذلك بوضع :

$$\theta_e = \frac{h\nu}{K} \quad (5.60)$$

وتسمى درجة الحرارة المميزة الالكترونية .

من أجل الحالة الاساسية يكون $\epsilon_0=0$ والانطباق $g_0=(2j_0+1)$
من أجل السوية الاولى المثارة تكون طاقتها $h\nu_1$ والانطباق

$$g_1 = (2j_1+1)$$

من أجل السوية الثانية المثارة تكون طاقتها $h\nu_2$ والانطباق

$$g_2 = (2j_2+1)$$

وهكذا .

وتأخذ العلاقة (5.60) الشكل :

$$Z_e = (2j_0+1) + (2j_1+1) e^{-\frac{\theta_1}{T}} + (2j_2+1) e^{-\frac{\theta_2}{T}} + \dots$$

ونلاحظ بسهولة انه اذا كانت $\theta_e \gg 5T$ أن $Z_e = 2j_0 + 1$

بتقريب واحد الى نصف بالمئة ، وفي أغلب الاحيان يكون الامر كذلك اذا

أن $\frac{\theta_e}{T}$ تكون مرتفعة بشكل كاف .

5.8 - خاصية التجميع والتوابع الترموديناميكية :

استنادا للعلاقة (5.7) يمكننا أن نكتب :

$$\ln Z = \ln Z_t + \ln Z_{in}$$

وتكون التوابع الترموديناميكية هي توابع اللوغاريتم مجموع الحالات ($\ln Z$) أو أحد مشتقاته كما يتبين من الجدول (4.1) فمن الممكن تقدير تأثير كل من درجات حرية جسيمة تحت شكل مساهمة جمعية ؛ وهكذا نجد مثلا أن :

$$U = U_t + U_{in}$$

واستنادا للعلاقة (4.21) يمكننا أن نكتب :

$$U_t = N K T^2 \left(\frac{\partial \ln Z_t}{\partial T} \right)_V$$

و

$$U_{in} = N K T^2 \left(\frac{\partial \ln Z_{in}}{\partial T} \right)_V$$

ويكون لدينا

$$H = U + PV = U + NKT = U_t + U_{in} + NKT$$

$$H = H_t + H_{in}$$

ولكن أنماط الحركات الداخلية لا تعتمد على الحجم ، وبالتالي فهي لا تسهم في قيمة الضغط (استنادا للعلاقة (4.25)) أو في قيمة PV ، وهكذا يكون :

$$H_{in} = U_{in}$$

وبالتالي :

$$H_t = U_t + NKT$$

بفرض عدم تمايز الجسيمات يكون استنادا للعلاقة (4.27) :

$$S = S_t + S_{in} = NK \left(\ln \frac{Z_t Z_{in}}{N} + 1 \right) + \frac{U_t}{T} + \frac{U_{in}}{T}$$

فاذا عرفنا انتروبية الحركة الانسحابية بالعلاقة :

$$S_t = NK \left(\ln \frac{Z_t}{N} + 1 \right) + \frac{U_t}{T} = S_{indis}$$

تكون مساهمات الحركات الداخلية في الانتروبية هي :

$$S_{in} = NK \ln Z_{in} + \frac{U_{in}}{T} = S_{dis}$$

حيث ربطنا المعامل ($-\ln N + 1$) ، NK ، آخذين بعين الاعتبار

عدم تمايز الجسيمات (4.18) ، بمساهمة الحركة الانسحابية . وهذا

يتفق مع قيم الانتروبية الملاحظة تجريبيا من أجل المواد التي تؤخذ

فيها الحركة الانسحابية بالاعتبار دون غيرها .

بنفس الطريقة يكون لدينا بالنسبة للطاقة الحرة :

$$F_t = F_{indis}$$

$$F_{in} = F_{dis}$$

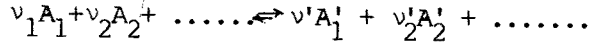
وكذلك بالنسبة للانتالبية الحرة :

$$G_t = G_{indis} = F_t + NKT$$

$$G_{in} = F_{in}$$

5.9 - تطبيق على دراسة التوازنات الكيميائية

ليكن لدينا التفاعل :



ولتكن $N_1, N_2, \dots, N_i, \dots$ و $N'_1, N'_2, \dots, N'_i, \dots$ أعداد جزيئات مختلف مكونات المزيج . لتكن K_P ثابتة التوازن بالنسبة للضغط الجزئية .

لدينا :

$$\ln K_P = \ln \frac{\prod_i P_i^{\nu'_i}}{\prod_i P_i^{\nu_i}} = - \frac{\Delta G^\circ}{KT}$$

حيث ΔG° تغير الانتالبيه الحرة للمكونات الاصلية للتفاعل .

$$\Delta G^\circ = \sum_i \nu'_i \mu_i'^\circ - \sum_i \nu_i \mu_i^\circ$$

حيث μ_i° الكمون الكيميائي لجزيئة من المركب i عند درجة الحرارة T .

لنعتبر عن μ_i° بدلالة Z_i تابع التحاص لجزيئة من المركب i .
من العلاقة (4.31) نستنتج علاقة الانتالبية الحرة لمزيج التالي :

$$G = -KT \left(\sum_i N_i \ln \frac{Z_i}{V} \frac{KT}{P_i} + \sum_i N'_i \ln \frac{Z'_i}{V} \frac{KT}{P'_i} \right)$$

والتي بمقارنتها مع العلاقة :

$$G = \sum_i N_i \mu_i + \sum_i N'_i \mu'_i$$

تقودنا الى علاقة الكمون الكيميائي لجزيئة من المركب i

التالية :

$$\mu_i = -KT \ln \frac{Z_i}{V} - \frac{KT}{P_i}$$

واستنادا الى قيمة الكمون الكيميائي في الترموديناميك

الكلاسيكي حيث أنه لدينا :

$$\mu_i = \mu_i^{\circ} + K T \ln P_i$$

نجد بالتالي أن :

$$\mu_i^{\circ} = -KT \ln \frac{Z_i}{V} - \frac{KT}{P_i}$$

ويمكن عندها كتابة قانون الفعل الكتلي action de mass

على الشكل :

$$K_p = e^{-\frac{\Delta G^{\circ}}{KT}}$$

$$K_p = \frac{\prod_i \left(\frac{Z_i}{V} \right)^{\nu_i} e^{-\frac{Z_i}{V} \frac{1}{KT}}}{\prod_i \left(\frac{Z_i}{V} \right)^{\nu_i} e^{-\frac{Z_i}{V} \frac{1}{KT}}}$$

ولما كان $\frac{Z}{V}$ تابعا فقط لدرجة الحرارة فان K_p هي تابع

فقط لدرجة الحرارة .

لتكن K_c الثابتة في قانون الفعل الكتلي المعائد للتركيز

ولتكن ΔF° تغير الطاقة الحرة للمكونات $(c_i = \frac{N_i}{V})$.

الاصلية للتفاعل . استنادا الى العلاقة :

$$K_P = K_C (KT)^{\Delta v}$$

حيث $\Delta v = \sum_i v_i' - \sum_i v_i$ يكون لدينا : ΔF^v

$$K_C = e^{-\frac{\Delta F^v}{KT}}$$

$$K_C = \frac{\prod_i \left(\frac{Z_i'}{V}\right)^{v_i'}}{\prod_i \left(\frac{Z_i}{V}\right)^{v_i}}$$

ملاحظة هامة جدا :

في حساب ثوابت قانون الفعل الكتلي يجب ان نأخذ بعين الاعتبار الملاحظة الهامة التالية : وهي أنه يجب حساب مختلف توابع التحاص اعتبارا من مبدأ مشترك للطاقة بين جميع الجسيمات الداخلة في التوازن الكيميائي . وهكذا فان تابع التحاص Z_i والذي يعبر عنه، باصطلاح أن سوية الطاقة الاساسية للجسيمة i هي مبدأ الطاقة،

الشكل :

$$Z_i = g_{0i} + g_{1i} e^{-\frac{\epsilon_{1i}}{KT}} + g_{2i} e^{-\frac{\epsilon_{2i}}{KT}} + \dots$$

يجب الاستعاضة منه بتابع التحاص Z_{i0} الذي يحسب اعتبارا من

مبدأ للطاقة مشترك . فاذا وقعت سوية الطاقة الاساسية لجسيمة i

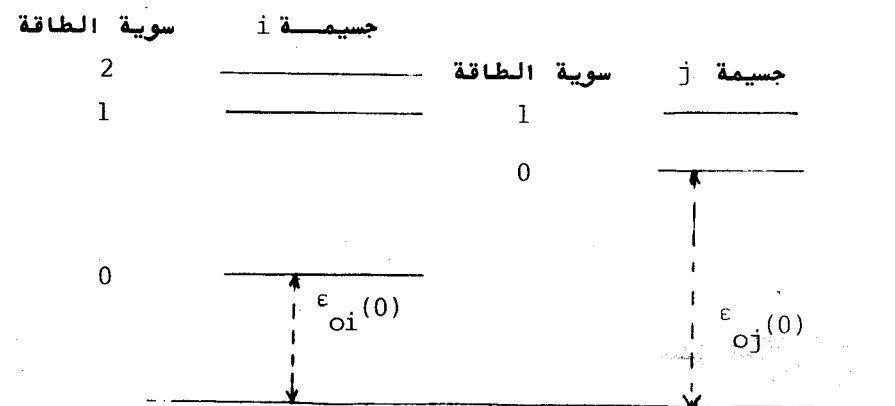
مبدأ الطاقة ϵ_{oi} بقياسها اعتبارا من المبدأ المشترك ϵ_{oi} تمثل

طاقة الجسيمة عند OK ولذلك سنرمز لها بالرمز $(0) - \epsilon_{oi}$ أنظر

الشكل (4.2) فان Z_{oi} يعبر عنها بالعلاقة :

$$Z_{O_i} = g_{O_i} e^{-\frac{\epsilon_{oi}(0)}{KT}} + g_1 e^{-\frac{(\epsilon_{oi}(0) + \epsilon_{li})}{KT}} + \dots$$

$$Z_{O_i} = Z_i e^{-\frac{\epsilon_{oi}(0)}{KT}}$$



المبدأ المشترك للطاقة
الشكل رقم (1-5)

نحمل عندها على الثوابت:

$$K_P = \frac{\prod_i \left(\frac{Z'_{oi}}{V} \right)^{v'_i}}{\prod_i \left(\frac{Z_{oi}}{V} \right)^{v_i}}$$

و

$$K_C = \frac{\prod_i \left(\frac{Z'_{oi}}{V} \right)^{v'_i}}{\prod_i \left(\frac{Z_{oi}}{V} \right)^{v_i}}$$

ويكون :

$$K_P = \frac{\prod_i \left(\frac{Z_i' KT}{V} \right)^{v_i'}}{e^{-\frac{\Delta H(0)}{KT}}} \prod_i \left(\frac{Z_i KT}{V} \right)^{v_i}$$

و

$$K_C = \frac{\prod_i \left(\frac{Z_i' KT}{V} \right)^{v_i'}}{e^{-\frac{\Delta U(0)}{KT}}} \prod_i \left(\frac{Z_i KT}{V} \right)^{v_i}$$

حيث

$$\Delta U(0) = \sum_i v_i' \epsilon_{oi}'(0) - \sum_i v_i \epsilon_{oi}(0)$$

تمثل تغير الطاقة الداخلية للتفاعل على المعيد الجزيئي

عند الدرجة OK ، وكذلك :

$$\Delta U(0) = \Delta H(0)$$

تغير انتالبية التفاعل على المعيد الجزيئي عند الدرجة OK .

5.10 - توزيع الجسيمات في الحالات الكوانتية المختلفة :

وجدنا أن تابع التوزيع في احصاء ماكسويل - بولتزمان

يعطى بالعلاقة :

$$N_i = \frac{N}{Z} g_i e^{-\frac{\epsilon_i}{KT}}$$

يمكننا اذن بسهولة ايجاد درجة انشغال مختلف سويات الطاقة

بالعلاقة :

$$\frac{N_i}{N} = \frac{g_i e^{-\frac{\epsilon_i}{KT}}}{Z}$$

وكمثال على ذلك يمكننا اعطاء انشغالات سويات الطاقة

الاهتزازية والدورانية .

5.10.A - انشغال سويات الطاقة الاهتزازية :

لدينا استنادا للعلاقة (5.53) أن :

$$Z_v = \left(1 - e^{-\frac{\Theta_v}{T}} \right)^{-1}$$

وبالاستفادة من العلاقة (5.51) يكون :

$$\frac{N_i}{N} = e^{-v \frac{\Theta_v}{T}} \left(1 - e^{-\frac{\Theta_v}{T}} \right)$$

لان $g_v = 1$

الجداول (5.2) و (5.3) يعطينا من أجل قيم مختلفة للمقدار

$\frac{\Theta_v}{T}$ قيم $e^{-v \frac{\Theta_v}{T}}$ وكذلك النسبة $\frac{N_i}{N}$ في كل سويات طاقة اهتزازية وكذلك Z_v .

توزيع الجزيئات بين مختلف الحالات الكوانتية الاهتزازية

$$e^{-\frac{\theta_v}{T}}$$

قيم

θ_{vib}/T	ν	0	1	2	3	4	5	6	7	8	9	10	11	12	13, 14, 15 $\rightarrow \infty$	Z_{vib}
10	0,1	1	0,000 04													1,000 04
5	0,2	1	0,007	0,000 04												1,006 74
2	0,5	1	0,135	0,018	0,002	0,000 3										1,16
1	1	1	0,368	0,135	0,050	0,018	0,007	0,002	0,001							1,58
0,5	2	1	0,606	0,368	0,223	0,135	0,082	0,050	0,030	0,018	0,011	0,007	0,004	0,002		2,54
0,2	5	1	0,819	0,670	0,549	0,449	0,368	0,301	0,247	0,202	0,165	0,135	0,111	0,091	(0,11)	5,52
0,1	10	1	0,905	0,819	0,741	0,670	0,606	0,549	0,497	0,449	0,407	0,368	0,333	0,301	(3,17)	10,52

الجدول رقم (5.2)

انشغال سويات الطاقة الاهتزازية

$$\frac{N_1}{N} = \frac{e^{-\frac{V}{T}}}{Z_V}$$

θ_{vib}/T	ν	0	1	2	3	4	5	6	7	8	9	10	11	12 (1)
	$\frac{T}{\theta_{vib}}$													
10	0,1	0,999 96	0,000 04											
5	0,2	0,993 30	0,006 65	0,000 039										
2	0,5	0,862 07	0,116 38	0,015 517	0,002 15	0,000 26								
1	1	0,632 91	0,232 91	0,085 443	0,031 65	0,013 92	0,004 24	0,001 58	0,000 63					
0,5	2	0,393 70	0,238 58	0,144 889	0,087 79	0,053 15	0,032 28	0,019 68	0,011 81	0,007 08	0,004 33	0,002 75	0,001 57	0,000 79
0,2	5	0,181 16	0,148 37	0,121 377	0,099 45	0,081 34	0,066 66	0,054 53	0,044 74	0,036 59	0,029 89	0,024 45	0,020 11	0,016 48
0,1	10	0,095 06	0,086 03	0,077 852	0,070 44	0,063 69	0,057 60	0,052 18	0,047 24	0,042 68	0,038 69	0,034 98	0,031 65	0,028 61

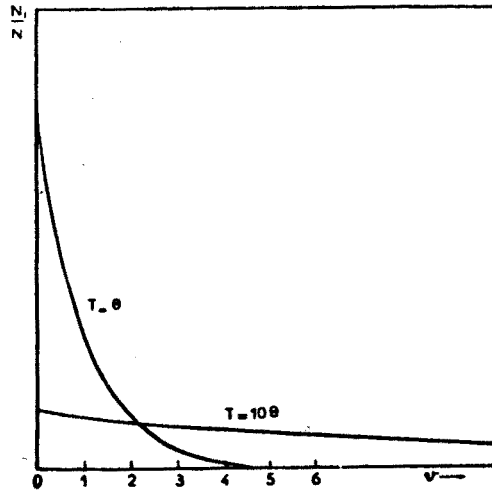
(1) يعطي هذا الجدول مثالا على حساب اعداد الانشغال في مختلف سويات الطاقة

وذلك حتى السوية 12 حيث يمكن بسهولة المتابعة حين الحاجة في تطبيقات

محتملة

الجدول رقم (5.3)

يمثل المنحني المرسوم في الشكل (5.2) من أجل $\frac{\Theta_v}{T} = 0,1$ و $\frac{\Theta_v}{T} = 1$ الانشغال النسبي لكل سوية طاقة اهتزازية . نلاحظ أن هذه السويات يقل انشغالها كلما كانت طاقاتها مرتفعة . وقد وصلت النقاط، التي تمثل كل منها سوية طاقة ، ببعضها وفق منحـن مستمر في الشكل ، علما أنه ليس لهذا المنحني معنى فيزيائي لاننا نتحدث عن توزيع منقطع .



الشكل رقم (5.2)

ونلاحظ أنه بأخذ طاقة الحالة الاساسية مساوية الصفر أي باهمال النصف الكوانتي في العلاقة (5.50) ، فإن ذلك لا يغير من توزيع الجسيمات في سويات الطاقة الاهتزازية . ويكفي للتحقق من ذلك حساب هذا التوزيع في كلتا الحالتين :

$$\epsilon = (v + 1/2) h\nu \quad (1) \text{ حالة :}$$

$$Z_v = \sum e^{-\frac{(v+1/2) \Theta_v}{T}}$$

$$Z_V = \sum e^{-(V+1/2) \frac{\Theta_V}{T}}$$

$$Z_V = e^{-\frac{\Theta_V}{2T}} (1 - e^{-\frac{\Theta_V}{T}})^{-1}$$

$$\frac{N_i}{N} = \frac{e^{-(V+1/2) \frac{\Theta_V}{T}}}{Z_V}$$

$$\frac{N_i}{N} = e^{-V \frac{\Theta_V}{T}} (1 - e^{-\frac{\Theta_V}{T}})^{-1}$$

ε = V h ν ب (حالة :

$$Z_V = \sum e^{-V \frac{\Theta_V}{T}}$$

$$Z_V = (1 - e^{-\frac{\Theta_V}{T}})^{-1}$$

$$\frac{N_i}{N} = \frac{e^{-V \frac{\Theta_V}{T}}}{Z_V}$$

$$\frac{N_i}{N} = e^{-V \frac{\Theta_V}{T}} (1 - e^{-\frac{\Theta_V}{T}})^{-1}$$

• وهو مطابق لما وجدناه في الحالة أ .

5.10.B - انشغال سويات الطاقة الدورانية :

لدينا استنادا للعلاقة (5.20) أن :

$$Z_r = \sum_J (2J+1) e^{-J(J+1) \Theta_r / T}$$

يكون :

$$\frac{N_i}{N} = \frac{1}{Z_r} (2J+1) e^{-J(J+1) \Theta_r / T}$$

الجدول (5.4) يعطينا قيم المقدار $Z_r \frac{N_i}{N}$ المعروف بالعلاقة
الآخيرة من أجل قيم J المختلفة وقيم $\frac{\Theta_r}{T}$

كما ويعطينا الجدول (5.5) قيم Z_r من أجل :

$$J = 0, 1, 2, 3, 4, \dots$$

$$J = 0, 2, 4, 6, \dots$$

$$J = 1, 3, 5, 7, \dots$$

يبين الجدول (5.6) أنشغال مختلف سويات الطاقة الدورانية

من أجل قيمة $\frac{T}{\Theta_r}$ معطاة، وإذا كانت $T \gg \Theta_r$ فيمكن أن نرسم
منحنيا (الشكل (5.3)) يمثل انشغال السويات :

$$\frac{N_i}{N} = f(J)$$

ونلاحظ أنه يمر بنهاية عظمى من أجل :

$$(2J+1) = \sqrt{\frac{T}{\Theta_r}} \cdot \sqrt{2}$$

ونجد أن نهاية عظمى مماثلة لم تظهر في حالة الحركة

الاهتزازية (انظر الشكل (5.2)) ، في حالتنا الراهنة تعود

هذه النهاية الى انطباق سويات الطاقة الدورانية .

قيم $\frac{T}{\Theta_I} e^{-J(J+1)\Theta_I/T}$ بتابعية المقدار $(2J+1)$

$T/\Theta_{rot} \Theta_I$	J	0	1	2	3	4	5	6	7	8	9
0.1	10	1	0	0	0	0	0	0	0	0	0
0.2	5	1	0.000 14	0	0	0	0	0	0	0	0
0.3	3.333	1	0.003 82	0	0	0	0	0	0	0	0
0.4	2.5	1	0.020 10	0	0	0	0	0	0	0	0
0.5	2	1	0.054 70	0.000 03	0	0	0	0	0	0	0
0.6	1.667	1	0.106 62	0.000 22	0	0	0	0	0	0	0
0.7	1.429	1	0.172 30	0.000 94	0	0	0	0	0	0	0
0.8	1.250	1	0.245 56	0.002 74	0	0	0	0	0	0	0
0.9	1.111	1	0.324 29	0.006 32	0.000 01	0	0	0	0	0	0
1	1	1	0.406 00	0.012 31	0.000 04	0.000 40	0.000 50	0.000 01	0.000 01	0.000 10	0
2	0.5	1	1.103 64	0.248 10	0.017 23	0.011 47	0.000 50	0.000 01	0.000 01	0.000 10	0
3	0.333	1	1.540 25	0.676 67	0.128 21	0.011 47	0.006 08	0.000 36	0.000 01	0.000 10	0
4	0.25	1	1.819 59	1.115 65	0.345 09	0.060 64	0.027 27	0.002 92	0.000 20	0.000 10	0
5	0.20	1	2.010 96	1.505 97	0.635 02	0.164 84	0.074 12	0.011 85	0.001 33	0.000 58	0
6	0.167	1	2.149 59	1.839 37	0.947 34	0.321 06	0.151 40	0.032 22	0.005 03	0.002 09	0
7	0.143	1	2.254 43	2.121 85	1.260 64	0.516 89	0.258 69	0.068 22	0.013 68	0.005 70	0
8	0.125	1	2.336 40	2.361 83	1.561 90	0.738 76	0.392 41	0.122 35	0.029 77	0.005 70	0
9	0.111	1	2.402 20	2.567 10	1.845 17	0.975 31	0.547 64	0.194 95	0.055 46	0.012 69	0
10	0.10	1	2.456 19	2.744 06	2.108 35	1.218 01	0.790 53	0.279 53	0.078 69	0.019 90	0
15	0.067	1	2.625 50	3.351 60	3.145 30	2.372 37	1.488 68	0.790 53	0.358 69	0.139 90	0
20	0.050	1	2.714 51	3.704 10	3.841 72	3.310 91	2.454 43	1.591 93	0.912 15	0.164 50	0
50	0.020	1	2.882 37	4.634 61	5.506 40	6.032 87	6.036 93	5.612 23	4.899 42	4.027 80	3.140 70
100	0.010	1	2.940 60	4.708 82	6.208 44	7.368 57	8.149 00	8.541 60	8.568 13	8.274 78	7.724 80

T/θ_{ret}	J $\frac{\theta_{ret}}{T}$	10	11	12	13	14	15	16	17	18
7	0,143	0	0	0	0,000 14	0,000 02	0	0,000 04	0	0,029 59
8	0,125	0,000 02	0	0,000 76	0,003 01	0,000 79	0,000 19	0,143 24	0,076 94	1,210 34
9	0,111	0,000 10	0,000 04	0,010 24	0,708 80	0,434 87	0,255 12	2,173 87	1,541 08	
10	0,10	0,000 35	0,003 47	0,010 24	4,374 70	3,551 42	2,812 26			
15	0,067	0,013 72	0,021 29	4,103 92						
20	0,050	0,045 82	1,641 30	5,253 40						
50	0,020	2,326 86	6,144 41							
100	0,010	6,990 29								
T/θ_{ret}	J $\frac{\theta_{ret}}{T}$	19	20	21	22	23	24	25	26	27
50	0,020	0,019 52	0,009 22	0,004 17	0,001 83	0,000 75	0,000 30	0,000 11	0	0,028 65
100	0,010	0,872 47	0,614 84	0,423 67	0,285 55	0,188 27	0,121 47	0,076 67	0,047 37	0,016 96
T/θ_{ret}	J $\frac{\theta_{ret}}{T}$	29	30	31	32	33	34	35	36	37
100	0,010	0,009 83	0,005 58	0,003 10	0,001 68	0,000 89	0,000 47	0,000 24	0,000 12	0,000 06
										0,000 03

تتمة الجدول رقم (5.4)

$\frac{T}{\theta_{rot}}$	Z_{rot} $J = 0, 1, 2, 3...$	Z_{rot} $J = 0, 2, 4...$	Z_{rot} $J = 1, 3, 5, 7...$
0,1	1,00000	1,000 00	0,000 00
0,2	1,000 14	1,000 00	0,000 14
0,3	1,003 81	1,000 00	0,003 81
0,4	1,020 10	1,000 00	0,020 10
0,5	1,054 73	1,000 03	0,054 70
0,6	1,106 84	1,000 22	0,106 62
0,7	1,173 24	1,000 94	0,172 36
0,8	1,248 30	1,002 74	0,245 56
0,9	1,330 61	1,006 31	0,324 30
1	1,418 35	1,012 31	0,406 04
2	2,369 37	1,248 50	1,120 87
3	3,357 11	1,688 15	1,668 96
4	4,350 84	2,176 65	2,174 19
5	5,347 19	2,673 73	2,673 45
6	6,344 76	3,172 38	3,172 38
7	7,343 09	3,671 54	3,671 55
8	8,341 84	4,170 92	4,170 92
9	9,340 78	4,670 37	4,670 41
10	10,340 08	5,170 06	5,170 02
15	15,337 77	7,668 90	7,668 87
20	20,336 69	10,168 33	10,168 36
50	50,334 62	25,167 31	25,167 31
100	100,334 10	50,167 16	50,166 94

الجدول رقم (5.5)

$$Z_r = \sum_J (2J+1) e^{-J(J+1)\theta_r/T}$$

قيم تابع التخاص

بتابعة $\frac{\theta_r}{T}$ وذلك من أجل جميع قيم J ،

من أجل القيم الزوجية لـ J والقيم الفردية لـ J .

$$\frac{T}{\Theta_T} \frac{N_1}{N} = \frac{e^{-J(J+1)\Theta_T/T}}{(2J+1)} = \frac{\text{قيم}}{Z_T}$$

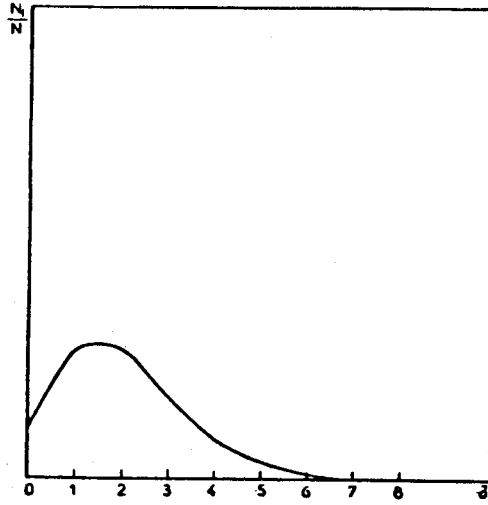
$\frac{T}{\Theta_T}$	J	0	1	2	3	4	5	6	7	8	9	10	11
0.1	1	0.999 86											
0.2	2	0.999 86	0.000 13										
0.3	3	0.996 20	0.003 80										
0.4	4	0.980 29	0.019 07										
0.5	5	0.948 10	0.051 86	0.000 03									
0.6	6	0.903 47	0.096 32	0.000 20									
0.7	7	0.852 34	0.146 85	0.000 80									
0.8	8	0.801 08	0.196 71	0.002 19	0.000 00								
0.9	9	0.751 53	0.243 71	0.004 74	0.000 02								
1	10	0.705 04	0.286 24	0.008 67	0.000 27	0.000 17	0	0.000 00	0	0.000 00			
2	20	0.422 05	0.465 79	0.104 71	0.007 27	0.003 41	0.000 14	0.000 08	0.000 00	0	0.000 00		
3	30	0.297 87	0.458 80	0.201 56	0.038 19	0.003 41	0.001 39	0.000 08	0.000 03	0	0.000 03		
4	40	0.229 84	0.418 21	0.256 42	0.080 10	0.013 93	0.005 09	0.000 54	0.000 20	0.000 01	0.000 01		
5	50	0.187 01	0.376 07	0.281 63	0.118 75	0.030 82	0.011 68	0.001 86	0.000 68	0.000 25	0.000 07	0.000 00	
6	60	0.157 61	0.338 79	0.289 90	0.149 31	0.050 60	0.020 61	0.004 38	0.001 64	0.000 61	0.000 03	0.000 00	0
7	70	0.136 18	0.307 01	0.288 95	0.171 67	0.070 39	0.020 61	0.008 17	0.003 18	0.001 25	0.000 09	0.000 01	0
8	80	0.119 87	0.280 08	0.283 13	0.187 23	0.088 56	0.031 01	0.008 17	0.003 18	0.001 22	0.000 22	0.000 03	0.000 00
9	90	0.107 05	0.257 17	0.274 82	0.197 53	0.104 41	0.042 01	0.013 08	0.005 36	0.001 22	0.000 22	0.000 03	0.000 00
10	100	0.096 71	0.237 54	0.265 38	0.203 90	0.117 79	0.052 96	0.018 85	0.005 36	0.001 22	0.000 22	0.000 03	0.000 00
15	150	0.065 19	0.171 17	0.218 51	0.205 06	0.154 67	0.037 05	0.051 54	0.023 38	0.009 12	0.003 06	0.000 89	0.000 22
20	200	0.049 17	0.133 47	0.182 13	0.188 90	0.162 80	0.120 68	0.078 27	0.044 85	0.022 84	0.010 37	0.004 21	0.001 53
50	500	0.019 86	0.057 26	0.088 10	0.109 39	0.119 85	0.119 93	0.111 49	0.097 23	0.080 02	0.062 39	0.046 22	0.032 60
100	1000	0.009 96	0.029 30	0.046 93	0.061 87	0.073 44	0.081 21	0.083 13	0.085 39	0.082 47	0.073 99	0.063 67	0.061 23

الجدول رقم (5.6)

$\frac{T}{\theta_{rot}}$	12	13	14	15	16	17	18	19	20	21	22	23
10	0	0,000 00	0	0,000 00	0,000 00							
15	0,000 04	0,000 14	0,003 03	0,000 00	0,000 00							
20	0,000 50	0,014 08	0,008 63	0,005 06	0,002 84							
50	0,021 93	0,074 60	0,035 39	0,028 02	0,021 66	0,001 52	0,000 78	0,000 38	0,000 18	0,000 08	0,000 03	0,000 01
100	0,052 35	0,143 60	0,035 39	0,028 02	0,021 66	0,016 35	0,012 06	0,008 69	0,006 12	0,004 22	0,002 84	0,001 87

$\frac{T}{\theta_{rot}}$	24	25	26	27	28	29	30	31	32	33	34	35	36
50	0,000 00	0,000 00	0										
100	0,001 21	0,000 76	0,000 47	0,000 28	0,000 16	0,000 09	0,000 05	0,000 03	0,000 01	0,000 08	0,000 00	0,000 00	0,000 00

تتمة الجدول رقم (5.6)



$$\frac{T}{\Theta_r} = 8 \text{ من أجل } \frac{N_i}{N}$$

الشكل رقم (5.3)

5.11 - الانتقال من المنقطع الى المستمر :

5.11.A - طرح المسألة :

وجدنا في الفقرة (5.3) انه عندما تكون درجة الحرارة المميزة Θ صغيرة جدا بالنسبة لدرجة الحرارة T فانه يمكن بسهولة الاستعاضة عن المجموع في علاقات الحركة بتكاملات، وهذا يكافئ انتقالنا من حالة الانقطاع الى حالة الاستمرار. أي انه سيكون من السهل إيجاد حل العديد من المسائل المعبة (مثلا الدوار اللاتناظري *Le rotateur dissymétrique*) بتطبيق معادلات الميكانيك الكلاسيكي شرط أن تكون شروط التقريب ملائمة ($\Theta \ll T$).

هذا الانتقال يمكن أن يتم وفق صيغة (Formalisme) معينة
سنقوم بتطويرها والتحقق منها بمعالجة حالة خاصة بالغاز المثالي
بصورة متوازية في الميكانيك الكلاسيكي والميكانيك الكوانتي علما
أن ذلك يمكن أن يتم من أجل حالات أخرى غير ذلك .

المسألة المطروحة هي التالية :

ما هو الشكل الذي يأخذه تابع التحاص Z وما هي العلاقة
التي تعبر عن الانطباق g لسوية طاقة في الميكانيك الكلاسيكي ؟

ضمن الشروط التي حددناها اعلاه فان الاحصاءات المختلفة ترد
الى احصاء ماكسويل - بولتزمان ، أي يكون لدينا :

$$N_i = \frac{N}{Z} g_i e^{-\epsilon_i / KT} \quad (5.61)$$

وهي علاقة يكون فيها تابع التحاص Z ثابتا اذا كان
الحجم V الذي تشغله الجسيمات ودرجة الحرارة T ثابتين .

لنعتبر N'_i جسيمة طاقة كل منها ϵ_i و N'_i جسيمة أخرى مماثلة
طاقة كل منها ϵ'_i . يمكن ان نكتب أن :

$$N'_i - N_i = \frac{N}{Z} (g'_i e^{-\epsilon'_i / KT} - g_i e^{-\epsilon_i / KT})$$

بفرض :

$$N'_i = N_i + \Delta N = N + \Delta N$$

$$\epsilon'_i = \epsilon_i + \Delta \epsilon = \epsilon + \Delta \epsilon$$

$$g'_i = g_i + \Delta g = g + \Delta g$$

يكون لدينا :

$$\Delta N = \frac{N}{Z} e^{-\epsilon/KT} [(g+\Delta g)e^{-\Delta\epsilon/KT} - g]$$

فاذا جعلنا $\Delta\epsilon$ تتناهى الى الصفر فان ΔN تصبح dN و Δg تصبح

dg ويتناهى المقدار $e^{-\Delta\epsilon/KT}$ الى الواحد ، ويكون :

$$dN = \frac{N}{Z} e^{-\epsilon/KT} dg \quad (5.62)$$

ومنه :

$$N = \frac{N}{Z} \int e^{-\epsilon/KT} dg \quad (5.63)$$

و

$$Z = \int e^{-\epsilon/KT} dg \quad (5.64)$$

ان تابع مجموع الحالات (تابع التخاص) يأخذ الشكل التكاملي

ما هي الصيغة التي تسمح بكتابة g بدلالة علاقة من الميكانيك الكلاسيكي ؟

(1) في الميكانيك الكلاسيكي :

وجدنا (فقره 4.2) أن جسيمة تتعين بصورة تامة عندما

تحدد احداثياتها x, y, z ومركبات الدفع (كمية الحركة) P_x, P_y, P_z أي بنقطة في فراغ الطور . اذا ان نقطة في فراغ الطور تصف تماما حالة الجسيمة في الميكانيك الكلاسيكي .

(ب) في الميكانيك الكوانتي

الدفع (كمية الحركة) والموضع لجسيمة هما مقداران غير منسجمين (2.1 فقرة د) . ان الاخطاء الصغرى المرتكبة في قياس هذين المقدارين ترتبط مع بعضها وفق العلاقة $\Delta P_x \Delta x \sim h$ حسب مبدأ هايزنبرغ .

إذا أمكن وصف جسيمة بصورة ملائمة باحداثيين ، فان أصغر حجم من فراغ الطور $\Delta P_x \Delta x$ يمكن تعريفه يكون بالتالي مساوياً h . أي انه لا يمكن ان نحدد ظاهرة ، قد تتم داخل حجم من فراغ الطور أصغر من h ، بدقة . فإذا كان للجسيمة f درجة حرية فان أصغر حجم من فراغ الطور يمكن تعريفه يكون مساوياً h^f . يشكل هذا الحجم ما يسمى خلية اتساع في هذا الفراغ *cellule d'extension en phase*

(ج) بمقارنة النتيجتين السابقتين والمختلفتين بصورة جوهرية تظهر فكرة ربط الميكانيك الكوانتي بالميكانيك الكلاسيكي شكلياً بأن نعتبر الحالات المنقطعة في الميكانيك الكوانتي dg تساوي عدد خلايا الاتساع في فراغ الطور في الميكانيك الكلاسيكي أي اذا كان للجسيمة ثلاث درجات حرية فان :

$$dg = \int \frac{dP_x dP_y dP_z dx dy dz}{h^3} \quad (5.65)$$

حيث يؤخذ التكامل على جميع سويات الطاقة المحصورة بين ϵ

$$\epsilon \text{ و } \epsilon + d\epsilon$$

وبشكل عام يمكننا أن نكتب من أجل جسيمة ذات f درجة حرية

أن :

$$dq = \int \frac{dp_1 dp_2 \dots dp_f dq_1 dq_2 \dots dq_f}{h^f} \quad (5.66)$$

حيث ترمز p و q الى الدفع المعممة والاحداثيات المعممة التي سنناقشها في فصل لاحق (فقرة 10.1) . ونلاحظ أن dq ما زالت تمثل عدد سويات الطاقة غير المنطبقة المحصورة بين ε و $\varepsilon + d\varepsilon$.

ان هذه المقابلة تجد ما يبررها في دراسة مقارنة لمختلف الحركات في الميكانيك الكلاسيكي والميكانيك الكوانتي وسنخص فيما يلي الحركة الانسحابية بالدراسة التفصيلية لاهميتها مع ذكر أهم العلاقات بالنسبة للحركة الدورانية .

5.11.B - دراسة الحركة الانسحابية :

5.11.B.1 - حساب مجموع الحالات (تابع التحاص)

ان الحسابات المتوازية لمجموع الحالات للحركة الانسحابية في الميكانيك الكوانتي والميكانيك الكلاسيكي يبرر المقابلة التي درسناها في الفقرة السابقة .

لا يكون لجسيمة حرة، ذات كتلة m وسرعة v ودفع (كمية الحركة) P ، سوى طاقة حركية . وبالتالي يكون لها ثلاث درجات حرية ($f=3$) .

في الميكانيك الكلاسيكي

$$\epsilon_i = \frac{m}{2} (v_x^2 + v_y^2 + v_z^2)$$

$$\epsilon_i = \frac{1}{2m} (p_x^2 + p_y^2 + p_z^2)$$

$$g = \int \frac{1}{h^3} dp_x dp_y dp_z dx dy dz$$

$$Z = \frac{1}{h^3} \int_{-\infty}^{+\infty} \int_{-\infty}^{+\infty} \int_{-\infty}^{+\infty} \int_0^x \int_0^y \int_0^z$$

$$- (p_x^2 + p_y^2 + p_z^2) / 2mkT \\ e^{- (p_x^2 + p_y^2 + p_z^2) / 2mkT} dp_x dp_y dp_z dx dy dz$$

$$\int_0^{\infty} e^{-ax^2} dx = \frac{1}{2} \sqrt{\frac{\pi}{a}}$$

نذكر ان :
ومنه :

$$Z = \frac{V}{h^3} (2\pi mkT)^{1/2} (2\pi mkT)^{1/2} (2\pi mkT)^{1/2}$$

حيث :

$$V = x_o y_o z_o$$

$$Z = \frac{V}{h^3} (2\pi mkT)^{3/2}$$

في الميكانيك الكوانتي

$$\epsilon_i = \frac{h^2}{8m\lambda^2} (n_x^2 + n_y^2 + n_z^2)$$

$$= \frac{h^2}{8mV^{2/3}} (n_x^2 + n_y^2 + n_z^2) e^{-\frac{\epsilon_i}{KT}}$$

$$Z = \sum_i g_i e^{-\frac{\epsilon_i}{KT}}$$

$$= \sum_{n_x=0}^{\infty} \sum_{n_y=0}^{\infty} \sum_{n_z=0}^{\infty} e^{-\frac{h^2 (n_x^2 + n_y^2 + n_z^2)}{8mV^{2/3} KT}}$$

$$\sum_{i=1}^{\infty} \frac{1}{i^2} = \frac{\pi^2}{6}$$

ولكن $\frac{\pi^2}{6}$ صغير جد احيث نستطيع من

$$Z = \frac{1}{2} \left[\frac{8\pi mV^{2/3} KT}{h^2} \right]^{1/2}$$

$$\frac{1}{2} \left[\frac{8\pi mV^{2/3} KT}{h^2} \right]^{1/2} \cdot \frac{1}{2} \left[\frac{8\pi mV^{2/3} KT}{h^2} \right]^{1/2}$$

$$Z = \frac{V}{h^3} (2\pi mkT)^{3/2}$$

5.11.B.2 - حساب عدد الحالات الكوانتية في عصابة طاقة انسحابية:

إذا كانت سويات الطاقة $\epsilon_0, \epsilon_1, \epsilon_2, \dots, \epsilon_i$ قريبة من بعضها بصورة كافية فإنها تشكل ما يناسب تسميته عصابة طاقة. وتكون كذلك في كل مرة تكون طاقة الانتقال بين سويتين، منقطعة بحد ذاتها، أصغر من kT . في هذه الشروط تكفي في الواقع طاقة الهيجمان الحراري لنقل الجسيمة من سوية لآخرى.

١ - من أجل الحركة الانسحابية وفق الاتجاهات الثلاثة للفراغ ox, oy, oz ، تكون طاقة الجسيمة مساوية:

$$\epsilon = \frac{1}{2m} (p_x^2 + p_y^2 + p_z^2) \quad (5.67)$$

واستنادا الى التقابل المعطى بالعلاقة (5.65) لنعبر عن g

بدلالة ϵ :

ان الاحداثيات الستة مستقلة والتكامل $\int \int \int dx dy dz$ يمثل الحجم V الذي تشغله الجسيمة وبالتالي يمكننا أن نكتب:

$$dg = \frac{1}{h^3} \int \int \int dx dy dz \int_{S_\epsilon} dp_x dp_y dp_z \quad (5.68)$$

ولكون الطاقة غير متعلقة بالاحداثيات x, y, z يكون:

$$dg = \frac{V}{h^3} \int_{S_\epsilon} dp_x dp_y dp_z$$

حيث يؤخذ التكامل على السطح S_ϵ للطاقة الثابتة الذي

يمثل في هذه الحالة سطح كرة لانه من أجل طاقة ϵ معطاة يكون

$$p_x^2 + p_y^2 + p_z^2 = 2m\epsilon = C^2 e = r^2 \quad (6.7):$$

ولكن $dp_x dp_y dp_z$ تمثل عنصر الحجم من فراغ الطور العائد

للدفع . الا أن هذا الحجم هو كرة نصف قطرها $r = \sqrt{2m\epsilon}$ لان $P_x^2 + P_y^2 + P_z^2 = C^2 \epsilon$ ويكون بالتالي :

$$\begin{aligned} \int_{S_\epsilon} dp_x dp_y dp_z &= \int 4\pi r^2 dr = \int 4\pi \cdot 2m\epsilon \cdot \frac{1}{2} (2m)^{1/2} \epsilon^{-1/2} d\epsilon \\ &= \int 4\pi \sqrt{2} m^{3/2} \epsilon^{1/2} d\epsilon \\ dg &= 4\pi \sqrt{2} \frac{V}{h^3} m^{3/2} \epsilon^{1/2} d\epsilon \end{aligned} \quad (5.69)$$

ويمكن كتابة هذه العلاقة بدلالة الدفع P على الشكل :

$$\begin{aligned} dg &= \frac{4\pi V}{h^3} P^2 dP \\ \epsilon &= \frac{P^2}{2m} \end{aligned} \quad (5.70)$$

وتعطي العلاقة (5.69) أو (5.70) عدد الحالات المنقطعة المحصورة في عصابة الطاقة $d\epsilon$. أي تعطي عدد سويات الطاقة في عصابة الطاقة $d\epsilon$.

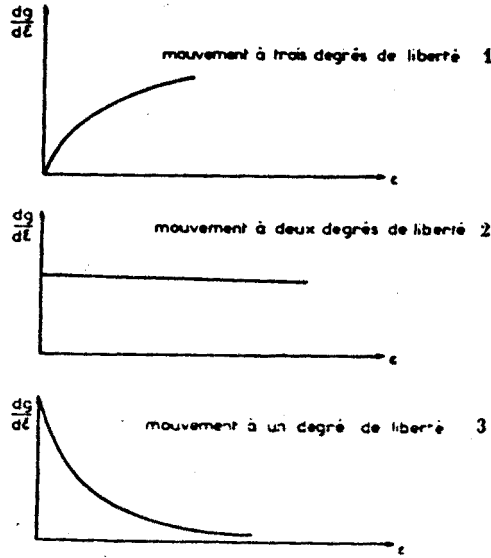
المنحني العلوي من الشكل (5.4) يمثل $\frac{dg}{d\epsilon}$ بدلالة ϵ .

2- من أجل الحركة الانسحابية وفق اتجاهين من الفراغ ox, oy

يتم الحساب بشكل مماثل للحالة السابقة ولكن باعتبار

درجتي حرية فقط :

$$\epsilon = \frac{1}{2m} (P_x^2 + P_y^2)$$



تحويلات $\frac{dg}{d\varepsilon}$ بتابعية ε

- المنحني (1) من أجل الحركة الانسحابية بثلاث درجات حرية .
- المنحني (2) من أجل الحركة الانسحابية بدرجتين حرية .
- المنحني (3) من أجل الحركة الانسحابية بدرجة حرية واحدة .

الشكل رقم (5.4)

$$dg = \int \frac{dx dy}{h^2} \int_{S_\varepsilon} dp_x dp_y = \frac{S}{h^2} \int_{S_\varepsilon} dp_x dp_y$$

وذلك بفرض أن $\iint dx dy = S$ السطح الذي تنتقل عليه الجسيمة .
ويمكاملة الدفع على السطح S_ε ذي الطاقة الثابته المعطاة
بالعلاقة :

$$p_x^2 + p_y^2 = 2 m \varepsilon = C^2 e = r^2$$

وهي معادلة دائرة يعطى سطحها العنصري كما يلي :

$$\iint_{S_\epsilon} dP_x dP_y = \int 4\pi r dr = \int \pi d(r^2) = 2\pi m \int d\epsilon$$

ومنه :

$$dg = \frac{2\pi m S}{h^2} dS \quad (5.71)$$

المنحني الثاني من الشكل (5.4) يمثل $\frac{dg}{d\epsilon}$ بدلالة ϵ .

3 - من أجل الحركة الانسحابية وفق اتجاه من الفراغ ox :

$$\epsilon = \frac{P_x^2}{2m}$$

$$dg = \frac{1}{h} \int dx \int_{S_\epsilon} dP_x$$

$$P_x^2 = 2m\epsilon$$

$$P_x = (2m)^{1/2} \epsilon^{1/2}$$

$$dP_x = (2m)^{1/2} \frac{1}{2} \epsilon^{-1/2} d\epsilon$$

$$dg = \frac{L}{h} \frac{\sqrt{2}}{2} m^{1/2} \epsilon^{-1/2} d\epsilon \quad (5.72)$$

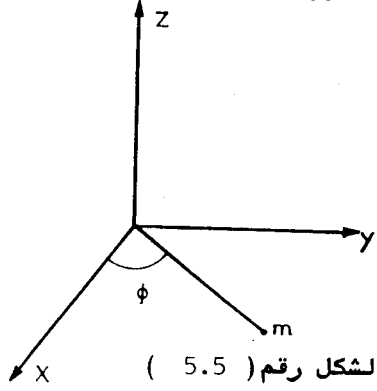
حيث L طول المسار الذي تتحرك عليه الجسيمة .

المنحني السفلي من الشكل (5.4) يمثل $\frac{dg}{d\epsilon}$ بدلالة ϵ .

5.11.C - حالة الحركة الدورانية :

لنأخذ دوارا مستويا يدور حول المحور OZ كما يبين الشكل

رقم (5.5) :



الشكل رقم (5.5)

لنحسب بصورة متوازية مجموع الحالات الدورانية في الميكانيك الكلاسيكي وفي الميكانيك الكوانتي فنحمل على جدول المقارنة التالي:

في الميكانيك الكلاسيكي

$$\epsilon = \frac{1}{2} I \omega^2 = \frac{p^2}{2I}$$

حيث $p = I\omega$ الدفع الزاوي

$$\epsilon = \frac{p_x^2}{2I_x} + \frac{p_y^2}{2I_y} + \frac{p_z^2}{2I_z}$$

إذا كان الدوران حول Oz يكون:

$$\epsilon = \frac{p_z^2}{2I_z}$$

بأخذ الاحداثي θ يكون:

$$dg = \int_0^{2\pi} d\theta \int_{-\infty}^{+\infty} dp_z \frac{1}{p_z^2}$$

$$Z_r = \frac{1}{h} \int_0^{2\pi} \int_{-\infty}^{+\infty} e^{-\frac{2IKT}{p_z^2}} dp_z d\theta$$

$$Z = \frac{2\pi}{h} (2\pi IKT)^{1/2} = \frac{\pi^{1/2}}{h} (8\pi^2 IKT)^{1/2}$$

$$Z = \frac{1}{h} \left(\frac{T}{\theta_r} \right)^{1/2} \quad \theta_r = \frac{h^2}{8\pi^2 IK} \quad (5.75) \quad \text{حيث}$$

في الميكانيك الكوانتي

$$\epsilon_1 = n^2 \frac{h^2}{8\pi^2 I} \quad \text{حسب (2.7a)}$$

$$g = 2$$

$$Z = \sum_{n=0}^{\infty} 2e^{-\frac{n^2 h^2}{8\pi^2 IKT}}$$

$$\frac{h^2}{8\pi^2 IK} \ll T \quad \text{إذا كان}$$

$$Z = \left(\frac{8\pi^3 IKT}{h^2} \right)^{1/2} \frac{2\pi}{h} (2\pi IKT)^{1/2}$$

$$Z = \frac{1}{h} \left(\frac{T}{\theta_r} \right)^{1/2}$$

وذلك بنفس:

$$\theta_r = \frac{h^2}{8\pi^2 IK}$$

الفصل التاسع

تطبيقات للمصاهء (التقليدي) (امضاء ماكسويل - بولترمان)

6.1 - الغاز المثالي آحادي الذره :

ان الغاز المثالي التقليدي (الكلاسيكي) هو بالتعريف الغاز الذي يتكون من جزيئات متشابهة تماما في خواصها الاساسية كالكتلة والحجم والشكل الخ . وتكون هذه الجزيئات غير متبادلة التأثير فيما بينها، أي ان القوى الجزيئية بين جزيئات الغاز مهملة ، بالإضافة الى ذلك فان هذه الجزيئات غير متمايزة، وبالتالي يمكن تطبيق احصاء ماكسويل - بولترمان التقليدي . ومن الجدير بالذكر هنا أنه ليس من الضروري الافتراض أن حجم الجزيئة مهملة، وذلك لان حجم الجزيئة يمكن أخذه بعين الاعتبار في الدراسة النظرية عند اجراء التكاملات في الفراغ الطوري . وعلى كل حال وللسهولة فاننا ستهمل حجم الجزيئة في دراستنا الحالية .

لنفترض انه لدينا وعاء ما ذا حجم محدود V ويحوي عددا من الجزيئات N لغاز مثالي آحادي الذري كتلة كل جزيء m . تتحدد حركة كل جزيء باحداثيات موضوعة x, y, z واحداثيات سرعته v_x, v_y, v_z ، اما طاقة كل جزيئة فانها عبارة عن مجموع الطاقة الحركية والطاقة الكامنة، وبما أن جزيئات الغاز غير متبادلة التأثير

فان هذا يعني ضمنا انعدام الطاقة المتبادلة بالاضافة الى ذلك يمكن اهمال الطاقة الناشئة عن الجاذبية الارضية واعتبار أن الطاقة الكامنة لكل واحدة حجم موجودة داخل الحجم الذي يشغله الغاز تمثل مقدارا ثابتا يمكن اهماله واعتباره معدوما . لو اعتبرنا منطقة في فراغ الطور فان كل نقطة من نقاط هذه المنطقة تمثل حالة للغاز . فالطاقة الكامنة يمكن اعتبارها ثابتة بالقيمة . أي يبقى الغاز مثاليا خلال مراحل تطوره وبالتالي تبقى الطاقة التبادلية (الكامنة) بين جزيئاته معدومة . وبما أنه يمكن اعتبار أن كل جزيء عبارة عن كتلة مادية نقطية فان طاقة الجزيء j تكون انتقالية فقط، وبالتالي فان تابع التحاص يعطى بالعلاقة (5.14) .

وبما أن :

$$N_j = \frac{N}{Z} \exp\left(-\frac{m v_j^2}{2KT}\right) \quad (6.1)$$

نجد بتعويض قيمة Z أن :

$$N_j = \frac{N h^3}{V(2\pi mKT)^{3/2}} \exp\left(-\frac{m v_j^2}{2KT}\right) \quad (6.2)$$

أي أن :

$$d^6N = \frac{N}{V} \left(\frac{m}{2\pi KT}\right)^{3/2} \exp\left(-\frac{mv^2}{2KT}\right) dx dy dz dv_x dv_y dv_z \quad (6.3)$$

لايجاد التوزع في الفراغ الاحداثيات (فراغ الموضع) الثلاثي
الابعاد $dx \cdot dy \cdot dz$ بدلا من الفراغ السداسي الابعاد نقوم بمكاملة

المعادلة (6.3) على جميع قيم dv_x و dv_y و dv_z وبالتالي نجد أن :

$$d^3N = \frac{N}{V} \left(\frac{m}{2\pi KT} \right)^{3/2} \left(\frac{2\pi KT}{m} \right)^{3/2} dx dy dz$$

حيث (أنظر الملحق III) :

$$\int_{-\infty}^{+\infty} e^{-ax^2} . dx = 2 \int_0^{\infty} e^{-ax^2} . dx = \sqrt{\frac{\pi}{a}}$$

يمكن كتابة المعادلة الأخيرة بالشكل :

$$\frac{d^3N}{dx dy dz} = \frac{N}{V} = \text{const.} \quad (6.5)$$

وتعني هذه المعادلة أن عدد الجزيئات لوحدة الحجم يساوي مقدارا ثابتا وهو مستقل عن الموضع ويساوي مجموع الجزيئات N مقسوما على الحجم V . وهذا يعني ضمنا أن الجزيئات موزعة بشكل منتظم في الفراغ الذي يحوي الغاز .

لايجاد توزيع السرعة في فراغ السرعة الثلاثي الابعاد، فأننا نقوم بمكاملة العلاقة (6.3) على جميع قيم dx و dy و dz مما يساوي حجم الاناء V أي :

$$d^3N = N \left(\frac{m}{2\pi KT} \right)^{3/2} \exp \left(- \frac{mv^2}{2KT} \right) dv_x dv_y dv_z \quad (6.6)$$

تمثل هذه المعادلة توزيع السرعة في الفراغ الثلاثي الأبعاد، لايجاد توزيع السرعة في اتجاه ما، نقوم باجراء عملية المكاملة على الاتجاهين الآخرين ، فعلى سبيل المثال لايجاد توزيع السرعة في الاتجاه x فاننا نكامل على جميع قيم dv_y و dv_z وبالتالي نجد أن (أنظر الملحق III) :

$$dn(v) = N \left(\frac{2m^3}{\pi (KT)^3} \right)^{1/2} \exp \left(- \frac{mv^2}{2KT} \right) v^2 dv \quad (6.7)$$

$$dn(v) = 4 \pi N \left(\frac{m}{2 \pi KT} \right)^{3/2} \exp \left(- \frac{mv^2}{2KT} \right) v^2 dv \quad (6.8)$$

تمثل هذه المعادلة توزيع ماكسويل للسرعة ويمكن الانتقال من توزيع الجزيئات حسب سرعتها في فراغ السرعة الثلاثي الأبعاد الى توزيع الجزيئات حسب دفعها في فراغ الدفع الثلاثي الأبعاد وذلك بملاحظة أن السرعة ترتبط بالدفع بالعلاقة $P = mv$

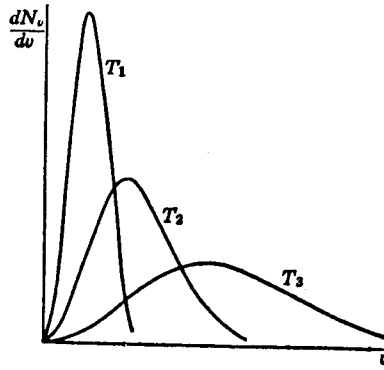
من تعريف الاحتمال يمكن أن نكتب العلاقة (6.8) بالشكل :

$$dW(v) = \frac{dn(v)}{N} = 4 \pi \left(\frac{m}{2 \pi KT} \right)^{3/2} \exp \left(- \frac{mv^2}{2KT} \right) v^2 dv \quad (6.9)$$

ويمثل المقدار $dW(v)$ احتمال حصول الجزيئة الغازية على السرعة v وذلك في المجال dv المحصور بين v و $v+dv$ يمثل الشكل (6.1) منحنى توزيع ماكسويل للسرعة حيث يمثل المقدار $f(v)$ المعروف بالعلاقة :

$$f(v) = \frac{dW(v)}{dv} \quad (6.10)$$

تابع توزيع ماكسويل لسرع الجزيئات ويلاحظ انه بارتفاع درجة الحرارة فان النهاية العظمى للمنحني تتحرك باتجاه القيم الاكبر للسرعة .



الشكل رقم (6.11)

يمكن الحصول على المعادلة العامة للغازات بالاعتماد على المعادلة (5.14) وذلك باستخدام تابع الطاقة الحرة المعرف بالعلاقة :

$$F = - NKT \ln Z \quad (6.11)$$

$$= - NKT \left(\ln V - \ln H + \frac{3}{2} \ln \frac{2\pi KT}{m} \right) \quad (6.12)$$

وبما أن الضغط يمثل تغيرات F بالنسبة للحجم عند ثبات درجة الحرارة، أي يمثل مشتق F بالنسبة لـ V عند ثبات T ، فنجد أن :

$$P = - \left(\frac{\partial F}{\partial V} \right)_T = \frac{NKT}{V} = \frac{nRT}{V} \quad (6.13)$$

وبالتالي نحصل على المعادلة العامة للغازات المثالية ابتداءً

من مفاهيم احصائية بحثه . اما الانتروبية فيمكن الحصول عليها

بملاحظة العلاقة (4.28) التي يمكن كتابتها بالشكل :

$$S = NK \ln Z + \frac{U}{T} \quad (6.14)$$

$$\begin{aligned} &= NK \left(\ln V + \frac{3}{2} \ln 2\pi K T - \ln H - \frac{3}{2} \ln m \right) + \frac{3}{2} K T \\ &= NK \left(\ln V + \frac{3}{2} \ln T + A \right) \end{aligned} \quad (6.15)$$

$$= nR \left(\ln V + \frac{3}{2} \ln T + A \right) \quad (6.16)$$

حيث A ثابت لا يتعلق بكل من T و V وهو يساوي مجموع

الحدود التي لا تحوي T و V . الانتروبية المولية النوعية تعطى

بالعلاقة :

$$s = \frac{S}{n} = R \ln V + \frac{3}{2} R \ln T + RA \quad (6.17)$$

تعطى الطاقة الداخلية للغاز بالعلاقة (4.21) :

$$U = NKT^2 \frac{d(\ln Z)}{dT} \quad (6.18)$$

ولكن

$$\ln Z = \ln V - \ln H + \frac{3}{2} \ln \frac{2\pi K}{m} + \frac{3}{2} \ln T$$

وبالتالي فان :

$$U = \frac{3}{2} NK'T = \frac{3}{2} nRT \quad (6.19)$$

وتكون الطاقة الداخلية للمول الواحد :

$$u = \frac{U}{n} = \frac{3}{2} RT \quad (6.20)$$

وبالتالي فان الحرارة النوعية المولية تحت حجم ثابت :

$$C_V = \left(\frac{\partial u}{\partial T} \right)_V = \frac{3}{2} R \quad (6.21)$$

وهي نفس العلاقة التي يمكن الحصول عليها باستخدام النظرية

الحركية للغازات .

6.2- توزيع ماكسويل لسرع الجزيئات :

في هذه الفقرة سنقوم باستنتاج علاقات السرع التالية :

أ- السرعة الوسطى ويرمز لها بالرمز \bar{v}

ب- السرعة التربيعية الوسطية ويرمز لها بالرمز v_{rms} وذلك

اختصارا لكلمة root mean square

ج- السرعة الاكثر احتمالا ويرمز لها بالرمز v_m'

د- السرعة النسبية الوسطى ويرمز لها بالرمز $\overline{v_r}$

وذلك بالاعتماد على علاقة توزيع ماكسويل للسرع (العلاقة 6.10) .

6.2.A السرعة الوسطى :

في حال عدم وجود أية حركة انتقالية للغاز ككل (أي أن الغاز

ساكن) فان السرعة الوسطى لجزيئاته تكون معدومة (وهذا لا يعني

بالطبع أن الجزيئات لا تتحرك وإنما نقصد هنا بالحركة الجماعية

الوسطى للجزيئات) . لتحديد السرعة الوسطى في حال وجود حركة

انتقالية يمكن الاعتماد على مفهوم القيمة الوسطى وبمساعدة علاقة

توزع ماكسويل أي :

$$\bar{v} = \int_0^{\infty} v f(v) dv \quad (6.22)$$

$$= 4 \pi \left(\frac{m}{2 \pi K T} \right)^{3/2} \int_0^{\infty} \exp\left(-\frac{ev^2}{2KT}\right) v^3 dv$$

باستخدام تكامل Γ المعطى بالملحق حيث :

$$\int_0^{\infty} e^{-ax^2} \cdot x^3 \cdot dx = \frac{1}{2a^2} \Gamma(2)$$

$$\Gamma(2) = \Gamma(1+1) = 1$$

$$\bar{v} = 4 \pi \left(\frac{m}{2 \pi K T} \right) \frac{1}{2a^2}$$

$$a = \frac{m}{2KT} \quad \text{حيث :}$$

بالتعويض نجد أن السرعة الوسطى تعطى بالعلاقة :

$$v = \left(\frac{8KT}{\pi m} \right)^{1/2} = \left(\frac{2,55 KT}{m} \right)^{1/2} \quad (6.23)$$

6.2.B. السرعة التربيعية الوسطية :

ان السرعة التربيعية الوسطية عبارة عن جذر نسبة مجموع

مربعات جميع الجزيئات في واحدة الحجم الى عدد هذه الجزيئات الموجودة في الحجم نفسه وتعطى بالعلاقة :

$$v_{rms} = \sqrt{\overline{v^2}}$$

وبالاعتماد على تعريف القيمة الوسطى واتباع نفس الطريقة

السابقة حيث :

$$\overline{v^2} = \int_0^{\infty} v^2 \cdot f(v) \cdot dv$$

$$= 4\pi \left(\frac{m}{2\pi KT} \right)^{3/2} \int_0^{\infty} \exp\left(-\frac{mv^2}{2KT}\right) v^4 dv$$

ان التكامل هو عبارة عن تكامل Γ حيث نجد بسهولة أن :

$$v_{rms} = \sqrt{\overline{v^2}} = \left(\frac{3KT}{m} \right)^{1/2} \quad (6.24)$$

يمكن الحصول على هذه العلاقة باستخدام النظرية الحركية

للغازات المثالية وذلك بمساواة الطاقة الوسطى للجزيئات $\frac{1}{2}mv^2$ مع قيمة هذه الطاقة التي يمكن الحصول عليها بالاعتماد على النظرية

الحركية والتي تساوي $\frac{3}{2}KT$

6.2.C. السرعة الأكثر احتمالا (أو السرعة العظمى)

يرمز لهذه السرعة بالرمز v_m وهي توافق النهاية العظمى

لمنحني تابع توزيع ماكسويل . ان هذه السرعة تقابل في المفهوم

الاحصائي السرعة الأكثر احتمالا . للحصول على هذه السرعة نشق

المعادلة (6.10) بعد تبديل قيمة $dW(v)$ بما تساويهـا
في المعادلة (6.9) ونعدم المشتق فنجد :

$$\begin{aligned}\frac{df(v)}{dv} &= \frac{d}{dv} \left[v^2 \exp\left(-\frac{mv^2}{2KT}\right) \right] 4\pi \left(\frac{m}{2\pi KT}\right)^{3/2} \\ &= 4\pi \left(\frac{m}{2\pi KT}\right)^{3/2} \left(2v - \frac{mv^2}{KT}\right) \exp\left(-\frac{mv^2}{2KT}\right) = 0\end{aligned}$$

ويلاحظ ان المقدار $\frac{df(v)}{dv}$ يصبح معدوما عندما يكون المقدار
 $\left(2v - \frac{mv^2}{KT}\right)$ معدوما ، وتكون السرعة عندها هي السرعة العظمى
أي $v = v_m$. وبالتالي فان :

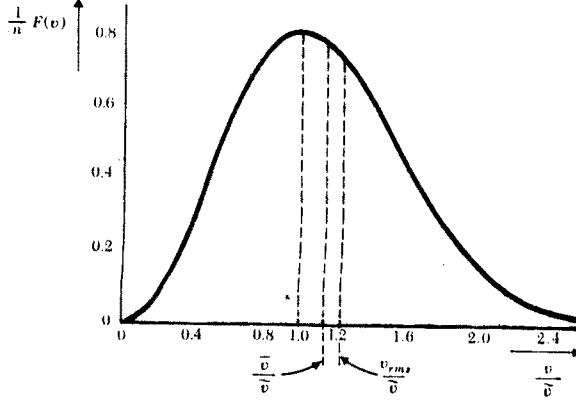
$$2v_m - \frac{mv_m^2}{KT} = 0$$

$$v_m = \left(\frac{2KT}{m}\right)^{1/2} \quad (6.25)$$

بالطبع رياضيا يمكن أن ينعدم المقدار $\frac{df(v)}{dv}$ عندما تكون
 $v = 0$ ، إلا أن هذه القيمة تمثل القيمة الصغرى للسرعة وليست
القيمة العظمى التي نبحث عنها لذا أهملت لاننا نبحث اصلا عن القيمة
العظمى لتابع التوزيع الاحتمالي .

يلاحظ من العلاقات (6.23) و (6.24) و (6.25) أن :

$$v_{rms} > v > v_m$$



ويبين الشكل (6.2)

قيم السرعات السابقة على محور السرعة حيث يلاحظ تحقق المتراجحة السابقة، وبسبب عدم تناظر توزيع ماكسويل للسرعة فإن السرعة الأكثر احتمالاً هي أصغر من كل من سرعتين \bar{v} و v_{rms} .

الشكل رقم (6.2)

6.2.D - السرعة النسبية الوسطى \bar{v}_r :

إن السرعة النسبية الوسطى هي عبارة عن سرعة إحدى جزيئات الغاز بالنسبة لجزيئة أخرى . ويمكن إيجاد القيمة الوسطى لهذه السرعة في حالة الغاز المثالي حيث أن حركة جزيئة ما غير مرتبطة بحركة جزيئة أخرى من الغاز ، يمكن البرهان أن احتمال حصول إحدى الجزيئتين على قيمة مطلقة للسرعة النسبية وذلك في المجال المحصور بين v_r و $v_r + dv_r$ يعطى بعلاقة مشابهة تماماً للعلاقة (6.9) بعد تبديل قيمة m بالكتلة المختزلة m^* والتي تعطى بالعلاقة :

$$m^* = \frac{m_1 m_2}{m_1 + m_2} \quad (6.26)$$

حيث m_1 و m_2 كتلة الجزيئة الاولى المتحركة بالنسبة

للجزيئة الثانية ، وبالتالي نجد :

$$dW(v_r) = 4 \pi \left(\frac{m^*}{2\pi KT} \right)^{3/2} \exp\left(-\frac{m^* v_r^2}{2KT} \right) v_r^2 dv_r$$

وباتباع نفس الخطوات التي وجدناها في حساب السرعة الوسطى

$$\bar{v}_r = \sqrt{\frac{8KT}{\pi} \left(\frac{1}{m_1} + \frac{1}{m_2} \right)} \quad \text{نجد أن :} \quad (6.27)$$

وفي الحالة التي تكون من أجلها جزيئات الغاز متماثلة أي :

$$m_1 = m_2 = m$$

نجد أن الكتلة المختزلة تساوي إلى $\frac{m}{2}$ وبالتالي فان السرعة

$$\bar{v}_1 = \sqrt{\frac{16 KT}{\pi m}} = \sqrt{2} \bar{v} \quad \text{النسبة تعطى بالعلاقة :} \quad (6.28)$$

أي أن القيمة الوسطى للسرعة النسبية أكبر من القيمة

الوسطى للسرعة بمقدار $\sqrt{2}$.

6.3 - توزيع الجزيئات في الفراغ (المعادلة البارامترية

• (The Parametric Equation)

في الفقرة (6.2) اعتبرنا ان طاقة الجزيئة ناتجة عن الطاقة

الحركية فقط، لندخل الان تأثير الجاذبية الارضية على الجزيئات

لنفرض بأن لدينا عمودا من الهواء مساحة مقطعه A ولنختار طبقة

رقيقة على ارتفاع z من سطح الارض سماكتها dz ، فيكون حجمه مساويا

• Adz ولنفرض أن هذا العمود موجود في درجة حرارة ثابتة T

أن كل جزيئة موجودة في هذا العمود تملك طاقة ϵ مساوية لمجموع طاقتها الحركية وطاقاتها الكامنة أي أن :

$$\epsilon = \frac{1}{2} mv^2 + mgz \quad (6.29)$$

وبالتالي فإن تابع التوزيع (تابع التماس) يعطى بالعلاقة :

$$Z = \frac{1}{h^3} \int \exp(-mgz + \frac{1}{2} mv^2)/KT \cdot dP_x \cdot dP_y \cdot dP_z \cdot dx \cdot dy \cdot dz$$

حيث يمثل التكامل هنا تكاملا سداسيا في فراغ الطور السداسي

الابعاد، وبالتالي فإن :

$$Z = \frac{1}{h^3} \int_0^\infty dx dy \int_0^\infty \exp(-mgz/KT) \int_{-\infty}^\infty \int_{-\infty}^\infty \int_{-\infty}^\infty \exp(-\frac{1}{2}mv^2) dP_x dP_y dP_z$$

أن التكامل الثلاثي يعطي مساحة مقطع الانبوب A . أما التكامل

الاحادي بالنسبة لـ z فإن حدوده تقع في المجال من $z=0$ الى $z=\infty$

ويعطى تكامله المقدار $\frac{KT}{mg}$. بالنسبة للتكامل الثلاثي فإنه يساوي $(2\pi mKT)^{3/2}$ وهو عبارة عن جداء ثلاث تكاملات أحادية قيمة

كل تكامل يساوي $(2\pi mKT)^{1/2}$. وبالتالي نجد أن :

$$Z = \frac{AKT}{mgh^3} (2\pi mKT)^{3/2} \quad (6.30)$$

وبما أن :

$$N_i = \frac{N}{Z} \exp(-\epsilon_i/KT)$$

التي تمثل عدد الحالات التي طاقتها تساوي ϵ_i وبالتالي فإن :

$$d^6N = \frac{N \cdot mg}{AKT} (2\pi mKT)^{3/2} \exp \left(-mgz + \frac{1}{2} mv^2 \right) .$$

$$dP_x dP_y dP_z \cdot dx dy dz . \quad (6.31)$$

لايجاد التوزيع بالنسبة للاتجاه z فقط، نقوم باجراء التكاملات على جميع المتحولات باستثناء z فنجد أن :

$$dN_z = \frac{N \cdot mg}{KT} \exp(-mgz) dz \quad (6.32)$$

يمثل dN_z عدد الجزيئات في طبقة رقيقة مساحة مقطعها A ومسلكتها dz وتقع على ارتفاع قدره z من سطح الارض . فمن أجل طبقتين لهما نفس السماكة وتقعان على ارتفاع z_1 و z_2 على الترتيب فان نسب اعداد الجزيئات يعطى بالعلاقة :

$$\frac{dN_2}{dN_1} = \exp \left[-mg(z_2 - z_1) / KT \right] \quad (6.33)$$

تم استخدام هذه المعادلة من قبل الفيزيائي الفرنسي Jean Perrin عام 1909 من أجل تحديد قيمة عدد أفوكادرو N حيث تمكن من تحديده ، وحصل على قيمة قريبة جدا من القيمة المعروفة له . يلاحظ أن جميع القيم في المعادلة (6.32) يمكن حسابها باستثناء قيمة K وبالتالي يمكن حسابها باستخدام هذه المعادلة وبما أن $K = \frac{R}{N}$ حيث R ثابت الغازات العام ويمكن تحديده تجريبيا ، وبالتالي استطاع Perrin حساب قيمة N حيث وجد أنها تتراوح بين $6,5 \times 10^{26}$ الى 7.2×10^{26} وهي قريبة من القيمة الحالية لعدد أفوكادرو والتي هي $N = 6,0251 \times 10^{26} \text{ molecules/Kg.mole}$

لايجاد المعادلة البارامترية التي تمثل توزع الجزيئات في الفراغ ، نكامل المعادلة (6.31) على جميع قيم السرعة فنجد أن :

$$d^3N = \frac{N \cdot mg}{AKT} \exp\left(-\frac{mgz}{KT}\right) dx dy dz$$

$$\frac{d^3N}{dx dy dz} = \frac{N \cdot mg}{AKT} \exp\left(-\frac{mgz}{KT}\right) \quad \text{أي أن :} \quad (6.34)$$

يمثل الطرف الايسر من المعادلة عدد الجزيئات في واحدة الحجم ويرمز له بالرمز $n(z)$ ، وبما أن $P = nKT$ فنجد أن الضغط P على ارتفاع z يعطى بالعلاقة

$$P = \frac{N \cdot mg}{A} \exp\left(-\frac{mgz}{KT}\right) \quad (6.35)$$

وعندما يكون $z=0$ فإن $P=P_0$ ، وبالتالي فإن الضغط على سطح الارض P_0 يعطى بالعلاقة :

$$P_0 = \frac{Nmg}{A} \quad (6.36)$$

وهذا المقدار يمثل نسبة وزن كمية من الغاز الى مساحة المقطع A ، لذا فإن العلاقة السابقة صحيحة ، بالتعويض في العلاقة (6.35) نحصل على :

$$P = P_0 \exp\left(-\frac{mgz}{KT}\right) \quad (6.37)$$

وهي علاقة تبين تغير الضغط مع الارتفاع حيث يلاحظ أن الضغط يتناقص مع الارتفاع وبشكل أسي . ويمكن بملاحظة العلاقة (6.34) نجد أن:

$$n(z) = n(0) \exp (-mg /KT) \quad (6.38)$$

حيث يمثل المقدار $n(0)$ عدد الجزيئات في واحدة الحجم وعلى ارتفاع $z=0$. تدمى هذه المعادلة بالاضافة الى المعادلة (6,37) باسم المعادلات البارامترية . وهي تطبق بالطبع على الغازات الواقعة في حجم مغلق وفي درجة حرارة ثابتة ، وبالتالي لا يمكن تطبيقها على الغلاف الجوي لانه عبارة عن جملة غير متوازنة حراريا .

6.4 - مبدأ التوزع المتساوي للطاقة :

يعتبر مبدأ التوزع المتساوي للطاقة من النتائج المباشرة للاحصاء التقليدي حيث يمكن استنتاجه من احصاء ماكسويل - بولتزمان . لنعتبر في البداية جزيئة غاز ذات كتلة m وان طاقة هذه الجزيئة تعطى بالعلاقة :

$$\epsilon_x = \frac{1}{2} m v_x^2 = \frac{p_x^2}{2m}$$

ان القيمة الوسطى للمقدار ϵ_x تعطى بالعلاقة :

$$\epsilon_x = \frac{\int \epsilon_x e^{-\epsilon_x/KT} d\Gamma}{\int e^{-\epsilon_x/KT} d\Gamma} \quad (6.39)$$

حيث $d\Gamma$ عنصر الحجم في الفراغ الطوري السداسي الابعصاد، وبما أن ϵ_x تتعلق بالمقدار p_x فاننا نجري التكامل على هذا المتحول ونعتبر باقي المتحولات ثابتة وبالتالي نجد أن :

$$\bar{\epsilon}_x = \frac{\int_{-\infty}^{+\infty} \frac{p_x^2}{2m} \exp\left(-\frac{p_x^2}{2mKT}\right) dp_x}{\int_{-\infty}^{+\infty} \exp\left(-\frac{p_x^2}{2mKT}\right) dp_x} \quad (6.40)$$

نفرض ان :

$$U^2 = \frac{p_x^2}{2mKT}$$

وبالتالي نجد بالتعويض ان :

$$\bar{\epsilon}_x = KT \frac{\int_{-\infty}^{+\infty} e^{-U^2} \cdot U^2 dU}{\int_{-\infty}^{+\infty} e^{-U^2} dU}$$

$$\bar{\epsilon}_x = \frac{1}{2} KT \quad (6.41)$$

تعني العلاقة (6.41) أنه في حالة التوازن الحراري وعند درجة الحرارة T ، فان الطاقة ، طاقة كل درجة حرية تساوي $\frac{1}{2}KT$ وهذا هو مبدأ التوزيع المتساوي للطاقة ، ويلاحظ أن هذا المبدأ يتحقق بالنسبة للحركة الانسحابية ، حيث يمكن أن نجد بسهولة من أجل الحركة الانسحابية التي تحوي ثلاث درجات ان طاقة كل درجة حرية متساوية وتساوي المقدار المعطى بالعلاقة السابقة . ويمكن التأكد من ذلك بسهولة حيث يجري التكامل بالنسبة للحركة الانسحابية (v_x, v_y, v_z)

من $-\infty$ الى $+\infty$ أو من 0 الى $+\infty$. ويتحقق أيضا بالنسبة للحركة التوافقية البسيطة حيث أن الطاقة الكامنة في الاتجاه x مثلا تعطى بالعلاقة $\epsilon_x = \frac{1}{2} K' x^2$ حيث K' ثابت القوة . أما بالنسبة لمجال الجاذبية الأرضية ، فإن مبدأ التوزع المتساوي الطاقة لا يتحقق وذلك لان الطاقة تابعة خطيا للمسافة فقط، كما أنه لا يتحقق للحركة الدورانية أو الاهتزازية أو الاشارة الالكترونية . وذلك لان من طبيعة الطاقة المكتملة انها ليست تابعة مستمرا وبالتالي لا تكون الطاقة المتوسطة لكل جزيء ولكل درجة حرية هي تابع خطي بسيط لدرجة الحرارة . يمكن القول أنه عندما يمكن التعبير عن طاقة جسيمة ما (أو جزيء ما) بعلاقة تربيعية للاحداثيات او كمية الحركة أو السرعة فإن مساهمة هذا الحد (أو هذه الدرجة من الحرية) تكون مساوية $\cdot \frac{1}{2} KT$

مثال : لنعتبر ان لدينا هزازا توافقيا يتحرك في الاتجاه x يملك طاقة يمكن التعبير عنها بالعلاقة :

$$\epsilon_x = \frac{p_x^2}{2m} + \frac{1}{2} K' x^2 \quad (6.42)$$

يمكن البرهان ان الطاقة الوسطى لهذا الهزاز تعطى بالعلاقة :

$$\epsilon_x = \frac{1}{2} KT + \frac{1}{2} KT = KT \quad (6.43)$$

حيث نلاحظ ان مساهمة كل حد تربيعي من الطاقة يساوي $\frac{1}{2} KT$

بشكل مشابه لما سبق يمكن ان نجد أن الطاقة الوسطى لجزيئة

$$\bar{\epsilon} = \frac{3}{2} KT \quad \text{: حرة تتحرك حركة انتقالية تعطى بالعلاقة} \quad (6.44)$$

أما الطاقة الوسطى لهزاز توافقي يتحرك في الفراغ التقليدي فانها تعطى بالعلاقة .

$$\bar{\epsilon} = 3KT \quad (6.44)$$

ويمكن للقارىء التأكد من صحة العلاقات السابقة، وذلك باتباع نفس الطريقة المتبعة سابقا . أو يمكن للسهولة مناقشة الامر مع ملاحظة انه من أجل كل حد تربيعي في عبارة الطاقة على أنه يمثل درجة حرية واحدة وبالتالي فان كل درجة حرية تملك طاقة وسطى مقدارها $\frac{1}{2} KT$ بحيث أن كل درجة حرية تكون مستقلة عن غيرها.

مثال :

لنأخذ جزيئا غراميا من جسم صلب يحوي على N_O ذرة، ويمثل N_O عدد أفوكادرو، اذا اعتبرنا أن كل ذرة عبارة عن هزاز توافقي يتحرك في الفراغ التقليدي الثلاثي الابعاد، فيكون عدد درجات الحرية الكلية يساوي $6N_O$ ، وبالتالي فان الطاقة الوسطى لهذا الجزيء الغرامي في الدرجة T ستكون :

$$U = 6N_O \cdot \frac{1}{2} KT$$

$$U = 3 RT$$

وبالتالي فان السعة الحرارية ستكون مساوية :

$$C_V = \left(\frac{\partial U}{\partial T} \right)_V = 3R \quad (6.45)$$

$$= 5,94 \text{ cal/}^\circ\text{K/gr.atom}$$

وذلك اذا بقي حجم الجسم الصلب ثابتا، ان هذه النتيجة لحساب السعة الحرارية بالاعتماد على مبدأ التوزع المتساوي للطاقة تسم

اثباتها بالنسبة لبعض المواد تجريبيًا من قبل الباحثان Dulong and Petit وذلك أثناء دراستهما للسعة الحرارية للمعادن ، وهي كما سنرى فيما بعد علاقة صحيحة في الدرجات العالية من الحرارة فقط.

6.5. - السعة الحرارية في الغازات :

6.5.A - السعة الحرارية في الغازات الاحادية الذرة :

ان جزيئات الغاز الاحادي الذرة تتحرك في الفراغ الثلاثي الابعاد التقليدي بحركة انسحابية ، أي سيكون لدينا ثلاثة مركبات للطاقة الحركية الانسحابية ، وهذه المركبات هي التي تساهم في حساب طاقة الغاز وبالتالي في حساب السعة الحرارية . وبما أنه سيكون لدينا ثلاث درجات حرية فان السعة الحرارية للغاز الاحادي الذر

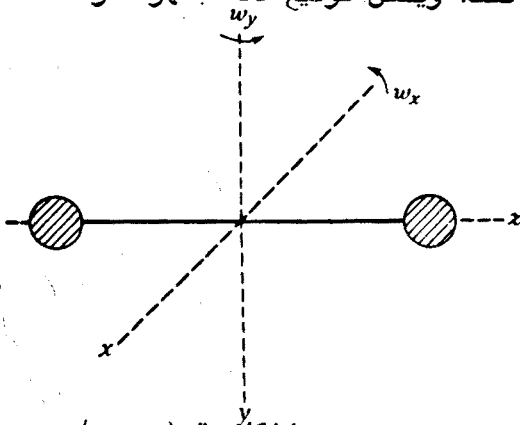
$$C_V = \frac{3}{2} R \quad \text{ستكون مساوية :}$$

6.5.B - السعة الحرارية في الغازات ثنائية الذرة :

في حالة الغاز ثنائي الذرة سنهمل في دراستنا التأثير المتبادل بين جزيئاته ، وعلى الرغم من ذلك فان السعة الحرارية لهذا الغاز أو للغاز المتعدد الذرات تختلف عن الغاز الاحادي الذرة وذلك لان الغاز المتعدد الذرات يملك طاقة داخلية خاصة به ، وتتكون من الطاقة الدورانية والاهتزازية وكذلك طاقة الاشارة الالكترونية . عند ارتفاع درجة حرارة الغاز المتعدد الذرات ، فان جزء من الطاقة التي يكتسبها الغاز تعمل على زيادة طاقة الحركة الانسحابية للجزيئات ، اما الباقي فانه يؤول الى زيادة الطاقات الاخرى ، تحت اسم الطاقة الداخلية للجزيئات . وحيث أن متوسط الطاقة

الانحبابية يتناسب مع درجة الحرارة ، فان الزيادة في درجة حرارة الغاز المتعدد الذرات تكون أقل مما هو عليه بالنسبة للغاز الاحادي الذرة وذلك لنفس كمية الحرارة المعطاة ، وهذا الامر يعني فيزيائيا ان السعة الحرارية تكون أكبر ويمكن البرهان على ذلك كما يلي :

يملك جزيء الغاز الثنائي الذرة ثلاث درجات حرية ناتجة عن الحركة الانحبابية ، وبالتالي فان الطاقة المرافقة لهذه الحركة تساوي $\frac{3}{2} KT$ ، كما أنه يملك ثلاث درجات حرية دورانية ، الا أن دوران الجزيء الثنائي الذرة حول الخط الذي يمر بين الذرتين سيكون مهملاً ، لذا فان الطاقة الدورانية لهذا الجزيء ستكون مساوية الى KT وذلك لوجود درجتين من الحرية فقط ، ويمكن توضيح ذلك بسهولة وذلك



بملاحظة الشكل (6.3) اذا كان المحور الذي يصل بين ذرتي الجزيء هو المحور z ، فان الدوران سيكون في اتجاه كل من المحورين x و y وبالتالي يمكن التعبير عن الطاقة الدورانية بالعلاقة :

الشكل رقم (6.3)
الدورانات الممكنة لجزيئة
ثنائية الذرة

$$U_r = \frac{1}{2} I_x \omega_x^2 + \frac{1}{2} I_y \omega_y^2 \quad (6.46)$$

حيث يمثل كلا من I_x و I_y عزم العطالة حول المحورين x و y على الترتيب ، اما ω_x و ω_y فيعبران عن السرعة الزاوية في الاتجاهين x و y . وبما أن الطاقة الدورانية تتناسب مع مربع

السرعة الزاوية (أي أن الخاصة التربيعية معقلنه) فيمكن أن نستنتج وجود درجتى حرية للحركة الدورانية، وبالمثل فان الحركة الاهتزازية تملك درجتى حرية، وبالتالي فان الطاقة الداخلية لعدد N من جزيئات الغاز ثنائي الذرة هي :

$$U = \frac{3}{2} NKT + NKT + NKT = \frac{7}{2} NKT$$

$$= \frac{7}{2} nRT \quad (6.47)$$

ومن أجل جزيء غرامي، فان الطاقة الداخلية هي :

$$U = \frac{3}{2} RT + RT + RT = \frac{7}{2} RT$$

وبالتالي فان السعة الحرارية :

$$C_V = \left(\frac{\partial U}{\partial T} \right)_V = \frac{3}{2} R + R + R$$

$$= \frac{7}{2} R \quad (6.48)$$

وهي كما نرى عبارة عن مجموع السعات الحرارية الناتجة عن

$$C_{V(r)} = R \quad \text{والدورانية} \quad C_{V(t)} = \frac{3}{2} R \quad \text{الحركات الانسحابية}$$

$$\cdot C_{V(v)} = R \quad \text{والاهتزازية}$$

تبين تجريبيا اختلاف القيم النظرية عن القيم التي تعطيها

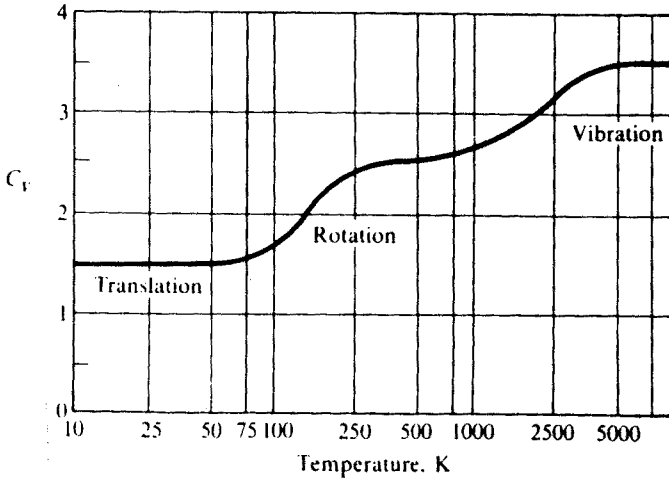
النتائج التجريبية للسعة الحرارية . وقد لوحظ هذا الاختلاف في

درجات الحرارة المنخفضة والعادية، ففي درجات الحرارة المنخفضة

جدا وهي القيمة 50K وجد أن السعة الحرارية تحت حجم ثابت تساوي

الى $\frac{3}{2} R$ ، ومع ارتفاع درجة الحرارة فان السعة الحرارية تزداد

حتى تصل الى القيمة $\frac{5}{2} R$ بجوار الدرجة 300K ، أما في الدرجات المرتفعة جدا من الحرارة فان السعة الحرارية تصل الى القيمة $\frac{7}{2} R$ وذلك كما هو واضح في الشكل (6.4) . ان تفسير هذا الاختلاف



الشكل رقم (6.4)

بين الدراسة النظرية التقليدية والقيمة التجريبية لغاز الهيدروجين الشثائي الذرة والموضحة بالشكل السابق ، انما يعود بالطبع الى عدم صحة الفرضيات التي بنيت عليها النظرية التقليدية وهي أن الطاقة مستمرة وبالتالي فان السعة الحرارية ثابتة .

يمكن تفسير النتائج التجريبية بالاعتماد على مفهوم تكميم الطاقة وإدخال مفاهيم بلانك وإينشتين الكوانتية . لقد أكدت مفاهيم بلانك وإينشتين على أن الطاقة الدورانية والاهتزازية هي طاقة مكممة وتأخذ قيما متقطعة في الفراغ الطوري، وهذا الامر يؤول بالضرورة الى نقض احد الشروط الموءدية الى مبدأ التوزيع المتساوي للطاقة الذي يعني ضمنا أن الطاقة مستمرة .

إذا لتفسير النتائج التجريبية يمكن اعتماد مفاهيم الميكانيك الكوانتي حيث أن الطاقتين الدورانية والاهتزازية تعطيان بالعلاقتين (2.7) و (2.10) أي :

$$\epsilon_r = J(J+1) \frac{h^2}{8\pi^2 I} \quad (6.49) \quad \text{الطاقة الدورانية}$$

$$\epsilon_v = (v + \frac{1}{2}) h\nu \quad (6.50) \quad \text{الطاقة الاهتزازية}$$

حيث J و v اعداد صحيحة موجبة أو صفر، و h ثابت بلانك أما I فيمثل عزم العطالة الذاتي للجزيء حول مركز ثقله وعمودي على الخط البواصل بين الذرتين . ويمثل ν تواتر الاهتزاز للجزيء . لمعرفة توزيع الجزيئات بين حالات الطاقة الممكنة نستخدم تابع التحاصل لكل من الحركة الاهتزازية والحركة الدورانية .

ان تابع التحاصل للحركة الاهتزازية يعطى بالعلاقة

$$Z_v = \sum_{v=0}^{\infty} e^{-\epsilon_v/KT} = \sum_{v=0}^{\infty} e^{-(v+\frac{1}{2})h\nu/KT}$$

$$= \sum_{v=0}^{\infty} e^{-(v+\frac{1}{2})\Theta_v/T} \quad (6.51)$$

حيث Θ_v درجة الحرارة المميزة للحركة الاهتزازية وتعطى بالعلاقة (5.52) أي :

$$\Theta_v = \frac{h\nu}{K}$$

وجد تجريبيا ان تواتر الاهتزازات للغازات الشائبة الذرة يقع في المجال تحت الحمراء ، ويمكن تجريبيا دراسة الاصدار والامتصاص اللطيف وتحديد قيمة التواتر وبالتالي حساب قيمة Θ_V باستخدام العلاقة (6.52) :

من العلاقة (6.51) نجد أن :

$$Z_V = e^{-\Theta_V/2T} [1 + e^{-\Theta_V/T} + e^{-2\Theta_V/T} + \dots] \quad (6.53)$$

$$\frac{Z}{Z_V} = \frac{e^{-\Theta_V/2T}}{1 - e^{-\Theta_V/T}}$$

وبما أن :

$$N_j = \frac{N}{Z} e^{-\epsilon_j/KT} \quad (6.54)$$

حيث تمثل ϵ_j في هذه الحالة الطاقة الاهتزازية المعطاة بالعلاقة (6.50) ، وبالتالي فان عدد الجزيئات في أية سوية طاقة هي :

$$N_j = N \frac{1 - \exp(-\Theta_V/T)}{\exp(-\Theta_V/T)} \exp\left[-\left(v + \frac{1}{2}\right) \Theta_V/T\right]$$

$$= N \exp(-\Theta_V/T) [1 - \exp(-\Theta_V/T)] \quad (6.55)$$

وبوضع $j=0,1,2,\dots$ نحمل على عدد الجزيئات في سويات

الطاقة المختلفة ، أي :

$$n=0 \longrightarrow N_0 = N[1 - \exp(-\Theta_V/T)]$$

$$n=1 \longrightarrow N_1 = N \exp(-\Theta_V/T) [1 - \exp(-\Theta_V/T)]$$

$$n=2 \longrightarrow N_2 = N \exp(-2\Theta_V/T) [1 - \exp(-\Theta_V/T)]$$

.....

.....

.....

$$n=j \longrightarrow N_j = N \exp(-j\Theta_V/T) [1 - \exp(-\Theta_V/T)]$$

نلاحظ أنه من أجل درجات الحرارة المنخفضة حيث $T \ll \Theta_V$

أن جميع الحدود الاسية (النيبيريه) تقترب من الصفر، وعند الصفر المطلق نجد أن :

$$N_0 = N$$

$$N_1 = N_2 = \dots = N_i = 0$$

وهذا يعني أن جميع الجزيئات موجودة في المستوى الطاقوي الصفري وهذا المستوى يملك أدنى سوية للطاقة وهي غير معدومة (لاحظ المعادلة (6.50) ، وبالتالي فإن الطاقة الاهتزازية لهذه السوية تساوي $N(-\frac{1}{2} h\nu)$ وهي أدنى سوية للطاقة.

عند أي درجة حرارة أعلى من درجة الصفر المطلق فإن بعض سويات الطاقة يمكن أن تملأ ببعض الجزيئات ، وتكون الطاقة الكلية في هذه الحالة :

$$U = \sum \epsilon_i N_i$$

$$= Nk\Theta_V \left[\frac{1}{2} + \frac{1}{\exp\left(\frac{\Theta_V}{T}\right) - 1} \right] \quad (6.56)$$

وبالتالي فان الطاقة الوسطى للهزاز التوافقي الاحادي يعطى

$$\bar{U} = \frac{U}{N} = k\Theta_V \left[\frac{1}{2} + \frac{1}{\exp\left(\frac{\Theta_V}{T} - 1\right)} \right] \quad (6.57)$$

ويلاحظ أن الطاقة الوسطى للهزاز التوافقي الكوانتي أكثر تعقيدا بالنسبة لدرجة الحرارة مما هو عليه بالنسبة للهزاز التوافقي التقليدي . وهنا يمكن ان نميز الحالتين التاليتين :

أ- في درجات الحرارة المنخفضة جدا حيث يكون $T \ll \Theta_V$ فنجد أن الحد الاسي يصبح كبيرا جدا وبالتالي فان :

$$\bar{U} \approx \frac{1}{2} k\Theta_V = \frac{1}{2} h\nu \quad (6.58)$$

ب- في درجات الحرارة المرتفعة حيث يكون $T \gg \Theta_V$ وبالتالي

فان الحد الاسي يصبح صغيرا وبالتالي يمكن استخدام التقريب

التالي :

$$\exp\left(\frac{\Theta_V}{T}\right) \approx 1 + \frac{\Theta_V}{T}$$

وبالتالي فان :

$$U \approx KT \quad (6.59)$$

وذلك بعد اهمال الحد $\frac{1}{2}$ في المعادلة (6.57) .

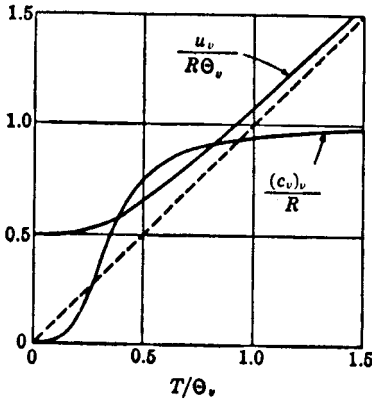
ويلاحظ أنه في درجات الحرارة المرتفعة ان الطرق التقليدية

والكمومية تتفقان في حساب طاقة الاهتزاز .

باستبدال قيمة NK بالمقدار nR في المعادلة (6.56) والتقسيم على n ، نحصل على الطاقة الاهتزازية المولية، وبالتالي فان السعة الحرارية الاهتزازية هي عبارة عن مشتق الطاقة الاهتزازية المولية U_V بالنسبة لدرجة الحرارة عند ثبات الحجم أي :

$$(c_V)_V = R \left(\frac{\Theta_V}{T} \right)^2 \frac{\exp(\Theta_V/T)}{[\exp(\Theta_V/T) - 1]^2} \quad (6.60)$$

ويلاحظ هنا أنه عندما يكون $T \ll \Theta_V$ فان السعة الحرارية تتناقص الى الصفر أما في درجات الحرارة المرتفعة حيث $T \gg \Theta_V$ فان السعة الحرارية تقترب من قيمة R التي تقترحها المفاهيم التقليدية.



الشكل (6.5)

يبين الشكل (6.5) تغيرات

المقدار $\frac{(c_V)_V}{R}$ و $\frac{U_V}{R\Theta_V}$ كتابع للمقدار $\frac{T}{\Theta_V}$ (لاحظ ان النسب السابقة ليس لها واحدة)

ان القيمة التقليدية للطاقة

الاهتزازية تساوي RT أو $\frac{U}{R\Theta_V} = \frac{T}{\Theta_V}$ ويمثل الخط المتقطع تغيرات

$\frac{U}{R\Theta_V}$ كتابع لـ $\frac{T}{\Theta_V}$. ويلاحظ أنه عبارة عن خط مستقيم ميله يساوي الواحد، وهو يتناسب مع السعة الحرارية التقليدية. ويلاحظ من الشكل ان القيم التقليدية تقترب من القيم الكمومية في درجات الحرارة المرتفعة.

بالنسبة للحركة الدورانية لغاز ثنائي الذرة فان تابـع

التحاص، يعطى بالعلاقة (5.20) .

وحيث Θ_V درجة الحرارة المميزة للحركة الدورانية تعطى

بالعلاقة (5.18) :

$$\Theta_r = \frac{h^2}{8 \pi^2 I K} \quad (6.61)$$

يبين الجدول درجات الحرارة المميزة Θ_V و Θ_r لبعض الجزيئات

ثنائية الذرة حيث يلاحظ أن $\Theta_V > \Theta_r$ ، يلاحظ من الجدول أن أكبر قيمة

لدرجة الحرارة المميزة Θ_r هي لغاز الهيدروجين ثنائي الذرة وذلك

كما هو متوقع حيث Θ_r تتناسب عكسا مع I الذي يمثل عزم العطالة

	Θ_V °K	Θ_r °K
H ₂	6140	85,5
OH	5360	27,5
HCl	4300	15,3
CO	3120	2,77
NO	2740	2.47
O ₂	2260	2,09
Cl ₂	810	0,347
Br ₂	470	0,117
K ₂	140	0.081

الجدول (6.1)

درجات الحرارة المميزة للحركتين الاهتزازية والدورانية

لجـزيء الهيدروجين وهو اصغر من الجزيئات الاخرى ، يلاحظ أنه من أجل الجزيئات التي تحوي ذرة هيدروجين واحدة فقط فان ذرة الحرارة المميزة تكون قريبة من 20°K ، وكذلك نلاحظ ان درجات الحرارة المميزة للحركة الدورانية من أجل الجزيئات الاخرى أقل من ذلك بكثير، وبالتالي يمكن القول أنه باستثناء درجات الحرارة T المنخفضة جدا فان درجة الحرارة T ستكون أكبر بكثير من Θ_r ، وعندما تكون Θ_r أكبر بكثير من T فان تأثير الحركة الاهتزازية والدورانية مهمل وتكون جزيئات الغاز في سويا ت الطاقة الدنيا . ينتج عن ذلك أن الطاقة الكلية للجزيئات (او الطاقة الداخلية) تعزى الى الطاقة الناتجة عن الحركة الانسحابية فقط . كما أن الطاقة الصفرية ($V=0$) في الحركة الاهتزازية والتي لا تتعلق بدرجة الحرارة لا تشارك في حساب السعة الحرارية . عند ارتفاع درجة الحرارة حتى قيم من رتبة Θ_r فان بعض الجزيئات يمكن أن تثار حراريا وتشغل سويا ت طاقة اعلى من السابق بحيث يمكن ان تقلك طاقة قريبة من الطاقة الدورانية الناتجة عن الحركة الدورانية وبالتالي فانها تشارك في حساب السعة الحرارية وهكذا من أجل الحركة الاهتزازية التي تظهر مشاركتها عند ارتفاع درجة الحرارة الى قيم تفوق درجة الحرارة المميزة للحركة الاهتزازية .

في مناقشتنا السابقة لم نأخذ بعين الاعتبار أية مشاركة لسويات الطاقة الالكترونية الناتجة عن حركة الاشارة الالكترونية في حساب السعة الحرارية ذلك لان درجة الحرارة المميزة لهذه الحركة مرتفعة جدا ، فعلى سبيل المثال في غاز الهيدروجين تصل قيمة Θ_e الى:

$$\Theta_e = \frac{\epsilon_{e1}}{K} = 118000 \text{ } ^\circ\text{K} \quad (6.62)$$

حيث ϵ_{e1} هي طاقة السوية الاولى الالكترونية، وفي غسان الاوكسجين فان $\Theta_e = 11000 \text{ } ^\circ\text{K}$ وهي من اخفض القيم التي تأخذها درجة الحرارة المميزة للإشارة الالكترونية في الجزيئات الشائبة الذرة من النوع الواحد. وبالتالي من هذه القيم المرتفعة جدا لـ Θ_e فان مساهمة الطاقة الالكترونية الناتجة عن الإشارة الالكترونية لا تظهر الا في الدرجات المرتفعة جدا وبالتالي يمكن اهمالها. ومن الجدير بالذكر هنا أن جزيئات أول أكسيد الكربون NO تملك قيمة لـ ϵ_e اقل بكثير مما هي عليه في حالة الجزيئات الاخرى ، الا أن هذه الحالة تعتبر نادرة وغير عادية.

ان دراسة أكثر عمقا تتطلب أخذ بعض الامور التي كنا قد اغفلنا ذكرها وذلك بغية التبسيط هي :

- اعتبرنا أثناء الدراسة أن جزيئات الغاز الشائبة الذرة متماثلة.

- لم نأخذ بعين الاعتبار انطباق سويات الطاقة الدورانية.

- الارتباط بين حالات الاهتزاز والدوران بين الجزيئات، حيث

اعتبرنا أن الحركات الاهتزازية والدورانية للجزيئات تحدث

بشكل مستقل عن الآخر .

- افترضنا ان الحركة الاهتزازية هي حركة هزان توافقي بسيط .

وعلى كل حال فان الدراسة النظرية الدقيقة للسعة الحرارية تتطلب الخوض في رياضيات معقدة تقع خارج نطاق هذا المقرر ويمكن بواسطتها تفسير القياسات التجريبية الضوئية لقيم السعة الحرارية الدقيقة التي هي بالطبع اكثر دقة من الطرق التقليدية في قياس السعة الحرارية.

6.6 - غاز ماكسويل - بولتزمان ذو سويتي الطاقة :

تنطبق هذه الحالة على الكثير من الجمل الفيزيائية ذات الطاقة المكتملة في درجات الحرارة المنخفضة. حيث يكون لهذه الجمل خصائص ترموديناميكية قريبة جدا من خصائص الجملة ذات سويتي الطاقة ويظهر هذا التشابه جليا عندما يكون عدد الجسيمات في سويات الطاقة الاعلى من السوية الثانية قليل جدا بالمقارنة مع عدد الجسيمات في السويتين الاولى والثانية.

لنفرض ان الجسيمات غير متبادلة التأثير فيما بينها وتخضع لتوزيع ماكسويل - بولتزمان التقليدي. اذا رمزنا ب N الى العدد الكلي للجسيمات في الجملة المدروسة وكان n عبارة عن عدد الجسيمات في السوية الثانية فان عدد الجسيمات في السوية الاولى سيكون مساويا $N-n$. وبفرض ان ϵ_1 و ϵ_2 تمثل طاقة السويتين الاولى والثانية على الترتيب حيث ان السوية الثانية هي السوية الطاقية المشارة التي من اجلها $\epsilon_1 > \epsilon_2$. بالاعتماد على توزيع ماكسويل - بولتزمان يمكن ان نكتب :

$$N-n = g_1 \exp(\mu - \epsilon_1) / KT$$

في السوية الاولى

في السوية الثانية $n = g_2 \exp (\mu - \epsilon_2) / Kt$

لنفرض ان سويات الطاقة غير متطابقة فنجد أن :

$$\frac{N-n}{n} = \exp (\epsilon_2 - \epsilon_1) / KT$$

وبالتالي فان :

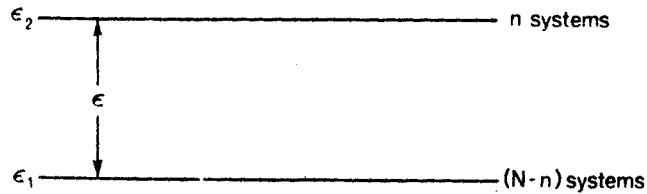
$$n = \frac{N}{1 + \exp(\epsilon_2 - \epsilon_1) / KT}$$

$$= \frac{N}{1 + \exp(\epsilon / KT)}$$

حيث $\epsilon = \epsilon_2 - \epsilon_1$ يمثل طاقة المجال المحصور بين سويتي الطاقة

(1) و (2) كما هو موضح بالشكل (6.6) . وبما أن الطاقة

الكلية للجملة هي عبارة عن مجموع طاقتي السوية الاولى والثانية .



الشكل رقم (6.6)

يبين توزيع الجسيمات في سويتي الطاقة (1) و (2) .

أي :

$$U = n \epsilon_2 + (N-n) \epsilon_1$$

$$= N \varepsilon_1 + \frac{N \varepsilon}{1 + \exp \left(-\frac{\varepsilon}{KT} \right)}$$

وبالتالي يمكن حساب السعة الحرارية عند حجم ثابت وذلك
 باشتقاق المعادلة السابقة مع ملاحظة أن ε_1 و ε_2 وكذلك ε عبارة
 عن ثوابت فنجد :

$$C_V = \left(\frac{\partial U}{\partial T} \right)_V = \frac{N \varepsilon^2}{KT^2} \frac{\exp(\varepsilon/KT)}{\left[1 + \exp \left(-\frac{\varepsilon}{KT} \right) \right]^2} \quad (6.63)$$

إذا فرضنا أن $\Theta = \frac{\varepsilon}{K}$ فبالتعويض في المعادلة السابقة
 نجد أن :

$$C_V = NK \left(\frac{\Theta}{T} \right)^2 \frac{\exp(\Theta/T)}{\left[1 + \exp \left(-\frac{\Theta}{T} \right) \right]^2} \quad (6.64)$$

يبين الشكل (6.7) تغيرات السعة الحرارية بدلالة $\frac{\Theta}{T}$
 وهو مقدار ليس له واحدة. ويلاحظ من الشكل أن السعة الحرارية تملك
 قيمة عظمى مساوية $0,45NK$ تقريبا عند القيمة $\Theta/T = 2,5$ ، ويلاحظ
 أن السعة الحرارية تنعدم من أجل درجات الحرارة التي تتناقص إلى
 الصفر أو إلى اللانهاية.

لنفرض الآن وجود انطباق في سويات الطاقة بحيث يمثل g_1
 الانطباق في السوية الأولى ذات الطاقة $\varepsilon_1 = 0$ و g_2 الانطباق في السوية
 الثانية التي طاقتها $\varepsilon_2 = \varepsilon$ ، بالاعتماد على توزيع ماكسويل-بولتزمان

يمكن أن نكتب أن :

$$N = g_1 \exp\left(\frac{\mu}{KT}\right) + g_2 \exp\left(\frac{\mu - \epsilon}{KT}\right)$$

$$\exp\left(\frac{\mu}{KT}\right) = \frac{N}{g_1 + g_2 e^{-\epsilon/KT}} \quad (6.65)$$

وبالتالي فإن عدد الجسيمات في السوية الاولى ذات الطاقة

$\epsilon = 0$ يعطى بالعلاقة :

$$N - n = \frac{N}{g_1 + g_2 \exp\left(-\frac{\epsilon}{KT}\right)}$$

وعدد الجسيمات في السوية الثانية ذات الطاقة ϵ يعطى

بالعلاقة :

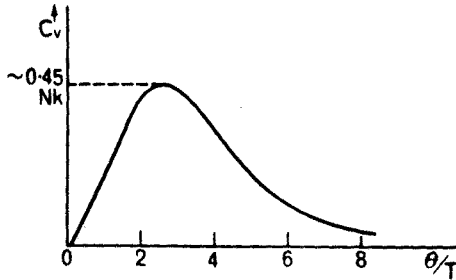
$$n = N \frac{g_2 \exp\left(-\frac{\epsilon}{KT}\right)}{g_1 + g_2 \exp\left(-\frac{\epsilon}{KT}\right)}$$

وبالتالي فإن الطاقة الداخلية للجمله بكاملها تعطى بواسطة

العلاقة :

$$U = n\epsilon = \frac{N \epsilon g_2 \exp\left(-\frac{\epsilon}{KT}\right)}{g_1 + g_2 \exp\left(-\frac{\epsilon}{KT}\right)}$$

$$U = \frac{N \epsilon g_2}{g_1 \exp\left(\frac{\epsilon}{KT}\right) + g_2} \quad (6.66)$$



الشكل رقم (6.7)

$$\frac{\epsilon}{KT} = \frac{\theta}{T} \quad \text{تغيرات السعة الحرارية بدلالة المقدار}$$

للحصول على السعة الحرارية تشتق العلاقة الاخيرة فنجد أن :

$$C_V = \frac{KN g_1 g_2 (\epsilon/KT)^2 \exp(\epsilon/KT)}{[g_1 \exp(\epsilon/KT) + g_2]^2} \quad (6.67)$$

نلاحظ أنه عندما $T \rightarrow 0$ أن $C_V \rightarrow 0$ وذلك بعد ازالة عــــدم

التعيين باستخدام قاعدة اوبيتال ، وكذلك عندما $T \rightarrow \infty$ نجد أن

$C_V \rightarrow 0$ أيضا ، وبالتالي فان السعة الحرارية لا بد وأن تملك نهاية

عظمى عند درجة حرارة ما ، نرمز لها بالرمز T_m وهي الدرجة التي

تقابل النهاية العظمى لـ C_V أي لـ $(C_V)_m$.

يمكن الحصول على القيمة T_m الموافقة للقيمة العظمى للسعة الحرارية باشتقاق العلاقة (6.57) ومساواة الناتج بالصفر حيث نجد أن :

$$T_m = \frac{\epsilon / K}{\ln\left(\frac{g_1}{g_2}\right)} \quad (6.68)$$

وذلك من أجل الحالة التي من أجلها $\ln \frac{g_1}{g_2} \gg 1$ وبالتالي يمكن أن نلاحظ الحالتين التاليتين :

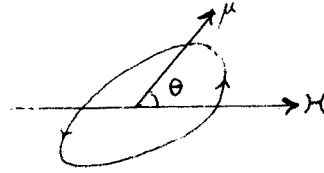
- أ- من أجل درجات الحرارة التي تحقق الشرط $T < T_m$ يكون القسم الأعظمي من الجسيمات في السوية الأولى .
- ب- ومن أجل $T > T_m$ يصبح توزع الجسيمات على السويتين قريبا من التوزع المنتظم .

وبالتالي فإن الدرجة T_m أو بالقرب منها يحصل انتقال مكثف للجسيمات من السوية الأولى الى السوية الثانية، وعندما يتحقق الشرط السابق $\ln \frac{g_1}{g_0} \gg 1$ فإن الدرجة T_m تقابل درجة الحرارة التي يكون عندها القسم الأعظمي من الجسيمات قد انتقل الى سوية الطاقة الثانية وبالتالي فإن $n \gg N-n$.

6.7 - نظرية التمعنط

بالاعتماد على بنية المادة ونتيجة لحركة الالكترونات في الجزيء فإن هذا الجزيء يملك عزمًا دورانيا وآخر مغناطيسيًا . عند تطبيق حقل مغناطيسي خارجي على مادة قابلة للتمعنط فإن متجهة العزم المغناطيسي لكل جزيء (أو ذرة) تدور حول متجهة التمعنط .

الخارجي المطبق كما هو موضح بالشكل (6.8) (ويلاحظ أن العزم



الشكل رقم (6.8)

الذي يؤثر به الحقل لا يؤدي بذاته الى تنظيم العزوم المغناطيسية للجزيئات مع الحقل الخارجي الذي قد يؤدي الى حدوث ظاهرة التماثل، وحتى لو كانت الطاقة الكامنة في نهايتها الصغرى . ان التصادمات الجزيئية والتي تؤدي الى اعادة توزيع الطاقة في المادة هي في الحقيقة المسؤولة عن توجيه العزوم المغناطيسية ، الا أنه ليس من الضروري أن تتفق جميع الجزيئات في الاتجاه الذي تكون فيه الطاقة الكامنة المغناطيسية في نهايتها الصغرى (حيث تكون متجهات العزوم متوازية) .

تعتمد قابلية التماثل في المواد بشكل عام على درجة الحرارة ، ويمكن أن نتوقع أنه كلما ارتفعت درجة الحرارة ، كان من الصعب ترتيب العزوم المغناطيسية للجزيئات في اتجاه الحقل المغناطيسي (وجد كوري Kurie عام 1895 ان التماثل M يعطى بالعلاقة :

$$M = C \frac{H}{T} \quad (6,69)$$

حيث C ثابت يدعى باسم ثابت كوري، و (θ) هي شدة الحقل المغناطيسي الخارجي الممغنط للمادة. تدعى العلاقة (6.69) باسم قانون كوري حيث يلاحظ ان M تتناسب تناسباً طردياً مع (θ) بلا حدود أي بدون الوصول الى حالة الاشباع أو الحالة الحدية التي من أجلها تصبح جميع العزوم المغناطيسية للجزيئات في اتجاه الحقل $(\theta = 0)$. لذا فان علاقة كوري غير منطقية ويعتريها بعض الأخطاء التي لم تدعمها التجربة والمنطق الفيزيائي. هذا الأمر دعا الباحث لانجفيلد —————
Langenvien عام 1905 الى وضع نظريته حيث أعتبر عينة ما من الغاز الذي يملك كل جزيء منه عزماً مغناطيسياً μ . فعند تطبيق حقل مغناطيسي عامل تحريضه B ، فان العزم المغناطيسي للجزيء الواحد يمكن أن يمتنع الزاوية θ بين الحقل المغناطيسي و μ . ويكون العزم المغناطيسي الناتج عن تأثير الحقل المغناطيسي المطبق على الجزيء تتناسب مع المقدار $\mu B \sin \theta$ أي :

$$\gamma = + \mu B \sin \theta$$

وبالتالي فان العمل اللازم لتدوير الجزيء بزاوية قدرها $d\theta$

يعطى بالعلاقة :

$$dW = \gamma . d\theta = + \mu B \sin \theta d\theta$$

أي أن مقدار الزيادة في الطاقة المغناطيسية الكامنة سيكون

مساوياً للعمل dW ، أي :

$$d \epsilon_p = \mu . B \sin \theta d\theta$$

ويكون الفرق في الطاقة الكامنة الكلية عندما تتغير الزاوية

من θ_1 الى القيمة θ_2 هو :

$$\epsilon_{P_2} - \epsilon_{P_1} = \mu B \int_{\theta_1}^{\theta_2} \sin \theta . d\theta$$

$$= \mu B (\cos \theta_1 - \cos \theta_2)$$

يلاحظ من الشكل أنه عندما تكون $\theta_1 = \pi/2$ فإن $\epsilon_{P1} = 0$ وعندما تكون $\theta_2 = \theta$ فإن $\epsilon_{P2} = \epsilon_P$ وتصبح العلاقة الأخيرة بالشكل :

$$\epsilon_P = -\mu B \cos \theta \quad (6.70)$$

لنفرض أن $u = -\cos \theta$ و $x = \frac{\mu B}{KT}$ وبالتالي فإن تابع التحاص يعطى بالعلاقة :

$$Z = \int \exp(-\mu B u / KT) = \int \exp(-xu) du$$

وبالاعتماد على النظرية الكلاسيكية يمكن الانتقال من صيغة المجموع الى صيغة التكامل وذلك باعتبار أن θ أو u عبارة عن تابع مستمر. وبما أن H يمثل عنصر الحجم في الفراغ الطوري ويجعل $du = H$ فيمكن أن نكتب تابع التحاص بالشكل :

$$Z = \frac{1}{H} \int_{-1}^{+1} \exp(-xu) du$$

حيث أن حدود θ هي من 0 الى π وبالتالي فإن حدود u هي من -1 الى +1 .

باجراء التكامل السابق نجد أن :

$$Z = \frac{1}{H} \frac{2 \sinh x}{x} \quad (6.71)$$

وبالتالي نجد أن عدد الجزيئات في واحدة الحجم dn_u التي عزمها المغناطيسية تضع زاوية قدرها θ مع اتجاه الحقل الخارجي تكون :

$$dn_u = \frac{nx}{2\sinh x} \exp(-xu) du \quad (6.72)$$

أن كل جزيء من هذه الجزيئات يملك مركبة عزم مغناطيسي في اتجاه الحقل هي :

$$\mu \cos \theta = -\mu u$$

وبالتالي فإن M تعطى بالعلاقة :

$$M = \int -\mu u dn_u \quad (6.73)$$

$$= - \frac{n\mu x}{2\sinh x} \int_{-1}^{+1} u \exp(-xu) du$$

$$= n\mu \left(\coth x - \frac{1}{x} \right) \quad (6.74)$$

$$= n\mu \left(\coth \frac{\mu B}{KT} - \frac{KT}{\mu B} \right) \quad (6.75)$$

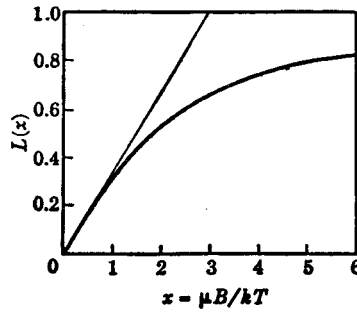
$$= n\mu L(x) \quad (6.76)$$

يدعى $L(x)$ باسم تابع لانجفين Langevin function ويمثل الشكل (6.9) تغيرات هذا التابع بدلالة x ، لنبحث الآن حدود القيم في المعادلة (6.74) أو (6.75) الناتجة عنها بعد

تبديل قيمة x بما تساويها وذلك في الحالتين التاليتين :

أ- في الحقول العالية ودرجات الحرارة المنخفضة حيث يكون $x \gg 1$ وبالتالي فان $\coth x \approx 1$ ويمكن اهمال الحد الثاني حيث $1/x \gg 1$ فنجد :

$$M = n \mu \quad (6.77)$$



الشكل رقم (6.9)

ب- في الحقول الصغيرة (أي الضعيفة) ودرجات الحرارة العالية

يكون :

$$x \ll 1 \longrightarrow \coth x = \frac{1}{x} + \frac{x}{3}$$

وبالتالي فان :

$$M = \frac{n\mu^2 B}{3KT} = \left(\frac{n\mu^2 \mu_O}{3K} \right) \frac{H}{T} \quad (6.78)$$

حيث $H = B/\mu_O$ وذلك في معظم المواد الممغنطة . يلاحظ ان العلاقة

السابقة هي عبارة قانون كوري المعطاة في العلاقة (6.69)

حيث أن ثابت كوري يساوي :

$$C = \frac{n\mu^2\mu_0}{3K} \quad (6.69)$$

وبالتالي فان نظرية لانجفين تنقلب الى قانون كوري فـي الحقول الضعيفة ودرجات الحرارة العالية . وعلى كل حال فان نظرية لانجفين تتنبأ بأن المادة الممغنطة يمكن أن تصل الى حالة الاشباع في حالة الحقول المغناطيسية المرتفعة ودرجات الحرارة المنخفضة وذلك كما هو واضح في الشكل (6.9) حيث نجد أن تابع لانجفين يمل الى حالة الاشباع في الشرط السابق ، ويمثل الخط المستقيم علاقة كوري .

استطاعت النظرية الكوانتية أن تصحح نظرية التـمغنط من خلال المفهومين التاليين :

أ- ينشأ العزم المغناطيسي لجزيء المادة من خلال توزيع الـالكترونات في الجزيء .

ب- ان العزم المغناطيسي لجزيء المادة لا يمكن أن يأخذ أي قيمة ممكنة أو أي اتجاه ، بل انه يأخذ عدد محدد من الاتجاهات المسموح بها وهذا ما يعرف باسم تكميم الفضاء أو تكميم الاتجاهات Space quantization .

جرت عدة محاولات تجريبية بغية تحقيق علاقات التـمغنط النظرية ، ولعل أهمها تلك التي قام بها كل من شتين وجيرلاش Stern and Gerlach ويبين الشكل (6.10) تجربتهما الشهيرة ، حيث يتم دخول بخار معدن الفضة بين قطبي مغناطيس ، وهذا الامر يؤدي الى انحراف مجموعة من الجزيئات في اتجاه العقل

المغناطيسي ومجموعة أخرى في الاتجاه المعاكس
وتسمى اختيار الفضة بسبب أن جزيئات الفضة يمكن أن تنحرف
فقط في أحد الاتجاهين (أي اتجاه الحقل المغناطيسي أو في الاتجاه
المعاكس) وبالتالي يمكن معرفة عدد الجزيئات المنحرفة في كلا
الاتجاهين . فإذا فرضنا أن طاقة الجزيء المنحرف في اتجاه الحقل
هي ϵ_1 وطاقة الجزيء المنحرف في الاتجاه المعاكس هي ϵ_2 حيث :

$$\epsilon_1 = -\mu B \quad , \quad \epsilon_2 = \mu B$$

وبما أنه يوجد اتجاهان فقط فهذا يعني أنه يوجد حالتان
فقط للطاقة، وبالتالي فإن تابع التوزيع (تابع التخاص) يعطى

$$Z = e^{\epsilon_1} + e^{\epsilon_2} = 2 \cosh x \quad \text{بالعلاقة :} \quad (6.80)$$

أي أن عدد الجزيئات في واحدة الحجوم في الحالتين السابقتين

هو :

$$n_1 = \frac{n}{2} \frac{e^{\epsilon_1}}{\cosh x}$$

$$n_2 = \frac{n}{2} \frac{e^{\epsilon_2}}{\cosh x}$$

وبالتالي فإن التمعنط الكلي M يعطى بالعلاقة :

$$M = n_1 \mu - n_2 \mu = (n_1 - n_2) \mu$$

وهذا يحدث بالطبع في درجات الحرارة المنخفضة حيث نصل إلى

حالة الاشباع. أما في درجات الحرارة المرتفعة جداً فيكون :

$$\mu_B/KT \ll 1 \longrightarrow \tanh \frac{\mu_B}{KT} \approx \frac{\mu_B}{KT}$$

وبالتالي فإن التماغنط M يعطى بالعلاقة :

$$M = \frac{n \mu^2 \mu_O}{K} \frac{1}{T} \quad (6.83)$$

وهي عبارة عن قانون كوري في المجال الذي تكون من أجله

الحقول ضعيفة ودرجات الحرارة عالية ويلاحظ أن ثابتة كوري فهي

هذه الحالة هي :

$$C = \frac{n \mu^2 \mu_O}{K} \quad (6.84)$$

وهي أكبر بثلاث مرات مما تتوقعه النظرية التقليدية (قارن

بين العلاقتين (6.79) و (6.84)) . أن المعادلة (6.81) لها

نفس الشكل الذي لاحظناه في دراسة لانجفين إلا أن ميل الخط المستقيم

في المنطقة الخطية من الشكل (6.10) أكبر بثلاث مرات

الفصل السابع

تعيين الوسيط α في الاحصاءات الكوانتية

7.1 - مقدمة :

وجدنا في الفصل الثالث (3.8.A) أن قوانين التوزع في الاحصاءات الكوانتية تعطى بالعلاقة :

$$N_i = \frac{g_i}{e^{\alpha + \frac{\epsilon_i}{KT}} + 1} \quad (7.1)$$

حيث تؤخذ اشارة الزائد في احصاء فيرمي - ديراك واشارة الناقص في احصاء بوز - اينشتاين . وقد بينا في الفقرة 4.4.B ان قيمة الوسيط β لا تتغير مهما كان الاحصاء المستخدم وتساوي دوما القيمة $1/KT$ ، في حين ان قيمة الوسيط α تختلف باختلاف الاحصاء المستخدم .

في احصاء بوز - اينشتاين يجب ان تكون α بالضرورة موجبة او معدومة لان الكميات g_i, ϵ_i, N_i هي مقادير موجبة وبالتالي يجب

ان يكون e^α مساويا أو أكبر من الواحد .

على العكس من ذلك ، في احصاء فيرمي - ديراك ، يمكن أن تأخذ α اية قيمة بين $-\infty$ و $+\infty$ لانه مهما كانت هذه القيمة فان الكميات ϵ_i, g_i, N_i تبقى كميات موجبة .

عندما $\alpha \rightarrow \infty$ فان :

$$N_i \sim g_i e^{-\alpha - \frac{\epsilon_i}{KT}}$$

وبالتالي تُرد الاحصاءات الكوانتية الى احصاء ماكسويل - بولتزمان . وبأخذ بعين الاعتبار قيم α فاننا سنصلح على مايلي :

$\alpha \rightarrow \infty$	$\alpha = 0$	$\alpha \rightarrow -\infty$	
احصاء بوز اينشتاين	مستحيل	احصاء فيرمي - ديراك	
غاز منطبق بصورة كلية	غاز منطبق بصورة كلية	غاز منطبق بصورة كلية	
ماكسويل - بولتزمان			

وتتعين قيمة α بنفس الطريقة التي اتبعناها في احصاء ماكسويل بولتزمان (فقرة 4.4.A) الا ان معويات رياضية تعترضنا وتتعلق بشكل قوانين التوزع الكوانتية تجعل من المستحيل ان نجرى حساب قيمة هذا الوسيط α بشكل واحد مما يقتضي ان نحدد الحالات الخاصة التي نعين من أجلها هذه القيمة .

7.2 - دراسة غاز البوزونات أو الفرميونات في الحركة الانسحابية

الثلاثية الابعاد :

بشكل عام تصادفنا الحركة الانسحابية فقط دون غيرها .
 في الواقع تخضع الجزيئات ، بوزونات أو فرميونات ، الى احصاء
 ماكسويل - بولتزمان ماعدا عند درجات الحرارة المنخفضة جداً حيث
 تدوم الحركة الانسحابية وحدها . وكذلك الامر بالنسبة للفوتونات
 والالكترونات والتي هي بوزونات وفرميونات على الترتيب اذ لا يوجد
 لها سوى حركة انسحابية .

وجدنا في الفصل الخامس (علاقة 5.69) ان عدد سويات الطاقة
 الانسحابية يساوي :

$$dg = \frac{4 \pi mV}{h^3} (2m\varepsilon)^{1/2} d\varepsilon$$

حيث m كتلة الجسيمة ، V الحجم الكلي الذي تشغله ، ε طاقة
 الحركة الانسحابية لها .

يمكن استخراج قيمة α من العلاقة $N = \sum_i N_i = \int dN$ باستخدام

العلاقات :

$$dN = \frac{dg}{e^{\alpha + \frac{\varepsilon}{KT}} + 1} \quad (7.2)$$

و

$$Z_t = \frac{V}{h^3} (2 \pi mKT)^{3/2} \quad (7.3)$$

$$N = \frac{4 \pi m V}{h^3} \int_0^{\infty} \frac{(2m\varepsilon)^{1/2} d\varepsilon}{e^{\alpha + \frac{\varepsilon}{KT}} \pm 1} \quad \text{أي :} \quad (7.3)$$

وبفرض $x = \frac{\varepsilon}{KT}$ تأخذ هذه العلاقة الشكل :

$$N = \frac{2Z_t}{\pi^{1/2}} \int_0^{\infty} \frac{x^{1/2} dx}{e^{\alpha+x} \pm 1} \quad (7.4)$$

حيث تعود اشارة الزائد الى احصاء فيرمي - ديراك واسارة الناقص الى احصاء بوزة - اينشتاين .

ليس لهذا التكامل قيمة جبرية . وفي الحالة الخاصة من احصاء ماكسويل - بولتزمان الذي سبق وعينا قيمة α فيه نأخذ العلاقة (7.4) الشكل البسيط التالي :

$$N = \frac{2Z_t}{\pi^{1/2}} e^{-\alpha} \int_0^{\infty} x^{1/2} e^{-x} dx = e^{-\alpha} Z_t$$

$$e^{-\alpha} = \frac{Z_t}{N} \quad (7.5)$$

تدخل هذه التكاملات بشكل طبيعي في علاقات التوازن الترموديناميكية فالطاقة الداخلية مثلا تعطى بالعلاقة :

$$U = \sum_i N_i \varepsilon_i = \int_0^{\infty} \varepsilon dN = \frac{2Z_t KT}{\pi^{1/2}} \int_0^{\infty} \frac{x^{3/2} dx}{e^{\alpha+x} \pm 1} \quad (7.6)$$

ولهذه التكاملات عبارة تقريبية في بعض الحالات الخاصة .

7.2.A - حالة الانطباق الضعيف :

نسمى غازا ما بأنه "ضعيف الانطباق" الغاز الذي تكون من اجله قيمة الكمية e^{α} اكبر من الواحد بكثير .
في هذه الحالة يمكن نشر المقدار $(e^{\alpha+x} + 1)^{-1}$ في سلسلة لان x موجب والسلسلة تكون متقاربة :

$$\begin{aligned} (e^{\alpha+x} + 1)^{-1} &= e^{-\alpha-x} - e^{-2(\alpha+x)} + e^{-3(\alpha+x)} - e^{-4(\alpha+x)} + \dots \\ &= \sum_{m=1}^{\infty} e^{-m(\alpha+x)} (-1)^{m+1} \end{aligned}$$

ومنه :

$$\Gamma_K(\alpha) = \int_0^{\infty} x^K \sum_{m=1}^{\infty} e^{-m(\alpha+x)} (-1)^{m+1} dx$$

عندها يرد التكامل الى مجموع لتتابع Γ :

$$\frac{\Gamma(K+1)}{m^{K+1}} = \int_0^{\infty} x^K e^{-mx} dx = \frac{1}{m^{K+1}} \int_0^{\infty} u^K e^{-u} du \quad (7.7)$$

ولدينا في الملحق (III) قيم هذا التكامل :

في الحالة الخاصة عندما $K = \frac{1}{2}$ فان العلاقة الاخيرة (7.7)

تقودنا الى العلاقة التالية للكمية N/Z_t :

$$\frac{N}{Z_t} = \frac{1}{\pi^{1/2}} \left[e^{-\alpha} \int_0^{\infty} e^{-x} x^{1/2} dx + e^{-2\alpha} \int_0^{\infty} e^{-2x} x^{1/2} dx + e^{-3\alpha} \int_0^{\infty} e^{-3x} x^{1/2} dx + \dots \right]$$

ولكن :

$$\int_0^{\infty} x^{1/2} e^{-ax} dx = \frac{\pi^{1/2}}{2} \frac{1}{a^{3/2}}$$

ومنه : $\frac{N}{Z_t} = e^{-\alpha} \left[\frac{1}{2^{3/2}} e^{-2\alpha} + \frac{1}{3^{3/2}} e^{-3\alpha} + \frac{1}{4^{3/2}} e^{-4\alpha} + \frac{1}{5^{3/2}} e^{-5\alpha} + \dots \right]$

$$\frac{N}{Z_t} = e^{-\alpha} \left(1 + \frac{1}{2^{3/2}} e^{-\alpha} + \frac{1}{3^{3/2}} e^{-2\alpha} + \dots \right) \quad (7.8)$$

فإذا كانت الكمية e^{α} كبيرة بشكل كاف فإن $N/Z_t \rightarrow e^{\alpha}$ لأن $e^{-\alpha} \rightarrow 0$ تصبح مهمة أمام الواحد وبالتالي يمكن الاستعاضة عن $e^{-\alpha}$ بالمقدار $\frac{N}{Z_t}$ داخل القوسين في العلاقة (7.8) ومنه نجد :

$$\frac{N}{Z_t} = e^{-\alpha} \left[1 + \frac{1}{2^{3/2}} \frac{N}{Z_t} + \frac{1}{3^{3/2}} \left(\frac{N}{Z_t} \right)^2 + \dots \right]$$

تسمح لنا العلاقة (6.9) بتعيين قيمة α اذن من أجل الغازات ضعيفة الانطباق .

7.2.B - حالة الانطباق القوي :

تأخذ قيمة $\frac{N}{Z_t}$ قيما مختلفة حسب نوع الغاز المدروس : غاز

بوزونات أو غاز فرميونات .

أ- غاز البوزونات :

أصغر قيمة للوسيط α هي الصفر ويوافق ذلك الى غاز بوزونات

قوية الانطباق ومثال ذلك غاز الفوتونات . ان انعدام قيمة α

يقتضي ان المعادلة :

$$N = \sum_i N_i$$

ليست بالضرورة محققة (انظر فقرة ايجادتابع التوزع 3.7
واشعاع الجسم الاسود 8.1). تقودنا دراسة غاز الفوتونات الى
قوانين الاشعاع الحراري للجسم الاسود .

(ب) غاز الفرميونات :

يميز الانطباق القوي غازات تكون من أجلها الكمية e^α صغيرة
القيمة ، أي التي تكون من أجلها قيمة α محصورة بين $-\infty$ والصفر .

عندما $\alpha \rightarrow -\infty$ نقول عن الغاز انه " تام الانطباق " ، وله
خواص حدية ندرسها في الفصل التاسع .

عندما $e^\alpha \ll 1$ (α سالب) يمكن أن نحسب تكامل فرمي
بالنشر في سلسلة محدودة بعدد من الحدود يصغر كلما اقتربت
الكمية e^α من الصفر .

$$\int_0^\infty \frac{f(x)dx}{e^{\alpha+x}+1} = \int_0^{-\alpha} f(x)dx + \frac{\pi^2}{6} f'(-\alpha) + \frac{7\pi^4}{360} f'''(-\alpha) + \dots$$

(انظر الملحق IV)

في هذه الشروط نجد *

* بفرض $f(x) = x^{1/2}$ يكون

$$f''(x) = -\frac{x^{-3/2}}{4}, \quad f'(x) = \frac{x^{-1/2}}{2}, \quad f'''(x) = \frac{3}{8} x^{-5/2}$$

$$N = \frac{2Z_t}{\pi} \int_0^\infty \frac{x^{1/2} dx}{e^{\alpha+x} + 1} = \frac{2Z_t}{\pi} \left[\frac{2}{3} (-\alpha)^{3/2} + \frac{\pi^2}{12} (-\alpha)^{-1/2} + \frac{7\pi^4}{960} (-\alpha)^{-5/2} + \dots \right]$$

$$\frac{N}{Z_t} = \frac{2}{\pi^{1/2}} \frac{2}{3} (-\alpha)^{3/2} \left[1 + \frac{\pi^2}{8} (-\alpha)^{-2} + \frac{7\pi^4}{640} (-\alpha)^{-4} + \dots \right] \quad (7.10)$$

وبتقريب أولي نجد باستخدام العلاقة (7.10) قيمة α في الغازات قوية الانطباع، أي :

$$(-\alpha)^{3/2} = \frac{3}{4} \pi^{1/2} \frac{N}{Z_t} \quad (7.11)$$

7.3 - دراسة غاز البوزونات أو الفرميونات في الحركة الانسحابية

الشئائية الأبعاد :

يعطى عدد الحالات الكوانتية لغاز شئائي الأبعاد بالعلاقة (5.71) أي :

$$dg = \frac{2\pi mS}{h^2} d\epsilon \quad (7.12)$$

حيث m كتلة الجسيمة ، ϵ طاقتها الانسحابية ، S السطح الذي تشغله هذه الجسيمة .

تحتسب قيمة الوسيط α بدلا من المساواة $N = \sum N_i = \int dN$

وباستخدام علاقة مجموع الحالات $Z_t = (S/h^2)(2\pi mKT)$ فنجد :

$$N = \frac{2\pi mS}{h^2} \int_0^\infty \frac{d\epsilon}{e^{\alpha + \frac{\epsilon}{KT}} + 1}$$

وبفرض $\epsilon/KT = x$ تكتب هذه العلاقة على الشكل :

$$N = Z_t \int_0^{\infty} \frac{dx}{e^{\alpha+x} + 1}$$

ومنه نجد : (انظر الملحق IV)

$$\frac{N}{Z_t} = \ln(1 + e^{-\alpha}) \quad \text{من اجل غاز فرمي - ديراك}$$

$$\frac{N}{Z_t} = -\ln(1 - e^{-\alpha}) \quad \text{من اجل غاز بوزة - آينشتاين}$$

وتتحدد بالتالي قيمة الوسيط α من العلاقتين التاليتين :

من اجل غاز فيرمي - ديراك

$$e^{-\alpha} = e^{N/Z_t} - 1 \quad (7.13)$$

من اجل غاز بوزة آينشتاين :

$$e^{-\alpha} = -e^{-N/Z_t} - 1 \quad (7.14)$$

x-x

الفصل الثامن

تطبيقات الإشعاع الكهرومغناطيسي (إحصاء بوزة - اينشتاين)

8.1 - اشعاع الجسم الأسود - الغاز الفوتوني :

بالرغم من نجاح النظرية الموجية في تفسير بعض الظواهر الفيزيائية ، الا أن الاكتشافات التي حدثت في نهاية القرن التاسع عشر وضعت هذه النظرية في مأزق حرج . ففي تلك الفترة تم اكتشاف الأشعة السينية من قبل العالم رونتجن ، واكتشف بيكريل النشاط الاشعاعي وتم اكتشاف الالكترون وهكذا توالى الاكتشافات يوما بعد يوم وغدت الفيزياء علما متقدما .

في تلك الفترة أيضا لاحظ الباحثون ان معلوماتنا عن الاشعاع الكهرومغناطيسي ليست كافية ، حيث تم اثناء ذلك دراسة اشعاع الجسم الاسود الذى أدى الى نشوء النظرية الكوانتية التي غزت جميع مجالات الفيزياء والعلوم الأخرى والتي تعتبر مع نظرية اينشتاين النسبية من أهم ماتوصل اليه الفكر الانساني من معرفة .

يعتبر الجسم الأسود أفضل الاجسام لدراسة الاشعاع الحراري ، حيث يمتاز هذا الجسم بامتصاصية عالية تفوق امتصاصية أي جسم آخر ، والجسم الأسود المثالي هو بالتعريف الجسم الذي يملك امتصاصية سطح مقدارها الواحد . أي يستطيع ان يمتص جميع الاشعاعات الوارد اليه وبما أنه افضل الاجسام امتصاصا للطاقة فهو بالاعتماد على قانون كيرشوف في الاشعاع افضل الاجسام اشعاعا للطاقة أيضا .

لدراسة الاشعاع الصادر عن الجسم الأسود لابد من الحصول على السطح الاسود المثالي أو سطحا قريبا من خواصه الاشعاعية . يمكن الحصول على الجسم الاسود المثالي بفتح ثقب صغير جدا في كرة جوفاء طلي سطحها الداخلي باللون الاسود ، فعند دخول اشعاع اليها فان الكرة تمتص منه القسم الاكبر ويعاني ماتبقى من انعكاسات متتالية على الجدران الداخلية السوداء التي تمتص الاشعاع المتبقي وتتكرر الانعكاسات حتى يمتص الاشعاع بمكاملة . عمليا يمكن الوصول الى اجسام ذات خواص قريبة من الخواص المثالية للجسم الأسود ، حيث وجد تجريبيا أن الاشعاع الصادر عن فتحة صغيرة في تجويف معزول تماما (مثال ذلك فرن درجة حرارته ثابتة) يملك ميزات قريبة جدا من ميزات الاشعاع الصادر عن سطح الجسم الاسود المثالي .

اقتصر بلانك في حقيقة الامر على دراسة حادثة الامتصاص والاشعاع ولكنه لم يدخل بعمق في دراسة الاشعاع نفسه ، حيث كان الفضل في ذلك يعود الى اينشتين الذي اعتبر الاشعاع الحراري والذي هو عبارة عن اشعاع كهربي موزع من دقائق أو جسيمات يحمل كل منها طاقة قدرها كوانتم واحد ($h\nu$) وتحرك هذه الجسيمات بسرعة الضوء .

هذه الجسيمات نطلق عليها اليوم اسم الفوتونات وهي تنتشر الى المناطق البعيدة بحيث تحافظ أثناء انتشارها على طاقتها . واستطاع اينشتاين أن يدخل تصحيحا جديدا على نظرية بلانك التي كانت اساس نظرية الكم عندما أشار الى أن كل دفقة من دفقات الطاقة تساوي $h\nu$ لعدد صحيح من هذا المقدار كما أشار بلانك، وهذه الدفقات (أي الفوتونات) هي بنظره ذرات طاقة وبهذا أوجد اينشتاين فكرة التلازم بين المادة والطاقة ، حيث اعتبر أن ذرات هذه الطاقة عبارة عن جسيمات مادية تسير بسرعة الضوء ، وتملك هذه الذرات كتلة m يمكن حسابها بواسطة علاقة اينشتاين المعروفة :

$$E = mc^2 = \frac{m_0 c^2}{\sqrt{1 - \frac{v^2}{c^2}}}$$

$$m = \frac{m_0}{\sqrt{1 - \frac{v^2}{c^2}}} = \frac{E}{c^2} = \frac{h\nu}{c^2}$$

حيث تشير v الى السرعة ، وبما أن سرعة الفوتونات هي سرعة الضوء ، فيلاحظ أن كتلة الفوتونات الساكنة m_0 يجب أن تكون معدومة .

وهكذا نجد أن اينشتاين استطاع ان يمطي نظرية بلانك بعدا جديدا ويوسع أفق المفاهيم الأساسية ، فالحزمة الضوئية أو الاشعاع الحراري الصادر من الجسم الأسود أو غيره من الأجسام أو بشكل عام الاشعاع الكهرومغناطيسي عبارة عن غاز فوتوني يحمل كل فوتون طاقة قدرها $h\nu$ ، فإذا كان الاشعاع الكهرومغناطيسي ذا تواتر ν متماثلا في جميع الفوتونات كانت عندها الفوتونات متساوية في طاقتها ،

الآن الأشعاع الكهروضويسي الناتج عن الجسم الأسود عبارة عن تجمع فوتونات تملك طاقة مختلفة وذلك لاختلاف التواتر المرافق لكل فوتون، وبما أن الفوتونات تملك قيما صحيحة من المقدار h توافق كمية حركتها الزاوية فهي اذا عبارة عن بوزونات وبالتالي يمكن اعتبار هذه الفوتونات الناتجة عبارة عن غاز فوتوني يخضع لتوزيع بـوزة-اينشتين . اى أن طاقة هذه الفوتونات تتوزع وفق احصاء بـوزة-اينشتين الكوانتى .

8.2- استنتاج قانون بلانك :

يمكن استنتاج قانون بلانك بالاعتماد على المفاهيم الاحصائية وملاحظة مايلي :

اولا :-

عدم وجود أفعال متبادلة بين الفوتونات ، أي لا يوجد تأثير متبادل بين الفوتونات المشكلة للغاز الفوتوني وبالتالي يمكن اعتبار الغاز الفوتوني غازا كاملا ، ويمكن التوصل الى حالة التوازن الحراري عبر آلية امتصاص وإشعاع الفوتونات التي تحدث عند جدران الفرن ، وفي درجة ثابتة علما بأن هذه الآلية مستمرة ، وينتج عن ذلك الخاصة الهامة المفيدة وهي ان عدد الفوتونات داخل الفرن غير ثابت ويتأرجح هذا العدد حول مقدار وسطي يتحدد ضمن شروط التوازن . وبالتالي لا يتحقق الشرط اللازم اثناء استخراج تابع التوزيع لبوزة - اينشتاين وهو أن

$$\sum N_i = N \quad \text{أو} \quad \sum dN_i = 0$$

وبالتالي فإنه يمكن اعتبار أن قيمة مغروب لافرانج α في هذه الحالة يساوي صفر.

ويصبح توزيع بوزة - اينشتاين في حال الفوتونات على الشكل:

$$N_i = \frac{1}{\exp\left(\frac{\epsilon_i}{KT}\right) - 1} \quad (8.1)$$

حيث يمثل المقدار N_i عدد الفوتونات في سوية طاقة i .

ثانيا :

تتعدد طاقة الفوتون بالعلاقة :

$$\epsilon = h\nu = \hbar\omega \quad (8.2)$$

حيث ω يمثل التواتر الدائري ويعطى بالعلاقة :

$$\omega = 2\pi\nu$$

أما \hbar فهو يمثل ثابت بلانك مفسوما على 2π أي $\hbar = \frac{h}{2\pi}$ وبالتالي يمكن التعبير عن طاقة توزيع الفوتونات بدلالة التواتر ν ، أو بدلالة الطول الموجي $\left(\nu = \frac{c}{\lambda}\right)$ أو بدلالة التواتر الدائري ω . ويتم ذلك بمعرفة عدد الحالات الموجية المستقلة

الواقعة في المجال $d\omega$ الذي يقع ضمن المجال المحصور بين ω و $\omega + d\omega$. ان عدد الحالات الموجية المستقلة الموجودة في سوية طاقة التي تحتل حجما قدره $d\Gamma$ في الفراغ الطوري السداسي الابعاد

$$dg = g(\omega)d\omega = \frac{d\Gamma}{h^3} = \frac{4\pi p^2 dp}{h^3} \quad (5.70) \quad (8.3)$$

ويكون عدد الحالات المستقلة في واحدة الحجم من الوعاء هو:

$$dg = \frac{4 \pi p^2 dp}{h^3} \quad (8.4)$$

ثالثاً:

يملك الفوتون كمية حركة تعطى بالعلاقة :

$$p = \hbar \omega / c \quad (8.5)$$

بالإضافة الى ذلك فان الفوتون يملك درجة حرية داخلية ناتجة عن استقطابه ، حيث يمكن لفوتون كمية حركته p ان يوجد في احدى حالتين مختلفتين للاستقطاب بحيث يمكن اختيار اتجاهين للاستقطاب ، ففي الاستقطاب الخطي يكون الاتجاهان متعامديين مع بعضهما البعض ، أما في الاستقطاب الدائري فيكون أحدهما الاتجاهين يمينيا والآخر يسارياً ، وبالتالي يوجد بشكل عام اتجاهان مستقلان للاستقطاب بحيث أن كل فوتون يمكن أن يأخذ احدهذين الاتجاهين ، وهذا الأمر يؤدي الى مضاعفة عدد الحالات المستقلة المسموح بها ، أي يجب ضرب العلاقة (8.3) بالعدد 2. وبالتالي فان عدد الحالات التي يملك فيها الفوتون تردداً دائرياً يقع في المجال ω و $\omega + d\omega$ يعطى بالعلاقة :

$$\begin{aligned} dg &= g(\omega) \cdot d\omega = 2 \frac{4 \pi p^2 \cdot dp}{h^3} \cdot v \\ &= \frac{2 \cdot 4 \pi (\hbar \omega / c)^2 \hbar d\omega / c}{h^3} \cdot v \\ &= \frac{v \omega^2 d\omega}{\pi^2 c^3} \end{aligned} \quad (8.6)$$

وبالتالي فان عدد الفوتونات التي تملك ترددا محصورا في

المجال ω و $\omega+d\omega$ يعطى بالعلاقة :

$$dN(\omega) \cdot d\omega = \frac{V}{\pi^2 c^3} \frac{\omega^2 d\omega}{\exp(\beta \hbar \omega) - 1} \quad (8.7)$$

وذلك بملاحظة كل من العلاقتين (8.1) و (8.6) وبالتالي

فان طاقة الاشعاع في المجال المدروس تعطى بالعلاقة :

$$\begin{aligned} U(\omega) \cdot d\omega &= \hbar \omega \cdot dN(\omega) \cdot d\omega \\ &= \frac{V \hbar}{\pi^2 c^3} \frac{\omega^3 d\omega}{\exp(\beta \hbar \omega) - 1} \end{aligned} \quad (8.8)$$

أما كثافة الطاقة فيمكن الحصول عليها بدلالة كثافة

الفوتونات التي تمثل عدد الفوتونات في واحدة الحجم .

من المعادلة (8.8) يمكن أن نكتب أن كثافة الطاقة في

درجة حرارة T تعطى بالعلاقة :

$$u(\omega)d\omega = \frac{\hbar \omega^3 d\omega}{\pi^2 c^3 [\exp(\beta \hbar \omega) - 1]} \quad (8.9)$$

تعرف هذه العلاقة باسم قانون بلانك في الاشعاع حين يمكن

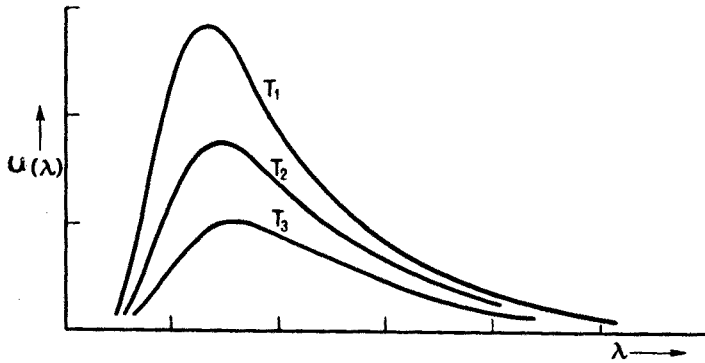
بوساطتها الحصول على توزيع طيفي للطاقة الاشعاعية . ويمكن

كتابتها بدلالة طول الموجة λ ، أي ان كثافة الاشعاع ذي الطول

الموجي المحصور في المجال λ و $\lambda+d\lambda$ تعطى بالعلاقة :

$$u(\lambda)d\lambda = \frac{8\pi}{\lambda^4} \frac{h\nu d\lambda}{[\exp(hc/\lambda KT) - 1]} \quad (8.10)$$

ومن المفيد ذكره هنا أن المخططات الطيفية التجريبية الناتجة عن دراسة اشعاع الجسم الاسود تنطبق مع المخططات النظرية التي تعطىها علاقة بلانك السابقة ، وهذا دليل على صحة مفاهيم بلانك الكوانتية . وبما اننا استطعنا استنتاجها بالاعتماد على المفاهيم الاحصائية فان هذا الأمر يؤكد صحة المفاهيم والاعتبارات الفيزيائية التي استخدمت في الحصول على قانون بلانك . يبين الشكل (8.1) المخططات الطيفية لاشعاع الجسم الاسود في درجات حرارة مختلفة بالاعتماد على قانون بلانك في الاشعاع . ويلاحظ ان قانون بلانك يعطي تابعة توزيع كثافة الطاقة لتواتر الاشعاع (أو للطول الموجي) وأن هذا التابع يتعلق بدرجة الحرارة فقط ($\beta = 1/KT$) .



الشكل (8.1)

يلاحظ من الشكل (8.1) أن بارتفاع درجة الحرارة ينزاح منحنى تابع التوزع باتجاه الامواج القصيرة وتكون الطاقة الاشعاعية مرافقة للامواج القصيرة ، وفي هذه الحالة فان طاقة الامواج أو التواترات الواقعة في المجال تحت الحمراء تكون

شبه معدومة ، ويمكن ملاحظة ذلك بسهولة بمراقبة الاشعاع الحراري (اشعاع فوتوني) الناتج عن تغير لون قطعة الحديد اثناء تسخينها حيث يلاحظ تغير اللون من الاحمر الى اللون الاصفر نتيجة لارتفاع درجة حرارة قطعة الحديد) يترك للقارئ مناقشة ذلك فيزيائيا) .

8.3- مناقشة علاقة بلانك :

ان المعادلة (8.10) هي نفس المعادلة الوضعية التي بنى العالم بلانك نظريته عليها التي استلهم منها نظريته الكوانتية واعطى من خلالها مفهوم تكميم الطاقة أي ان الطاقة متقطعة (مكممة) وليست مستمرة كما هي الحال في التحريك الحراري التقليدي . ويمكن مناقشة معادلة بلانك في الحالتين التاليتين :

أ- من أجل الأمواج القصيرة التي تكون فيها طاقة الفوتونات مرتفعة نظرا للتناسب العكسي بين طاقة الفوتون والطول الموجي المرافق للفوتون حيث :

$$\epsilon = h\nu = h \frac{c}{\lambda} \quad (8.11)$$

ب- من أجل الأمواج الطويلة والتي تكون فيها طاقة الفوتون صغيرة. لمعالجة هاتين الحالتين ، نقوم بنشر التابع الأسّي كما يلي :

$$\frac{hc}{\lambda KT} e^{-\frac{hc}{\lambda KT}} = 1 + \frac{hc}{\lambda KT} + \frac{1}{2} \left(\frac{hc}{\lambda KT} \right)^2 + \dots$$

يلاحظ أنه من أجل الأمواج القصيرة أن المقدار λT صغير، وبالتالي فإن $e^{hc/\lambda KT} \gg 1$ ، وبالتالي يمكن إهمال الواحد في مخرج المعادلة (8.10) حيث تصبح بالشكل :

$$u(\lambda) d\lambda = \frac{8\pi hc}{\lambda^5} e^{-hc/\lambda KT} d\lambda \quad (8.12)$$

وهي ليست سوى علاقة فين Wien المستنتجة من مفاهيم التحريك الحراري التقليدي ، أما في حال الأمواج الطويلة فيمكن الاكتفاء بالحددين الأول والثاني من معادلة نشر التابع وإهمال الحدود الأخرى نظرا لصغر قيمتهما بالمقارنة مع الحدين الأوليين — وبالتالي فإن المعادلة (8.10) تختزل لتصبح بالشكل :

$$u(\lambda) d\lambda = \frac{8\pi KT}{\lambda^4} d\lambda \quad (8.13)$$

وهي معادلة رايلي وجينز Rayleigh and Jeans في إشعاع الجسم الأسود التي حصل عليها أيضا باستخدام المفاهيم التقليدية في التحريك الحراري . وبالتالي فإن المفاهيم التقليدية عبارة عن حالات خاصة من النظرية الكمومية المقترحة للغاز الفوتوني والتي اعتمدت على مفاهيم الفيزياء الحرارية الاحصائية .

8.4 - استخراج علاقة ستيفان - بولتزمان :

لنرا الآن كيف يمكن استخراج علاقة ستيفان - بولتزمان Stefan-Boltzmann وذلك بالاعتماد على المفاهيم السابقة . لنفرض أننا أحدثنا ثقباً صغيراً في الفرن ذي درجة الحرارة الثابتة T ، فإن هذا الثقب سيشتع جزءاً من الطاقة الكهربائية خارج الفرن . وكما نعلم من النظرية الحركية للغازات حيث يكون عدد الجزيئات

المصطدمة في واحدة السطح خلال واحدة الزمن مساويا $\frac{1}{4} n \bar{v}$ حيث

\bar{v} هي السرعة الوسطى و n عدد الجزيئات في واحدة الحجم ،
فيكون عدد الفوتونات الصادر من الثقب (الذي يمكن اعتباره جسما
أسود) في المجال الموجي λ و $\lambda + d\lambda$ وفي واحدة الحجم وواحدة
الزمن :

$$dN_{\text{rad}}(\lambda) \cdot d\lambda = dN(\lambda) \cdot d\lambda \frac{c}{4} \quad (8.14)$$

وبما أن عدد الفوتونات التي تملك طولاً موجياً محصوراً في المجال

λ و $\lambda + d\lambda$ يعطى بعلاقة شبيهة لتلك المعطاة آنفاً (العلاقة 8.7)

حيث $\omega = 2\pi \frac{c}{\lambda}$ نجد أن :

$$\begin{aligned} dN_{\text{rad}}(\lambda) d\lambda &= dN_{\text{rad}}(\omega) d\omega = dN(\omega) d\omega \frac{c}{4} \\ &= dN(\lambda) d\lambda \frac{c}{4} \end{aligned}$$

وبالتالي نجد :

$$dN_{\text{rad}}(\lambda) d\lambda = \frac{2\pi c d\lambda}{\lambda^4 \left[\exp\left(\frac{hc}{\lambda KT}\right) - 1 \right]}$$

أى ان الطاقة المشعة في واحدة المساحة وواحدة الزمن

ضمن مجال λ و $\lambda + d\lambda$ تساوي :

$$\begin{aligned} u_{\text{rad}}(\lambda) d\lambda &= h \nu \cdot dN_{\text{rad}}(\lambda) d\lambda \\ &= h \frac{c}{\lambda} dN_{\text{rad}}(\lambda) d\lambda \end{aligned}$$

ونحصل على الطاقة الكلية U في واحدة الحجم في فرن ذي حجم

شابت ودرجة حرارة شابتة وعلى مدى جميع الأطوال الموجية الممكنة
بالعلاقة :

$$U_{\text{rad}} = \int_0^{\infty} u_{\text{rad}}(\lambda) d\lambda \quad (8.15)$$

$$U_{\text{rad}} = \int_0^{\infty} \frac{8 \pi h c d\lambda}{\lambda^5 \left[\exp\left(\frac{hc}{\lambda KT}\right) - 1 \right]} \frac{c}{4}$$

$$U_{\text{rad}} = \frac{8 \pi h}{c^3} \left(\frac{KT}{h}\right)^4 \frac{c}{4} \int_0^{\infty} \frac{x^3 dx}{e^x - 1} \quad (8.16)$$

حيث $x = \frac{hc}{\lambda KT}$ ، وبما أن $e^x > 1$ يكون $e^{-x} < 1$
وذلك من أجل جميع قيم x الواقعة في المجال $0 < x < \infty$ حيث :

$$\frac{1}{e^x - 1} = \frac{e^{-x}}{1 - e^{-x}} = \sum_{n=1}^{\infty} e^{-nx}$$

وبالتالي بنشر التكامل في سلسلة بالنسبة لـ e^{-t} ومن ثم إجراء
التكامل بالتجزئة نجد:

$$I = \int_0^{\infty} \frac{x^3 dx}{e^x - 1} = 6 \sum_{n=1}^{\infty} \frac{1}{n^4}$$

تتقارب السلسلة اللانهائية الأخيرة بسرعة ويمكن حسابها عددياً
ويبرهن رياضياً على أن :

$$\sum_{n=1}^{\infty} \frac{1}{n^4} = \frac{\pi^4}{90}$$

حيث ترمز n الى الاعداد الصحيحة الموجبة . وبالتالي يصبح

التكامل السابق مساويا :

$$I = 6 \cdot \frac{\pi^4}{90} = \frac{\pi^4}{15}$$

بالتعويض في المعادلة (8.11) نجد :

$$U_{\text{rad}} = \frac{2 \pi^5 K^4}{15 h^3 c^2} T^4 \quad (8.17)$$

نلاحظ ان هذه المعادلة تكافئ المعادلة التي اقترحها ستيفان

Stefan عام 1879 أثناء دراسة اشعاع الجسم الاسود ، حيث وجد

ستيفان بالاعتماد على النتائج التجريبية للمخططات الطيفية الاشعاعية

ان الطاقة التي تشعها واحدة المساحة من جسم أسود في واحدة الزمن

تعطى بالعلاقة :

$$U_{\text{rad}} = \sigma T^4 \quad (8.18)$$

وفي ذلك الوقت كانت هذه العلاقة عبارة عن علاقة تجريبية لم

تستند الى أي أساس نظري . تدعى العلاقة اليوم باسم علاقة ستيفان

بولتزمان ، وتشير σ الى مقدار ثابت كما هو ملاحظ من المعادلة

(7.17) ، وبالمقارنة مع العلاقة (8.18) نجد أن :

$$\sigma = \frac{2 \pi^5 K^4}{15 h^3 c^2} = 5,670 \times 10^{-8} \text{ W.m}^{-2}.\text{K}^{-4} \quad (8.19)$$

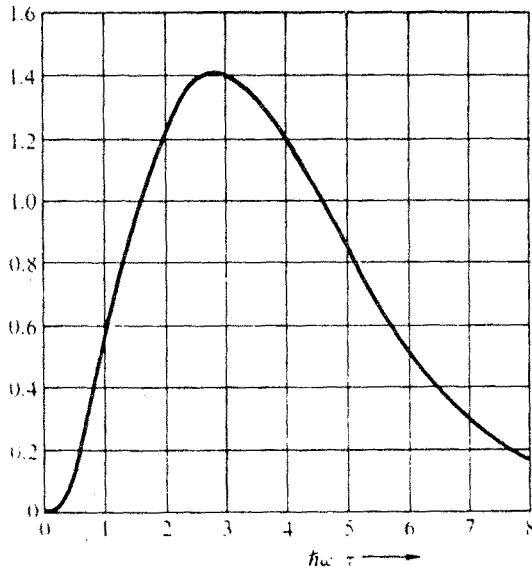
$$= 5,67 \times 10^{-5} \text{ erg.cm}^{-2} \text{ sec}^{-1} \text{ K}^{-4}$$

ويمكن القول أن ثابتة ستيفان - بولتزمان* تمثل ثابت التناسب بين الطاقة الاشعاعية و T^4 ، وأن أي جسم يشع طاقة بهذا المعدل يمكن اعتباره جسما اسودا .

يمكن بالاعتماد على المفاهيم السابقة تقدير درجة حرارة جسم ساخن مثل نجم ما أو درجة حرارة الشمس حيث تعتبر الشمس جسما اسودا . يلاحظ من الشكل (8.1) أن النهاية العظمى للتوزيع تنزاح باتجاه التواترات العالية كلما ارتفعت درجة الحرارة . وتقابل النهاية العظمى للطاقة الاشعاعية قيمة معينة للتواتر الدائري نرمز له بالرمز ω_m ، وبالتالي يمكن الحصول على النهاية العظمى باشتقاق معادلة بلانك (8.9) بالنسبة للتواتر ، أو اشتقاق المعادلة (8.10) بالنسبة للطول الموجي . ويلاحظ ان مشتق الطاقة بالنسبة للتواتر أو للطول الموجي يصبح معدوما عندما يكون :

$$\frac{d}{dx} \left(\frac{x^3}{\exp x - 1} \right) = 0$$

* استطاع العالم ستيفان عام 1884 التوصل الى علاقتها باستخدام التحريك التقليدي (الترموديناميك التقليدي) الا أنه لم يستطع حساب ثابتة التناسب σ وذلك لاحتوائها على ثابت بلانك h والذي لم يكن معروفا في ذلك الوقت



الشكل (8.1)

$$x = \beta \hbar \omega_m = \beta h \nu_m = \frac{hc}{\lambda KT} \quad \text{حيث : (8.20)}$$

وبالتالي نجد أن :

$$3-3 \exp(-x) \approx x$$

يمكن حل هذه المعادلة بيانيا أو عدديا حيث نجد أن :

$$\frac{\hbar \omega_m}{KT} \approx \frac{h \nu_m}{KT} = 2.82 \quad (8.21)$$

وذلك كما هو موضح بالشكل (8.2) . الذي يمثل تغيرات المقدار

($e^x - 1$) x^3 بدلالة المقدار x . يمكن قياس التواتر الاعظمي تجريبيا وبالتالي حساب درجة الحرارة الموافقة للتواتر الاعظمي . تدعى المعادلة (8.21) باسم قانون الانزياح لفين وقد وجد أن القيم المحسوبة بواسطته تتطابق وتنسجم مع القيم التجريبية بشكل جيد .

8.5 - الخواص الترموديناميكية للغاز الفوتوني :

يمكن ايجاد العلاقات الرياضية المعبرة عن المتحولات الترموديناميكية للغاز الفوتوني بالاعتماد على المفاهيم السابقة . بما أن تابع التحاص للفوتونات يعطى بالعلاقة :

$$Z_{ph} = \prod_{i=1}^n \frac{1}{1 - \exp(-\beta \epsilon_i)}$$

وبالتالي فان عدد الفوتونات في الحالة i يمكن حسابه بسهولة

حيث :

$$\ln Z_{ph} = - \sum_{i=1}^{\infty} \ln [1 - \exp(-\beta \epsilon_i)] \quad (8.21)$$

ويمكن تحويل المجموع الى تكامل في حال التغيرات المستمرة

وبالتالي نحصل على على :

$$\ln Z_{ph} = - \int_0^{\infty} \frac{V \omega^2 d\omega}{\pi^2 c^3} \ln [1 - \exp(-\beta \hbar \omega)] \quad (8.22)$$

وذلك في درجة حرارة وحجم ثابتين . وبما ان الطاقة الحرة

تعطى بالعلاقة :

$$F(T,V) = -KT \ln Z_{ph}(T,V) \quad (8.23)$$

نجد بالتعويض في العلاقة (8.22) أن الطاقة الحرة تعطى بالعلاقة :

$$F(T,V) = -\frac{VKT}{\pi^2 c^3} \int_0^\infty \omega^2 \ln[1 - \exp(-\beta \hbar \omega)] d\omega \quad (8.24)$$

وبفرض أن $x = \beta \hbar \omega$ ، يمكن كتابة المعادلة السابقة بالشكل :

$$F(T,V) = VT^4 \frac{K^4}{\pi^2 c^3 \hbar^3} \int_0^\infty x^2 \ln(1 - e^{-x}) dx$$

يمكن حل التكامل بالتجزئة وملاحظة أن تكامل :

$$: \text{وبالتالي نجد أن} , \int_0^\infty \frac{x^3 dx}{e^x - 1} = \frac{\pi^4}{15}$$

$$F(T,V) = -\frac{1}{3} a VT^4 \quad (8.25)$$

حيث أن :

$$a = \frac{\pi^2 K^4}{15 \hbar^3 c^3} \quad (8.26)$$

وبالتالي نحصل على كل من الانتروبية S والضغط P والطاقة U

كما يلي :

$$S = - \left(\frac{\partial F}{\partial T} \right)_V = \frac{4}{3} aVT^3 \quad (8.27)$$

$$P = - \left(\frac{\partial F}{\partial V} \right)_T = \frac{1}{3} aT^4 \quad (8.28)$$

$$U = F + TS = aVT^4 \quad (8.29)$$

يلاحظ مما سبق ان جميع التحولات الترموديناميكية للغاز الفوتوني أي لاشعاع الجسم الاسود تتعلق بدرجة الحرارة فقط وذلك لان المقدار a عبارة عن مقدار ثابت يمكن حسابه بالاعتماد على المعادلة (8.26) حيث نجد أن :

$$a = 7.56 \times 10^{-15} \text{ erg.cm}^{-3} \text{ K}^{-4}$$

8.6 - الغاز الفوتوني والسعة الحرارية في الاجسام الصلبة :

8.6.A - مقدمة :

الفونونات عبارة عن كمات طاقةيه لاهتزاز الشبكة البلورية في الجسم الصلب . ويمكن اعتبار أن الفونونات عبارة عن كمات الامواج المرنة في الجسم الصلب . ويقصد بمفهوم الفونونات الحرارية بأنه الاهتزازات الحرارية للشبكة البلورية . تبين النظرية الاحصائية أن الحركة الحرارية في البلورات المشكلة للجسم الصلب تشبه نظرية الاشعاع الكهرطيسي اي الاشعاع الحراري ، وبالتالي فإن طاقة اهتزاز

الشبكة البلورية كمكمة ويمثل مقدار طاقة الاهتزاز ما يسمى اليوم باسم الفونون ويساوي الى $\hbar \omega$ (أي $h\nu$) ومن الجدير بالملاحظة ان كلمة فونون تشبه كلمة الفوتون والذي يمثل كم الطاقة المرافقة للامواج الكهرطيسية .

يمكن اعتبار الفونونات اشباه جسيمات quasi - particles حيث أنها تتبادل التأثير مع بعضها البعض ، كما يمكن أن يحدث هذا التبادل في التأثير مع الالكترونات الموجودة في ذرات الجسم الصلب ، ونتيجة لذلك يمكن أن يتولد او يفنى فونون او اكثر، وبشكل مشابه للفوتونات فان الكمون الكيميائي μ أو مضروب لاغرانج α يساوي الى الصفر، وذلك لان عدد الفونونات كما هو الحال بالنسبة للفوتونات يتغير كما أشرنا آنفا .

تعطى السعة الحرارية بالاعتماد على المفاهيم الكلاسيكية التقليدية بالعلاقة (6.45) . الا أن النتائج التجريبية أوضحت ان السعة الحرارية تتناقض مع انخفاض درجة الحرارة وتنعدم عند الصفر المطلق . وهذا الامر يتوافق مع القانون الثالث لـممي الترموديناميك . وبالتالي يمكن القول هنا انه لايمكن اعتماد مفهوم تساوي توزع الطاقة في الميكانيك الاحصائي التقليدي بسبب مخالفته للنتائج التجريبية من ناحية وتناقضه مع القانون الثالث أيضا . وضمن خضم التمارينات العظمى لحل التناقض الذي كان قائما ، استطاع اينشتاين عام 1907 أن يضع الخطوة الاساسية لتفسير النتائج التجريبية التي انتهت على يد ديبياي Debye . ونظراً لاهمية نظريتي اينشتاين وديبلي في حل التناقض بين النظرية

التقليدية والتجربة فاننا سنتناول دراستهما بغية استنتاج العلاقات النظرية المعبرة عن السعة الحرارية ومدى مطابقتها للواقع التجريبي .

8.6.B - تفسير قيم السعة الحرارية في الاجسام الصلبة :

I- نظرية اينشتاين :

درس اينشتاين اهتزازات الشبكة البلورية مستعينا بمفاهيم النظرية الكوانتية والمفاهيم الاحصائية التقليدية. وفرض أن الجسم الصلب يتألف من مجموعة من الذرات التي تهتز حول مواضع توازنها بحيث أن كل ذرة عبارة عن هزاز توافقي بسيط وأن الهزازات التوافقية المشكلة للذرات مستقلة عن بعضها بعضا وذات تردد ثابت ، بحيث يستطيع كل هزاز توافقي أن يتحرك بحرية في ثلاثة اتجاهات وبالتالي عالج أينشتاين $3N$ هزازا توافقيا مستقلا بحيث أن كل هزاز يملك تواترا دائريا ω . وبما أن طاقة الهزاز التوافقي تعطى بالعلاقة (2. 7) أي :

$$\epsilon_V = \left(V + \frac{1}{2} \right) \hbar \omega \quad (8.30)$$

حيث يمثل المقدار $\frac{1}{2} \hbar \omega$ طاقة الهزاز الصفري ، أي طاقة

الهزاز عند الدرجة $T=0$. يعطى تابع التحاص بالعلاقة :

$$Z = \sum_{j=1}^{\infty} \exp(-\beta \epsilon_j) \quad (8.31)$$

بالتعويض في المعادلة (7.30) نجد أن :

$$Z = \sum_{j=1}^{\infty} \exp \left[-\beta \hbar \omega \left(j + \frac{1}{2} \right) \right] \quad (8.32)$$

بفرض أن $x = \beta \hbar \omega = \frac{\hbar \omega}{KT}$ ، حيث ω التردد الزاوي
 لجهاز ويرمز له بالرمز ω_E نسبة للعالم اينشتاين الذي اقترحه
 بالتعويض في العلاقة (7.32) نجد :

$$\begin{aligned}
 Z &= e^{-x/2} \sum_{n=0}^{\infty} e^{-xn} \\
 &= e^{-x/2} (1 + e^{-x} + e^{-2x} + \dots) \\
 &= \frac{e^{-x/2}}{1 - e^{-x}}
 \end{aligned} \tag{8.33}$$

وبالتالي فان الطاقة الوسطى تعطى بالعلاقة :

$$\bar{U} = \frac{1}{2} \hbar \omega_E + \frac{\hbar \omega_E}{\exp(\beta \hbar \omega_E) - 1} \tag{8.34}$$

وحيث ان الطاقة الكلية للجسم الصلب الذي يتألف من N ذرة
 يعطى بالعلاقة :

$$U = 3 N \bar{U}$$

فيمكن حساب السعة الحرارية تحت حجم ثابت بالعلاقة :

$$C_V = \left(\frac{\partial U}{\partial T} \right)_V = 3NK \frac{x^2 e^x}{(e^x - 1)} \tag{8.35}$$

بتبديل قيمة x بما يساويها وملاحظة أن $R = NK$ حيث N
 يمثل عدد أفوكادرو نجد :

$$C_V = 3R \left(\frac{\hbar \omega_E}{KT} \right) \frac{\exp(\hbar \omega_E / KT)}{[\exp(\hbar \omega_E / KT) + 1]^2} \tag{8.36}$$

والتي يمكن اعادة كتابتها بدلالة درجة حرارة اينشتاين Θ_E

المعرفة بالعلاقة :

$$\Theta_E = \frac{\hbar \omega_E}{KT} \quad (8.37)$$

وبالتالي تصبح المعادلة (8,36) بالشكل :

$$C_V = 3R \left(\frac{\Theta_E}{T} \right)^2 \frac{\exp \left(- \frac{\Theta_E}{T} \right)}{\left[\exp \left(\frac{\Theta_E}{T} \right) - 1 \right]^2} \quad (8.38)$$

يبين الشكل (8.3) تغيرات المقدار $C_V/3R$ بدلالة T/Θ_E وذلك بالاعتماد على نموذج اينشتاين . يلاحظ النقاط التجريبية المقاسة للسعة الحرارية للماس . أما الخط البياني المسترقيم مثل المعادلة (8.38) وذلك من أجل $\Theta_E = 1320 \text{ K}$ يلاحظ من الشكل الحالتان التاليتان :

أ- في درجات الحرارة المرتفعة والتي من أجلها $KT \gg \hbar \omega$ أو $\Theta_E \gg T$ فان المقدار $\frac{\Theta_E}{T} \ll 1$ وبالتالي فمن المعادلة (8.38) نجد ان السعة الحرارية $C_V \approx 3R$ وهي القيمة التي تعطيها النظرية التقليدية .

ب- في درجات الحرارة المنخفضة والتي من أجل $KT \ll \hbar \omega$ أو $\Theta_E \gg T$ وبالتالي يكون $\frac{\Theta_E}{T} \gg 1$ وهذا يعني ان التابع الاسي في مقام المعادلة (8.39) اكبر بكثير من الواحد وبالتالي يمكن اهمال الواحد وتصبح السعة الحرارية بالشكل :

$$T \ll \Theta_E \text{ من أجل } C_V \approx 3R \left(\frac{\Theta_E}{T} \right)^2 \exp\left(-\frac{\Theta_E}{T}\right) \quad (8.39)$$

وبلاحظ ان السعة الحرارية تتناهى الى الصفر عندما تتناهى درجة الحرارة الى الصفر المطلق ، تجريبيا وجد ان السعة الحرارية تقترب من الصفر بشكل أبطأ بكثير مما هو متوقع في نموذج اينشتاين حيث وجد ان السعة الحرارية تتناسب مع T^3 عندما $T \rightarrow 0$ يلاحظ من الشكل ابتعاد قيمة السعة الحرارية عن القيمة التقليدية التي يعطيها قانون دولنغ وبيتي ($C_V = 3R$) ، وهذا ناتج عن ارتفاع درجة حرارة اينشتاين Θ_E للماس .

ان قيمة Θ_E بالنسبة لمعظم المواد الحقيقة تتراوح ما بين 200K و 300 K . يلاحظ من الشكل أنه عندما يكون المقدار $T/\Theta_E = 1$ اي $T = \Theta_E$ فان $C_V/3R \approx 0.92$ وكما هو واضح من الجدول فـ قانون دولنغ وبيتي محقق بالنسبة لمعظم المواد في درجة الحرارة العادية باستثناء بعضها .

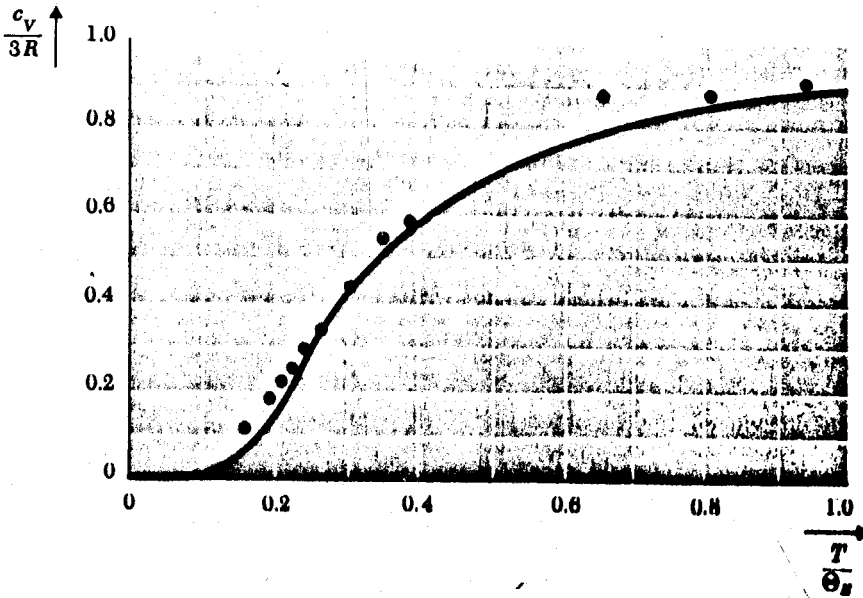
يبين الشكل (8.3) تابعة السعة الحرارية بدلالة المقدار T/Θ_E بالاعتماد على نموذج اينشتاين وذلك بالنسبة للماس حيث تم اختيار القيمة $\Theta_E = 1325$ وذلك لكي يتم الحصول على اتفاق جيد بين المنحني النظري والقيم التجريبية .

ان عدم انسجام النتائج التجريبية مع نموذج اينشتاين بشكل مطلق يعود الى افتراضه بأن جميع الهزات لها نفس التواتر بالحقيقة ان هذا الغرض غير صحيح حتى لو كانت جميع الذرات المشكلة

للجسم الصلب من نفس النوع وتحتوي عنصرا كيميائيا واحدا .

وهكذا فان ذرات الجسم الصلب لا تهتز بنفس التواتر وبشكل مستقل عن بعضها بعضا ، وبالتالي لا يوجد تواتر وحيد ومتماثل بين جميع الهزازات كما اقترح اينشتاين في نموذج الميسر .

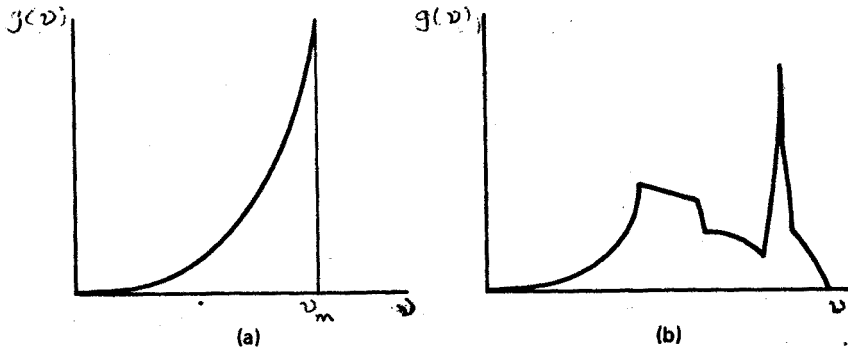
وجد الباحثان نارنست وليندمان تطابقا أفضل بين النتائج التجريبية والنظرية عندما افترضا وجود مجموعتين من الهزازات بحيث تهتز المجموعة الاولى بتواتر قدره ν أما المجموعة الثانية فيكون تواتر اهتزازها مساويا $\frac{\nu}{2}$ ، تلك الفكرة تم تعميمها على يد الفيزيائي المعروف ديباي Debye .



الشكل (8.3)

II - نظرية ديبي :

استبدل ديبي الاهتزاز الحراري للجزيء بمجموعة من الاهتزازات المرنة التي تقابل موجات مرنة Elastic Waves والتي تملك مجالا مستمرا من التوترات في حدود الابعاد الجزيئية ، وبالتالي لابد من وجود تواتر أعظمي ω_m (أو تواتر دائري أعظمي ω_m) وذلك كما هو موضح الشكل (8.4) .



الشكل (8.4) تغيرات $g(\nu)$ بدلالة التواتر من أجل

a) نموذج ديبي النظري

b) من أجل بلورة حقيقية

لاستنتاج علاقة ديبي النظرية نتبع نفس الخطوات التي استخدمت

في الغاز الفوتوني مع ملاحظة الاعتبارات التالية :

- أن الامواج المرنة المنتشرة في الجسم الملب تكون على نوعين
(أ) امواج طولية و (ب) امواج عرضية .
- في الامواج العرضية يوجد اتجاهان مستقلان للاستقطاب ، وبالتالي فان عدد الحالات المستقلة لهذه الامواج اثنان . وبما أنه

يوجد حالة مستقلة للأمواج الطولية ، فيصبح عدد الحالات المستقلة هو 3 ، لذا يجب ضرب المعادلة (8.3) بالعدد 3 .
 - ان سرعة انتشار الأمواج الكهروضيية في الغار الفوتوني هي سرعة الضوء ، أما بالنسبة لسرعة انتشار الأمواج في الجسم الصلب فهي على نوعين v_L و v_t حيث v_L تمثل سرعة انتشار الأمواج الطولية ، v_t سرعة انتشار الأمواج العرضية ، بحيث أن :

$$\frac{3}{v^3} = \frac{1}{v_L^3} + \frac{2}{v_t^3} \quad (8.40)$$

- حيث تمثل $v = \bar{v}$ السرعة الوسطى لانتشار الأمواج المرنة .
 - القيمة العظمى للتواتر محدودة . ويدعى هذا التواتر باسم تواتر ديبياي v_D .
 - في الحالة العامة ان v_L سرعة الأمواج الطولية تختلف مع سرعة الأمواج العرضية الا أننا للسهولة سنفرض ان الوسط متجانس المناحي بحيث ان السرعة في العلاقة (8.40) تمثل القيمة الوسطى للسرعتين الطولية والعرضية . وبعبارة أخرى سنفرض ان السرعتين الطولية والعرضية متساويتان .

اعتماد على ماسبق يمكن أن نكتب ان عدد الحالات المستقلة

التي يملك فيها الفوتون تواترا دافريا في المجال ω و $\omega + d\omega$

يعطى بالعلاقة :

$$g(\omega) d\omega = 3 \frac{4 \pi p^2 dp}{h^3} v$$

$$= \frac{3V}{2\pi^2} \frac{\omega^2}{v^3} d\omega \quad (8.41)$$

وبالتالي يمكن إيجاد الطاقة الاهتزازية الوسطى :

$$U = \int_{\omega_{\min}}^{\omega_{\max}} g(\omega) \bar{\epsilon}(\omega) \cdot d\omega \quad (8.42)$$

حيث يمثل المقدار $g(\omega)$ كثافة الحالات أو كثافة التواترات

أما المقدار $d\omega \cdot g(\omega)$ المعبر عن عدد الحالات المستقلة أو عدد

انماط الاهتزازات ويساوي الى عدد درجات الحرية أي :

$$\int_{\omega_{\min}}^{\omega_{\max}} g(\omega) d\omega = 3N \quad (8.43)$$

ان المقدار ω_{\min} يمثل القيمة الصغرى للتواتر ، وهي توافق

تواتر الاهتزازات الطويلة جدا والتي يمكن أن تنتشر في البلورة وهذه

التواترات صغيرة جدا بحيث يمكن اعتبار $\omega_{\min} = 0$ أما ω_{\max}

فيمثل تواتر ديبي الذي يرمز له بالرمز ω_D كما اشرنا سابقا

(حيث $\omega_D = 2\pi\nu_D$) لذا فان حدود التكامل تصبح من 0 الى ω_D

وبالتالي يمكن إيجاد العلاقة التي تعطي تواتر ديبي وذلك بتعويض

المعادلة (8.41) بما تساويها في المعادلة (8.43) فنجد

ان :

$$\omega_D = 2\pi\nu_D = \left(\frac{6\pi^2 N}{V} \right)^{1/3} v$$

$$= (6\pi^2 n)^{1/3} v \quad (8.44)$$

• حيث يمثل n عدد الذرات في واحدة الحجم $(n = \frac{N}{V})$

لنحسب الآن الطاقة الداخلية الوسطى • يشترط ميكانيك الكم وجود طاقة أساسية U_0 وهي أخفض طاقة يملكها الهزاز التوافقي (طاقة الاهتزاز الصفري) لذا تكون الطاقة الداخلية المحسوبة لجملة الفونونات هي طاقة التحريض الحراري التي تساوي $U - U_0$ اعتمادا على المعادلتين (8.41) و (8.42) يمكن أن نكتب :

$$U = U_0 + \frac{3V}{2\pi^2 v^3} \int_0^{\omega_D} \frac{\hbar \omega^3}{\exp(\frac{\hbar \omega}{KT}) - 1} d\omega$$

$$= U_0 + \frac{3V}{2\pi^2 v^3} \int_0^{\omega_D} \frac{\hbar \omega^3}{\exp(\frac{\hbar \omega}{KT}) - 1} d\omega \quad (8.45)$$

يمثل الحد الاول طاقة الاهتزاز الصفري وهي لاتدخل في عبارة السعة الحرارية لأنها مستقلة عن درجة الحرارة • لاجراء التكامل في العلاقة (8.45) نفرض أن :

$$x = \frac{\hbar \omega}{KT} \rightarrow x_D = \frac{\hbar \omega_D}{KT} = \frac{\Theta_D}{T}$$

حيث x متحول يتعلق بالتواتر ω أما Θ_D فتدعى بدرجة حرارة ديبي وتعطى بالعلاقة :

$$\Theta_D = \frac{\hbar \omega_D}{K} \quad (8.46)$$

وبالتالي تصبح عبارة الطاقة الداخلية والسعة الحرارية كالتالي:

$$U = U_0 + 9NKT \left(\frac{T}{\Theta_D} \right)^3 \int_0^{\frac{x_D}{\Theta_D}} \frac{x^3 dx}{\exp x - 1} \quad (8.47)$$

$$C_V = \left(\frac{\partial U}{\partial T} \right)_V = 9R \left(\frac{T}{\Theta_D} \right)^3 \int_0^{\frac{x_D}{\Theta_D}} \frac{x^4 dx}{(\exp x - 1)^2} \quad (8.48)$$

يلاحظ أن السعة الحرارية تتبع متحولا وحيدا Θ_D وهنـا يمكن

أن نميز الحالتين التاليتين :

أ- في درجات الحرارة العالية والتي من أجلها $T \gg \Theta_D$ أي

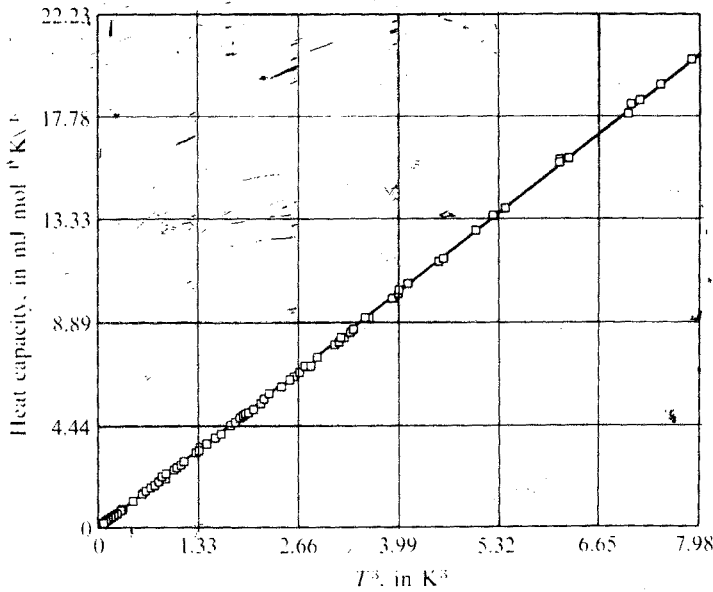
أن $x_D \ll 1$ ، وبالتالي يمكن نشر التابع e^x في سلسلة حيث :

$$e^x = 1 + x + \frac{1}{2} x^2 + \dots$$

ويمكن في هذه الحالة الاكتفاء بالحدين الأوليين في النشر ونجد

أن السعة الحرارية في هذه الحالة تساوي :

$$\begin{aligned} C_V &= 9R \left(\frac{T}{\Theta_D} \right)^3 \int_0^{\frac{x_D}{\Theta_D}} \frac{x^4 dx}{x^2} \\ &= 9R \left(\frac{T}{\Theta_D} \right)^3 \cdot \frac{1}{3} \left(\frac{\Theta_D}{T} \right)^3 \\ &= 3R \end{aligned}$$



الشكل (8.5) تغيرات السعة الحرارية بدلالة T^3

وهي نفس العلاقة لقيمة السعة الحرارية التي تقترحها النظرية الكلاسيكية التي تتوافق مع القيم التجريبية في درجات الحرارة المرتفعة.

ب- في درجات الحرارة المنخفضة والتي من أجلها $T \rightarrow 0$ لذا فان المقدار $x \rightarrow \infty$ وبالتالي نجد انه في هذه الحالة والتي من أجلها $T \ll \theta_D$ أن :

$$C_V = \frac{12 \pi^4}{5} R \left(\frac{T}{\theta_D} \right)^3 \quad (8.49)$$

تدعى هذه المعادلة باسم قانون ديبي الذي ينص على انه في درجات الحرارة المنخفضة وبالقرب من درجة الصفر المطلق فان

السعة الحرارية تتناقص بشكل أبطأ عما كان يتوقعه نموذج اينشتاين وهذا التناقص في قيمة السعة الحرارية يتوافق مع القيم التجريبية بشكل أفضل (لاحظ الشكل 8.5) وعلى الرغم من أن نموذج ديبي يفترض أن الأمواج المرنة لاهتزازات الشبكة البلورية هي متجانسة ومتماثلة ، إلا أن النتائج التجريبية أكدت انسجامها واتفاقها مع هذا النموذج وذلك في درجات حرارة اخفض من $\theta_D/50$ أو عندما يكون $T/\theta_D < 0.02$ ومع ارتفاع درجة الحرارة فإن السعة الحرارية التجريبية تزداد بشكل أسرع بقليل عما تتوقعه العلاقة النظرية في النموذج السابق . ومن الجدير بالذكر هنا أن النتائج التجريبية الحديثة التي أجريت على المواد الصلبة غيرالمتبلورة amorphous materials ، بينت أن السعة الحرارية لهذه المواد لاتتوافق مع القيم النظرية التي يقترحها نموذج ديبي حتى في درجات حرارة اخفض من $\theta_D/100$ أو عندما يكون $T/\theta_D < 0.01$.

يبين الشكل (8.6) تغيرات المقدار C_V/R بدلالة المتحول T/θ_D من أجل عدد من القيم التجريبية لبعض المواد . ويمكن بملاحظة الشكل أخذ الاعتبار التقريبية التالية :

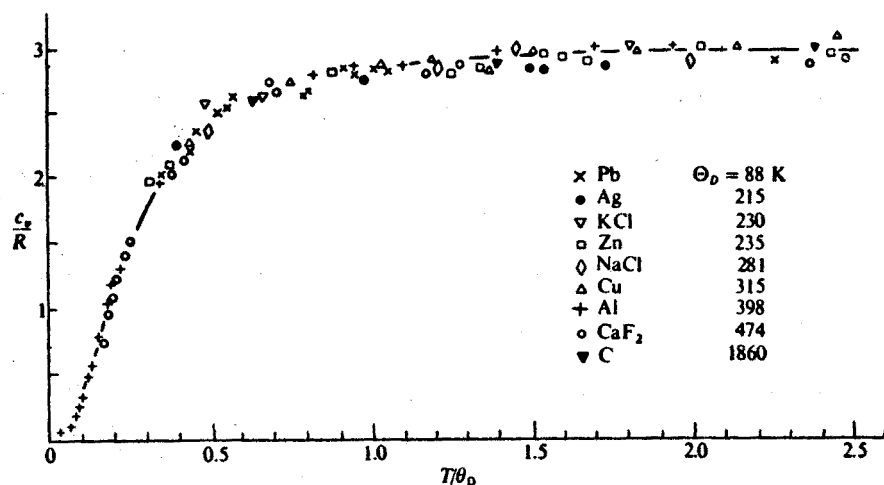
- عندما يكون المقدار $T/\theta_D > 1$ ، أو عندما تتجاوز درجة الحرارة T درجة حرارة ديبي θ_D ، فإن الجملة (الجسم الصلب) تسلك سلوك الجملة الكلاسيكية وتكون قيمة C_V مساوية للقيمة الكلاسيكية وهي $3R$ وهي القيمة الموافقة للنموذج التقريبي الاول وهو نموذج دولنغ وبيتي .

- عندما تكون درجة الحرارة أقل من درجة حرارة ديبي فإن التأثيرات الكوانتية تصبح مهمة ويلاحظ تناقص قيمة السعة

الحرارية حتى الصفر . فمن أجل الرصاص ، حيث تكون درجة حرارة ديباي 88K ، وبالتالي فان درجة حرارة الغرفة تكون أعلى بكثير من درجة حرارة ديباي ، بينما الماس الذي يملك درجة حرارة ديباي 1860 K فان التأثيرات الكوانتية تبقى ظاهرة في درجة حرارة الغرفة .

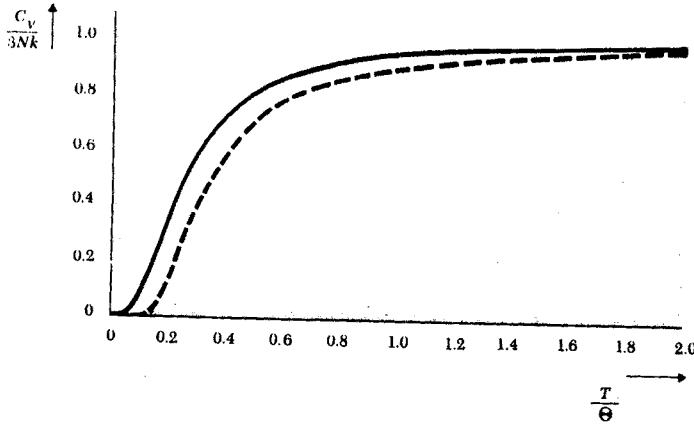
في درجات الحرارة المتوسطة ، يوجد توافق جيد بين القيم التجريبية للسعة الحرارية والقيم النظرية المحسوبة بواسطة نموذج اينشتاين ونموذج ديباي .

في درجات الحرارة المنخفضة جدا فان نموذج ديباي هو النموذج الافضل ويعتبر هذا النموذج هو النموذج التقريبي الثالث . اما نموذج اينشتاين فيعتبر النموذج التقريبي الثاني .



الشكل (8.6) يمثل تغيرات السعة الحرارية بدلالة T/Θ_D من أجل عدد من الاجسام الصلبة

يبين الشكل (8.7) مقارنة بين كلا النمذجين حيث يمثل
 الخط المتواصل تغيرات السعة الحرارية بدلالة درجة الحرارة. أما
 الخط البياني المتقطع فيمثل هذه التغيرات من اجل نموذج اينشتاين.



الشكل (8.7) مقارنة بين نموذج اينشتاين ونموذج ديبي
 . $\Theta_E = \Theta_D$ النظريين وذلك من اجل

الفصل التاسع

تطبيقات لاهضاء الكولوني (اهضاء فيري - ديراك)

9.1- الغاز الالكتروني في المعادن :

بما أن الالكترونات عبارة عن فيرميونات لذا فانها تخضع الى توزيع فيرمي - ديراك الكوانتي . ان اغلب العناصر الكيميائية الموجودة في جدول مندلييف هي معادن ، ويمكن فهم الخواص الفيزيائية لها باستخدام نموذج الالكترونات الحرة وهو يعالج في مقرر الجسم الصلب .

ان ما يهمنا هنا هو أن الالكترونات الناقلة والناجمة عن الكترونات الطبقة السطحية تشكل ما يدعى بالغاز الالكتروني وذلك نظرا لعددها الكبير جدا وباعتبار أن كتلة الالكترونات صغيرة فانها تبقى خاضعة الى توزيع فيرمي ديراك .

ان ابسط المعادن في دراسة الغاز الالكتروني هي المعادن القلوية وذلك لأن ارتباط الكترونات التكافوء (الكترونات الناقلية) تكون ضعيفة جدا . بالذرة . ففي معدن الصوديوم على سبيل المثال تحوي كل ذرة على الكترون تكافوء وحيدا في الحالة $3s$ ويكون هذا الالكترون غير مرتبط بأيون الذرة أو أي ايون آخر وانما يكون

مشاركاً بين ايونات البلورة ويستطيع ان ينتقل بحرية لذا اطلق عليه اسم الكترون الناقلية لأنه يستطيع أن يشارك في عملية النقل الكهربائي أو الحراري . وبما أن كل ذرة من بلورة معدن الصوديوم تساهم بالكترون تكافؤ واحد فقط (أي الكترون ناقلية وحيد) فان مجمل الكترونات الناقلية تشارك في الناقلية (الحرارية أو الكهربائية) للبلورة ، أما الالكترونات الاخرى في معدن الصوديوم فتبقى مرتبطة بالنواة وبالتالي يمكن القول ان معدن الصوديوم الذي يحوي على N ذرة يملك N من الكترونات الناقلية و N من الايونات الموجبة ، وبالتالي فان بلورة الصوديوم تتألف من مصفوفة دورية من الايونات الموجبة التي تحوي النواة والالكترونات الموجودة في الطبقات الداخلية ، وكذلك تحوي على مجموعة كبيرة جدا من الالكترونات التي يطلق عليها اسم الغاز الالكتروني الذي يتصف بأن الالكترونات المشكلة له تتحرك بسرعه حرارية وبسبب اثرها الجماعي فان هذه الالكترونات تؤدي الى ربط الجسم الصلب ببعضه بعضاً . ان هذه الالكترونات المشكلة للغاز الالكتروني لاتخضع الا لحاجز كموني على سطح المعدن وهذا الحاجز هو الذي يضمن بقاء هذه الالكترونات داخل المعدن .

نعلم ان الالكترونات تملك درجة حرية داخلية يطلق عليها اسم السبين Spin وفقاً لميكانيك الكم . يمكن لمحور السبين أن يشير لاتجاهين متعاكسين فقط ، احدهما الى الأعلى \uparrow والاخر الى الأسفل \downarrow ويمكن تصوراتجاه المحور الأعلى أو الأسفل انطلاقاً من أن الالكترون يدور في اتجاه عقارب الساعة أو عكسها على الترتيب . تملك الالكترونات في الذرة كمية حركة زاوية كلية ناتجة عن السبين

الالكتروني من جهة وعن الحركة الدورانية للالكترونات حول النواة من جهة أخرى .

تبين تجريبيا ان المسار الحر الوسطي للالكترون يصل الى القيمة 1cm ، أي يمكن لالكترون الناقلية أن يتحرك ضمن المعدن بحرية ضمن هذه المسافة دون ان يحدث أي اصطدام أو انحراف . فاذا علمنا ان كثافة الغاز الالكتروني في معدن الصوديوم تصل الى 10^{29} m^{-3} الكترونا يتبادر لنا التفكير والتساؤل عن كيفية تحرك الكترونات الناقلية بحرية وهي تحمل شحنة سالبة وبأعداد كبيرة جدا . بالطبع يمكن فهم ذلك بواسطة مفاهيم الميكانيك الكوانتي واعتبارا أن الالكترونات الناقلية المشكلة للغاز الالكتروني في المعدن لاتنحرف بواسطة الايونات الموجودة في الشبكة البلورية والتي تشكل مصفوفة دورية والسبب في ذلك يعود الى أن أمواج المادة تنتشر بحرية في البنية البلورية وكذلك فان الالكترون لايتشتت الانادرا بواسطة الكترونات الناقلية الاخرى وذلك بالاعتماد على مبدأ باؤلي ، فالتشتت يعني ضمنا انتقال الالكترون المتشتت الى سوية طاقة اخرى فاذا كانت هذه السوية مشغولة فان التشتت لا يحدث .

9.2 - تابع توزع فيرمي ديراك :

وجدنا سابقا ان العدد الوسطي للجزيئات في سوية طاقة ما i ،

في احصاء فيرمي ديراك يعطى بالعلاقة :

$$N_i = \frac{g_i}{e^{\alpha + \beta \epsilon_{i+1}}} = \frac{g_i}{e^{(\epsilon_i - \mu)/KT} + 1} \quad (9.1)$$

حيث μ يمثل الكمون الكيميائي ، في حالة الغاز الالكتروني فان هذا المقدار يمثل طاقة فيرمي وهو يعني فيزيائيا أعلى طاقة يمكن ان يملكها الالكترون في درجة الصفر المطلق ويرمز لهذه الطاقة بالرمز ϵ_{fo} بالحقيقة ان العلاقة بين μ و ϵ_{fo} هي من الشكل :

$$\mu = \epsilon_{fo} \left[1 - \frac{\pi^2}{12} \left(\frac{KT}{\epsilon_{fo}} \right)^2 \right] \quad (9.2)$$

ويلاحظ من هذه العلاقة أنه في الصفر المطلق ($T = 0$) فان $\mu = \epsilon_{fo}$ ويلاحظ أيضا أن الكمون الكيميائي يتناقص مع زيادة درجة الحرارة الا أن هذا التناقص صغير جدا بحيث يمكن اهماله وبالتالي يمكن اعتبار أن $\mu = \epsilon_{fo} = \epsilon_f$ وتمثل هنا ϵ_f طاقة فيرمي في الدرجة T .

يعرف التابع المعطى بالعلاقة التالية :

$$F(\epsilon) = \frac{1}{e^{\frac{\beta(\epsilon - \mu)}{e}} + 1} = \frac{1}{e^{\frac{\beta(\epsilon - \epsilon_f)}{e}} + 1} \quad (9.3)$$

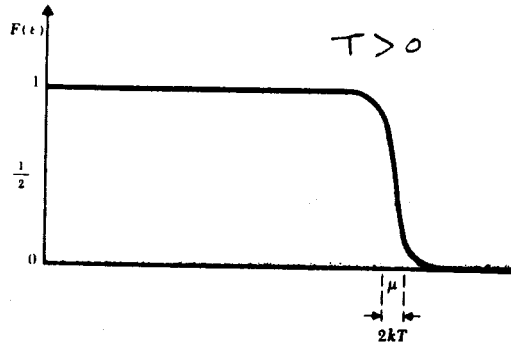
باسم تابع فيرمي ديراك وهو يمثل توزيع الالكترونات ويصف حالة الجملة وانشغال الحالة التي تملك طاقة مقدارها ϵ . ويلاحظ أن تابع فيرمي ديراك يتبع الطاقة ϵ . اذا كان $\beta\mu \ll 0$ فيكون $\frac{\beta(\epsilon - \mu)}{e} \gg 1$ وبالتالي يتحول التابع F الى تابع توزيع ماكسويل - بولتزمان التقليدي. في هذه الفقرة فان الذي يهمنا هو الحالة المعاكسة والتي من أجلها :

$$\beta \mu \approx \frac{\mu}{KT} \gg 1 \quad (9.4)$$

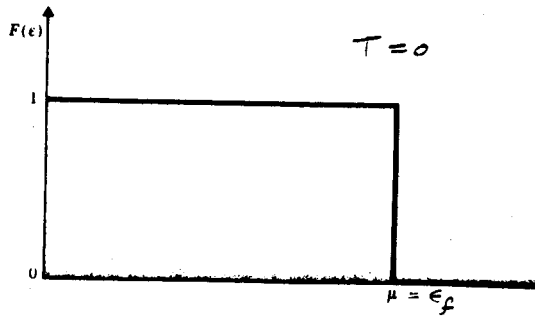
(في الحالة العامة يعبر الكمون الكيميائي عن طاقة جملة معزولة ذات حجم ثابت وذلك بسبب تغير عدد الجسيمات التي تحويها الجملة حيث $\mu = \frac{d\varepsilon}{dN}$) إذا اكتسب الإلكترون طاقة حرارية بحيث تحقق الشرط السابق فيمكن أن نلاحظ أنه عندما يكون $\mu \ll \varepsilon$ فإن المقدار $\beta(\varepsilon - \mu) \ll 0$ وبالتالي يمكن إهماله أمام الواحد وينتج عن ذلك أن $F(\varepsilon) = 1$.

من ناحية أخرى وعندما يكون $\mu \gg \varepsilon$ وهو الشرط المعاكس يتحول تابع فيرمي ديراك في هذه الحالة مشابهاً للحالة التقليدية ويتناقص بشكل أسي حيث يكون $F(\varepsilon) = e^{-\beta(\mu - \varepsilon)}$. أما عندما يكون $\mu \approx \varepsilon_F$ فيكون عندها $F(\varepsilon) = 1/2$ وبالتالي نجد أنه عندما يكتسب الإلكترون طاقة حرارية قدرها KT بحيث يكون $\mu \ll KT$ فإن مستويات الطاقة التي يمكن أن تفرغ جزئياً تقع في المجال $\mu - KT$ ومستويات الطاقة الأخرى التي ستملأ جزئياً تقع في المجال $\mu + KT$.

يمثل الشكل (9.1) تغيرات تابع فيرمي ديراك في درجة الحرارة المحددة T ، أما الشكل (9.2) فيمثل تغيرات هذا التابع في درجة الصفر المطلق وهنا يمكن ملاحظة الحالتين التاليتين :



الشكل (9.1)



الشكل (9.2)

أ- في درجات الحرارة المجاورة لدرجة الصفر المطلق (أي عندما تسعى T الى الصفر) ، يأخذ تابع فيرمي ديراك القيم التالية :

$$\begin{aligned}
 \varepsilon \gg \varepsilon_{f0} = \mu &\rightarrow F(\varepsilon) = 0 \\
 \varepsilon \ll \varepsilon_{f0} = \mu &\rightarrow F(\varepsilon) = 1 \\
 \varepsilon = \varepsilon_{f0} = \mu &\rightarrow F(\varepsilon) = 1/2
 \end{aligned}
 \quad (9.5)$$

ب- في درجات الحرارة الأعلى من درجة الصفر المطلق . يلاحظ في درجة حرارة الغرفة مثلا ان بعض الالكترونات يمكن أن تشار

حراريا وبالاخص الالكترونات القريبة سوية فيرمي ويمكن أن نميز

ثلاث حالات أساسية :

$$\left. \begin{aligned} \epsilon = \epsilon_f - KT &\longrightarrow F(\epsilon) \approx 0.75 \\ \epsilon = \epsilon_f &\longrightarrow F(\epsilon) \approx 0.5 \\ \epsilon = \epsilon_f + KT &\longrightarrow F(\epsilon) \approx 0.27 \end{aligned} \right\} \quad (9.6)$$

9.3 - حساب الطاقة الحركية الوسطية للالكترونات :

يمكن حساب الطاقة الحركية الوسطية للالكترونات في الدرجة

T بالعلاقة :

$$\bar{\epsilon} = \frac{1}{N} \int_0^{\infty} \epsilon F(\epsilon) \cdot g(\epsilon) d\epsilon \quad (9.7)$$

حيث يمثل N عدد الالكترونات الكلية ، أما المقدار $g(\epsilon)$ فيمثل كثافة الحالات للالكترونات وهو يساوي $d\Gamma/h^3$ مضروباً بالعدد 2 ، وذلك نظراً لأنه يمكن للالكترون أن يملك قيمتين لللف الذاتي وبما أن :

$$g(\epsilon) = 4\pi V \left(\frac{2m}{h^2} \right)^{3/2} \epsilon^{1/2} d\Gamma = 4\pi p^2 dp = 2\pi V (2m)^{3/2} \epsilon^{1/2} d\epsilon$$

وبالتالي يمكن الحصول على كثافة الحالات ، بالتعويض في

العلاقة (9.7) واستبدال قيمة تابع فيرمي - ديراك من المعادلة

(9.2) نجد أن :

$$\bar{\epsilon} = \frac{3}{5} \epsilon_{fo} \left[1 + \frac{5\pi^2}{12} \left(\frac{KT}{\epsilon_{fo}} \right)^2 \right] \quad (9.8)$$

يلاحظ من هذه العلاقة أن الطاقة الوسطى غير معدومة مهما تكن درجة الحرارة ، أي أن الغاز الالكتروني يملك طاقة غير معدومة حتى في درجة الصفر المطلق حيث يكون :

$$T=0 \longrightarrow \bar{\epsilon} = \bar{\epsilon}_0 = \frac{3}{5} \epsilon_{fo} \quad (9.9)$$

تدعى الطاقة $\bar{\epsilon}_0$ بالطاقة الوسطى الصفرية وهي تمثل الطاقة الوسطى للالكترونات في درجة الصفر المطلق . أما المقدار ϵ_{fo} فيمثل طاقة فيرمي في درجة الصفر المطلق .

9.4 - إيجاد طاقة فيرمي ϵ_{fo} :

ان المعنى الفيزيائي لطاقة سوية فيرمي في الصفر المطلق يعني ضمنا بالاعتماد على تابع التوزع أن احتلال حالة طاقية ذات طاقة أصغر من ϵ_{fo} يكون مساويا للواحد أي $F(\epsilon) = 1$ وبالتالي فان هذه الحالات تكون مشغولة (أي ممتلئة) ، أما الحالات التي تكون طاقتها أكبر من ϵ_{fo} فتكون شاغرة (فارغة) ، وبالتالي يمكن القول ان الالكترونات تحتل سويات الطاقة الأكثر انخفاضاً بحيث أن كل الحالات ذات الطاقة الاخفض من طاقة فيرمي ϵ_{fo} تكون مشغولة بالالكترونات ، وبالتالي فار سوية فيرمي تقابل الحالة الأكثر احتمالا وانشغالا بالالكترونات وتكون الحالات التي تقع فوق سوية فيرمي خالية تماما في درجة الصفر المطلق . وبالتالي فان عدد الالكترونات الكلي الموجود في سويات الطاقة المختلفة يعطى بالعلاقة :

$$N = \int_0^{\infty} N(\epsilon) d\epsilon = \int_0^{\epsilon_{fo}} N(\epsilon) d\epsilon \quad (9.10)$$

وبما أن :

$$N(\epsilon) d\epsilon = g(\epsilon) \cdot F(\epsilon) \cdot d\epsilon \quad (9.11)$$

حيث $F(\epsilon) = 1$ في درجة الصفر المطلق وذلك من أجل الحالة التي من أجلها $\epsilon < \epsilon_{fo}$ فيكون :

$$N = \int_0^{\epsilon_{fo}} 4\pi V \left(\frac{2m}{h^2} \right)^{3/2} \epsilon^{1/2} d\epsilon \quad (9.12)$$

باجراء التكامل السابق نجد أن :

$$\epsilon_{fo} = \frac{h^2}{2m} \left(\frac{3N}{8\pi V} \right)^{2/3} \quad (9.13)$$

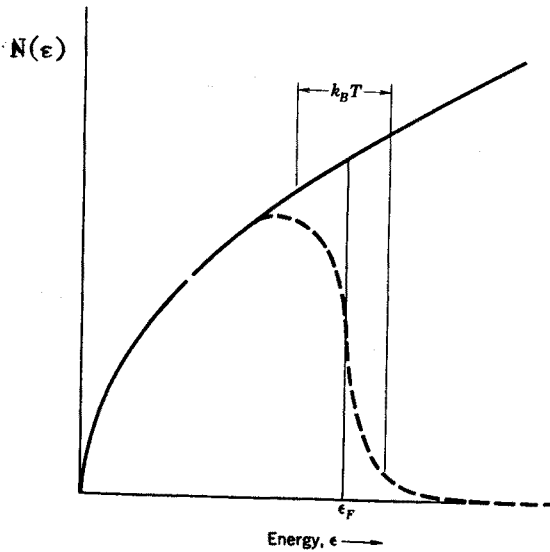
يمثل المقدار $\frac{N}{V}$ عدد الالكترونات في واحدة الحجم أي تركيز الالكترونات وبالتالي تصبح المعادلة السابقة بالشكل :

$$\epsilon_{fo} = \frac{h^2}{2m} \left(\frac{3n}{8\pi} \right)^{2/3} \quad (9.14)$$

حيث n يمثل تركيز الالكترونات وهو عدد كبير في المعادن لذا فإن ϵ_{fo} يمكن ان تصل الى بضع الكترون فولت كما هو واضح في الجدول (9.1) . أما الشكل (9.3) فيمثل توزيع الالكترونات حسب طاقتها :

ϵ_{fo}	$\epsilon_{fo}(\text{eV})$	$T_f(\text{K})$
${}^3_2\text{He atoms}$	0.94×10^{-3}	10
Li	4,7	$5,4 \times 10^4$
K	2,1	$2,4 \times 10^4$
Na	3,12	$3,7 \times 10^4$
Cu	7.04	$8,2 \times 10^4$

الجدول (9.1) يبين قيم كل من ϵ_{fo} و T_f لبعض المعادن



الشكل (9.3)

9.5 - إيجاد علاقة الطاقة الوسطي في الغاز الإلكتروني :

كما أشرنا سابقا ، فإنه عندما ترتفع درجة الحرارة ، فإن هذا الأمر يؤدي إلى إشارة الإلكترونات حراريا إلى سويات طاقة أعلى من سوية فيرمي ، وهذا بالطبع يؤدي إلى تغيير توزيعها

على الحالات المختلفة ، لايجاد علاقة الطاقة الوسطى ننطلق من تعريف الطاقة الوسطى وتطبيق هذا التعريف على الغاز الالكتروني المدروس

في درجة الصفر المطلق ، حيث نجد أن :

$$\bar{\epsilon} = \frac{\int_0^{\infty} \epsilon N(\epsilon) d\epsilon}{N} = \frac{\int_0^{\infty} \epsilon g(\epsilon) F(\epsilon) d\epsilon}{\int_0^{\infty} g(\epsilon) F(\epsilon) d\epsilon} \quad (9.15)$$

في درجة الصفر المطلق ، تتحول العلاقة الى الشكل التالي :

$$\bar{\epsilon}(0) = \frac{\int_0^{\epsilon_{fo}} \epsilon g(\epsilon) d\epsilon}{\int_0^{\epsilon_{fo}} g(\epsilon) d\epsilon} \quad (9.16)$$

بتعويض قيمة $g(\epsilon)$ بما يساويها واجراء التكاملين في بسط ومقام العلاقة السابقة نجد أن :

$$\bar{\epsilon}(0) = \frac{3}{5} \epsilon_{fo} \quad (9.17)$$

ان الغاز الالكتروني يختلف اختلافا جذريا عن الغاز العادي ويمكن ملاحظة ذلك ببساطة من مقارنة العلاقات الرياضية المعبرة عن ذلك والتوصل الى مفاهيم أكثر شموليه وتتفق مع الملاحظات التجريبية . ان الغاز الالكتروني بالحقيقة كما أشرنا سابقا يملك طاقة أمغرية حتى في درجة الصفر المطلق وهذا الامر لا تتوقعه النظريات الكلاسيكية فبالاعتماد على النظرية الحركية للغازات فان الطاقة الحركية الوسطى تعطى بالعلاقة :

$$\bar{\epsilon} = \frac{3}{2} kT \quad (9.18)$$

حيث ترمز T الى درجة حرارة الغاز الثقليدي وهي ترمز ضمننا الى درجة حرارة الغاز الثقليدي الذي تملك جسيماته التي يتألف منها ، التي تخضع الى الغاز المثالي ، الطاقة الحركية الوسطى للغاز الالكتروني في درجة الصفر المطلق . وبالتالي يمكن تقدير الدرجة التي يصبح فيها الغاز الالكتروني غازا كلاسيكيا وذلك بمساواة العلاقتين (9.17) و (9.18) وبالتالي نجد أن قيمة الدرجة التي يصبح عندها الغاز الالكتروني غازا ثقليديا هي بحدود 10^4 K وبمقارنة هذه الدرجة مع درجة حرارة فيرمي نجد أنهما من نفس الرتبة . حيث ان درجة حرارة فيرمي T_F تعطى بالعلاقة :

$$\epsilon_F = K T_F \quad (9.19)$$

وهي تساوي 10K بالنسبة لغاز الهليوم مثلا الذي يمكن دراسته بواسطة النظرية الثقليدية . أما بالنسبة للغاز الالكتروني فان الامر يختلف تماما . حيث يلاحظ أن طاقة فيرمي ناشئة عن كتلة الجسيمات وعددها في واحدة الحجم (المعادلة 9.13) .

وباعتبار أن T_F بالنسبة للغاز الالكتروني عالية جدا وتكون بكثير درجة انصهار المعدن فان هذا يعني أن الغاز الالكتروني في المعادن عموما يبقى خاضعا الى توزيع فيرمي ديراك .

يمكن بملاحظة العلاقة (8.14) أن نجد أنه في انصاف النواقل التي تملك كثافة الكترونات اقل مما نجده في المعادن فان شرط

تطبيق التوزع التقليدي يمكن أن يحدث في درجات الحرارة العادية وبالتالي فإن التأثيرات الكوانتية في هذه المواد تصبح مهمة .

9.6 - علاقة السعة الحرارية في المعادن :

من الممكن تفسير النتائج التجريبية التي أوضحت أن قيم السعة الحرارية وكذلك النفوذية المغناطيسية للغاز الإلكتروني أقل مما هي عليه في الغاز التقليدي المثالي . فبالاعتماد على النظرية التقليدية وبفرض أنه يوجد تساوي التوزع المتساوي للطاقة بين الإلكترونات والذرات فإنه من الممكن أن تساهم الإلكترونات في الحرارة النوعية بالمقدار $\frac{3R}{2}$ مثلها في ذلك مثل أي غاز احادي الذرة ، إلا أن الحقيقة لم تكن كذلك ويمكن توضيح ذلك بالاعتماد على المفاهيم الكوانتية التي يخضع لها الغاز الإلكتروني . لايجاد السعة الحرارية تستخدم العلاقة (9.8) للحصول على الطاقة الداخلية الوسطى U :

$$U = N \bar{\epsilon} = \frac{3}{5} \epsilon_{f0} N \left[1 + \frac{5\pi^2}{12} \left(\frac{KT}{\epsilon_{f0}} \right)^2 \right] \quad (9.20)$$

وبالتالي فإن السعة الحرارية تعطى بالعلاقة :

$$C_V = \frac{N \pi^2 K^2}{2 \epsilon_{f0}} T \quad (9.21)$$

$$= N_O n \frac{\pi^2 K^2 T}{2 \epsilon_{f0}} \quad (9.22)$$

أما السعة الحرارية المولية فتعطى بالعلاقة :

$$\frac{c_V}{n} = \frac{\pi^2 K T}{2 \epsilon_{fo}} R \quad (9.23)$$

حيث R ثابت الغازات العام ($R = N K$) و N يمثل عدد

أفوكادرو .

لنأخذ على سبيل المثال الفضة حيث يكون تركيز الإلكترونات

مساويا $5,86 \times 10^{28} \text{ m}^{-3}$ وبالتالي فان :

$$\epsilon_{fo} = \frac{(6.62 \times 10^{-34})^2}{2 \times 9 \times 10^{-31}} \left(\frac{3 \times 5,86 \times 10^{28}}{8 \pi} \right)^{2/3}$$

$$= 9 \times 10^{-19} \text{ Joul} = 5,6 \text{ eV}$$

وذلك باستخدام العلاقة (9.14)

وبالتالي فان الطاقة الوسطى تعطى بالعلاقة :

$$\bar{\epsilon}_{fo} = \frac{3}{5} \epsilon_{fo} = 3,46 \text{ eV}$$

أما السعة الحرارية المولية فتكون مساوية :

$$c_V = 7.6 \times 10^{-5} \text{ TR}$$

وفي درجة حرارة الغرفة ($\sim 300 \text{ K}$) تكون مساوية :

$$c_V = 0.023 R$$

وهي أقل بكثير من القيمة التي تتوقعها النظرية التقليدية

لذا فان مشاركة الالكترونات في السعة الحرارية تكون صغيرة جدا ومهملة وهذا الامر على اتفاق مع القيم التجريبية .

9.7 - الاصدار الالكتروني الحراري: Thermoionic Emission

وجدنا سابقا أنه عندما تكون $T = 0$ فان جميع سويات الطاقة الأدنى من سوية فيرمي تكون مشغولة بالالكترونات ، أما السويات الطاقية الأعلى من سوية فيرمي فتكون شاغرة ، ولايستطيع الالكترون الذي طاقته تساوي $\bar{\epsilon}_f$ ان ينتقل الى سوية طاقة أعلى بسبب وجود الحاجز الكموني عند سطح المعدن ، يرمز لارتفاع هذا الحاجز بالرمز ϕ وهو عبارة عن مقدار طاقي ويدعى باسم تابع العمل Work Function . اذا كانت طاقة الالكترونات المثاره حراريا أكبر من طاقة الحاجز الكموني فانها تستطيع الهروب خارج سطح المعدن وتدعى هذه الظاهرة باسم الاصدار الالكتروني الحراري . من الممكن عمليا تجميع هذه الالكترونات بواسطة مصعد موجب بالنسبة للسطح الذي يصدر الالكترونات المثاره (المهبط) وتتوقف عملية انتقال الالكترونات أي إصدارها من المهبط الى المصعد على فرق الجهد المطبق بين المصعد والمهبط ، فإذا كان هذا الفرق كبيراً بدرجة كافية فان المصعد Anode يستطيع التقاط جميع الالكترونات الصادرة عن المهبط Cathode وبالتالي فان التيار سيمل الى حالة الاشباع ويسمى بتيار الاشباع وتعطى كثافته أي كثافة تيار الاشباع Saturation current density بعلاقة تدعى علاقه ريتشاردسون - داشمان Richardson - Dushman والتي يمكن استنتاجها كمايلي :

لنفرض أن الالكترونات الصادرة حرارياً تتحرك في الاتجاه x وبسرعة مقدارها v_x ، حيث أن الاتجاه x عمودي على سطح المهبط . خلال زمن قدره dt فإن الالكترونات التي تبعد مسافة قدرها $x = v_x dt$ من المصعد يمكن ان تصل المصعد ، وبما أن مساحة المقطع A للمصعد عمودياً على x فإن هذه الالكترونات تكون موجودة في حجم قدره :

$$V = v_x \cdot dt \cdot A \quad (9.24)$$

يمكن البرهان على ان تابع توزع مركبة السرعة v_x تعطى بالعلاقة :

$$dN_{v_x} = \frac{4 \pi m^2 KT}{h^3} \ln \left[1 + \exp \left(\frac{\epsilon_f - \epsilon_x}{KT} \right) \right] dv_x \quad (9.25)$$

بالقسمة على $A \cdot dt$ والضرب في شحنة الالكترون e نحصل على كمية الشحنة التي تتجمع في واحدة المساحات في واحدة الزمن أي على كثافة التيار :

$$dJ_{v_x} = \frac{4 \pi m e KT}{h^3} \ln \left[1 + \exp \left(\frac{\epsilon_f - \epsilon_x}{KT} \right) \right] d\epsilon_x \quad (9.26)$$

حيث أن :

$$d\epsilon_x = m v_x dv_x$$

تعطي العلاقة (9.25) مساهمة الالكترونات التي تشارك في تيار الاصدار الحراري الايوني وتتحرك بالاتجاه x . وبسبب وجود الحاجز الكموني من سطح المعدن فان ذلك يؤدي الى ابطاء سرعة الالكترونات التي تقترب من السطح . فاذا رمزنا ب E_B لطاقة

الالكترونون التي يجب على الاقل أن يمتلكها وهي تكون كافية للهروب من سطح المعدن ، لذا فان الالكترونات التي تستطيع أن تشارك في تيار الاشباع تلك التي تملك طاقة أكبر من E_B وبالتالي يمكن الحصول على كثافة تيار الاشباع بالعلاقة :

$$J_{sat} = \frac{4 \pi m e K T}{h^3} \int_{E_B}^{\infty} \ln \left[\exp \left(-\frac{\epsilon_f - \epsilon_x}{K T} \right) + 1 \right] d\epsilon_x$$

وبما أن $\epsilon_x > \epsilon_f$ فان المقدار $\frac{\epsilon_f - \epsilon_x}{K T}$ يكون سالبا وكبيرا وبالتالي فان الحد الأسّي من العلاقة السابقة يكون صغيرا بحيث يمكن استخدام التقريب التالي :

$$\ln (X+1) \approx X$$

وبالتالي نجد أن:

$$J_{sat} = A T^2 \exp \left(-\frac{\phi}{K T} \right) \quad (9.27)$$

حيث

$$\phi = \epsilon_B - \epsilon_f$$

$$A = \frac{4 \pi m e k^2}{h^3} = 1,2 \times 10^6 \text{ A.m}^{-2} \text{ K}^{-2} \quad (9.28)$$

يمكن حساب ϕ تجريبيا برسم تغيرات $\ln \frac{J_{sat}}{T}$ بدلالة $1/T$ حيث نحصل على خط مستقيم ميله يساوي $-\frac{\phi}{K}$ ، أما نقطة تقاطعه مع المحور $1/T$ أي من أجل $1/T = 0$ فتعطي قيمة A وهو مقدار ثابت ويدعى باسم ثابت ريشاردسون - دشمان وفي أغلب الاحيان باسم ثابت ريتشاردسون .



درجة حرارة ذوبان θ مقدره بالكلفن .

Li 344	Be 1440											B 428	C 2230	N 72	O 92	F 75	Ne 75			
Na 158	Mg 400											Al 428	Si 645	P 374	S 90	Cl 72	Ar 92			
K 91	Ca 230	Sc 360	Ti 420	V 380	Cr 630	Mn 410	Fe 470	Co 445	Ni 450	Cu 343	Zn 327	Ga 320	Ge 374	As 282	Se 90	Br 72	Kr 72			
Rb 56	Sr 147	Y 280	Zr 291	Nb 275	Mo 450	Tc 600	Ru 600	Rh 480	Pd 274	Ag 225	Cd 209	In 108	Snw 200	Sb 211	Te 153	I 64	Xe 64			
Cs 38	Ba 110	Laβ 142	Hf 252	Ta 240	W 400	Re 430	Os 500	Ir 420	Pt 240	Au 165	Hg 71.9	Tl 78.5	Pb 105	Bi 119	Po	At	Rn			
Fr	Ra	Ac																		
			Ce	Pr	Nd	Pm	Sm	Eu	Gd 200	Tb	Dy 210	Ho	Er	Tm	Yb 120	Lu 210	Lr			
			Th 163	Pa	U 207	Np	Pu	Am	Cm	Bk	Cf	Es	Fm	Md	No					

ملاحظة : يشير الدليل صهر θ للحد الأدنى للقيم التجريبية لدرجة الحرارة .

الفصل العاشر

مدخل إلى إحصاء جيبس

مفهوم Ω في جيبس والهندسة الإحصائية

بينما في الفصول السابقة طرق تطبيق الاحصاءات الأولية التي يمكن فيها إهمال التأثيرات المتبادلة بين الجسيمات ، ومع ذلك فقد كنا قد بينا ان هذا التأثير يسمح باقامة التوازن الحراري داخل الجملة ولكنه لم يكن كافيا بالقدر الذي يسمح لنا بالتحدث عن الطاقة الفردية لكل جسيمة .

من الناحية العملية ، هذا التقريب الذي يسمح لنا بحل العديد من المسائل الفيزيائية بحسابات بسيطة نسبيا ليس مبررا دوماً . ولعل المثال الأكثر بساطة هو مثال الغازات الحقيقية ، فنحن نعلم ان معادلة الحالة $PV = nRT$ ليست محققة الا ضمن الحدود التي يتناهى فيها الضغط P الى الصفر . ولكي تعالج الجمل الحقيقية بالطرق الاحصائية أقام جيبس Gibbs احصاء الجمل المتفاعلة فيما بينها .

يمكن معالجة مسائل الميكانيك الكلاسيكي على أفضل وجه باستخدام مفاهيم المتحولات المعممة للاحداثيات q_i والدفع p_i (كميات الحركة) التي تستخدم في معادلات الحركة الكلاسيكية بالشكل الهاملتوني. اما سبب استخدام هذه الاحداثيات والدفع المعممة بدلا من الاحداثيات والسرع فسيوضح لنا بعد قليل حين نناقش نظرية ليوفيل. وسنذكر أولا بتعاريف المتحولات المعممة المذكورة p_i و q_i وبما تنص عليه معادلات هاملتون.

عدد المقادير المستقلة التي يجب اعطاؤها لتحديد موضع جملة وبشكل وحيد التعيين يدعى درجة حرية الجملة. هذه المقادير ليست بالضرورة الاحداثيات الديكارتية لموضع نقطة وانما حسب شروط المسألة المطروحة يمكن اختيار جملة أخرى من الاحداثيات التي قد تكون أكثر ملائمة. مثلا بفرض S مقدار كيفي فان q_1, q_2, \dots, q_S تمثل تماما موضع جملة ما (لها S درجة حرية) تسمى الاحداثيات المعممة ومشتقاتها بالنسبة للزمن (وسنرمز لها بنقطة فوق الرمز) \dot{q}_i تسمى السرع المعممة.

لا يكفي مع ذلك اعطاء الاحداثيات المعممة كي نحدد الحالة الميكانيكية لجملة في لحظة ما بمعنى أن ذلك لايسمح لنا بالتنبؤ عن موضع الجملة في اللحظة التالية. فمن أجل قيم معطاة للاحداثيات يمكن أن يكون للجملة سرعا كيفية وتابعة لقيم تلك الاحداثيات وسيكون بالتالي موضع الجملة مختلفا في اللحظة التالية (أي بعد مدة صغيرة جدا من الزمن dt). وتبرهن التجربة أن اعطاء

الاحداثيات والسرع معا يحدد حالة الجملة ويسمح بشكل عام توقع حركتها في المستقبل وهذا يعني من وجهة نظر رياضية أن الاحداثيات q والسرع \dot{q} في لحظة ما تعرف تماما وبصورة وحيدة قيم التسارعات عند تلك اللحظة . اما عبارة قانون نيوتن الثاني بدلالة معادلات

لاغرانج فهي :

$$\frac{d}{dt} \frac{\partial L}{\partial \dot{q}_i} - \frac{\partial L}{\partial q_i} = 0 \quad (10.1)$$

حيث $i=1,2,3,\dots,S$ وحيث من أجل جملة بسيطة يعطى تابع لاغرانج L بدلالة الطاقة الحركية T والطاقة الكامنة U على الشكل:

$$L(q_i, \dot{q}_i) = T - U \quad (10.2)$$

ويمكن التحقق من أن المعادلة (10,1) تمثل قانون نيوتن

الثاني بوضع $q_i = x$ مثلا فنجد $L = \frac{1}{2} m \dot{v}^2 - U$ ويكون :

$$M \ddot{x} = - \frac{\partial U}{\partial x}$$

ولكن $-\frac{\partial U}{\partial x}$ تمثل مركبة القوة \vec{F} كونها محفوظة على المحور x ونجد التالي أن :

$$F_x = M \ddot{x}$$

واذا كانت الجملة موءلفة من N جسيمة نقطية فان S ستساوي

$3N$ وتأخذ الطاقة الحركية في العلاقة (10.2) الشكل :

$$T = \frac{1}{2} \sum_{j=1}^{3N} M_j \dot{q}_j^2$$

في الشكل الهاملتوني لمعادلات الحركة لهذه الجملة نستعير عن

S معادلة تفاضلية من المرتبة الثانية (العلاقة 10.1) $\rightarrow 2S$

معادلة تفاضلية من المرتبة الاولى ، نعرف الدفع المعمم بالعلاقة :

$$p_i = \frac{\partial L}{\partial \dot{q}_i} \quad (10.3)$$

ويعرف الهاملتوني H بالعلاقة :

$$H(p_i, q_i) = \sum p_i \dot{q}_i - L(q_i, \dot{q}_i) \quad (10.4)$$

فيكون

$$dH = \sum_i \left(\frac{\partial H}{\partial p_i} dp_i + \frac{\partial H}{\partial q_i} dq_i \right)$$

$$dH = \sum_i (p_i d\dot{q}_i + \dot{q}_i dp_i) - \sum_i \left(\frac{\partial L}{\partial \dot{q}_i} d\dot{q}_i + \frac{\partial L}{\partial q_i} dq_i \right) \quad (10.5)$$

حيث تختزل الحدود التي تحوي $d\dot{q}_i$ حسب التعريف (10.3) .

اضافة لذلك نجد من معادلات لاغرانج (10.1) أن :

$$\frac{\partial L}{\partial \dot{q}_i} = \dot{p}_i$$

وبالتالي نجد من العلاقة (10.5) أن :

$$\frac{\partial H}{\partial p_i} = \dot{q}_i , \quad \frac{\partial H}{\partial q_i} = -\dot{p}_i \quad (10.6)$$

التي تعرف بمعادلات هاملتون للحركة .

10.2- الجمل والطواقم:

في الميكانيك الاحصائي ندرس عادة. جملا حقيقية قد تكون مثلاً كتلة جليد ، أو الكترونات في جزء من سلك نحاسي ، أو وعاء يحوي تفاعلا بين جزيئات H_2 ، Cl_2 ، و HCl ، أو ترانزستور ، أو جوف نجم . فالجملة هي الشيء الحقيقي الذي يهمننا دراسته . في بعض الاحيان قد نعالج أمر الكترون مفرد أو بروتون مفرد أو جزيئة مفردة كجملة ولكننا كقاعدة فيما يلي سنخص الجمل المدروسة بأن لها أبعادا ماكروسكوبية مؤلفة من جسيمات عدة. تتفاعل (أو تتبادل التأثير) فيما بينها ، ويجب ان ننتبه الى هذا المفهوم لكلمة " جملة " اينما وردت في هذا الفصل .

لكي نبدأ مناقشة الخصائص الترموديناميكية أو الاحصائية لجملة يجب ان نحدد كل الوسطاء المتعلقة بها والتي نفرض أنها مثبتة تحت تأثير عامل خارجي . وهكذا فنحن نريد ان نعلم عدد جسيمات كل نوع في الجملة ، الحجم ، الطاقة ، درجة الحرارة ، شدة الحقل المغناطيسي ... الى آخره . الا أن المدى الاقصى لمعرفتنا بالجملة سيكون محدودا . بمبدأ الشك في الميكانيك الكوانتي كما وجدنا في الفصول السابقة .

مايهمننا هو دراسة الجمل قرب أو في حالات توازنها الترموديناميكي . نقول ان الجملة تكون في حالة توازن ترموديناميكي عندما توضع بتماس مع خزان حراري لمدة طويلة وكافية من الزمن ، بذلك فإن جملة معزولة كبيرة ستصل بعد فترة من الزمن مهما طالب الى حالة التوازن الترموديناميكي . نحن نعلم من دراستنا السابقة أنه في

تلك الظروف تسلك الجملة سلوكا بسيطا متناسقا بحيث يمكننا
الاجابة على العديد من الاسئلة العملية والمهمة المتعلقة بالجملة
دون معرفة مفصلة بالحركة الفردية لجسيماتها .

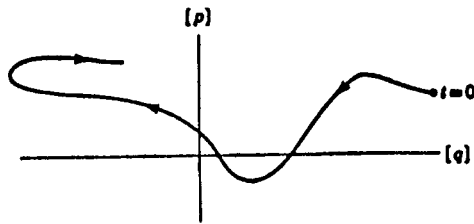
ان تطور جملة مفردة مؤلفة من N ذرة خلال الوقت يكون معلوما
اذا عرفنا قيم $6N$ من الاحداثيات ودفع معمم q و p كمقادير
متغيرة تابعة للزمن . ويمكن تمثيل هذا التطور هندسيا بمسار
مفرد في فراغ p و q ذي $6N$ بعدا . نسمي هذا الفراغ (q, p)
فراغ الطور Γ للجملة . في الشكل (10.1) تمثل الرموز $[p]$ و
 $[q]$ المحاور $3N$ للدفع والمحاور $3N$ للاحداثيات المعممة
على الترتيب . في بعض الاحيان يستخدم فراغ طور سداسي الابعاد
ليمثل حركة جسيمة مفردة ، هذا الفراغ الذي يرمز له عادة بالرمز
 μ ويسمى فراغ الطور μ هو الذي عيناه في الفقرة 4.2 حين
بحثنا الاحصاءات الاولى وبشكل خاص احصاء ماكسويل - بولتزمان
الا أننا فيما يلي سنخضع دوما الفراغ Γ بمناقشاتنا اللاحقة .

ان المقادير الفيزيائية التي تهمننا معرفتها لجملة في
حالة توازن ترموديناميكي تكون في معظمها عادة متوسطات زمنية
(متوسط بالنسبة للزمن) نأخذها خلال فترة من الزمن ملائمة وذلك
على طول جزء من مسار الجملة في فراغ الطور . فمثلا قياس الضغط
أو الطواعية المغناطيسية يتم خلال فترات زمنية يحدث اثناءها عدد
هاثل من التصادمات الذرية أو اهتزازات جسيمات الجملة .

نحن نعلم بالتجربة أن اعادة مثل هذه القياسات في وقت لاحق
ستعطينا نفس النتائج الاولى شرط ان تبقى الشروط الخارجية دون تغيير،

شرط مثلا ان لا يتغير عدد جسيمات الجملة وأن تبقى طاقتها ممانسة .
 بدلا من مصونية طاقتها بدقة يكفي أن نحافظ على درجة حرارتها
 ثابتة . ان المبدأ التجريبي بأن ضغط كمية محددة من غاز ما عند
 درجة حرارة ثابتة يبقى هو نفسه اذا قيس في العام ١٩٩٠ أوفي العام
 ٢٠٠٠ يمثل فرضية أن الجملة مستقرة خلال متوسط زمني ملائم وذلك على
 المسار الحركي للجملة في فراغ الطور . ان المتوسط الزمني هذا
 يمكن أن نأخذه على فترة زمنية قد تكون قصيرة جدا : ميلي ثانية،
 ثوان ، ساعات وذلك وفقا لمتطلبات أجهزة القياس والجملة المدروسة .

من الصعب أن نستخدم طرقا رياضية لنحسب المتوسط الزمني الذي
 يهمنا ، اضافة الى ان الجمل المعقدة التي نتعامل معها تبدو
 وكأنها "تليخبط" نفسها (تسلك في داخلها سلوكا عشوائيا) بين فترات
 الملاحظة الا اذا تمت الملاحظات بعد فترة من الوقت اطول من
 زمن مميز للجملة يسمى زمن الاسترخاء . يحدد زمن الاسترخاء هذا
 بشكل تقريبي الزمن اللازم انقضائه كي تتخامد ترجحات خصائص
 الجملة المدروسة (الترجحات التلقائية أو الترجحات المنتظمة) .

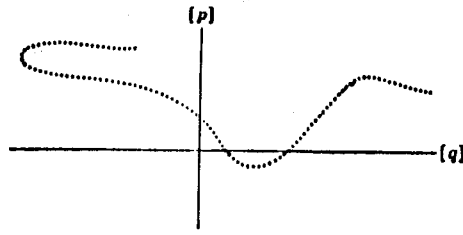


الشكل (10.1) مسار جملة في فراغ الطور

لقد قام العالم الفيزيائي النمساوي جيبس J. Willard Gibbs بتقدم كبير في مسألة حساب القيم الوسطى للمقادير الفيزيائية ، فاقترح انه بدلا من أخذ متوسطات بالنسبة للزمن يمكننا ان نتصور مجموعة من جمل متشابهة موزعة عشوائيا بصورة مناسبة suitably randomized - وناخذ المتوسطات على هذه المجموعة من الجمل في زمن واحد . تسمى مجموعة الجمل المتشابهة هذه " طاقما من الجمل " ensemble of systems ويجب أن ننظر اليه كتركيب فكري يحاكي ويمثل في وقت واحد خصائص الجملة الفعلية عندما تتطور خلال الزمن . كلمة طاقم استخدمناها هنا كترجمة لكلمة ensemble والتي لها معنى خاص في الميكانيك الاحصائي قد لا يقره معظم اللغويين .

يتألف الطاقم من عدد كبير جدا من الجمل التي يتشابه جميعها في التركيب بقدر ما نعلم نحن عن هذا التركيب . كل جملة في الطاقم تمثل نسخة طبق الأصل عن الجملة الفعلية . وينتج عن عملية الانشاء للطاقم ان كل جملة فيه تخضع لنفس الشروط الخارجية المطبقة على الجملة الفعلية . الطاقم " عشوائي بشكل مناسب " بمفهوم ان كل كل توزع نسبي للاحداثيات والسرع ممكن للجملة الفعلية خلال الزمن ممثل " في الطاقم بجملة أو أكثر في نفس اللحظة من الزمن يقال عندها : ان الطاقم يمثل الجملة .

يوضح الشكل (10.2) قسما صغيرا من طاقم . يمثل هذا القسم المبين في الشكل ، جمل الطاقم عند لحظة واحدة . من الوقت ، مسار الجملة الفعلية خلال فترة من الزمن والمبين في الشكل (10.1) .



جزء من الطاقم ، يمثل الجزء المبين هنا الجزء المبين في الشكل (10.1) من المسار . توافق كل نقطة جملة من جمل الطاقم . في الطاقم الحقيقي تتوزع الجمل عادة بشكل مستمر على طول المسار أو بقربه .

الشكل رقم (10.2)

كل نقطة في الشكل (10.2) تمثل جملة من الطاقم . الطاقم الكلي سيكون أكبر بكثير جدا وأكثر تعقيدا من هذا الجزء الصغير المبين في الشكل .

تكمّن فكرة المخطط الذي ابتدعه جيبس بأننا نستعيض عن القيم الوسطى خلال الزمن لجملة واحدة ، بمتوسطات على طاقم هي متوسطات عند زمن معين مأخوذ لجميع الجمل الموجودة في الطاقم .

يوافق متوسط الطاقم تمثيلا واقعيًا أفضل للحالة الفعلية للجملة من ذلك المأخوذ على متوسط بالنسبة للزمن، فنحن لانعلم حقا الشروط البدائية لجملة وبالتالي لانعلم كيف نأخذ المتوسط الزمني . يصف متوسط الطاقم اذا جهلنا بصورة مناسبة .

مغللتنا التالية ستكون في معرفة كيف نركب الطواقم المناسبة اذا كانت الجملة الممثلة بطاقم في حالة توازن حراري فاننا سنطلب الشرط في ان تكون متوسطات الطاقم مستقلة عن الزمن . وهذا شرط معقول . فالقيم الوسطى للخصائص الفيزيائية الماكروسكوبية

لجملة في حالة توازن حراري لا تتغير خلال الزمن ولهذا يجب أن يكون الطاقم الممثل للجملة بحيث أن متوسطات الطاقم لاتتعلق باللحظة الزمنية التي يتم عندها أخذ هذه المتوسطات . تسمى متوسطات الطاقم أحيانا المتوسطات الحرارية .

10.3 - نظرية ليوفيل :

يمكن ان يتحدد الطاقم بأن نأخذ عدد الجمل

$$D(q,p) dq dp \quad (10.6)$$

في عنصر الحجم $dq dp$ من فراغ الطور . ويكون لدينا من أجل N جسيمة :

$$dp = dp_1 dp_2 \dots dp_{3N} \quad (10.7)$$

$$dq = dq_1 dq_2 \dots dq_{3N}$$

أي أننا نعين الطاقم باعطاء كثافة الجمل في فراغ الطور Γ . فنقول عندها ان الجمل ممثلة بالمفهوم الاحصائي بوساطة الطاقم $D(p,q)$ - عدد جمل الطاقم في واحدة الحجم من فراغ الطور Γ -

وبصورة موافقة لما ذكرناه آنفا نعرف متوسط الطاقم لكمية

بالعلاقة : $A(q,p)$

$$\bar{A} = \frac{\int A(q,p) D(q,p) dq dp}{\int D(p,q) dq dp} \quad (10.8)$$

ولما كان الطاقم يمثل سلوك الجملة الفيزيائية فان متوسط
الطاقم لكمية يعطينا القيمة الوسطى للكمية الفيزيائية الفعلية .
ان أحد الشروط التي يجب ان يحققها الطاقم كي يمثل جملة في
حالة توازن احصائي هو أن يكون تركيب الطاقم مستقل عن الزمن
أي $\partial D / \partial t$ يجب ان يكون مساويا للصفر .

لنفحص عن قرب مقتضيات هذه الشروط. أولا اذا كان عدد جمل
الطاقم لا يتغير خلال الزمن ، فان التابع D يجب ان يحقق معادلة
الاستمرار المعروفة :

$$\frac{\partial D}{\partial t} + \text{div} (DV) = 0$$

التي تعبر فقط على ان ما ينساب الى داخل عنصر الحجم اما
ان يخرج منه ثانية او يبقى داخل العنصر. وحيث V تمثل السرعة
و div مؤثر التفرق في فراغ الطور ذي $6N$ بعدا . بتطبيق
مؤثر التفرق تصبح معادلة الاستمرار على الشكل :

$$\frac{\partial D}{\partial t} + \sum_{i=1}^{3N} \left[\frac{\partial}{\partial q_i} (D \dot{q}_i) + \frac{\partial}{\partial p_i} (D \dot{p}_i) \right] = 0$$

أو :

$$\frac{\partial D}{\partial t} + \sum_i \frac{\partial D}{\partial q_i} \dot{q}_i + \frac{\partial D}{\partial p_i} \dot{p}_i + D \left(\frac{\partial}{\partial q_i} \dot{q}_i + \frac{\partial}{\partial p_i} \dot{p}_i \right) = 0$$

مابين قوسين معدوم بالمطابقة : باستخدام معادلات هاملتون

(10.9) يكون :

$$\frac{\partial}{\partial q_i} \dot{q}_i + \frac{\partial}{\partial p_i} \dot{p}_i = \frac{\partial}{\partial q_i} \frac{\partial H}{\partial p_i} - \frac{\partial}{\partial p_i} \frac{\partial H}{\partial q_i} = 0 \quad (10.10)$$

لان :

$$\frac{\partial^2 H}{\partial q_i \partial p_i} = \frac{\partial^2 H}{\partial p_i \partial q_i}$$

من المعادلتين (10.9) و (10.10) نحصل على نظرية ليوفيل

الشهيرة :

$$\frac{\partial D}{\partial t} + \sum \left[\frac{\partial D}{\partial q_i} \dot{q}_i + \frac{\partial D}{\partial p_i} \dot{p}_i \right] = \frac{dD}{dt} = 0 \quad (10.11)$$

حيث $\frac{dD}{dt}$ تفاضل تام .

تعتبر هذه النتيجة عن أن الكثافة في فراغ الطور لا تتغير بل تبقى ثابتة عندما ننتقل على مسار ما في هذا الفراغ . ولهذه النظرية أهمية قصوى في الميكانيك الاحصائي . ونلاحظ أن وصولنا ببساطة الى هذه النتيجة تقوم - من خلال المعادلة (10.10) -

على اختيارنا أن فراغ الطور قائم على تركيب فراغ الاحداثيات مع فراغ الدفع (كميات الحركة) . ولهذا السبب نستخدم الاحداثيات المعممة مع الدفع المعممة في هذه النظرية علما أنه في بعض المسائل قد يستخدم فراغ السرعة مع فراغ الاحداثيات الا أنه لن يكون ذي نفع بشكل عام .

لقد تطلبنا أن يكون الطاقم الممثل لجملة فيزيائية في حالة توازن بحيث ينعدم تابع الكثافة (q/p) D ، وبالتعويض في العلاقة (10.11) نجد :

$$\sum_{i=1}^{3N} \left(-\frac{\partial D}{\partial q_i} \dot{q}_i + \frac{\partial D}{\partial p_i} \dot{p}_i \right) = 0$$

$$\vec{V} \cdot \vec{\text{grad}} D = 0 \quad \text{أو :} \quad (10.12)$$

أي أن الجملة تتحرك على سطح سوية: ثابت D
 أن أبسط طريقة في إقامة طاقم توازن هو أن نجعل D منـدء
 البدء موزعة بصورة منتظمة على كل فراغ الطور فيساوي عندها كل
 من $\frac{\partial D}{\partial q_i}$ و $\frac{\partial D}{\partial p_i}$ الصفر ، ويصبح الطاقم المنتظم دائما .

ان شرطا أكثر عمومية من أجل التوازن الاحصائي هو أن نأخذ
 D كتابع فقط لكمية ماتكون ثابتة حركة للجملة كالطاقة . لنرمز
 لهذه الكمية بالرمز α كثابتة حركة وبحيث $\frac{\partial \alpha}{\partial t} = 0$. ولكن
 إذا كانت (q, p) α ثابتة حركة فإن الجملة تتحرك على السطح
 ثابت $\alpha =$ ولما كان اختيارنا لـ D بحيث يكون تابعا فقط لـ α
 فهذا يقتضي أن الجملة تتحرك على السطح : ثابت $D =$ وهكذا فالعلاقة
 (10.12) تكون محققة ويكون $\frac{\partial D}{\partial t} = 0$ محققا لنظرية ليوفيل . إذا
 كان $\frac{\partial \alpha}{\partial t} = 0$ فالتابع $D(\alpha)$ يصف طاقما باقيا بصورة دائمة .
 أن الطواقم التي سنعتبرها في كتابنا هذا ستكون توابع للطاقة .

10.3.A - مثال على حساب متوسط الطاقم ومتوسط الجملة

لنعتبر جملة مؤلفة من N جسيمة . أن متوسط الجملة
 بالنسبة للاحداثي x للجسيمات يساوي :

$$\bar{x} = \frac{1}{N} \sum_{i=1}^N x_i \quad (10.13)$$

إذا كان الجملة β تنتمي الى طاقم، فان :

$$\bar{x}^\beta = \frac{1}{N} \sum_{i=1}^N x_i^\beta \quad (10.14)$$

يمثل متوسط الجملة للجملة β من الطاقم . ويكون متوسط

الطاقم من أجل طاقم مؤلف من L جملة مساويا :

$$\bar{x} = \frac{1}{L} \sum_{\beta=1}^L \bar{x}^\beta = \frac{1}{LN} \sum_{\beta=1}^L \sum_{i=1}^N x_i^\beta \quad (10.15)$$

وباستخدام اصطلاحات المعادلة (10.8) يكون متوسط الطاقم

مساويا :

$$\bar{x} = \frac{\int D(q,p) x \, dq \, dp}{\int D(q,p) \, dq \, dp} \quad (10.16)$$

حيث x تمثل متوسط الاحداثي x لجملة ويساوي :

$$x = \frac{1}{N} \sum_{i=1}^N x_i(q) \quad (10.17)$$

10.3.B - كثافة احتمال الطاقم :

يمكننا أخيرا ادخال مفهوم كثافة الاحتمال لجمال في فراغ

الطور (q, p) على الشكل :

$$\rho(q,p) = \frac{D(q,p)}{\int D(q,p) \, dq \, dp} \quad (10.18)$$

أي :

$$\rho = \frac{D}{N_t} \quad (10.19)$$

حيث N_t هو العدد الكلي للجمل في الطاقم المعتبر . ويجب تنظيم كثافة الاحتمال هذه الى الواحد :

$$\int \rho \, dq \, dp = 1 \quad (10.20)$$

حيث يمتد التكامل على فراغ الطور بعد الاخذ بعين الاعتبار القيود المفروضة على الجملة .

10.4 - الطواقم والحد الترموديناميكي :

يسمح الميكانيك الاحصائي استنادا الى ماسبق بادخال أنواع متعددة من الطواقم، وحيث نستطيع استخراج مختلف المقادير الترموديناميكية باستخدام أي من هذه الطواقم . هذه المقادير الترموديناميكية لجملة ما يجب أن تكون متطابقة مهما كان الطاقم الذي نعتبره .

هذه الحقائق تحدد وجود بعض القيود المفروضة على طبيعة التأثيرات المتبادلة بين العناصر بأن الجملة المدروسة يجب أن تؤخذ كبيرة بشكل كاف أي $N \rightarrow \infty$ و $V \rightarrow \infty$ مع الإبقاء على الكثافة N/V ثابتة. يعرف هذا الحد باسم الحد الترموديناميكي.

ان الحاجة الى أخذ الحد الترموديناميكي بعين الاعتبار هو ذو حدين : فهو من جهة يكفل تجانس الجملة أو بقول آخر يبطئ تأثير الحدود المتاخمة لها . كما يمكننا من جهة ثانية الحصول

على قيمة مفردة " لتابع التعاضد " ، وبالتالي نحصل على قيم وحيدة للكميات الترموديناميكية الخاصة بالجملة المدروسة .

10.5 - توزيع التوزيع في فراغ الطور Γ :

درسنا في الفصول السابقة توابع التوزع للجزيئات وكذلك بالنسبة للجسيمات متعددة الجزيئات في الغازات ، نعمم في الميكانيك الاحصائي هذه التوابع لنحصل على توابع توزع من أجل جمــــــــــــل ترموديناميكية كاملة Complete .

ان حالة مجهرية microstate مالمجمله (غاز من N جسيمه مثلاً، $S=3$) يمكن تحديدها باختيارنا $6N$ قيمة هـي لاحداثيات الموضع والدفع . فيكون تابع التوزع هو كثافة الاحتمال في ان تكون للمجمله هذه القيم. وبالصورة الهندسية يمكننا القول ان منطقه (region) في فراغ الطور ذي $6N$ بعداً تمثل حالة مجهرية للمجمله ، والنقطه الممثله للمجمله تمر عبر كل الحالات المجهرية المسموح بها وفق حالتها الترموديناميكية ، وان الجزء Δt من الوقت الذي تصرفه نقطه المجمله System point (أو النقطه الطورية الممثله للمجمله) في منطقه ما من فراغ الطور ، أي في احدى الحالات المجهرية ، يتناسب مع تابع التوزع الموافق للحاله الترموديناميكية ، وبقول آخر ان اختيارا لحاله ترموديناميكية معينه (ماكروسكوبية) يوافق اختيار لتابع توزع خاص والعكس بالعكس . ويؤكد الافتراض الاساسي في الفيزياء الاحصائية، مبدأ تساوي الاحتمال، الذي ينص على ان جميع الحالات المجهرية الممكنة متساوية الفرص في الحدوث ، أن Δt تكون ثابتة لجميع الحالات المجهرية الممكنة .

استنادا الى الميكانيك الكلاسيكي وبالنسبة لجملة ذات $\emptyset = 3N$

درجة حرية يكون $dV_p = \prod_i dp_i$, $dV_q = \prod_i dq_i$ حيث $\rho(q,p) dV_q dV_p$ هو الاحتمال في أن تكون النقطة الطورية الممثلة للجملة ضمن عنصر الحجم الطوري $dV_q dV_p$ في الموضع $q_1, q_2, \dots, q_{\emptyset}, p_1, p_2, \dots, p_{\emptyset}$ في أية لحظة اختيارية نختارها .

وبشكل أعم يمثل تابع التوزع كثافة الاحتمال ليس من أجل جملة واحدة وانما من أجل جميع جمل الطاقم . ان طواقم مختلفة تمثل حالات ترموديناميكية مختلفة لها انشغالات (أعداد انشغال) مختلفة للحالات المجهرية لها . يقيس تابع التوزع للحالة الماكروسكوبية العدد النسبي للجمال في الطاقم التي هي في حالة مجهرية معطاة وذلك عند أية لحظة .

لكل جملة في الطاقم \emptyset احداثي q_i و \emptyset دفع (أو كمية حركة) p_i . فالتابع الهاملتوني $H(p, q)$ الذي يعين طاقة الجملة يكون مساويا لمجموع التوابع الهاملتونية الجزئية لكل جزيئة في الجملة . وهو يمثل الطاقة الكلية للجملة ، الحركية والكامنة ، حيث يعبر عنها بتوابع لـ $2\emptyset$ احداثي ودفع معممين . ولما كانت كل جملة في الطاقم معزولة عن كل الاخرى ، فان قياس H لكل جملة سيكون مستقلا عن الزمن مع أن مختلف قيم p و q لكل جملة ستتغير خلال الزمن وذلك عندما تتحرك الجزيئات الموهلفة للجملة حول بعضها وتتأثر (أو تتفاعل) فيما بينها . ان قيم p و q في لحظة معطاة تعين الموضع في فراغ الطور لآية نقطة تمثل الجملة وبالتالي فان موضع نقطة الجملة في هذا الفراغ الذي له $2\emptyset$ مين الابعاد يحدد الوضع النسبي configuration والسرية لكل جزء

من الجملة ، اذا الموضع والدفع لكل ذرة عند تلك اللحظة .

اذا كل حالة ماكروسكوبية " ترموديناميكية " لجملة يمكن ان

نمثلها بطاقم من جمل في حالات مجهرية متنوعة أو يمكن تمثيلها كميابعبارات توابع

التوزع سواء بالاحتمال الترموديناميكي p_i لجملة مختارة من الطاقم في

حالة كوانتية $i=i_1, i_2, \dots, i_0$ أو بكثافة الاحتمال $\rho(q, p)$

للنقطة الطورية الممثلة للجملة ذات الاحداثيات q_1, q_2, \dots, q_0 ، وذلك

اذا كانت الحالة الماكروسكوبية بحيث يمكن تطبيق الميكانيك

الكلاسيكي عليها .

وهكذا فان طاقم جمل يمكن تمثيله بحشد من نقاط الجمل في

فراغ الطور . تتحرك كل نقطة بسرعة تتعين استنادا الى معادلات

هاملتون (10.6) :

$$\frac{dq_i}{dt} = \frac{\partial H}{\partial p_i}, \quad \frac{dp_i}{dt} = - \frac{\partial H}{\partial q_i}, \quad i=1, 2, \dots, 0$$

تتناسب سرعة كل نقطة اذا مع تدرج H . أما كثافة النقاط في

اية منطقة من فراغ الطور فتكون متناسبة مع قيمة تابع التوزع

$\rho(p, q)$ في هذه المنطقة .

سنعالج فيما بعد أنواعا عديدة مختلفة لتوابع التوزع الموافقة

لخصائص مختلفة تتعلق بالحالة الترموديناميكية للجملة المدروسة ،

وأبسط هذه التوابع هي تلك التي تكون قيمتها معروفة في كل

مكان من فراغ الطور ماعدا نقاط سطح الطاقة المعمم hypersurface

والموافق لـ $H(q, p) = U$ حيث U ثابت ، تابع التوزع

الاحتمالي الموافق يسمى بالتوزع الميكروكانوني . وعندما تكون

الكثافة ρ متناسبة مع $e^{-H(q,p)/KT}$ يسمى تابع التوزيع الاحتمالي الموافق بالتوزيع القانوني . وهناك توزيعات أخرى أكثر تعقيدا في ارتباطها مع H سندرسها في حينها . ولكن لكي تمثل أي من هذه التوزيعات حالات ماكروسكوبية ترموديناميكية حقيقية ، يجب ان نفترض علاقة تربط بين تابع التوزيع لاي طاقم والخصائص الترموديناميكية للحالة الماكروسكوبية التي يفترض أن الطاقم يمثلها . ويبدو ان العلاقة المناسبة في ختام المطاف هي بين أنتروبية الحالة الماكروسكوبية وتابع التوزيع للطاقم الموافق .

10.6 - الحالات الكوانتية وفراغ الطور Γ :

قبل التطرق الى العلاقة بين الطواقم وانتروبية الحالات الترموديناميكية (الماكروسكوبية) يجب أن نبين التعديلات التي تدخلها النظرية الكوانتية في المفاهيم التي عالجناها حتى الآن (قارن ذلك مع مايخص جسيمة كماورد في الفقرة 5.8) .

آ - بدلا من معادلات هاميلتون الكلاسيكية :

$$-\frac{\partial H}{\partial q} = \frac{dp}{dt}, \quad \frac{\partial H}{\partial p} = \frac{dq}{dt}$$

نأخذ معادلة شرودينغر في الميكانيك الكوانتي .

$$H\psi = i\hbar \frac{\partial \psi}{\partial t}$$

حيث H المؤثر الهاملتوني و $\psi(q_1, q_2, \dots, q_n)$ تابع

$$\text{الموجة، } \hbar = \frac{h}{2\pi}$$

ب - يستعاض عن كل التكاملات الكلاسيكية التي من الشكل

$$\int A(q,p) d\Gamma \quad \text{بعلاقات مجموع } \sum_i A_i \quad \text{على جميع}$$

الحالات الخاصة i .

جـ - الفرضية الكلاسيكية بأن لكل المناطق في فراغ الطور Γ نفس الاحتمال في ان تشغلها الجملة يستعاض عنها في الاحصاءات الكوانتية بأن لكل الحالات الكوانتية التي يمكن أن تشغلها الجملة نفس الاحتمال . وأن هناك قيما محددة لطاقة الجملة يسمح بها .

د - ان تابع التوزع من أجل حالة توازن ما هو تابع لـ U وبالتالي تابع لـ \emptyset عدد كوانتي $i_1, i_2, \dots, i_{\emptyset}$ بدلا من تابعيته لـ $H(q, p)$ الذي بدوره تابع لـ \emptyset 2 متحول مستمر $q_1, q_2, \dots, q_{\emptyset}, p_1, p_2, \dots, p_{\emptyset}$ كما هو الحال في الميكانيك الكلاسيكي . هـ - تخضع الاحداثيات الكلاسيكية المعممة q_i والدفعات المعممة p_i الى مبدأ الشك لهايزنبرغ من أجل الحالات الكوانتية وفقا للعلاقة $\Delta q_i \cdot \Delta p_i \geq h$ ويكافئ ذلك قولنا انه في فراغ طور ذي بعد واحد تشغل حالة كوانتية واحدة حجما $\Delta q_i \cdot \Delta p_i$ يساوي h . وهكذا يوافق عنصر حجم $dq_i \cdot dp_i$ في المتوسط $\frac{dq_i dp_i}{h}$ حالة كوانتية . وبشكل عام من أجل جملة لها \emptyset درجة حرية يوافق عنصر الحجم $dq_1 \dots dp_{\emptyset}$ في المتراط $\frac{dq_1 \dots dp_{\emptyset}}{h^{\emptyset}}$ حالة كوانتية . أي عندما يكون للجملة \emptyset درجة حرية فيمكننا القول :

$$(10.21) \quad \text{عدد الحالات المجهرية} = \frac{1}{h^{\emptyset}} \cdot (\text{حجم فراغ الطور})$$

حيث h ثابتة بلانك .

عندما يكون حجم فراغ الطور Γ ، الذي يحتوي على حشد نقاط الجمل الممثلة لطاغم معين ، كبيرا جدا ، المقارنة مع h^{\emptyset}

فانه يمكننا أن نستخدم التمثيل الكلاسيكي بدلالة المتحولات المستمرة p_0, \dots, q_1 ، ولكن عندما يكون الحجم الذي يحتوي هذا الحشد من النقاط ليس كبيراً بالمقارنة مع h^0 فإن التمثيل الكلاسيكي لن يكون مرجحاً في تطبيقه وسنحتاج عندها إلى التمثيل الكوانتي (انظر العلاقة Z للتمثيل القانوني ومايليها) .

10.7 - الانتروبية وطواقم جيبس " Ensembles " :

10.7.A - الانتروبية والمعلومات :

ان الفرضية الأساسية التي تربط تابع التوزع بالخصائص الترموديناميكية لحالة ماكروسكوبية يمثلها الطاقم طرحت أولاً من قبل بولتزمان وأعيد طرحها بشكل أعم من قبل بلانك . ان الشكل الملائم لفرضنا هنا تربط تابع التوزع p_i بالانتروبيته S وفق العلاقة (4.1.a) أي :

$$\left. \begin{aligned} S &= -K \sum_i p_i \ln p_i \\ \sum_i p_i &= 1 \end{aligned} \right\} \quad (10.22)$$

حيث K ثابتة بولتزمان والمجموع هو على جميع الحالات الكوانتية الموجودة في الطاقم (أي من أجل p_i يختلف عن الصفر) .

العلاقة المذكورة هذه تحقق فرضيات سابقة في أن S تمثّل قياساً لدرجة عدم انتظام الجملة (انظر الفقرة 4.2) أو فوضى الجملة . ان جملة بحيث تكون بالتاكيد في حالتها الكوانتية

المفردة الأكثر انخفاضاً هي جملة في انتظام كامل ، وبالتالي فإن انتروبيتها يجب أن تكون معدومة . وسيكون تابع التوزيع p_i لجملة كهذه من أجل أخفض حالة كوانتية يساوي الواحد ويساوي الصفر — فيما عدا ذلك . ولما كان $\ln(1) = 0$ و $x \ln x \rightarrow 0$ عندما $x \rightarrow 0$ فإن المجموع في الطرف الأيمن من المعادلة (10.22) يكون مساوياً الصفر في هذه الحالة وهذا يوافق نظرية نرنست . من ناحية أخرى إن جملة غير منتظمة يمكنها أن توجد بنفس الاحتمال في أي — من حالاتها الكوانتية المختلفة ؛ فكلما ازداد عدد الحالات التي للجملة أن تشغلها ازداد عدم انتظامها . إذا كان $p_i = \frac{1}{N}$ من أجل N حالة مجهرية مختلفة (ولنسمها $i=1,2,\dots,N$) وإذا كان P_i يساوي الصفر من أجل مختلف الحالات الأخرى يكون :

$$S = -K \sum_{i=1}^N \frac{1}{N} \ln \frac{1}{N} = K \ln N \quad (10.23)$$

حيث N تمثل إذا عدد الحالات الكوانتية التي يمكن للجملة أن تشغلها ونلاحظ أن الانتروبية الإحصائية هذه تزداد بتزايد N . هذه العلاقة (10.23) تماماً كالعلاقة (10.22) تسمح لنا بتحديد تصوراتنا للسلوك الذي ينبغي أن تسلكه أنتروبية جملة ، إضافة إلى أنها تتيح لنا الفرصة في أن تكون أكثر دقة فيما يخص عدم الانتظام . في الواقع إن الفوضى disorder أو عدم الانتظام بالمفهوم الذي استخدمناه يلحظ ضمناً لافتقارنا إلى معرفة الحالة الدقيقة للجملة . فالجملة غير المنتظمة هي جملة نفتقر إلى معرفة كاملة بها . إن المعادلة (10.22) تمثل نقطة البدء في تطوير شانون Shannon للنظرية المعلوماتية التي أشرنا إليها في

الفقرة 4.2 وهي ستسهم في فهم أفضل لمعنى الانتروبية كما أعطيت
بالعلاقة (10.22) .

10.7.B - النظرية المعلوماتية :

يعطينا مقياس سوية البنزين ذو المؤشر والتدريج
معلومات أفضل عن حالة خزان البنزين لسيارة عنه في حالة الضوء
الأحمر الذي يضيء عندما يكاد الخزان أن يفرغ من البنزين . ولكن
بكم أكثر ؟

المعلومات تصل إلينا عن طريق رسائل . ولكي نُبلغ معلومة ما ،
كل رسالة ينبغي أن تخبرنا بشي جديد ، أي شيء ليس متوقعا بصورة
كلية . فإذا كان هناك N رسالة ممكنة يمكن استلامها . وإذا كان
الاحتمال في أن تكون الرسالة i هي المرسله هو p_i فإن المعلومة I
التي سنحصل عليها إذا استلمت الرسالة i يجب أن تكون تابعا $I(p_i)$
والذي يتزايد بتزايد $1/p_i$ كلما قل كون الرسالة مرجحة ، كلما
تبلغ المعلومة كبيرا إذا أرسلت الرسالة .

يمكن أن نبين مباشرة أن التابع $I(p_i)$ يجب أن يكون كما
تتطلب المعلومات تابعا جمعيا : فإذا تلقينا رسالتين وكانتا
مستقلتين عن بعضهما فإن المعلومات التي تصلنا ستكون مجموع
المعلومات لكل رسالة فردية . فإذا كان احتمال الرسالة i هو p_i
وا احتمال الرسالة j هو p_j ان كانتا مستقلتين ، فإن قاعدة جداء
الاحتمالات المشروطة (1,3,D) تقتضي ان الاحتمال في أن تكون الرسالتان
قد أرسلتا معا هو $p_i p_j$ عندها يقتضي المطلب الجمعي للمعلومات
أن $I(p_i p_j) = I(p_i) + I(p_j)$ وهذه بدورها تتطلب أن يكون

التابع I تابعا لوغاريتميا لـ p_i أي $I(p_i) = -\ln p_i$ حيث C ثابتة .

هذه العلاقة الاخيرة تمثل التعريف الاساسي للنظرية المعلوماتية .
ولما كان $0 < p_i \leq 1$ فان I تكون موجبة وتزداد بتزايد $1/p_i$ كما هو مطلوب .

هذا التعريف يرضي تصوراتنا عن كيفية سلوك المعلومات. فمثلا اذا استلمنا رسالة متوقعة بشكل كلي أو اكيد (أي احتمالها يساوي الواحد) فاننا لانتلقى بذلك أية معلومات (جديدة) ويكون I معدوما . كلما قل كون الرسالة مرجحة (أو منتظرة) (وكلما صغر p_i) عظمت كمية المعلومات المبلغة اذا حدث وأرسلت الرسالة .
اذا كان حظ أن يكون الضوء الاحمر منطفئا (مبينا أن الخزان ليس فارغا تقريبا) هو 0.9 فان المعلومة المبلغة عن طريق الواقع في أن الضوء الاحمر ليس مضيئا هي كمية معلوماتية صغيرة تساوي $c \ln 0.9 \approx -0.1 c$. من ناحية أخرى اذا كان المقياس ذا موءشر وتدرج متساوي التقسيم بخمس اشارات ، فان المعلومة المبلغة بلحظة عين على المقياس تكون $c \ln 5 \approx 1.6 c$ أي 16 مرة تقريبا من المعلومة المبلغة بضوء التحذير غير المضيء (المعلومة المرسله عن طريق ضوء التحذير المضيء تكون بالمقابل $c \ln 10 \approx 2.3 c$ اي بمقدار اكبر) .

لكي نبين كيف ترتبط هذه التعاريف بمناقشتنا حول المعلومات والجمال غير المنتظمة لنعود ثانية الى طاقم (ensemble) يوافق حالة ترموديناميكية مثله تابع توزيع p_i . اذا أردنا أن نعبر

بالضبط في أية حالة مجهرية توجد الجملة وذلك في أية لحظة ،
 فاننا يجب ان نخضعها لقياسات تجريبية تهدف لاخبارنا بذلك .
 ان نتائج التجربة ستكون نوعا من الرسالة الينا تعطينا معلومات
 فاذا أعطت القياسات أن الجملة هي في الحالة المجهرية i فإن
 المعلومة التي نحصل عليها بالقياس ستكون $-\ln p_i$ - حيث تكون
 p_i هي احتمال ان تقع الجملة في الحالة i . بالطبع نحن لانستطيع
 أن نجري فحصا كافيا ومفصلا لكي نعين بالضبط ماهي الحالة المجهرية
 التي يمكن أن تشغلها جملة معقدة التركيب ولن نرغب في فعل ذلك حتى
 ولو استطعناه . ولكن يمكننا استخدام كمية المعلومات المتوقعة
 التي يمكن أن "نحصل" عليها اذا جعلنا الفحص كقياس لمدى نقص
 معرفتنا الحالي للجملة ، أي لفوضى الجملة .

ان الكمية المتوقعة من المعلومات التي سنحصل عليها اذا فحصنا
 الجملة بالتفصيل تساوي وسطي الوزن $-\ln p_i$ على كل الحالات
 الكوانتية i في الطاقم . ومعامل الوزن weighting factor
 هو الاحتمال p_i في تلقي الرسالة بأن الجملة هي في الحالة
 i وهذا يساوي المجموع :

$$-c \sum_i p_i \ln p_i = \left(\frac{c}{k} \right) S$$

استنادا الى المعادلة (10 . 2) . وهكذا فالانتروبية S تتناسب
 مع نقص في معلوماتنا المفصلة المتعلقة بالجملة عندما تكون
 في الحالة الترموديناميكية الموافقة لتابع التوزع p_i . كلما
 قلت معرفتنا بالجملة ، كان عدد الحالات المجهرية التي يمكن للجملة
 أن تشغلها كبيرا وازدادت الانتروبية . هنا أيضا توافق المعادلة
 (10 . 2) الى تصوراتنا بخصوص انتروبية جملة ما .

نحن لانريد في الواقع أن نستخدم الفرضية المغطاة بالعلاقة (10.23) كي نحسب انتروبية حالة ترموديناميكية عندما نعلم تابع توزيعها ، انما نريد أن نستخدم العلاقة (10.22) كي " نجد " تابع التوزيع لحالات ترموديناميكية محددة، وعلى الاخص تلك الخاصة بحالات التوازن . ولكي نقوم بذلك نستخدم أحد أشكال المبدأ الثاني، لقد بينا في مناقشتنا السابقة للانتروبية (فقرة 4.2) أنه من أجل جملة معزولة فان الانتروبية S تميل للزيادة حتى تأخذ عند التوازن أكبر قيمة يمكن أن تأخذها بوجود القيود المطبقة على الجملة . فاذا كان المجموع في المعادلة (10.22) يوافق الى الانتروبية، معرفة حسب المبدأ الثاني ، فانها يجب أيضا - مع خضوعها للقيود المذكورة- أن تكون أعظمية من أجل حالة التوازن . هذه المتطلبات ستخدمنا في تعيين شكل تابع للتوزيع تماما كمتحدد معادلة الموجة بالإضافة الى الشروط الحدية شكل وتر مهتر .

لنبين كيف يتم ذلك نفترض في البدء أنه لا توجد قيود على تابع التوزيع p_i سوى قيد التنظيم $\sum_i p_i = 1$ ، وأن عدد الحالات المجهرية في النظام ممثلة بالتابع p_i والذي هو عدد منته (finite) وبالتالي فان العدد الكوانتي i يمكن أن يأخذ القيم $i=1,2,\dots,W$ حيث W هو عدد صحيح منته . عندها تكون مسألتنا هي في إيجاد قيمة كل من التوابع p_i بحيث يكون :

$$\sum_{i=1}^W p_i = 1 \quad S = -K \sum_{i=1}^W p_i \ln p_i \quad (10.24) \quad \text{أعظميا وخاضعا للشرط}$$

calculus

وهذه مسألة سهلة الحل في حساب المتغيرات

of variation والتي يمكن حلها باستخدام مضاريب لاغرانج ، ولكي

نبين كيف تعمل هذه المضاريب في حالتنا هذه سنقوم أولا بحل هذه

المسألة بالحساب المباشر .

ان الشرط $\sum_{i=1}^W P_i = 1$ يعني أن هناك فقط $W-1$ من التوابع P

التي يمكنها أن تتغير بصورة مستقلة حيث ان احدى قيم التوابع P

ولتكن مثلا P_W تعتمد على القيم الاخرى من خلال المعادلة :

$$P_W = 1 - \sum_{i=1}^W P_i$$

ولكن S هو متناظر بالنسبة لكافة التوابع P ، وبالتالي

يمكننا أن نكتبها على الشكل $S = S(p_1, p_2, \dots, p_W)$ حيث

يمكننا أن نستعير عن P_W بدلالة التوابع الباقية ، لكي تكون S

أعظمية يجب أن نأخذ المشتقات الجزئية لـ S بالنسبة لكل

قيمة مستقلة P مساويا الصفر ، وبالأخذ بعين الاعتبار حقيقة

ان P_W يعتمد على كل القيم P الاخرى تصبح هذه المعادلات على

الشكل:

$$\left. \begin{aligned} \frac{\partial S}{\partial p_1} + \frac{\partial S}{\partial P_W} \frac{\partial P_W}{\partial p_1} &= \frac{\partial S}{\partial p_1} - \frac{\partial S}{\partial P_W} = 0 \\ \frac{\partial S}{\partial p_2} - \frac{\partial S}{\partial P_W} &= 0 \\ \dots\dots\dots \\ \frac{\partial S}{\partial p_{W-1}} - \frac{\partial S}{\partial P_W} &= 0 \end{aligned} \right\} (10.25)$$

ان قيم P التي تحقق هذه المعادلات مع معادلة التنظيم $\sum_i p_i = 1$ هي تلك التي من أجلها تتحقق المعادلة (10.24). من أجل هـ — القيم لـ P يجب أن يأخذ المشتق الجزئي $\frac{\partial S}{\partial P_W}$ قيمة ما ولتكن $-\alpha_0$ ، عندها يمكن أن تكتب المعادلات (10.25) بشكل أكثر تناظرا:

$$\frac{\partial S}{\partial p_1} + \alpha_0 = 0, \quad \frac{\partial S}{\partial p_2} + \alpha_0 = 0, \dots, \frac{\partial S}{\partial p_W} + \alpha_0 = 0$$

ومع ذلك فهذه توافق المعادلات التي كنا سنحصل عليها فيما لو استخدمنا بدلا من الشرط أن $S(p_1, \dots, p_W)$ هو أعظمي خاضع للشرط $\sum_i p_i = 1$ من المعادلة (10.24)، أن استخدمنا الشرط البديل بأن :

$$\left. \begin{aligned} & S(p_1, \dots, p_W) + \alpha_0 \sum_{i=1}^W p_i \\ & \text{وحيث تتحدد } \alpha_0 \text{ من العلاقة : } \sum_{i=1}^W p_i = 1 \end{aligned} \right\} \quad (10.26)$$

يسمى الثابت α_0 مضروب لاغرانج .

لنقم الآن بحل مجموعة المعادلات (10.26) بتعويض المعادلة

(10.22) من أجل S ونضع كل المشتقات الجزئية للمقدار $S + \alpha_0 \sum_i p_i$ مساويا للصفر . مثلا من أجل المشتق بالنسبة لـ p_j يكون :

$$0 = \frac{\partial}{\partial p_j} \left[\alpha_0 \sum_{i=1}^W p_i - K \sum_{i=1}^W p_i \ln p_i \right] = \alpha_0 - K \ln p_j - K$$

أو :

$$p_j = \exp \left[\frac{\alpha_0}{K} - 1 \right]$$

يبين هذا الحل أن كل القيم p ستكون متساوية لأن لا α_0 ولا K تعتمد على j . ان تعيين قيمة α_0 وبالتالي قياس p_i يأتي

من الشرط $\sum_i p_i = 1$:

$$p_i = \frac{1}{w}$$

وبالتالي :

$$S = -K \sum_{i=1}^w \frac{1}{w} \ln \frac{1}{w} \quad (10.27)$$

$$S = K \ln w$$

من أجل جملة مقتصرة على عدد محدود w من الحالات المجهرية ودون أية قيود أخرى ، فإن حالة الانتروبية العظمى تكون بحيث أن للجملة نفس الاحتمال في أن توجد في أية حالة من الحالات w المجهرية ، وتكون القيمة العظمى للانتروبية الموافقة لهذه الحالة مساوية k مرة اللوغاريتم الطبيعي للعدد w (الذي يسمى أحيانا الوزن الاحصائي لحالة التوازن الماكروسكوبية) . ونجد ثانية أنه كلما كبر عدد الحالات المجهرية الموجودة في الحالة الماكروسكوبية كانت انتروبية الحالة الماكروسكوبية كبيرة .



الفصل الحادي عشر

إحصاء جيبس

11.1 - مقدمة :

نلمس في الفصول السابقة مدى أهمية توابع التوزع في معرفة الخصائص الترموديناميكية للمادة ، فخلال زمن طويل بقيت تطبيقات الفيزياء الاحصائية مقتصرة على دراسة الخصائص الطاقية الناتجة عن قياسات طيفية حيث اعتبرت الجسيمات مستقلة لا تتبادل التأثير فيما بينها ، وتم تعيين قيم التوابع الترموديناميكية بدءاً من تابع التوزع لجسيمة (انظر الفصل الرابع من هذا الكتاب) .

ان استخدام مفهوم طاقم جيبس سيساعدنا كما نرى في هذا الفصل في معالجة مسائل جمل قريبة من الجمل الحقيقية ، وحيث يمكن اعتبار الخصائص الترموديناميكية المختلفة لهذه الجمل كمقادير متغيرة خلال الزمن . ويمكن ان ندرك بسهولة ان العدد الكبير لجسيمات الجملة ووجود التأثير المتبادل فيما بينها يجعل من

المستحيل عمليا حساب القيم الوسطى لهذه المقادير الترموديناميكية مما يجعلنا نلجأ الى طريقة طواقم جيبس التي نستعيض وفقا لها عن حساب القيمة الوسطى لمتحول ترموديناميكي لجملة بالنسبة للزمن (المتوسط الزمني) بحساب للقيمة الوسطى الآنية لنفس هذا المتحول الترموديناميكي ولكن بالنسبة لطاخم من الجمل المكافئة للجملة المدروسة (متوسط الطاقم) .

ان استخدام طواقم محددة - كما رأينا في الفصل السابق - يجب أن يتفق مع القيود المختلفة المفروضة على الجملة الترموديناميكية والتي يمكن تمييزها بشكل عام بثلاثة متحولات مستقلة ثابتة . ان الجمل الرئيسية التي سنقوم بدراستها وفقا للشروط الخارجية التي تخضع لها هي :

١- جملة معزولة $[N, U, V]$

حيث يكون الحجم V وعدد الجسيمات N والطاقة الكلية U لجملة جسيمة ثوابت في الحالة الخاصة لجملة موءلفة من جسيمات لا تتبادل التأثير فيما بينها . فقد وجدنا في الفصل الثالث أن طاقة جسيمة ما يمكن اعتبارها محددة وأنه من الممكن ضمن هذه الشروط أن نعتبر التوزيع الفردي للجسيمات في سويات الطاقة المختلفة .

٢- جملة مغلقة متساوية درجة الحرارة $[N, T, V]$

حيث يكون الحجم V وعدد الجسيمات N ودرجة الحرارة T ثوابت . في هذه الحالة لا تكون طاقة الجملة ثابتة . وهكذا فإن هذه الجملة ، كالجملة المعرفة في الفقرة التالية ، يمكن اعتبارها من أجل جسيمات تتبادل التأثير فيما بينها ، وبالتالي لا يمكن

لنا أن نعين طاقة جسيمة وأن نحدد توزيعاً فردياً للجسيمات في
 سويا ت الطاقة المختلفة . يجب عندها أن نلجأ الى مفهوم طاقم جيبس
 الذي يسمى عندها بالطاقم القانوني المؤلف من η جملة $[N, T, V]$.
 هذه الحمل تكون متمايضة اذ توافق حالات ميكروسكوبية مختلفة .
 ويكون طاقم جيبس القانوني بحيث ان القيمة الوسطى للطاقة الداخلية
 لكل جملة من الطاقم تساوي القيمة الملاحظة للطاقة الداخلية .

ان طاقم جيبس المؤلف من η جملة $[N, U, V]$ والذي يسمى
 الطاقم القانوني المجهرى يمكن اعتباره كطاقم قانوني لجميع جملة
 نفس الطاقة U .

٣- جملة مفتوحة متساوية درجة الحرارة $[\mu, T, V]$

حيث يكون الحجم V والكمون الكيميائي μ ودرجة الحرارة T
 ثوابت . أما عدد جسيمات الجملة N وكذلك طاقتها الداخلية
 فهي غير ثابتة . عندها يمكن أن نعتبر طاقما نسميه الطاقم القانوني
 الكبير والمؤلف من η مجموعة $[\mu, T, V]$. ويكون هذا الطاقم بحيث
 ان القيمة الوسطى للطاقة \bar{U} والقيمة الوسطى للجسيمات \bar{N} مساوية
 القيم الملاحظة للطاقة الداخلية ولعدد الجسيمات على الترتيب .

11.2 - الطاقم القانوني المجهرى $[N, U, V]$

ان شكل تابع الكثافة $D(E)$ أو كثافة الاحتمال $\rho(E)$ يعتمد
 على طبيعة الجملة التي ندرسها، لنعتبر جملة معزولة ، نظرياً
 تكون طاقتها الداخلية U معينة بصورة جيدة ؛ ولكن في الحقيقة
 لا يمكن لجملة أن تكون معزولة بشكل مطلق وبالتالي فان طاقتها

ستكون محددة بارتياح قدرة δU :

$$U - \delta U \leq E \leq U$$

الشيء انوحيد الذي يمكننا أن نطلبه هو أن لاتعتمد التوابع الترموديناميكية بشكل أساسي على δU من أجل تغيرات لـ δU في منطقة " معقولة ". وسنجد فيما بعد حين دراسة الترجحات أن هذا سيكون محققا . توصف عادة الجملة المعزولة وفق تابع كشاف— احتمال له قيمة ثابتة في سماكة من فراغ الطور $(U - \delta U, U)$ ويكون معدوما خارج هذه السماكة ، أي :

$$U - \delta U \leq E \leq U \quad \rho(E) = A \quad \text{من أجل}$$

$$\rho(E) = 0 \quad \text{فيما عدا ذلك .}$$

حيث A ثابت .

وهذا التابع يمثل كثافة احتمال الطاقم القانوني المجهري .
الآن تابع الكثافة هذا برغم بساطته يصعب استخدامه ويفضل عليه عمليا تابع كثافة احتمال الطاقم القانوني الذي يعطي نفس النتائج الفيزيائية في جميع الحالات حيث يمكن اهمال الترجحات .

11.3 - الطاقم القانوني $[N, T, V]$

الجملة المدروسة ذات حجم V ثابت وتحوي عددا من الجسيمات N (قد تكون من أنواع مختلفة : N_1 جسيمة من المركب الاول ، N_2 جسيمة من المركب الثاني ... وهكذا) . تفمر هذه الجملة في وسط (مسعر) درجة حرارته T .

سنقوم بحساب القيمة الوسطى للطاقة الداخلية \bar{U} وكذلك

الاحتمال P_i في أن توجد الجملة في حالة طاقة U_i . لدينا

$$\bar{U} = \sum_i P_i U_i \quad \text{مع} \quad \sum_i P_i = 1$$

يمكن تمثيل طاقم جيبس كمجموعة مؤلفة من η جملة ماكرو سكوبية (N, T, V) تؤلف شبكة كما في الشكل (11.1) . الجدران الفاصلة بين جمل الطاقم المختلفة تسمح بانتقال الحرارة دون مرور جسيمات المادة . كل جملة لها درجة الحرارة T ، والطاقم (U, T) وله نفس درجة الحرارة T) معزول عن الوسط الخارجي .

يشكل إذن طاقم جيبس جملة معزولة ذات حجم V عدد جسيماتها N وذات طاقة U_T . ولكون الطاقم معزولا فان بإمكاننا أن نطبق الفرضية الأساسية في أن كل جملة منه متساوية الاحتمال وتسهم بصورة متساوية في حساب القيم الوسطى للمقادير الترموديناميكية .

$$\bar{U} = \sum_i P_i U_i = \frac{U_T}{\eta} \quad (11.1)$$

أما قيم الطاقة الممكنة لكل من هذه الجمل فهي $U_0, U_1, U_2, \dots, U_i, \dots$ ، وليكن :

η_0 عدد الجمل ذات الطاقة U_0

η_1 عدد الجمل ذات الطاقة U_1

η_i عدد الجمل ذات الطاقة U_i

وتكون هذه الأعداد بحيث أنه من أجل هذا التوزيع $[\eta_0, \dots, \eta_i, \dots]$

يكون احتمال أن توجد الجملة في حالة ذات طاقة U_i هو :

$$P_i = \frac{\eta_i}{\eta} \quad (11.2)$$

عدد الطرق المختلفة لأجراء هذا التوزيع هو :

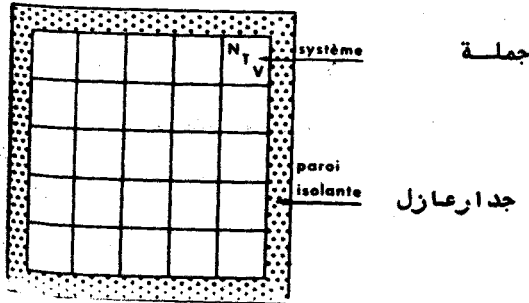
$$\omega_T = \frac{n!}{\prod_i \eta_i!} \quad (11.3)$$

وهناك عدد كبير من التوزيعات الممكنة إلا أن جميعها يجب أن

تحقق العلاقات :

$$\left. \begin{aligned} \left(\sum_i p_i = 1 \quad \text{أو} \quad \sum_i \eta_i = n \right) \\ U_T = \sum_i \eta_i U_i \end{aligned} \right\} \quad (11.4)$$

ويمكن أن نبين ببرهان مماثل لذلك الذي أجريناه من أجل جسيمات مستقلة عن بعضها أنه عندما $\eta \rightarrow \infty$ فإن مختلف التوزيعات ω_T تكون مهمة أمام $\omega_{T_{\max}}$ الموافق للتوزيع الأكثر احتمالاً وبالتالي يمكننا ألا نأخذ بعين الاعتبار سوى هذا التوزيع .



طاقم جيبس القانوني

(شكل 11.1)

11.3.A - قانون التوزع للطاقم القانوني $[N, T, V]$

تنطبق المحاكمات والمناقشة هنا على تلك التي أجريناها من أجل جملّة $[N, U, V]$ ، ذلك أن طاقم جيبس، مجموعة من η جملّة،

هو بذاته جملة معزولة وبالتالي تلعب هذه الجمل ذات العدد η هنا نفس دور عدد الجسميات N في الاحصاءات الأولية، والطاقة U_i لجملة من الطاقم تلعب دور ϵ_i لجسيمة.

طاقم [N,T,V]

$$(1) n = \sum_i \eta_i = c^t \longrightarrow \sum_i d \eta_i = 0$$

$$(2) U_T = \sum_i \eta_i U_i = c \longrightarrow \sum_i U_i d \eta_i = 0$$

$$W_{Tmax} \text{ أو } \ln W_{Tmax} \longrightarrow$$

$$d \ln W_T = \sum_i \left(- \frac{\partial \ln W_T}{\partial \eta_i} \right) d \eta_i = 0$$

بفرض α و β مضارب لاغرانج

$$\sum_i \left(- \frac{\partial \ln W_T}{\partial \eta_i} + \alpha + \beta U_i \right) d \eta_i = 0$$

$$\frac{\partial \ln W_T}{\partial \eta_i} + \alpha + \beta U_i = 0 \quad (11.5)$$

جملة [N,U,V]

$$(1) N = \sum_i N_i = c^t \longrightarrow \sum_i d N_i = 0$$

$$(2) U = \sum_i N_i \epsilon_i = c^t \longrightarrow \sum_i \epsilon_i d N_i = 0$$

$$W_{max} \text{ أو } \ln W_{max} \longrightarrow$$

$$d \ln W = \sum_i \left(- \frac{\partial \ln W}{\partial N_i} \right) d N_i = 0$$

بفرض α و β مضارب لاغرانج

$$\sum_i \left(- \frac{\partial \ln W}{\partial N_i} + \alpha + \beta \epsilon_i \right) d N_i = 0$$

$$\frac{\partial \ln W}{\partial N_i} + \alpha + \beta \epsilon_i = 0$$

واستنادا للعلاقة (11.3) تأخذ العلاقة :

$$\frac{\partial \ln \eta}{\partial \eta_i} + \alpha + \beta U_i = 0 \quad (11.5)$$

الشكل :

$$\ln \eta_i + \alpha + \beta U_i = 0$$

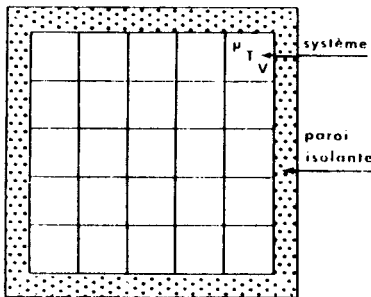
$$\eta_i = e^{-\alpha} e^{-\beta U_i}$$

ويكون كذلك :

$$\eta = \sum \eta_i = e^{-\alpha} \sum e^{-\beta U_i}$$

ويكون احتمال أن توجد الجملة في حالة ذات طاقة U_i هو :

$$P_i = \frac{\eta_i}{\eta} = \frac{e^{-\beta U_i}}{\sum e^{-\beta U_i}}$$



جملة

جدار عازل

طاقم جيبس القانوني الكبير

شكل (11.2)

ويمثل المقدار $\sum_i e^{-\beta U_i}$ حيث يؤخذ المجموع على كل الحالات المختلفة للطاقة ما يسمى بتابع التحاص القانوني (أو تابع مجموع الحالات القانوني) للجملة ونرمز له بالرمز ؛

$$Z(N, T, V) = \sum_{\text{حالات}} e^{-\beta U_i} \quad (11.6)$$

فإذا قمنا بتجميع كل الحالات التي لها نفس الطاقة U_i في هذا التابع (11.6)، أي ω_i حالة لها نفس الطاقة U_i ، يأخذ تابع التحاص الشكل :

$$Z(N, T, V) = \sum_{\text{قيم الطاقة}} \omega_i e^{-\beta U_i} \quad (11.7)$$

ويأخذ التابع P_i بدلالة Z الشكل .

$$P_i = \frac{e^{-\beta U_i}}{Z} \quad (11.8)$$

ويكون احتمال أن توجد الجملة في سوية الطاقة U_i هو :

$$\omega_i P_i = \omega_i \frac{e^{-\beta U_i}}{Z} \quad (11.9)$$

وتكون النسبة بين احتمال أن توجد الجملة في سوية الطاقة U_i

واحتمال أن توجد الجملة في سوية الطاقة U_j هي :

$$\frac{\omega_i P_i}{\omega_j P_j} = \frac{\omega_i}{\omega_j} e^{-\beta \Delta U}$$

حيث $\Delta U = U_i - U_j$

ويمكننا إيجاد هذا القانون من علاقة ماكسويل - برلتزمان

التي تعطي النسبة بين انشغال حالتي طاقة ϵ_i و ϵ_j ذات انطباق

g_i و g_j على الترتيب :

$$\frac{N_i}{N_j} = \frac{g_i}{g_j} e^{-\beta \Delta \epsilon}$$

حيث : $\Delta \epsilon = \epsilon_i - \epsilon_j$

بمعرفتنا تابع التوزيع P_i من العلاقة (11.8) ، يمكننا حساب

الطاقة الوسطية \bar{U} بالتعويض في العلاقة (11.1) فنجد :

$$\bar{U} = \frac{1}{Z} \sum_i U_i e^{-\beta U_i} \quad (11.10)$$

11.3.B - تعيين قيمة الوسيط β في الطاقم القانوني $[N, T, V]$

وجدنا (فقرة 4.3.A) أن علاقة الانتروبية الاحصائية تعطى

بالعلاقة : $S = -K \sum_i P_i \ln P_i$ أو $S = -K \ln Z$ حيث يمتد

المجموع على السلسلة غير المنتهية (Illimitée) من حالات

الجملة . تصبح هذه العلاقة بتعويض المقدار $\ln P_i$ بقيمته من العلاقة

(11.8) على الشكل :

$$S = K (\ln Z + \beta \bar{U}) \quad (11.11)$$

وبمطابقة هذه العلاقة مع علاقة الانتروبية في الترموديناميك

الكلاسيكي :

$$S = \frac{U - F}{T} \quad (11.12)$$

التي تحمل عليها من علاقة الطاقة الحرة لهيلمهولتز $F = U - TS$

$$\beta = \frac{1}{KT} \quad \text{نجد أن :} \quad (11.13)$$

أي أن للوسيط β نفس القيمة في قانون توزيع الطاقم القانوني

وقانون توزع الجملة $[N, U, V]$ أي الطاقم القانوني المجهرى .

11.3.C - العلاقات الترموديناميكية لجملة جسيمات مرتبطة في

الطاقم القانوني $[N, T, V]$:

بتعويض β من العلاقة (11.13) في عبارة تابع التحاص

للطاقم القانوني (11.6) نجد:

$$Z = \sum_{\text{حالات}} e^{-(U_i/KT)} \quad (11.14)$$

يمكن بالتالي تعيين مختلف المقادير الترموديناميكية بدلالة

تابع التحاص هذا كمايلي :

الطاقة الحرة F :

$$F = -KT \ln Z \quad (11.15)$$

الطاقة الداخلية U :

نكتب العلاقة (11.10) على الشكل :

$$\bar{U} = \frac{1}{Z} \sum_i U_i e^{-(U_i/KT)} \quad (11.16)$$

$$U = KT^2 \left(\frac{\partial \ln Z}{\partial T} \right)_{N,V} \quad (11.17)$$

الانتروبية S :

استنادا للعلاقة (11.11) نجد بتعويض β بقيمتها أن :

$$S = K \left(\ln Z + \frac{U}{KT} \right)$$

• ويكون بالاستفادة من العلاقة (11.17)

$$S = K \left[\ln Z + T \left(\frac{\partial \ln Z}{\partial T} \right)_{N,V} \right] \quad (11.18)$$

الضغط P :

لدينا ضغط الجملة $P = - \left(\frac{\partial F}{\partial V} \right)_{N,T}$.بالاخذ بعين الاعتبار العلاقة (11.15) نجد أن :

$$P = KT \left(\frac{\partial \ln Z}{\partial V} \right)_{N,T} \quad (11.19)$$

11.4 - تأثير التركيب الكيميائي :

في مناقشاتنا السابقة والمتعلقة بطاقة جملة افترضنا حتى الآن أن الطرق الوحيدة التي يمكن وفقا لها أن تتغير الطاقة الكلية لجملة تقوم على جعلها تكتسب أو تخسر طاقة حرارية أو بعملية يدخل فيها العمل (علاقة 4.13) . إمكانية ثالثة يمكن بها أن نغير طاقة الجملة هي في أن نجعلها تتبادل المادة مع الوسط الخارجي وهي حالة الجملة المفتوحة بالتعريف والتي تتبادل حرارة وعملا ومادة مع الوسط الخارجي . ان تغير الطاقة الكلية لجملة مفتوحة لن يكون بالتالي محددًا فقط بالكميات dQ و $d\tau$ ولكن ايضا بعدد مولات مختلف مركبات الجملة والتي تتلقاها الجملة أو تخسرها . وكما وجدنا في علم الترموديناميك أن تغير الطاقة الحرارية يعبر عنه بالجدا $dQ = TdS$ وتغير العمل بالجدا $d\tau = -PdV$ فهنا كذلك يمكننا أن نعبر عن تغير الطاقة كجدا $d\tau$ لكمية من المادة dn_i بعامل كمون يسمى " الكمون الكيميائي " لجسيمة من المركب

(i) ويرمز له بالرمز μ_i ، وبحيث ان ، بالمشابهة مع العلاقتين السابقتين لتغير كمية الحرارة ولتغير العمل؛ تغير الطاقة الكيميائية الناتجة عن انتقال dn_i مولا من مركب (i) من قسم حيث الكمون فيه لجسيمة هو μ_i^0 الى قسم آخر من الجملة حيث الكمون فيه لجسيمة هو μ_i يساوي :

$$dU_{ch} = (\mu_i - \mu_i^0) dn_i \quad (11.20)$$

فإذا كان انتقال المادة هذه مترافقا بصورة عكوسة مع تأثير قوة خارجية (كهربائية أو ميكانيكية) فان هذه العملية الكيميائية يمكن ان تقدم عملا نافعا . وعلى العكس اذا تمت بصورة تلقائية دون توليد أي عمل فان هذه " الطاقة الكيميائية " تتحول الى حرارة . يقودنا ذلك مباشرة الى تعميم العلاقة (4.13) بحيث تشمل تغيرات التركيب الكيميائي باضافة حد مناسب $\mu_i dn_i$ فتأخذ الشكل:

$$dU = TdS - PdV + \sum_i \mu_i dn_i$$

حيث يشمل المجموع كل تبادلات المادة مع الوسط الخارجي للجملة استنادا لهذه العلاقة يعرف الكمون الكيميائي بالصيغة التي أعطاها أولا جيبس بأنه تغير الطاقة الداخلية لمول واحد من المادة عندما نضيف للجملة ، عند أنتروبية ثابتة وحجم ثابت ، كمية متناهية في الصغر dn_i من المركب i .

وسنقبل أيضا أنه يمكن أن نطبق نفس المعادلة هذه عندما تنتج تغيرات التركيب الكيميائي عن تفاعل كيميائي في داخل الجملة بدلا من تبادل المادة مع الوسط الخارجي لها .

لنفرض أننا أخذنا جملة عند درجة حرارة T وضغط P بحيث يكون للكمونات الكيميائية لمركباتها قيما μ_i ، ولنتصور أنها مجزأة الى عدد كبير من الاقسام الصغيرة . فاذا احتوى عنصر حجم dv لقسم $dn_1, dn_2, \dots, dn_i, \dots$ من المولات لكل من مركباتها فانه يمكن ان نقرنه أيضا بأنثروبية dS فيساهم بطاقة dU الى الطاقة الكلية. فالجملة الكلية سيكون لها حجما V نحصل عليه بأخذ مجموع الحجم dv لكل العناصر المركبة لها ، وبالتالي نحصل على تركيبها الكيميائي باضافة كل المقادير dn_i . كذلك يمكن أن نكتب $S = \sum dS$ و $U = \sum dU$ ينتج عن ذلك مباشرة لكون P و T و كل الكمونات μ_i ثوابت من أجل كل العناصر أن طاقة الجملة تساوي :

$$U = TS - PV + \sum_i n_i \mu_i$$

أو

$$U - TS + PV = \sum_i n_i \mu_i$$

ولكن بالتعريف يمثل الطرف الايسر من هذه المعادلة الانتالبية الحرة G ويكون :

$$G = \sum_i n_i \mu_i \quad (11.21)$$

وبالتالي يمكن أن نعرف الكمون الكيميائي لجسيمة بالشكل :

$$\mu = \frac{\partial G}{\partial N} \quad (11.22)$$

حيث N تمثل عدد جسيمات الجملة ، G أنتالبيتها الحرة . كما يمكن التعبير عن الكمون الكيميائي لجسيمة بدلالة التوابع الترموديناميكية المختلفة بدءاً من العلاقات التالية :

$$dU = TdS - PdV + \sum_i \mu_i dn_i$$

$$dH = TdS + VdP + \sum_i \mu_i dn_i$$

(11.23)

$$dF = -SdT - PdV + \sum_i \mu_i dn_i$$

$$dG = -SdT + VdP + \sum_i \mu_i dn_i$$

ف نجد بشكل عام أن الكمون الكيميائي لجسيمة يعطى بالعلاقات

التالية :

$$\mu_i = \left(\frac{\partial U}{\partial n_i} \right)_{S,V,n_j} = \left(\frac{\partial H}{\partial n_i} \right)_{S,V,n_j} = \left(\frac{\partial F}{\partial n_i} \right)_{T,V,n_j} = \left(\frac{\partial G}{\partial n_i} \right)_{T,P,n_j}$$

(11.24)

11.5 - الطاقم القانوني الكبير $[\mu, T, V]$:

الجملة المدروسة ذات حجم V وكمون كيميائي μ تغمر هذه الجملة في وسط (مسعر) درجة حرارته T ، هذه الحالة تمثل بشكل عام حالة جملة من الجسيمات المتفاعلة أو متبادلة التأثير فيما بينها وقادرة على أن تتبادل المادة بالإضافة إلى الطاقة مع الوسط الخارجي أي N و U متغيرة وليست ثابتة .

سنقوم بحساب القيمة الوسطى للطاقة \bar{U} والقيمة الوسطى لعدد الجسيمات \bar{N} ، ونبين الاحتمال $P_i(N)$ بالنسبة للجملة في أن توجد في حالة ذات عدد انشغال N (رغم أن عدد الجسيمات يتغير فأننا لن نفع دليلا للرمز بغية تبسيط الكتابة) وذات طاقة $U_i(N)$.

$$\bar{N} = \sum_i \sum_N P_i(N) N \quad (11.25)$$

$$\bar{U} = \sum_i \sum_N P_i(N) U_i(N) \quad (11.26)$$

ويكون طاقم جيبس عبارة عن مجموعة مؤلفة من η جملة
ماكروسكوبية $[\mu, T, V]$ متميزة . الطاقة الكلية لطاقم جيبس
ثابتة وكذلك الأمر بالنسبة للعدد الكلي لجسيمات الطاقم . فطاقم
جيبس هو جملة معزولة (الشكل 11.2) ، أما طاقة وعدد جسيمات
جمل الطاقم فهي متغيرة . وبالتالي تستطيع هذه الجمل أن تتبادل
الطاقة والجسيمات فيما بينها .

اذن هنا الحالات الطاقية المختلفة للجملة تكون تابعا لعدد
جسيمات الجملة ، فعندما يتغير عدد الجسيمات في جملة فان ذلك
يوؤدي الى تغير الحالة i لها وحيث يوجد مجموعة كاملة من الحالات
 i من أجل كل قيمة لـ N . ليكن :

$\eta_0(N)$ عدد الجمل التي تحوي N جسيمة والموجودة في الحالة الطاقية $U_0(N)$

$\eta_1(N)$ عدد الجمل التي تحوي N جسيمة والموجودة في الحالة الطاقية $U_1(N)$

$\eta_i(N)$ عدد الجمل التي تحوي N جسيمة والموجودة في الحالة الطاقية $U_i(N)$

لكون N متغيرا فان عدد الطرق المختلفة التي يمكننا بها

أن نجري توزيعا معيننا يكون مساويا :

$$\eta !$$

$$\omega_T = \frac{1}{\prod_i \eta_i (N)!} \quad (11.27)$$

ولكن التوزيعات المقبولة هي فقط تلك التي يجب أن تحقق

شروط القيد التالية :

$$\sum_i \sum_N \eta_i(N) = \eta$$

$$U_T = \sum_i \sum_N \eta_i(N) U_i(N)$$

$$N_T = \sum_i \sum_N \eta_i(N) N$$

ان وجود شرط اضافي هنا بالنسبة للشروط التي وجدناها في التوزيع القانوني يترجم بادخال مضروب لاغرانج اضافي (δ) وبمعالجة مماثلة لتلك التي أجريناها في ذلك التوزيع نصل الى العلاقة التالية:

$$\ln \eta_i(N) + \alpha + \beta U_i(N) + N\delta = 0$$

$$\eta_i(N) = e^{-\alpha - \beta U_i(N) - N\delta}$$

$$\eta = \sum_i \sum_N \eta_i(N) = e^{-\alpha} \sum_i \sum_N e^{(-\beta U_i(N) - N\delta)}$$

ان احتمال أن توجد الجملة في حالة ذات عدد انشغال N وطاقة

$$U_i(N) \text{ يساوي:}$$

$$P_i(N) = \frac{\eta_i(N)}{\eta}$$

$$e^{(-\beta U_i(N) - N\delta)}$$

$$P_i(N) = \frac{e^{(-\beta U_i(N) - N\delta)}}{\sum_i \sum_N e^{(-\beta U_i(N) - N\delta)}}$$

نعرف تابع التحاص القانوني الكبير لجملة $[\mu, T, V]$ ونرمز

له بالرمز ζ (حرف زيتا الاغريقي) بالعلاقة :

$$\zeta(\mu, T, V) = \sum_i \sum_N e^{(-\beta U_i(N) - N\delta)} \quad (11.28)$$

فيكون :

$$P_i(N) = \frac{1}{\zeta} e^{-\beta U_i(N) - N\delta} \quad (11.29)$$

$$\bar{U} = \sum_i \sum_N P_i(N) U_i(N) = \frac{1}{\zeta} \sum_i \sum_N U_i(N) e^{-\beta U_i(N) - N\delta} \quad (11.30)$$

$$\bar{N} = \sum_i \sum_N P_i(N) N = \frac{1}{\zeta} \sum_i \sum_N N e^{-\beta U_i(N) - N\delta} \quad (11.31)$$

ملاحظات :

=====

١- اذا قمنا في علاقة تابع التحاص القانوني الكبير (11.28)

بتجميع كل الحالات التي لها نفس عدد الانشغال N ونفس الطاقة

$$U_i(N) \quad \omega_i(N) \quad \text{حالة لها نفس الطاقة}$$

ونفس عدد الانشغال N يكون لدينا :

$$\zeta(\mu, T, V) = \sum_i \sum_N \omega_i(N) e^{-\beta U_i(N) - N\delta} \quad (11.32)$$

٢- يمكن ان نقترح أيضا قوانين توزع لطواقم أخرى تسمى قانونية

كبيرة ، مثال ذلك الطاقم $[T, P, N]$ عند درجة حرارة وعدد

جسيمات وضغط ثابتة . عندها سنضطر لتعريف تابع التحص

القانوني الكبير التالي :

$$Y(T, P, N) = \sum_i \sum_V e^{-\beta U_i(V) - \gamma V} \quad (11.33)$$

ويكون احتمال أن توجد الجملة في حالة ذات حجم V وطاقة

$$P_i(V) = \frac{1}{Y} \sum_i \sum_V U_i(V) e^{-\beta U_i(V) - \gamma V} \quad (11.34)$$

$$\bar{U} = \sum_i \sum_V P_i(V) U_i(V) = \frac{1}{Y} \sum_i \sum_V U_i(V) e^{-\beta U_i(V) - \gamma V} \quad (11.35)$$

$$\bar{V} = \sum_i \sum_V P_i(V) V = \frac{1}{Y} \sum_i \sum_V V e^{-\beta U_i(V) - \gamma V} \quad (11.36)$$

11.5.A - تعيين قيم الوسطاء β و δ في الطاقم القانوني الكبير $[\mu, T, V]$

تأخذ عبارة الانتروبية الاحصائية في الطاقم القانوني

$$S = -K \sum_i \sum_N P_i(N) \ln P_i(N) \quad \text{الكبير الشكل :} \quad (11.37)$$

وبتعويض قيمة المقدار $\ln P_i(N)$ بدلالة تابع التخاص ζ من العلاقة (11.29) ، أي :

$$\ln P_i(N) = -\ln \zeta - \beta U_i(N) - N\delta$$

نجد أن :

$$S = K \left[\sum_i \sum_N P_i(N) \ln \zeta + \beta \sum_i \sum_N P_i(N) U_i(N) + \delta \sum_i \sum_N P_i(N) N \right]$$

أي :

$$S = K (\ln \zeta + \beta \bar{U} + \delta \bar{N}) \quad (11.38)$$

وبمقارنة هذه العلاقة مع عبارة الانتروبية في الترموديناميك

الكلاسيكي :

$$S = \frac{1}{T} (PV + U - \mu N)$$

نجد أن:

$$\beta = \frac{1}{KT} \quad (11.39)$$

$$\delta = -\frac{\mu}{KT} \quad (11.40)$$

ونجد أن :

$$PV = K T \ln \zeta \quad (11.41)$$

ملاحظات :

١- يمكن بنفس الطريقة أن نوجد من أجل الطاقم القانوني الكبير
العلاقة : $[T, P, N]$

$$S = K (\ln Y + \beta \bar{U} + \gamma \bar{V})$$

وأن نجد بدءاً منها أن :

$$\left. \begin{aligned} \beta &= \frac{1}{KT} \\ \gamma &= \frac{P}{KT} \\ G = N\mu &= -KT \ln Y \end{aligned} \right\} \quad (11.42)$$

٢- نستنتج مما سبق أن للوسيط β نفس القيمة في مختلف قوانين التوزع الثلاثة الطاقم القانوني والطاقم القانوني الكبير وقانون تورع جملة $[N, U, V]$ المدروس في الفصول السابقة والتي تمثل الطاقم القانوني المجهرى كما ذكرنا في بداية هذا الفصل .

11.5.B - العلاقات الترموديناميكية لجملة جسيمات مرتبطة في الطاقم

القانوني الكبير $[\mu, T, V]$:

بتعويض قيم الوسائط β و δ بقيمها من العلاقات

(11.39) و (11.40) في علاقة تابع التحاص الكبير (11.28) نجد :

$$\zeta = \sum_i \sum_N e^{\frac{\mu N - U_i(N)}{KT}} \quad (11.43)$$

أو بفرض

$$\lambda = e^{\mu/KT} \quad (11.44)$$

$$\zeta = \sum_i \sum_N \lambda^N e^{-\frac{U_i(N)}{KT}} \quad (11.45)$$

وبالتالي يمكننا أن نعين مختلف المقادير الترموديناميكية

بدلالة λ و ζ كمايلي :

عدد الجسيمات N :

تكتب العلاقة (11.31) عندها على الشكل :

$$\bar{N} = \frac{1}{\zeta} \sum_i \sum_N N e^{-\frac{\mu N - U_i(N)}{KT}} \quad (11.46)$$

$$N = KT \left(\frac{\partial \ln \zeta}{\partial \mu} \right)_{T,V} = \lambda \left(\frac{\partial \ln \zeta}{\partial \lambda} \right)_{T,V} \quad (11.47)$$

الطاقة الداخلية U :

تصبح العلاقة (11.30) على الشكل :

$$\bar{U} = \frac{1}{\zeta} \sum_i \sum_N U_i(N) e^{-\frac{\mu N - U_i(N)}{KT}}$$

ولكن لدينا :

$$\left(\frac{\partial \zeta}{\partial T} \right)_{\mu,V} = - \frac{1}{KT^2} \sum_i \sum_N (\mu N - U_i(N)) e^{-\frac{\mu N - U_i(N)}{KT}}$$

ومنه نجد :

$$\sum_i \sum_N U_i(N) e^{\frac{\mu N - U_i(N)}{KT}} = KT^2 \left(\frac{\partial \zeta}{\partial T} \right)_{\mu, V} + \mu \sum_i \sum_N N e^{\frac{\mu N - U_i(N)}{KT}}$$

$$U = KT^2 \left(\frac{\partial \ln \zeta}{\partial T} \right)_{\mu, V} + N\mu \quad (11.48)$$

الانتروبية S :

استنادا للعلاقة (11.38) لدينا :

$$S = K \ln \zeta + \frac{U}{T} - \frac{N\mu}{T}$$

وبالاستفادة من علاقة الطاقة (11.48) نحصل على علاقة

الانتروبية .

$$S = K \ln \zeta + KT \left(\frac{\partial \ln \zeta}{\partial T} \right)_{\mu, V} \quad (11.49)$$

الطاقة الحرة F :

$$F = U - TS$$

$$F = N\mu - KT \ln \zeta \quad (11.50)$$

الانتالبية الحرة G :

استنادا للعلاقة (11.46) يكون لدينا :

$$G = N\mu = KT\mu \left(\frac{\partial \ln \zeta}{\partial \mu} \right)_{T, V} \quad (11.51)$$

ويمكن من هذه العلاقة الحصول من جديد على معادلة الحالة

للطاقم القانوني الكبير (11.41) .

الضغط P :

بالاستفادة من العلاقتين (11.41) و (11.50) نحصل

على قيمة الضغط فيكون لدينا :

$$P = KT \frac{\partial \text{Ln} \zeta}{\partial V} = KT \left(\frac{\partial \text{Ln} \zeta}{\partial V} \right)_{\mu, V} \quad (11.52)$$

وقد بينا في الجدول (11.I) قيم مختلف المقادير

الترموديناميكية لجملة جسيمات في الطاقم القانوني $[N, T, V]$
والطاقم القانوني الكبير $[\mu, T, V]$ وذلك للمقارنة .

11.6 - حالة خاصة لجملة جسيمات غير مرتبطة :

11.6.A - عبارة تابع التحاص القانوني \mathcal{H} بدلالة التابع z

لجسيمة لاتتبادل التأثير مع غيرها (غير مرتبطة) :

يتألف طاقم جيبس الذي يمثل الجملة المدروسة من η
جملة $[N, T, V]$. لناخذ واحدة من هذه الجمل ذات طاقة U_j
ومؤلفة من N جسيمة موزعة على سويات طاقة مختلفة i كما
يلي :

جسيمة في سوية الطاقة ϵ_0 ذات انطباق g_0	N_0
جسيمة في سوية الطاقة ϵ_1 ذات انطباق g_1	N_1
.....	
جسيمة في سوية الطاقة ϵ_i ذات انطباق g_i	N_i
.....	

هذا التوزيع خاضع لشرطي القيد :

$\frac{G}{K}$	$\frac{F}{K}$	$\frac{S}{K}$	$\frac{P}{K}$	$\frac{U}{K}$	الطاقة
$-T \left[\ln g - V \left(\frac{\partial \ln g}{\partial V} \right)_{N,T} \right]$	$-T \ln g$	$\ln g + T \left(\frac{\partial \ln g}{\partial V} \right)_{N,V}$	$T \left(\frac{\partial \ln g}{\partial V} \right)_{N,T}$	$T^2 \left(\frac{\partial \ln g}{\partial V} \right)_{N,V}$	$[N, T, V]$
$T \mu \left(\frac{\partial \ln g}{\partial \mu} \right)_{T,V}$	$-T \ln g + \frac{N \mu}{K}$	$\ln g + T \left(\frac{\partial \ln g}{\partial T} \right)_{\mu,V}$	$T \left(\frac{\partial \ln g}{\partial \mu} \right)_{\mu,T}$	$T^2 \left(\frac{\partial \ln g}{\partial T} \right)_{\mu,V} + \frac{N \mu}{K}$	$[\mu, T, V]$

الجدول (11.1)

$$N = \sum_i N_i \quad = \text{ثابت}$$

$$U_j = \sum_i N_i \epsilon_i$$

ان عدد الطرق الممكنة لاجراء هذا التوزيع $[N_0, N_1, \dots, N_i, \dots]$ للجسيمات N والتي يفترض أنها غير متميزة يساوي حسب
 (3.16) الى $\omega_j = \prod_i \frac{g_i^{N_i}}{N_i!}$ لهذه الحالات ω_j نفس الطاقة U_j .

لكي نعبر عن تابع التحاص القانوني للطاخم تجري المجموع على جميع القيم الممكنة للطاقة من أجل جمل الطاقم بتجميع كل الجمل التي لها نفس الطاقة U_j (11.7) ان قيم الطاقة المختلفة الممكنة للجمل : $U_0, U_1, \dots, U_i, \dots$ توافق توزيعات مختلفة :

$$U_0 = \sum_i N_i' \epsilon_i \text{ مع } [N_0', N_1', \dots, N_i', \dots]$$

$$U_1 = \sum_i N_i'' \epsilon_i \text{ مع } [N_0'', N_1'', \dots, N_i'', \dots]$$

.....

والخاضة جميعها لشرط القيد الوحيد :

$$\sum_i N_i' = \sum_i N_i'' = \dots = N \text{ ثابت}$$

بالمثل أن نأخذ المجموع على كل القيم الممكنة للطاقة من أجل الجمل يكافئ أن نأخذ المجموع على كل القيم الممكنة لاعداد اشغال سويات الطاقة المنسجمة مع القيد الوحيد بأن $\sum_i N_i = N = C$

$$\begin{aligned} \Psi &= \sum_{N_i} \prod_i \left[\frac{g_i^{N_i}}{N_i!} e^{-\frac{N_i \epsilon_i}{KT}} \right] \\ &= \sum_{N_i} \prod_i \frac{[g_i e^{-\frac{\epsilon_i}{KT}}]^{N_i}}{N_i!} \end{aligned}$$

بلاخذ بعين الاعتبار قانون ثنائي الحد المعمم من أجل N معطاة

$$\sum_{N_i} \prod_i \frac{x_i^{N_i}}{N_i!} = \frac{(\sum_i x_i)^N}{N!} \quad (11.53)$$

(ثا) $\sum_i N_i = N$ اي القانون :

$$\Psi = \frac{1}{N!} \left[\sum_i g_i e^{-\frac{\epsilon_i}{KT}} \right]^N \quad \text{ينتج أن :}$$

وذلك من أجل جسيمات غير متميزة

ويكون لدينا بالتالي :

$$\Psi = \frac{Z^N}{N!} \quad (11.54)$$

أما من أجل جسيمات متميزة ، واستنادا الى العلاقات (3.15)

و (3.16) تصبح هذه العلاقة على الشكل :

$$\Psi = Z^N \quad (11.55)$$

ملاحظة :

كان من الممكن الحصول على العلاقة السابقة بمقارنة عبارتي

الطاقة الحرة من أجل الجملتين $[N, U, V]$ و $[N, T, V]$:

آ - جسيمات غير متمايزة : العلاقة (4.29) يمكن كتابتها ثانية

على الشكل :

$$F_{ind} = -KT \ln \frac{z^N}{N!} \quad (11.56)$$

وبمقارنة هذه العلاقة مع العلاقة (11.15) نجد أن $\bar{g} = \frac{z^N}{N!}$

ب - جسيمات متمايزة : العلاقة (4.30) يمكن كتابتها على

الشكل :

$$F_{dis} = -KT \ln z^N \quad (11.57)$$

وبمقارنة هذه العلاقة مع العلاقة (11.15) نجد أن $\bar{g} = z^N$

11.6.B - عبارة تابع التحاص القانوني الكبير ζ بدلالة التابع z

لجسيمة لا تتبادل التأثير مع غيرها (غير مرتبطة):

تأخذ عبارة تابع التحاص القانوني الكبير ζ والمعطاة

بالمعادلة (11.43) بتجميع كل الحالات التي لها نفس الطاقة

$U_j(N)$ ولها نفس العدد N من الجسيمات وذلك باتباع نفس

الطريقة المذكورة في الفقرة السابقة الشكل .

$$\zeta = \sum_i \sum_N \omega_j(N) e^{-\frac{\mu N - U_j(N)}{KT}}$$

أما عدد الحالات $\omega_j(N)$ التي لها نفس الطاقة $U_j(N)$ ونفس

العدد من الجسيمات N بفرض أنها غير متمايزة فيساوي :

$$\omega_j(N) = \prod_i \frac{g_i^{N_i}}{N_i!}$$

$$\sum_i N_i \epsilon_i = U_j(N) \quad \text{و} \quad \sum_i N_i = N \quad \text{حيث}$$

ان أخذ المجموع على جميع القيم الممكنة لعدد الجسيمات وجميع القيم الممكنة للطاقة للجمل الموءلفة للطاخم يوؤدي الى أخذ المجموع على جميع القيم الممكنة لـ N_i أي :

$$\zeta = \sum_{N_i} \prod_i \frac{g_i^{N_i}}{N_i!} e^{\frac{\mu N_i - N_i \epsilon_i}{KT}}$$

$$\zeta = \sum_{N_i} \prod_i \frac{1}{N_i!} [g_i e^{\frac{\mu - \epsilon_i}{KT}}]^{N_i}$$

وبالاخذ بعين الاعتبار قانون ثنائي الحد المعمم من أجل N متحول

$$\sum_i \prod_i \frac{x_i^{N_i}}{N_i!} = \sum_{N=0}^{\infty} \frac{(\sum x_i)^N}{N!} \quad \text{أي :} \quad (11.58)$$

$$\zeta = \sum_{N=0}^{\infty} \frac{1}{N!} [\sum_i g_i e^{\frac{\mu - \epsilon_i}{KT}}]^N \quad \text{ينتج أن :} \quad (11.59)$$

وبالتالي يكون لدينا من أجل جسيمات غير متمايزة وبفرغان

$$\lambda = e^{\frac{\mu}{KT}} \quad (11.60)$$

$$\zeta = \sum_{N=0}^{\infty} \frac{[z e^{\frac{\mu}{KT}}]^N}{N!} = \sum_{N=0}^{\infty} \frac{z^N}{N!} \lambda^N \quad (11.61)$$

$$\zeta = e^{z\lambda} \quad (11.62)$$

وبالنسبة لجسيمات غير متمايزة ، استنادا الى العلاقتين

(3.15) و (3.16) تصبح هذه العلاقة على الشكل :

$$\zeta = \sum_{N=0}^{\infty} z^N \lambda^N \quad (11.63)$$

وبأخذ بعين الاعتبار العلاقتين : $z = \frac{z^N}{N!}$ و $\lambda = \lambda^N$ فان

العلاقتين السابقتين تقودنا الى القانون الذي يصلح من أجل الجسيمات المتمايزة وغير المتمايزة التالي :

$$\zeta = \sum_{N=0}^{\infty} \frac{z^N}{N!} \lambda^N \quad (11.64)$$

11.7 - الاحصاءات الكوانتية :

وجدنا ان تقريب احصاء ماكسويل - بولتزمان لا يمكن تطبيقه
الاعندما يكون عدد الجسيمات أقل بكثير من عدد الحالات الكوانتية
التي يمكن ان تشغلها هذه الجسيمات أي $N_i \ll g_i$ (فقرة 3.8.B) .
أما إذا كانت أعداد الانشغال لسويات الطاقة غير مهمة أمام أعداد
الحالات الكوانتية لهذه السويات فان هذا الاحصاء غير قابل للتطبيق
ونصادف هذا الوضع في حالة جسيمات ليس لها درجات حرية داخلية
كالالكترونات والفوتونات أو غاز عند درجة حرارة منخفضة جداً ،
حيث تؤخذ الحركة الانسحابية فقط بعين الاعتبار وتصبح الحركات
الآخرى مهمة .

وقد وجدنا أن المعالجة الدقيقة للاحصاءات الكوانتية تقودنا
الى حسابات معقدة (انظر الفصل الثالث) الا أن عددا مهما من
الحالات الخاصة والتي توافق الى حقائق فيزيائية تتطلب منا كثيرا

من التبسيط . وسنقوم فيما يلي بإيجاد توابع توزع البوزونات والفرميونات باستخدام توابع تحاص قانونية كبيرة .
ليكن لدينا N جسيمة نعتبرها بتقريب أولي كجسيمات غير

متفاعلة فيكون :

$$N = \sum_{\text{حالات}} n_i \quad (11.65)$$

$$U = \sum_{\text{حالات}} n_i \epsilon_i \quad (11.66)$$

حيث n_i عدد الجسيمات التي تشغل حالة كوانتية معطاة (انظر الفقرة 3.8.A) ويمكن أن يأخذ القيم $0, 1, 2, 3, \dots$ من أجل البوزونات ولكن فقط القيمتين 0 أو 1 من أجل الفرميونات (مبدأ باولي) .

لنعتبر الطاقم القانوني الكبير $[\mu, T, V]$ حيث يعطى تابع التحاص بالعلاقة (11,28) واحتمال أن توجد الجملة في حالة ذات انشغال N وطاقة $U_i(N)$ بالعلاقة (11.29) . بالاذخ بعين الاعتبار العلاقتين (11,65) (11,66) تصبح علاقة الاحتمال المذكورة على

الشكل :

$$P_i(N) = \prod_i \frac{e^{-(\beta \epsilon_i + \delta) n_i}}{\sum_{n_i} e^{-(\beta \epsilon_i + \delta) n_i}} = \prod_i \frac{e^{-(\beta \epsilon_i + \delta) n_i}}{z_i} \quad (11.67)$$

حيث :

$$z_i = \sum_{n_i} e^{-(\beta \epsilon_i + \delta) n_i}$$

ان التابع z_i يأخذ قيما مختلفة في حالة البوزونات وفي حالة الفرميونات .

بالنسبة للبوزونات :

$$z_i = 1 + e^{-(\beta \epsilon_i + \delta)} + e^{-2(\beta \epsilon_i + \delta)} + e^{-3(\beta \epsilon_i + \delta)} + \dots$$

$$z_i = \frac{1}{1 - e^{-(\beta \epsilon_i + \delta)}} \quad (11.68)$$

وا احتمال أن تشغل n_i جسيمة حالة i هو :

$$P(n_i) = \frac{e^{-(\beta \epsilon_i + \delta) n_i}}{z_i} \quad (11.69)$$

$$\bar{n}_i = \sum_{n_i} P(n_i) n_i = \frac{1}{z_i} \sum_{n_i} e^{-(\beta \epsilon_i + \delta) n_i} n_i = - \frac{\partial \ln z_i}{\partial \delta} \quad (11.70)$$

$$\bar{n}_i = \frac{1}{e^{\beta \epsilon_i + \delta} + 1} \quad (11.71)$$

حيث تؤخذ اشارة الناقص للبوزونات و اشارة الزائد للغرميونات

وبتعويض الوسائط β و δ من المعادلات (11.39) (11.40) نجد :

$$\bar{n}_i = \frac{1}{e^{\frac{\epsilon_i - \mu}{KT}} + 1} \quad (11.72)$$

أما تابع التحاص القانوني الكبير فيأخذ الشكل :

$$\zeta = \prod_i z_i = \prod_i [1 + e^{-(\beta \epsilon_i + \delta)}]^{-1} \quad (11.73)$$

حيث نأخذ اشارة الناقص بما فيها اشارة الاس أيضا في حالة

البوزونات و اشارة الزائد في حالة الغرميونات .

هذه العلاقة الأخيرة تسمح لنا بحساب مختلف المقادير
الترموديناميكية لجملة بوزونات أو فرميونات والتي هي بشكل عام
كما وجدنا في الفقرات السابقة من هذا الفصل تابع للوغاريتم
تابع التحاص القانوني الكبير أي :

$$\ln \xi = \sum_i \ln(1 + e^{-(\beta \epsilon_i + \delta)})$$

(-) للبوزونات و (+) للفرميونات .

بوضع $\epsilon_0 = 0$ وبالأخذ بعين الاعتبار أن \bar{n}_i هو مقدار موجب
نجد أن δ موجب من أجل البوزونات بينما يمكن أخذ القيم $-\infty < \delta < +\infty$
في حالة الفرميونات .

في الحالة العلما يكون لدينا العلاقة :

$$N = \sum_{\text{على قيم الطاقة}} N_i = \sum_{\text{على قيم الطاقة}} g_i \bar{n}_i \quad (11.74)$$

حيث g_i تعطى من أجل الحركة الانسحابية بالعلاقة (5.69) :

$$dg_{\epsilon} = \frac{4 \pi m V}{h^3} (2m\epsilon)^{1/2} d\epsilon = \frac{2^{5/2} \pi V m^{3/2}}{h^3} \epsilon^{1/2} d\epsilon \quad (11.75)$$

العلاقة (11.74) تسمح لنا بحساب N الآن الحسابات تكون
معقدة كما وجدنا في فصل التطبيقات (غاز الإلكترونات في المعادن
- احصاء غاز الفوتونات) .

الفصل الثاني عشر

نظرية التجمعات

12.1 - مقدمة :

بيننا في مواضع مختلفة من هذا الكتاب أن المقادير الفيزيائية المميزة لجسم ماكروسكوبي عند التوازن تساوي قيمتها الوسطى بدرجة من الدقة كبيرة تقريبا دوماً. ومع ذلك فقد بيننا كيف أن الجملة باستمرارها في التطور تمر دون توقف بهيئات ماكروسكوبية تبعد أو تقرب من الحالة الأكثر احتمالا لها. نعتبر عن ذلك بقولنا أن المقادير الترموديناميكية التي تصف هذه الجملة " تتأرجح " حول قيمها الوسطى ، ترجعات توافق الى فوارق ضعيفة زهيدة بالنسبة للحالة الأكثر احتمالا (حالة التوازن) وهذا يعني أنه لتعيين مقدار الترحح ينبغي ان نوجد توزع الاحتمالات لهذه الفوارق او تحديد مقدار التشتت أي الترحح التربيعي الوسطي المعروف بالعلاقة :

$$\sigma_n^2 = \overline{(n - \bar{n})^2} = \overline{n^2} - \bar{n}^2 \quad (12.1)$$

يُميز هذا المقدار معدل انحراف المقدار الترموديناميكي
المدرّوس عن القيمة الوسطية .

ونلاحظ أنه عندما تكون قيمة هذه الانحرافات كبيرة جداً يفقد الترموديناميك الكلاسيكي (علم التوازنات) مغزاه . تدعى الكمية σ_n بالترجح المطلق للمقدار n وهي تساوي جذر الترجح التربيعي الوسطي وتساعدنا كما وجدنا في الفقرة (1.5.D) في معرفة عرض مجال توزع الاحتمال كما أن معرفتنا لقيمة التشتت أو الترجح النسبي والمعرف بالعلاقة :

$$\frac{\sigma_n}{\bar{n}} = \left(\frac{\overline{n^2} - \bar{n}^2}{\bar{n}^2} \right)^{1/2} \text{ أو } \frac{\sigma_n^2}{\bar{n}^2} = \frac{\overline{n^2} - \bar{n}^2}{\bar{n}^2} \quad (12.2)$$

يسهم إلى حد كبير في تقرير ما إذا كانت قيمة المقدار الترموديناميكي الذي نحصل عليه ككمية وسطية يمثل فعلاً القيمة الحقيقية لهذا المقدار المدرّوس .

ونلاحظ أخيراً أنه بفرض δn يمثل الفرق بين قيمة المقدار n لجملة ما في لحظة ما وقيمته الوسطية أي $\delta n = n - \bar{n}$ ، يكون حسب تعريف \bar{n} أن القيمة الوسطية للانحراف δn يكون معدوماً فـ حين أن الترجح التربيعي الوسطي المعرف بالعلاقة (12.1) لا يكون معدوماً .

12.2 - ترجحات الطاقة الداخلية في الطاقم القانوني [N,T,V] :

عندما تكون الجملة في توازن حراري بتماسها مع خزان حراري فان درجة حرارة الجملة تكون معرفة بأنها تساوي درجة حرارة الخزان وتتأرجح قيمة الطاقة الداخلية حول قيمة وسطية \bar{U} وجدناها في العلاقة (11.16) والتي يمكن كتابتها بدلالة $\beta = \frac{1}{KT}$ على الشكل:

$$\bar{U} = - \frac{\partial}{\partial \beta} [\ln Z(\beta)]_V = - \frac{1}{Z} \left(\frac{\partial Z}{\partial \beta} \right)_V \quad (12.3)$$

ويكون :

$$\bar{U}^2 = \frac{\sum_i U_i^2 e^{-\beta U_i}}{\sum_i e^{-\beta U_i}} = \frac{1}{Z} \sum_i U_i^2 e^{-\beta U_i} = \frac{1}{Z} \frac{\partial^2 Z}{\partial \beta^2} \quad (12.4)$$

ولدينا المعادلة (12.3) بأخذ الاشتقاق بالنسبة لـ β :

$$- \frac{\partial \bar{U}}{\partial \beta} = \frac{1}{Z} \frac{\partial^2 Z}{\partial \beta^2} - \frac{1}{Z^2} \left(\frac{\partial Z}{\partial \beta} \right)^2 = \bar{U}^2 - \bar{U}^2 \quad (12.5)$$

ولكن لدينا من جهة ثانية أن قيمة السعة الحرارية بشبوت

الحجم تساوي :

$$C_V = \frac{\partial \bar{U}}{\partial T} = \frac{\partial \bar{U}}{\partial \beta} \frac{\partial \beta}{\partial T} = - \frac{1}{KT^2} \frac{\partial \bar{U}}{\partial \beta} \quad (12.6)$$

وبالاستفادة من المعادلة (12.5) نجد مقدار الترحج التربيعي

الوسطي للطاقة في الطاقم القانوني [N,T,V] :

$$\sigma_U^2 = \bar{U}^2 - \bar{U}^2 = KT^2 C_V \quad (12.7)$$

حيث تمثل C_V السعة الحرارية الموافقة للحجم الفعلي للجملية المدروسة .

ومن أجل غاز مثالي فان :

$$\bar{U} = \frac{f}{2} N K T \quad (12.8)$$

حيث f تمثل عدد درجات حرية الغاز المدروس ويكون :

$$C_V = \frac{f}{2} NK \quad (12.9)$$

وبتعويض قيمة C_V من المعادلة الاخيرة (12.9) في علاقة الترجح التربيعي الوسطي (12.7) نجد :

$$\sigma_U = KT \left(\frac{f}{2} N \right)^{1/2} \quad (12.10)$$

ونلاحظ أن نسبة الانحراف σ_U الى الطاقة الوسطى \bar{U} من أجل

غاز مثالي ما تساوي :

$$\frac{\sigma_U}{\bar{U}} = \left(\frac{2}{fN} \right)^{1/2} \quad (12.11)$$

أي يتناسب الترجح النسبي عكسا مع \sqrt{N} .

مثال (١) الغاز المثالي

يكون لدينا :

$$C_V \approx N K \quad (12.12)$$

$$U \approx N K T \quad (12.13)$$

$$\frac{\sigma_U}{U} \approx \frac{1}{N^{1/2}} \quad \text{وبالتالي فالترجح النسبي}$$

ومن أجل $N = 10^{22}$ يكون الترجح النسبي من مرتبة 10^{-11} وبالتالي فهو مهمل لصغره .

مثال (2) :

جسم صلب عند درجات حرارة منخفضة .

استنادا الى قانون ديبي (8.49) فان السعة الحرارية لجسم صلب عازل من أجل درجات حرارة $T \gg \Theta$ حيث Θ درجة الحرارة المميزة المعروفة بدرجة ديبي يكون :

$$C_V \approx NK \left(\frac{T}{\Theta} \right)^3 \quad (12.14)$$

وكذلك

$$U \approx NKT \left(\frac{T}{\Theta} \right)^3 \quad (12.15)$$

ويكون الترجح النسبي بالتالي :

$$\frac{\sigma U}{\bar{U}} = \left[\frac{1}{N} \left(\frac{\Theta}{T} \right)^3 \right]^{1/2} \quad (12.16)$$

نفرض أن $T = 10^{-2} \text{ } ^\circ\text{K}$ ، $\Theta = 200 \text{ } ^\circ\text{K}$ ، $N \approx 10^{-16}$ من أجل مسافة مفرى بين الذرات تساوي 0.01 cm يكون الترجح النسبي مساويا بالتقريب 0.03 ، وهو ليس مهملا . أي عند درجات حرارة منخفضة جدا يُخفق علم الترموديناميك من أجل الجسيمات الدقيقة من حيث انه لايمكننا معرفة الطاقة U ودرجة الحرارة T معا بنفس الدقة .

ان الترجح النسبي للطاقة يتناقص اذا بالزيادة عدد جسيمات الجملة بحيث يتناسب عكسا مع الجذر التربيعي لعدد الجسيمات .
ومع ذلك عندما تتناقص درجة الحرارة يزداد الترجح وقد يصبح كبيرا

يفسر ذلك من وجهة نظر فيزيائية بأن التناقص في درجة الحرارة يترافق بتناقص عدد درجات الحرية (تخامد الاهتزازات) ، وتكون النتيجة بأن لجملة ذات عدد صغير من درجات الحرية ترجحات تكون عادة كبيرة .

ويجب أن نلاحظ أخيرا أن ترجحات الطاقة تكون بالاحرى كبيرة في حمل ذات درجة حرارة ثابتة ($C_V \rightarrow \infty$) . فمثلا في جملة موءلفة من سائل وبخاره المشبع يحدث الغليان تحت ضغط ثابت بحيث تكون عملية الغليان ذات طبيعة ترجحية عشوائية .

12.3 - ترجحات عدد الجسيمات الطاقم القانوني الكبير $[\mu, T, V]$:

لنعتبر جملة يمكن لعدد جسيماتها أن تتغير وتحتوي في كل لحظة N جسيمة. نريد معرفة كيف يبتعد هذا العدد N عن القيمة الوسطى \bar{N} لجسيمات الطاقم . لنعين الانحراف نوع :

$$\sigma_N = [\overline{N^2} - \bar{N}^2]^{1/2}$$

استنادا الى العلاقة (11.25) حيث لدينا :

$$\bar{N} = \sum_i \sum_N P_i(N) N$$

يمكن ان نكتب :

$$\overline{N^2} = \sum_i \sum_N P_i(N) N^2 \quad (12.17)$$

وبتعويض $P_i(N)$ بقيمته المستخرجة من العلاقات (11.29)

(11.39) (11.40) نجد :

$$\overline{N^2} = \frac{1}{\zeta} \sum_i \sum_N N^2 e^{\frac{\mu N - U_i(N)}{KT}} \quad (12.18)$$

وبالاحذ بعين الاعتبار العلاقة (11.46) التي تعطي قيمة \bar{N} :

يكون لدينا باخذ المشتق بالنسبة لـ μ :

$$\left(\frac{\partial \bar{N}}{\partial \mu}\right)_{T,V} = -\frac{1}{\xi^2} \left(\frac{\partial \xi}{\partial \mu}\right)_{T,V} \sum_i \sum_N e^{\frac{\mu N - U_i(N)}{KT}} + \frac{1}{\xi} \sum_i \sum_N \frac{N^2}{KT} e^{\frac{\mu N - U_i(N)}{KT}} \quad (12.19)$$

$$\left(\frac{\partial \bar{N}}{\partial \mu}\right)_{T,V} = -\left(\frac{\partial \ln \xi}{\partial \mu}\right)_{T,V} \bar{N} + \frac{\bar{N}^2}{KT} = \frac{\bar{N}^2 - \bar{N}^2}{KT} \quad (12.20)$$

ومنه نجد مقدار الترحح التربيعي الوسطي لعدد الجسيمات N :

$$\sigma_N^2 = KT \left(\frac{\partial \bar{N}}{\partial \mu}\right)_{T,V} \quad (12.21)$$

أو الانحراف :

$$\sigma_N = \left[KT \left(\frac{\partial \bar{N}}{\partial \mu}\right)_{T,V} \right]^{1/2} \quad (12.22)$$

ولدينا من العلاقة (11.24) أن $\mu = \left(\frac{\partial F}{\partial N}\right)_{T,V}$, ولكن

$F = N\mu - PV$ ومنه نستنتج أن :

$$\mu = \mu + N \left(\frac{\partial \mu}{\partial N}\right)_{T,V} - V \left(\frac{\partial P}{\partial N}\right)_{T,V} \quad (12.23)$$

وتعطينا هذه العلاقة الاخيرة أن :

$$\left(\frac{\partial \mu}{\partial N}\right)_{T,V} = \frac{V}{N} \left(\frac{\partial P}{\partial N}\right)_{T,V} \quad (12.24)$$

ومن اجل غاز مثالي يكون لدينا :

$$\left(\frac{\partial \mu}{\partial N} \right)_{T,V} = \frac{KT}{N} \quad (12.25)$$

ومنه نجد :

$$\frac{\sigma_N}{N} = \frac{1}{N^{1/2}} \quad (12.26)$$

ونلاحظ أن هذا الترجح النسبي لعدد الجسيمات هو من نفس رتبة الترجح النسبي العائد للطاقة والذي حصلنا عليه في العلاقة (11 . 12) ، وبالتالي فهو مهمل في حجوم معتادة للغاز المثالي .

مثال (١) :

احصاء فرمي - ديراك

من أجل حالة واحدة يكون لدينا من المعادلة (11.72)

$$\bar{n}_i = \frac{1}{e^{\frac{\epsilon_i - \mu}{KT}} + 1} \quad (12.27)$$

وباشتقاق هذا المقدار بالنسبة للكمون الكيميائي μ نجد

ان :

$$\frac{\partial \bar{n}_i}{\partial \mu} = \frac{1}{KT} \bar{n}_i (1 - \bar{n}_i) \quad (12.28)$$

ويكون :

$$\bar{n}_i^2 - \bar{n}_i = \bar{n}_i (1 - \bar{n}_i) \quad (12.29)$$

فالترجمات تنعدم من أجل قيم للطاقة أخفض بكثير من سوية فيرمي بحيث يكون $\bar{n}_i = 1$ ، وكذلك تنعدم الترجحات من أجل قيم

للطاقة عالية بحيث يكون $\bar{n}_i = 0$ ومع ذلك يبقى الترحج النسبي كبيراً من أجل هذه القيم العالية للطاقة .

مثال (2) :

احصاء بوزة - اينشتاين

لدينا استناداً للمعادلة (11.72) من أجل سوية مفردة

$$\bar{n}_i = \frac{1}{e^{\frac{\epsilon_i - \mu}{KT}} - 1} \quad (12.30)$$

ونجد بنفس الطريقة المتبعة في المثال الاول أن :

$$\bar{n}_i^2 - \bar{n}_i = \bar{n}_i (\bar{n}_i + 1) \quad (12.31)$$

ويكون لدينا :

$$\frac{\bar{n}_i^2 - \bar{n}_i}{\bar{n}_i} = 1 + \frac{1}{\bar{n}_i} \quad (12.32)$$

أى أنه من أجل غاز بوزة تكون الترحجات النسبية من مرتبة الواحد من أجل قيم كبيرة لـ \bar{n}_i ، ويمثل ذلك سمة مميزة لغاز بوزة .

لنحاول فيما يلي ايضاح السبب الفيزيائي للترجحات الكبيرة في غاز بوزة . لنقسم الجملة الى G جملة فرعية ، وليكن \bar{n}_G العدد الكلي للجسيمات في الجملة . لنمثل كل جملة فرعية بصندوق . يكون هناك من أجل الجسيمات المتماثلة تركيب واحد فقط للأعداد بحيث

يكون لدينا من أجله \bar{n} جسيمة في كل صندوق ، ثم يكون لدينا G طريقة يمكننا بها أن نضع كل الجسيمات في صندوق واحد . وهذا الاعتبار يوضح نوعا ما حدوث الترجحات الكبيرة .

بتطبيق هذه الدراسة على الغاز الفوتوني بين اينشتاين—ان الحد الاول من الطرف الايمن في المعادلة (12.32) يوافق الى ترجحات ناتجة عن الطبيعة الموجية للضوء وأن الحد الثاني يوافق الى الترجحات في غاز موءلف من جسيمات متمايزة .

12.4 - الكميات الترموديناميكية :

أشرنا فيما سبق (11.1) الى ان الجمل المغلقة تماما غير موجوده في الطبيعة . وحين نتحدث عن جملة بأنها مغلقة فاننا نعني بذلك ان التوازن بين جملها الفرعية (جمل الطاقم) يتم بصورة أسرع من التوازن بين الجملة الكبيرة (التي يمثلها الطاقم) مع الوسط المحيط . خلال الزمن اللازم لحصول التوازن بين الجمل الفرعية لا يكون لدى العلاقات الجمعية التي درسناها في الفصل السابق (الحادي عشر) وقت كاف كي تتغير تغيرا ملحوظا ، وبالتالي يمكننا أن نميز بين مفهوم التوازن الاحصائي في كامل الجملة وفي جملها الفرعية .

ومن الواضح أن التوازن الاحصائي في الجملة الكبيرة يندوم اكثر من ذلك التوازن بين الجمل الفرعية وحدها لذلك فان احتمال التوازن الاكمل $\text{Fuller equilibrium}$ هو بالتعريف اكبر من احتمال التوازن الاقل اكتمالا . ويتبين من علاقة بولتزمان

$S = K \ln W$ أن مقياس الاحتمال للجملة الكبيرة هو الاحتمال الترموديناميكي (أو الوزن الاحصائي) لحالتها . لذلك فكلما اقتربت الجملة من التوازن كبر الاحتمال الترموديناميكي لحالة الجملة المغلقة بحيث يكون هذا المقدار W مقياسا لقرب الجملة الكبيرة من توازنها .

ويمكن بهذه الطريقة أن نعتبر أيضا أن الكمية P_i المعرفة بالعلاقة (10.22) لكل جملة فرعية رقمها i مقياس لقربها من التوازن (داخليا) وذلك من أجل الفترات الزمنية التي تعتبر خلالها الجملة الفرعية جملة شبه مغلقة .

ومن أجل أية فترة زمنية ، إذا لم تكن صغيرة جدا، يمكن أن نجد جملا تبقى مغلقة تقريبا خلال تلك الفترة ، وتكون الكمية W من أجل مثل هذه الجمل مقياسا لتوازن حالاتها ، وكلما كبرت W اقتربت الجمل الفرعية في جملة مغلقة معينة من التوازن .

ان الانتروبية بالتعريف هي كمية جمعية كما وجدنا في الفقرة

4.3 بحيث يكون :

$$S = K \ln W = -K \sum_i P_i \ln P_i = \sum_i S_i \quad (12.33)$$

ويرى من هذه المعادلة أنه من الطبيعي تسمية S_i المعرفة بالمساواة الأخيرة من (12.33) أنتروبية الجملة الفرعية ، ولقد وجدنا من خلال دراستنا (الفصل الحادي عشر) أن طاقة الجملة الفرعية شبه المغلقة تكون قريبة جدا من قيمة ثابتة هي قيمتها الوسطية ولكنها لاتساويها تماما (وكما يتضح من الامثلة المطروحة

في الفقرة 12.2 من هذا الفصل). لذلك يمكن تطبيق صيغة انتروبية الجملة الفرعية تطبيقاً ناجحاً على الجملة " المغلقة " التي تكون طاقتها ثابتة تماماً . ويتعين الخطأ هنا من الترحح النسبي لكميات في الجملة الفرعية ، أي انه صغير الى حد الاهمال .

من جهة ثانية ان حالة مثل هذه الجملة الفرعية شبه المتوازنة معينة تماماً في كل لحظة بأنتروبيتها ووسطائها الخارجية . ويعين المبدأ الثاني في الترموديناميك ازدياد انتروبية جملة ما بدلالة كمية الحرارة التي تتلقاها الجملة في تحول عكوس وفق العلاقة :

$$dS = \frac{dQ}{T} \quad (12.34)$$

ولكن اذا حدث تحول غير عكوس داخل الجملة فان هذه المعادلة لاتصح : لتكن الجملة مثلاً موءلفة من جملتين فرعيتين عند درجتين حرارة مختلفتين . ففي تحول تتساوى في نهايته هاتان الدرجتان تقترب مثل هذه الجملة الى توازن احصائي وتزداد أنتروبيتها . لكن الجملة لاتتلقى أية حرارة من الخارج بحيث يكون المقدار dQ من أجل كل الجملة مساوياً الصفر ويكون $dS > 0$. وبالتالي اذا حدث تحول غير عكوس داخل جملة ما فإنه يكون بشكل عام :

$$dS \geq \frac{dQ}{T} \quad (12.35)$$

لان الأنترودية تزداد بدون انتقال الحرارة .

ولكن اذا تبادلت الجملة المعتبرة حرارة مع جمل أخرى بتحول غير عكوس ، دون ان يحدث تحول غير عكوس داخل الجملة نفسها ، أمكن عندئذ تطبيق المعادلة (12.34) .

إذا حدث تحول غير عكوس في جملة ما كان لدينا من العلاقة
الاخيرة (12.35) المتراجحة :

$$dQ \leq TdS \quad (12.36)$$

وبتعويض هذه المتراجحة في معادلة القانون الاول للترموديناميك
(4.13) يكون لدينا :

$$d\bar{U} \leq TdS - dA \quad (12.37)$$

حيث رمزنا بالرمز A للعمل الذي تقوم به الجملة في التحول غير
العكوس . وهو اذن يحقق دائما المتراجحة التالية :

$$-dA \geq d\bar{U} - TdS \quad (12.38)$$

إذا فرضنا أن التحول يتم عند درجة حرارة ثابتة فإنه يمكن عندئذ
كتابة العلاقة الاخيرة على شكل علاقة بين تفاضلات تامة :

$$-dA \geq d(\bar{U} - TS) \quad (12.39)$$

فإذا قامت الجملة بعمل موجب ، كان $dA > 0$ ونحصل بعكس اشارة
المتراجحة (12.39) على العلاقة

$$dA \leq -d(\bar{U} - TS) \quad (12.40)$$

وحيث تمثل الكمية :

$$F \equiv \bar{U} - TS \quad (12.41)$$

الطاقة الحرة للجملة .

ينتج من المتراجحة (12.40) أن العمل الاعظمي الذي يمكن

أن تقدمه الجملة عند درجة حرارة ثابتة يساوي تغير الطاقة الحرة للجملة مأخوذاً بإشارة معاكسة أي :

$$A_{\max} = F_1 - F_2 \quad (12.42)$$

فالعمل اذن يساوي قيمته العظمى في التحول العكوس .

في حين أن للمتراحة (12.39) معنى مختلفاً نوعاً ما فهي تعين العمل الاصغرى الذي يجب أن يصرف على الجملة لكي تحدث التغير

$$A_{\min} = F_2 - F_1 \quad (12.43)$$

المطلوب في حالتها :

ان انتروبية الجملة والوسط المحيط (اذا اعتبرنا معا) هي كمية محفوظة في هذه التحولات والمتراحة (12.37) تنقلب الى مساواة .

وكمثال لما ناقشناه بفرض ان لدينا غازاً مثالياً يتمدد الى حيز من الخلاء فانه لايقوم بأي عمل وبالتالي تكون طاقة محفوظة . ولكن طاقة الغاز المثالي هي تابع لدرجة حرارته فقط وليست تابعاً لحجمه لهذا تبقى درجة الحرارة ثابتة خلال هذا التمدد في حين أن انتروبية الغاز تزداد كما وجدنا . عندها يكون العمل الاصغرى اللازم لاعادة الغاز الى حجمه الاصلي في نفس درجة الحرارة يساوي تغير طاقته الحرة خلال التمدد . وفي مثل هذا الانضغاط العكوس تنقص أنتروبية الغاز ، بينما تزداد أنتروبية الوسط المحيط بنفس المقدار .

وبدراسة مماثلة نجد أن الكمون الترموديناميكي أو تابع الانتالبية الحرة G التابع لحالة الجملة يسلك سلوكاً مماثلاً

لتابع الطاقة الحرة من حيث العمل الاعظمي الذي يمكن أن تقوم به
الجملة في تحول عكوس عند درجة حرارة ثابتة وضغط ثابت :

$$A_{\min} = G_1 - G_2 \quad (12.44)$$

ولكن حين يستتب التوازن في جملة ما ، لايمكن القيام بأي عمل
ويصل الكمون G عندئذ الى قيمة صغرى لان انجاز العمل ، وفقاً
للعلاقة (12.44) . يتم على حساب نقصان الكمون . فحين يكون
 $A_{\max} = 0$ ، لايمكن للكمون G أن ينقص أكثر من ذلك . فشرط
التوازن هنا هو أن يكون الكمون G ذا قيمة صغرى .

12.5 - احتمال الترجح :

لنستخرج الآن صيغة عامة لاحتمال الترجح في جملة فرعية من
جملة كبيرة يمثلها الطاقم .
لنفرض أن بعض الانحراف عن التوازن الاحصائي قد حدث في الجملة
الفرعية . يؤول ذلك الى أن الجمل الكبيرة بكاملها ستتحرف بعض
الشيء عن حالة التوازن . وتكون النسبة بين احتمال التوازن واحتمال
حالة عدم التوازن في الجملة الكبيرة أي الطاقم مساوية للنسبة
بين الاحتمالين الترموديناميين لكلا الحالتين :

$$\frac{\omega}{\omega_0} = \frac{W}{W_0} \quad (12.45)$$

حيث يرمز الدليل 0 الى القيمة عند التوازن . ولكن يرتبط
الاحتمال الترموديناميكي بالانتروبية وفق علاقة بولتزمان $S = K \ln W$
ويكون بتعويض النسبة $\frac{W}{W_0}$ للاحتمالين الترموديناميين بمساواة
يساويها بدلالة الانتروبية S و S_0 في كلا الحالتين المعرفتين
اعلاه نجد :

$$\frac{\omega}{\omega_0} = e^{\frac{S-S_0}{K}} \quad (12.46)$$

ويمكن أن تعطى هذه الصيغة على نحو مختلف نوعاً ما بما أن الجملة الكبيرة مغلقة ، فإن طاقتها تبقى ثابتة حين يحدث الترج في جملتها الفرعية ، أي $\bar{U} = \bar{U}_0$. ولما كانت الطاقة الكلية مرتبطة مع الطاقة

الحررة وفق علاقة من الشكل (12.41) يكون :

$$F = \bar{U} - TS$$

$$f_0 = \bar{U}_0 - TS_0$$

ينتج عن هاتين العلاقتين أن تغير طاقة الجملة التي تخضع للترج يساوي تغير الطاقة الحررة مأخوذة بإشارة معاكسة مقسوماً على درجة الحرارة أي :

$$S-S_0 = \frac{F-F_0}{T} = - \frac{A_{min}}{T} \quad (12.47)$$

حيث استفدنا من العلاقة (12.43) في التعبير عن تغير الطاقة الحررة بدلالة العمل الأصغرى . ولكن حيث تعبر A_{min} هنا عن العمل الخارجي الأصغرى الذي ينبغي أن تتلقاه الجملة كي يحدث هذا الترج بصورة عكوسة أي بحيث تبقى أنتروبية الجملة والوسط المحيط (إذا اعتبرنا معاً) كمية محفوظة كما ذكرنا في الفقرة السابقة 12.4 .

وهكذا يُعرّف احتمال الترج بالاستفادة من العلاقتين (12.46)

و (12.47) وفق علاقة التناسب التالية التي استخرجها اينشتاين:

$$\omega \sim e^{-\frac{A_{min}}{KT}} \quad (12.48)$$

وينبغي ألا ننسى أن الترحج يحدث تلقائيا دون صرف أي عمل خارجي. وقد أخذنا ذلك بعين الاعتبار بواسطة المعادلة $\bar{U} = \bar{U}_0$ ، كما يمكن أن يتولد نفس الانحراف عن قيم التوازن للقيم الفعلية ففي الجملة الفرعية دون توقع حدوث ترجح فيها وذلك بانجاز عمل A_{\min} بصورة عكوسة .

12.6 - ترجحات الكميات الترموديناميكية :

يمكن الاستعاضة عن عبارة العمل الاصغرى بعلاقة تكون أكثر ملاءمة للحسابات الفعلية. من أجل ذلك سنعتبر أن الجملة الكبيرة قد قسمت إلى جزأين : جزء صغير تحدث فيه الترجحات ويختل فيه التوازن الاحصائي تلقائيا ، والجزء الثاني ويمثل بقية الجملة الكبيرة يكون فيه تغير الكميات عكوسا . وبعبارة أخرى ، تولد الترجحات انحرافا عن التوازن في جزء صغير من الجملة فقط . سنكتب فيما يلي الكميات الترموديناميكية المتعلقة بهذا الجزء بدون أي دليل ونقرن تلك التي تعود إلى كامل الجزء الباقي بالدليل t أما كميات التوازن فنكتبها مذيلاه بالدليل \circ .

بالتعريف ، يتم حساب العمل الاصغرى في الحالة التي تكون فيها أنتروبية كل الجملة ثابتة ، أي كما لو أنه ، بدلا من حدوث الترحج ، افترضنا أن هناك بعض التغيير في قيم الكميات الترموديناميكية تتم على حساب فعل خارجي يكون بحيث لا يفسد حالة التوازن الاحصائي . بتأثير فعل خارجي يكون تغير طاقة الجملة مساويا للعمل ، أي :

$$A_{\min} = \Delta \bar{U} + \bar{\Delta U}_t \quad (12.49)$$

حيث يؤخذ العمل في هذه العلاقة بإشارة موجبة اذ صرف على
الجملة اصطلاحا .

ولدينا من المبدأ الأول في الترموديناميك أن :

$$d\bar{U} = dQ - dA \quad (12.50)$$

حيث تدل الإشارة أمام dA انه اذا قام الجسم بعمل ما فان
طاقتة تتناقص . علاقة يمكن كتابتها على الشكل :

$$d\bar{U} = TdS - PdV \quad (12.51)$$

وذلك باستخدام العلاقة (12.35) في التحول العكوس .

ان تغيرات الكميات الترموديناميكية في الجملة الكبيرة هي
تغيرات صغيرة جدا وتقل كلما كبرت الجملة . وبذلك يمكن أن نبذل
 ΔU_t من المتطابقة الترموديناميكية (12.51) التي تكتب

$$\Delta \bar{U}_t = T_O \Delta S_t - P_O \Delta V_t \quad \text{على الشكل :} \quad (12.52)$$

وكما أوضحنا آنفا فان العمل الاصغرى A_{\min} يحسب في حالة
التحول العكوس . لذلك يكون لدينا $\Delta S_t = -\Delta S$ بالاضافة الى
ان $\Delta V_t = \Delta V$ طبعا . ينتج عن ذلك أن :

$$A_{\min} = \Delta \bar{U} - T_O \Delta S + P_O \Delta V \quad (12.53)$$

ولكون الترجحات الكبيرة غير محتملة الحدوث ، لذلك ينبغي
 أن تعتبر الكميات ΔS و ΔV مقادير صغيرة أيضا في الحملة الفرعية .
 من الضروري هنا أن نقوم بسلسلة نشر للكميات الترموديناميكية
 تنتهي بالمرتبة الثانية ، والا كان العمل A_{\min} مطابقا للصفر .
 لنشر اذن ΔU في سلسلة باعتبار الطاقة تابعا لكل من الانتروبية
 S والحجم V ونكتفي بحدود الدرجة الاولى والثانية (يمكن
 أن يبدأ نشر الانتروبية من جوار النهاية العظمى و بحدود تربيعية
 فقط) :

$$\Delta U = \left(\frac{\partial \bar{U}}{\partial S} \right)_O \Delta S + \left(\frac{\partial \bar{U}}{\partial V} \right)_O \Delta V + \frac{1}{2} \left(\frac{\partial^2 \bar{U}}{\partial V^2} \right)_O (\Delta V)^2 +$$

$$+ \left(\frac{\partial^2 \bar{U}}{\partial V \partial S} \right)_O \Delta V \Delta S + \frac{1}{2} \left(\frac{\partial^2 \bar{U}}{\partial S^2} \right)_O (\Delta S)^2$$

ولكن لدينا : $\left(\frac{\partial \bar{U}}{\partial V} \right)_O = -P_O$, $\left(\frac{\partial \bar{U}}{\partial S} \right)_O = T_O$ وبالتالي
 تبقى في علاقة المنشور للتابع $A_{\min} = (\Delta \bar{U} + \Delta \bar{U}_t)$ الحدود التربيعية
 فقط. هذه الحدود يمكن أن تعطى شكلا مختلفا نوعا ما وذلك بالاستفادة
 من العلاقات التالية :

$$\left(\frac{\partial^2 \bar{U}}{\partial V^2} \right)_S = - \left(\frac{\partial P}{\partial V} \right)_S , \left(\frac{\partial^2 \bar{U}}{\partial S^2} \right)_V = \left(\frac{\partial T}{\partial S} \right)_V , \left(\frac{\partial^2 \bar{U}}{\partial V \partial S} \right) = - \left(\frac{\partial P}{\partial S} \right)_V = \left(\frac{\partial T}{\partial V} \right)_S$$

اذ يمكن عندها التعبير عن A_{\min} بالعلاقة :

$$A_{\min} = - \frac{1}{2} \Delta V \left[\left(\frac{\partial P}{\partial V} \right)_O \Delta V + \left(\frac{\partial P}{\partial S} \right)_O \Delta S \right] +$$

$$+ \frac{1}{2} \Delta S \left[\left(\frac{\partial T}{\partial V} \right)_O \Delta V + \left(\frac{\partial T}{\partial S} \right)_O \Delta S \right]$$

$$A_{\min} = \frac{1}{2} (\Delta T \Delta S - \Delta P \Delta V) \quad (12.54)$$

وتتحول بذلك صيغة اينشتاين المعطاة بالعلاقة (12.48) من

أجل احتمال الترجح الى الشكل التالي :

$$\omega \sim e^{\frac{1}{2KT} (\Delta P \Delta V - \Delta T \Delta S)} \quad (12.55)$$

• حيث حذف الدليل O من T .

12.7- تطبيق : ترجحات الحجم ودرجة الحرارة :

لايجاد ترجحات الحجم ودرجة الحرارة نعوض عن ΔP و ΔS بدلالة

الحجم ودرجة الحرارة في علاقة احتمال الترجح والتي يمكن كتابتها

بشكل مساواة بتقريب ثابتة تناسب ملائمة . لدينا :

$$\Delta P \approx \left(\frac{\partial P}{\partial V} \right)_T \Delta V + \left(\frac{\partial P}{\partial T} \right)_V \Delta T \quad (12.56)$$

$$\Delta S \approx \left(\frac{\partial S}{\partial V} \right)_T \Delta V + \left(\frac{\partial S}{\partial T} \right)_V \Delta T \quad (12.57)$$

ولكن لدينا $\left(\frac{\partial S}{\partial V} \right)_T = \left(\frac{\partial P}{\partial T} \right)_V$ ويمكن التحقق من ذلك

باستخدام العلاقة الثالثة من المعادلات (11.23) حيث تعطي :

$$P = - \left(\frac{\partial F}{\partial V} \right)_T , \quad S = - \left(\frac{\partial F}{\partial T} \right)_V \quad (12.58)$$

بتعويض المعادلتين (12.56) و (12.57) في العلاقة

(12.55) نجد أن الطرف الايمن من هذه العلاقة الاخيرة يمثل بجداً

عاملين تابعين للمقدارين ΔV و ΔT فقط :

$$\omega \sim e^{-\frac{1}{2KT} \left(-\frac{\partial P}{\partial V} \right)_T (\Delta V)^2} \sim e^{-\frac{1}{2KT} \left(\frac{\partial S}{\partial T} \right)_V (\Delta T)^2} \quad (12.59)$$

ولتعيين الترجح التربيعي الوسطي للحجم نلاحظ أنه بفرض أن :

$$\frac{1}{2KT} \left(-\frac{\partial P}{\partial V} \right)_T \equiv -\alpha$$

$$\overline{(\Delta V)^2} = - \frac{\partial}{\partial \alpha} \ln \int_{-\infty}^{+\infty} e^{-\alpha(\Delta V)^2} d(\Delta V) \quad \text{يكون :}$$

$$= - \frac{\partial}{\partial \alpha} \ln \sqrt{\frac{\pi}{\alpha}} = \frac{1}{2\alpha}$$

حيث أمكن لنا أن نأخذ بالتكامل ممتداً من $-\infty$ الى $+\infty$ وذلك

لان المقدار الذي نجري التكامل عليه صغير جداً لكبر المقدار ΔV .

وبتعويض α بقيمتها نجد أنه بثبوت درجة الحرارة يكون :

$$\overline{(\Delta V)^2} = - \frac{KT}{\left(-\frac{\partial P}{\partial V} \right)_T} \quad (12.60)$$

ونلاحظ أنه لو أردنا أن نعبر عن الترجح التربيعي الوسطي

للحجم بثبوت الانتروبيه مثلاً فاننا نحصل على علاقة تختلف عن العلاقة

(12.60) والتي تعبر عن ذلك بثبوت درجة الحرارة كما هو واضح .

يمكن أيضاً ، وب نفس الطريقة المتبعه بالنسبة للحجم ، أن نجد

بسهولة بدءاً من العامل الثاني في العلاقة (12.59) علاقة الترجيح

التربيعي الوسطي لدرجة الحرارة فيكون لدينا :

$$\frac{1}{(\Delta T)^2} = K^2 T \left(\frac{\partial T}{\partial S} \right)_V = \frac{K^2 T^2}{C_V} \quad (12.61)$$

حيث يحسب هذا الترجيح بثبوت الحجم ، الا أنه يجب ملاحظة

مايلي :

ان درجة الحرارة T لجملة هي كمية بالتعريف لا تتأرجح عندما تكون الجملة بتماس مع خزان حراري كما وجدنا حين دراسة الطاقم القانوني في الفصل الحادي عشر . وكل رأي آخر سيكون مناقضاً "لتعريف" درجة حرارة جملة لان لهذا المقدار معنى عند التوازن فقط. ان الكمية T في العلاقة (12.61) هي معامل توزع جيبس من أجل كامل الجملة الكبيرة ، وعندما يحدث ترجح في الجملة الفرعية فان هذه الكمية لا تنطبق طبعا مع درجة حرارتها ، أي مع معامل توزعها الذي يعود الى الفاصلة الزمنية التي تكون خلالها الجملة الفرعية شبه مستقلة عن الجملة الكبيرة . وفي خلال مثل تلك الفاصلة الزمنية لا تكون T أيضا درجة حرارة الجملة الكبيرة وذلك لنفس السبب المذكور اعلاه ، أي لان للمقدار T معنى درجة الحرارة عند التوازن فقط . ما يترجح هو طاقة الجملة الفرعية ولكن ليس درجة الحرارة . والعلاقة (12.61) التي يعطيها لاندوليفشتن (مرجع 13) تمثل في الواقع شكلا تقريبا آخر لعلاقة الترجيح التربيعي الوسطي للطاقة المعطاة بالعلاقة (12.7) ، وذلك

$$\Delta U = C_V \Delta T \quad \text{بلاستفادة من كون أن}$$



مسائل عامة

١- لنعتبر جملة معزولة من ثلاثة سبينات موضوعة في حقل مغناطيسي \vec{B} مواز لـ OZ . يكون لجسيمة طاقة μB - اذا اتجه السبين نحو الاعلى . بفرض أن الطاقة الكلية للجملة تساوي μB - عيّن :

- ١- الحالات المختلفة الممكنة للجملة .
- ٢- الاحتمال من أجل أن يكون سبين جسيمة معينة متجها نحو الاعلى اذا علمت أن كل الحالات متساوية الاحتمال .
- ٣- العزم المغناطيسي الوسطي للجملة .

٢- يحتوي جسم صلب على N ثقب يمكنها أن تلتقط الالكترونات . كل ثقب يمكن أن يأخذ عددا محدودا من الحالات ℓ بطاقة ϵ_ℓ وأن يحتوي عددا ρ_ℓ من الالكترونات . ليكن n العدد الكلي للالكترونات ، E الطاقة الكلية للجسم الصلب ، وليكن n_ℓ عدد الثقوب في الحالة ℓ .

- ١- ما هي الشروط التي يجب ان يخضع لها توزيع n_ℓ .
- ٢- بايجاد التوزيع الاكثر احتمالا والخافع لهذه الشروط بيّن أن n_ℓ هو من الشكل $n_\ell = A e^{-\beta \epsilon_\ell - \mu \rho_\ell}$ حيث μ ، A و B ثوابت .

٣- لدينا جملة مؤلفة من N سبين بحيث يمكن لكل سبين أن يشغل في حقل مغناطيسي سويتي طاقة 0 و ϵ . أوجد عدد الحالات الممكنة $W(n)$ الموافقة للطاقة $E=n\epsilon$ للجملة واستنتج منها درجة حرارة الجملة وبتين أن

$$\frac{n}{N} = \frac{1}{1+e^{\epsilon/KT}}$$

٤- تتألف جملة من غاز موجود ضمن حجم متوازي مستطيلات أضلاعه L_x, L_y, L_z . بتين أن القوة الوسطية التي يطبقها الغاز على أحد الجدران العمودية على ox يعبر عنه بدلالة Z وفق

$$\bar{F} = \frac{1}{\beta} \frac{\partial \ln Z}{\partial L_x} \quad \text{العلاقة :}$$

إذا كانت الجملة متماثلة المناحي فبتين أن الضغط الوسطي

$$\bar{P} = \frac{1}{\beta} \frac{\partial \ln Z}{\partial V} \quad \text{يكتب على الشكل :}$$

حيث V حجم الجملة .

٥- غاز مثالي مؤلف من N جزيئة أحادية الذرة :

١- أكتب تابع التجزئة Z لهذا الغاز بدلالة تابع التجزئة z

لجزيئة واحدة (تابع التجزئة هو مجموع الحالات) .

٢- بتين أن الطاقة الوسطية للغاز تساوي N مرة القيمة

الوسطية للطاقة جزيئة وأن الضغط الوسطي للغاز يساوي N

مرة الضغط الوسطي المطبق من قبل جزيئة واحدة .

٦- نعتبر جزيئة شائعية الذرة تدور حول محور يربط بين ذرتيهما، ان الطاقة الحركية لجزيئة كهذه هي $E = \frac{J^2}{2A}$ حيث J العزم الحركي و A عزم العطالة . في الميكانيك الكوانتي يمكن لهذه الطاقة ان تأخذ سلسلة من القيم المتقطعة :

$$E_j = \frac{\hbar^2 j(j+1)}{2A}$$

حيث j هو عدد كوانتي يعين قيمة العزم الحركي $\vec{J} (j=0,1,\dots)$. من أجل كل قيمة لـ j توجد $(2j+1)$ حالة كوانتية منفصلة والتي تكون ممكنة وتوافق الى مجموعة توجيهات منفصلة ممكنة للشعاع $\hbar = \frac{h}{2\pi}$, h ثابت بلانك . توجد هذه الجزيئة في غـاز متوازن عند درجة الحرارة T .

١- احسب تابع التجزئة Z .

$$2- \text{ بفرض أن الشرط } \frac{KT}{\hbar^2/2A} \gg 1$$

محقق (وهو محقق من أجل اغلب الجزيئات شائعية الذرة عند درجة الحرارة العادية) . يتبين أنه يمكن التعبير عن Z بشكل تكامل باستخدام $v = j(j+1)$ كمتحـيول مستمر .

٣- احسب، عندها، طاقة الدوران الوسطية \bar{E} للجزيئة شائعية الذرة من أجل هذا السلم لدرجات الحرارة .

٤- استنتج من ذلك الطاقة الوسطية لجزيئة شائعية الذرة لغاز (حيث يطلب تحديد معنى مختلف الحدود التي ترد في معادلة الطاقة هذه) . ما هي قيمة السعة الحرارية النوعية C_V

تحت حجم ثابت من اجل غاز مثالي ثنائي الذره ؟

٧-١- تشكل كتلة m معلقة بنابض هزازا توافقيا (كلاسيكيا) بتواتر

ω في الميكانيك الكوانتي يتميز هزاز كهذا بمجموعة منقطعة من

الحالات الطاقية E_n بحيث تكون $E_n = (n + \frac{1}{2})\hbar\omega$ يرقم

العدد الكوانتي n هذه الحالات . ويمكن ان يأخذ جميع القيم

الصحيحة $n=0,1,2,3,\dots$ ، كمثال على الهزاز التوافقي

يمكن أن تكون ذرة مهتزة حول موضع توازنها في جسم صلب .

نفترض أن هذا الهزاز هو في توازن حراري عند الدرجة T

سنقوم بحساب طاقته الوسطية \bar{E} .

١- عيّن تابع التجزئة Z واستنتج بدلا منه \bar{E} .

٢- اعط شكل المنحني $\bar{E} = f(T)$

a - ادا كانت $KT \ll \hbar\omega$ فماذا يمكن أن نقول عن \bar{E} ؟ .

b - ادا كانت $KT \gg \hbar\omega$ فما هي القيمة الحدية لـ \bar{E} ؟ وكيف

تتعلق بكل من T و ω ؟ .

II- لنعتبر مجموعة من N هزاز توافقيا . مهمة التأثير المتبادل،

عند درجة الحرارة T . يعتبر هذا النموذج مقربا للذرات

جسم صلب بفرض أن ω تواتر الاهتزاز الكلاسيكي .

١- عيّن الحرارة النوعية C لهذه المجموعة من الهزازات

(بثبات الوسطاء الخارجية) .

٢- اعط شكل المنحني $C = f(T)$. ماذا تصبح قيمة السعة

الحرارية عند درجات حرارة مرتفعة ، أي من أجل $KT \gg \hbar\omega$ ؟

II- لكي تعالج الاهتزازات الذرية لجسم صلب يستخدم الميكانيك الكوانتي انموذجا مبسطا يفترض ان كل ذرة من الجسم الصلب تهتز بصورة مستقلة عن الاخرى بنفس التواتر ω في الاتجاهات الثلاث . الجسم الصلب مؤلف من N ذرة وتكافئ الى مجموعة من $3N$ هزاز ، ببعد واحد ، تهتز بالتواتر ω .

١- بفرض أن الجسم الصلب متوازن عند درجة الحرارة T ، أحسب الطاقة الوسطية \bar{E} لهزاز ما واستنتج بدلا منها الطاقة الوسطية الكلية \bar{E} لذرات الجسم الصلب .

٢- استنتج من ذلك الحرارة النوعية C_V للجسم الصلب وبرهن أنها يمكن أن تأخذ الشكل :

$$C_V = 3R \frac{W^2 e^W}{(e^W - 1)^2}$$

$$W = \frac{\hbar \omega}{KT} = \frac{\Theta}{T}$$

حيث

٣- بين أنه من أجل $T \gg \Theta$ فإننا نحصل على النتيجة الكلاسيكية

• $C_V = 3R$ وأن C_V تنتهي الى الصفر عندما $T \rightarrow \Theta$.

٤- أعط العبارة التقريبية لـ C_V عندما $T \ll \Theta$ وبين شكل

المنحني $C_V = f(T)$.

IV- ليكن لدينا هزازا ذا بعد واحد غير توافقي تعطى طاقتاه

بالعلاقة $\epsilon = \frac{p^2}{2m} + b x^4$ ، مجموع طاقتيه الحركية والكامنة .

حيث P كمية الحركة و x المتحول الفراغي . لتكن درجة الحرارة

T مرتفعة بشكل كاف بحيث يصبح التقريب الكلاسيكي محققا .

١- ما هي الطاقة الحركية الوسطية لهذا الهزاز ؟ قارن مع طاقة الهزاز التوافقي .

٢- ما هي طاقته الكامنة الوسطية ؟ نفس المقارنة .

٣- ما هي الطاقة الكلية الوسطية .

٤- اذا اعتبرنا N جسيمة تأثيرها المتبادل ضعيف وتهتز

كل منها في بعد واحد بالطاقة ϵ المحددة أعلاه ، ما هي

السعة الحرارية النوعية المولية تحت حجم ثابت ؟

٨- لدينا جملة في حالة توازن ترموديناميكي عند الدرجة T تحتوي

مجموعة من N جسيمة مهملة التأثير المتبادل ويمكن لكل منها

أن تشغل حالتين طاقة ϵ_1 أو ϵ_2 (نفرض أن $\epsilon_1 < \epsilon_2$) .

١- أوجد الطاقة الوسطية \bar{E} لهذه الجملة . ماذا تصبح \bar{E} عندما

$T \rightarrow 0$ وعندما $T \rightarrow \infty$ ؟ علل هاتين النتيجةين .

٢- أحسب الحرارة النوعية لهذه الجملة بدلالة

$x = \frac{\Delta E}{KT}$ حيث $\Delta E = \epsilon_2 - \epsilon_1$. ارسم المنحنيات الممثلة لـ $\bar{E}(T)$ و $C(T)$

وبتين أن الحرارة النوعية تظهر قيمة أعظمية من أجل درجة

حرارة معينة (شذوذ Schottky شتكي) .

٣- لوحظت هذه الحالات الشاذة في تبيرات الحرارة النوعية عند

درجة حرارة منخفضة من أجل بعض الأجسام الصلبة، مثلاً الاملاح

حرارية المغنطيس ، قارن هذه المساهمة $C(T)$ بالحرارة

النوعية لمجموعة من الهزازات التوافقية (المسألة ٢) في الحالة

حيث $\Delta E \approx \frac{KG}{100}$.

٩- لنعتبر جملة موزعة من N الكترون موضوعة في السويقة

الالكترونية للطاقة E . تنقسم هذه السويقة حين تطبيق حقل

مغناطيسي الى السويتين $E + \epsilon$ و $E - \epsilon$.

١- ما هو احتمال الانشغال f للسوية العلوية . احسب الطاقة

الداخلية U للجملة محسوبة ابتداءً من السوية الاساسية

بدلالة f . وبين أنه يمكن بشكل عام أن نكتب $\left(\frac{\partial S}{\partial U}\right)_x = \frac{1}{T}$

حيث S هي انتروبية الجملة ، T درجة الحرارة (ويطلب

تحديد x) . ثم استنتج ان الانتروبية S تكون دائماً

موجبة .

٢- احسب S بدلالة f بدءاً من عدد التراكيب الممكنة للجملة

واستنتج من ذلك أن الانتروبية تمر بقيمة أعظمية ثم أرسم

المنحني $S = g(U)$.

٣- تحقق من أن لدينا مثلاً $\left(\frac{\partial S}{\partial U}\right)_x = \frac{1}{T}$ وبين أن مفهوم

" درجات الحرارة السالبة " ينتج مباشرة من شكل المنحني

$S = g(U)$ وأنه يرتبط بتوزيع الالكترونات في سويتي

الطاقة والذي لا يخضع الى قانون بولتزمان .

٤- نضع الجملة عند درجة الحرارة $T_1 = -300^\circ K$ يتماس

مع جملة مطابقة (أو ممثلة) عند درجة الحرارة

$T_2 = 300^\circ K$. عيّن بمساعدة المنحني $S = g(U)$

درجة حرارة التوازن .

حل المسألة رقم (٩):

١- ان انشغال السوية العلوية يساوي :

$$f = \frac{e^{-\epsilon/T}}{e^{-\epsilon/T} + 1}$$

حيث $\tau = KT$ وتساوي عندها الطاقة الداخلية الى :

$$U = N [\epsilon f - (1-f)]$$

$$U = N\epsilon (2f-1)$$

بملاحظة أن $0 < f < 1$ يكون بالتالي $-N\epsilon < U < N\epsilon$

ولما كان $dU = TdS - PdV$ ، $\frac{1}{T} = \left(\frac{\partial S}{\partial U}\right)_x$ حيث تمثل x كل متحول

ترموديناميكي يظهر في العلاقة التي تعبر عن dU بدلالة dS وعنه :

$$S = \int \frac{dU}{T} = \int \frac{1}{T} \frac{\partial U}{\partial \tau} d\tau = 2N\epsilon \int \frac{1}{T} \frac{\partial f}{\partial \tau} d\tau$$

ولكن :

$$\frac{\partial f}{\partial \tau} = -\frac{\epsilon}{\tau^2} \frac{-e^{-\epsilon/\tau}}{(e^{\epsilon/\tau} + e^{-\epsilon/\tau})} - \frac{e^{-\epsilon/\tau}(e^{-\epsilon/\tau} - e^{\epsilon/\tau})}{(e^{\epsilon/\tau} + e^{-\epsilon/\tau})^2}$$

ولهذا المشتق اشارة المقدار :

$$e^{-x}(e^x + e^{-x}) + e^{-x}(e^x - e^{-x}) = 2(1 + e^{-2x}) > 0$$

حيث $x = \frac{\epsilon}{\tau}$ ينتج من ذلك أن $\frac{\partial f}{\partial \tau} > 0$ وبالتالي $S > 0$

عدد التراكيب الممكنة للجمله هو :

$$W = \frac{N!}{(Nf)! [N(1-f)]!}$$

$$\text{Ln}W = N \text{Ln}N - N - Nf \text{Ln}Nf + Nf - N(1-f) \text{Ln}[N(1-f)] + N(1-f)$$

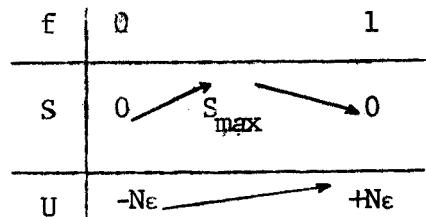
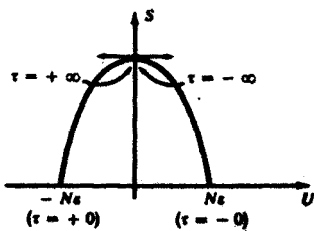
$$\text{Ln}W = -Nf \text{Ln} \frac{f}{1-f} - N \text{Ln}(1-f)$$

$$\frac{\partial \text{Ln}W}{\partial f} = -N \left\{ \text{Ln} \frac{f}{1-f} - f \left(\frac{1}{f} + \frac{1}{1-f} \right) + \frac{1}{1-f} \right\} =$$

$$= -N \text{Ln} \frac{f}{1-f}$$

وينعدم هذا المقدار اذا كانت $f = 1-f$ أي $f = \frac{1}{2}$. ولما كان

$S = K \text{Ln}W$ فان الانتروبية S تمر بنهاية عظمى .



وبالتالي : $S = K \text{Ln}W$ -٢

$$\left(\frac{\partial S}{\partial U} \right)_x = K \frac{\partial \text{Ln}W}{\partial f} \cdot \frac{\partial f}{\partial U} = NK \text{Ln} \left(\frac{1-f}{f} \right) \cdot \frac{1}{2N\epsilon}$$

ولكن :

$$\frac{1-f}{f} = \frac{e^{\epsilon/\tau}}{e^{-\epsilon/\tau}} = e^{2\epsilon/\tau}$$

$$\left(\frac{\partial S}{\partial U} \right)_x = \frac{K}{2\epsilon} \frac{2\epsilon}{KT} = \frac{1}{T}$$

ومنه :

الدرجة الحرارة T إشارة الميل للماس للمنحني $S = g(U)$ ويمكن بالتالي أن تكون سالبة . ونلاحظ أن "درجات الحرارة السالبة" توافق الى طاقات أكثر ارتفاعا من تلك الموافقه لدرجات حرارة موجبة : هذه الامكانية في الحصول على درجات حرارة سالبة ترتبط مباشرة بقانون التوزيع $f(T)$ للالكترونات على السويات والسذي لم يعد يمثل قانون توزع بولتزمان .

٤- ان النقاط الممثلة لكلتا الجملتين تكون متناظرة بالنسبة لمحور الترتيب على المنحني $S = g(U)$. عند التوازن ، لما كانت الجملتان متماثلتين فان الطاقات والانتروبيات تكون متساوية . ينتج عن ذلك أن هذه الجمل تتطور نحو درجة الحرارة $T = +\infty$.

الملحق I طريقة مضارب لاغرانج

طريقة مضارب لاغرانج :

ليكن لدينا التابع $f(x_1, x_2, \dots, x_n)$ الذي يتبع K متحولا ترتبط فيما بينها وفق العلاقتين التاليتين :

$$g(x_1, x_2, \dots, x_n) = 0$$

$$h(x_1, x_2, \dots, x_n) = 0$$

والذي يجب أن يمر بنهاية عظمى أي $df(x_1, x_2, \dots, x_n) = 0$

يجب ان تتحقق ثلاث علاقات بين تفاضلات المتحولات K وهي :

$$\left. \begin{aligned} \frac{\partial h}{\partial x_1} dx_1 + \frac{\partial h}{\partial x_2} dx_2 + \dots + \frac{\partial h}{\partial x_k} dx_k &= \sum_i \frac{\partial h}{\partial x_i} dx_i = 0 \\ \frac{\partial g}{\partial x_1} dx_1 + \frac{\partial g}{\partial x_2} dx_2 + \dots + \frac{\partial g}{\partial x_k} dx_k &= \sum_i \frac{\partial g}{\partial x_i} dx_i = 0 \\ \frac{\partial f}{\partial x_1} dx_1 + \frac{\partial f}{\partial x_2} dx_2 + \dots + \frac{\partial f}{\partial x_k} dx_k &= \sum_i \frac{\partial f}{\partial x_i} dx_i = 0 \end{aligned} \right\} (1)$$

جملة المعادلات (1) هذه تقودنا الى المعادلة :

$$\sum_i \left[\frac{\partial f}{\partial x_i} - \alpha \frac{\partial h}{\partial x_i} - \beta \frac{\partial g}{\partial x_i} \right] dx_i = 0 \quad (2)$$

حيث α و β وسائط غير معينة تسمى مضارب لاغرانج .

يمكن بدءاً من جملة المعادلات (١) حساب dx_1 و dx_2 بدلالة dx_3, \dots, dx_k . لنختار α و β بحيث تكونان حلاً لجملة المعادلتين التاليتين بمجهولين :

$$\left. \begin{aligned} \frac{\partial f}{\partial x_1} &= \alpha \frac{\partial h}{\partial x_1} + \beta \frac{\partial g}{\partial x_1} \\ \frac{\partial f}{\partial x_2} &= \alpha \frac{\partial h}{\partial x_2} + \beta \frac{\partial g}{\partial x_2} \end{aligned} \right\} \quad (3)$$

عندها نكتب المعادلة (2) بعد الأخذ بعين الاعتبار جملة المعادلات (3) على الشكل :

$$\sum_{i=3}^{i=k} \left[\frac{\partial f}{\partial x_i} - \alpha \frac{\partial h}{\partial x_i} - \beta \frac{\partial g}{\partial x_i} \right] dx_i = 0$$

ولكن القيم dx_i من أجل $i \geq 3$ اختيارية وهذا يتطلب بالتالي أن يكون :

$$\frac{\partial f}{\partial x_i} - \alpha \frac{\partial h}{\partial x_i} - \beta \frac{\partial g}{\partial x_i} = 0$$

من أجل $i=3,4,\dots,k$. ولما كانت هذه المعادلة محققة أصلاً

من أجل $i=1,2$ فإن المعادلات :

$$\frac{\partial f}{\partial x_i} - \alpha \frac{\partial h}{\partial x_i} - \beta \frac{\partial g}{\partial x_i} = 0 \quad (4)$$

تسمح لنا بحساب قيم x_i التي يكون من أجلها للتابع f نهاية مع الأخذ بعين الاعتبار $h=0$ و $g=0$. هذا البرهان لا ينطبق فقط عندما ترتبط المتحولات بمعادلتين $h=0, g=0$ ولكننا اخترنا

هذه الحالة لأنها صادفتنا في دراستنا هنا ، ويمكن دون صعوبة
تعميم هذا البرهان على حالات يكون فيها عدد العلاقات
التي تربط المتحولات أكثر من اثنتين .

الملحق II تقريب سترلنغ

تقريب سترلنغ :

بما أنه يهمنا من هذا التقريب الحالة التي من أجلها تكون n كبيرة جدا . وبالتالي يمكن إيجاد قيمة المقدار $\ln n!$ من أجل هذه الحالة باستخدام تقريب سترلنغ .
 بالتعريف لدينا :

$$n! = 1 \times 2 \times 3 \times \dots \times (n-1) \times n$$

$$\ln n! = \ln 1 + \ln 2 + \dots + \ln n$$

$$= \sum_{m=1}^n \ln m \quad (1)$$

يبين الشكل (II - 1) تغيرات $\ln m$ بدلالة m حيث يلاحظ أنه من أجل القيم الكبيرة لـ m أن المقدار $\ln m$ يتغير ببطء . ويمثل المجموع المعطى بالعلاقة (1) مساحة المنطقة الواقعة ضمن المستطيلات المبينة بالشكل (II - 1) وهذه المسافة تساوي تقريبا المساحة الواقعة تحت الخط المتصل ، وبالتالي فمن أجل القيم العالية لـ n أي $n \gg 1$ يمكن تحويل المجموع الى تكامل أي :

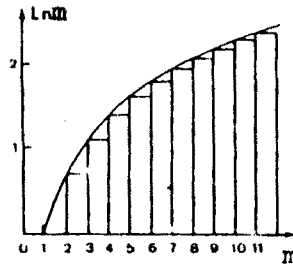
$$\ln n! \sim \int_1^n \ln x \cdot dx = [x \ln x - x]_1^n$$

وبالتالي فان :

$$\ln n! = n \ln n - n + 1$$

وبما أن $n \gg 1$ فيمكن إهمال الواحد واعتبار أن :

$$\ln n! \approx n \ln n - n \quad (\text{II-2})$$



• الشكل (II - ١) تغيرات $\ln m$ بدلالة m

المبحث III تكاملات Γ

تكاملات Γ :

يعرف التكامل Γ بالعلاقة التالية :

$$\Gamma(s) = \int_0^{\infty} x^{s-1} e^{-x} .dx \quad (s>0) \quad (1)$$

ويمكن البرهان رياضيا أن هذا التكامل يملك الخواص التالية :

1. $\Gamma(s+1) = S \Gamma(s) . \quad \forall \quad s>0$

2. $\Gamma\left(\frac{1}{2} + 1\right) = \frac{1}{2} \Gamma\left(\frac{1}{2}\right)$

3. $\Gamma\left(\frac{1}{2}\right) = \sqrt{\pi}$

4. $\Gamma(n+1) = n!$

حيث n عدد طبيعي يمكن أن يأخذ القيم :

$$n = 0, 1, 2, \dots$$

يمكن في بعض الاحيان تعديل تكامل Γ المعطى بالعلاقة السابقة وذلك باستبدال المقدار e^{-x} بالمقدار $e^{-\lambda x}$ وبالتالي يصبح التكامل

بالشكل :

$$\begin{aligned} \int_0^{\infty} e^{-\lambda x} .x^n dx &= \frac{1}{\lambda^{n+1}} \int_0^{\infty} e^{-\lambda x} (\lambda x)^n d(\lambda x) \\ &= \frac{1}{\lambda^{n+1}} \Gamma(n+1) \end{aligned} \quad (2)$$

$$S = n + 1 \quad \longleftarrow \quad S-1 = n \quad \text{حيث}$$

مثال :

لنجد قيمة التكامل التالي :

$$\int_0^{\infty} e^{-\lambda x} \cdot x^{-1/2} dx = \frac{1}{\lambda^{1/2}} \Gamma\left(\frac{1}{2}\right) = \sqrt{\frac{\pi}{\lambda}} \quad (3)$$

ويمكن حل التكامل أيضا بتحويله الى الشكل المعطى في العلاقة (1) حيث نفرض أن :

$$\lambda x = u \quad \longrightarrow \quad du = \lambda dx$$

وبما أن :

$$S-1 = -\frac{1}{2} \quad \longrightarrow$$

$$S = \frac{1}{2}$$

وبالتالي يصبح التكامل السابق بالشكل :

$$\int_0^{\infty} e^{-\lambda x} x^{-1/2} dx = \int_0^{\infty} e^{-u} \left(\frac{u}{\lambda}\right)^{-1/2} \frac{du}{\lambda}$$

$$= \frac{1}{\sqrt{\lambda}} \int_0^{\infty} e^{-u} \cdot u^{-1/2} du$$

$$= \frac{1}{\sqrt{\lambda}} \Gamma\left(\frac{1}{2}\right) = \sqrt{\frac{\pi}{\lambda}}$$

وذلك باستخدام الخاصة (3) .

مثال :

من المفيد أن نجد قيمة التكامل $\int_0^{\infty} x^n \cdot e^{-ax^2} \cdot dx$ والذي يمكن تحويله الى تكامل Γ وذلك بفرض أن $y=ax^2$ وبالتالي نجد أن :

$$\int_0^{\infty} x^n e^{-ax^2} dx = \frac{1}{2a^{(n+1)/2}} \int_0^{\infty} y^{(n-1)/2} e^{-y} dy$$

$$= \frac{1}{2a^{(n+1)/2}} \Gamma\left(\frac{n+1}{2}\right)$$

$$\Gamma(n) = \int_0^{\infty} e^{-x} x^{n-1} dx.$$

n	$\Gamma(n)$	n	$\Gamma(n)$	n	$\Gamma(n)$	n	$\Gamma(n)$
1,00	1,000 00	1,25	906 40	1,50	886 23	1,75	919 06
1,01	994 33	1,26	904 40	1,51	886,59	1,76	921 37
1,02	988 84	1,27	902 50	1,52	887 04	1,77	923 76
1,03	983 55	1,28	900 72	1,53	887 57	1,78	926 23
1,04	978 44	1,29	899 04	1,54	888 18	1,79	928 77
1,05	973 50	1,30	897 47	1,55	888 87	1,80	931 38
1,06	968 74	1,31	896 00	1,56	889 64	1,81	934 08
1,07	964 15	1,32	894 64	1,57	890 49	1,82	936 85
1,08	959 73	1,33	893 38	1,58	891 42	1,83	939 69
1,09	955 46	1,34	892 22	1,59	892 43	1,84	942 61
1,10	951 35	1,35	891 15	1,60	893 52	1,85	945 61
1,11	947 39	1,36	890 18	1,61	894 68	1,86	948 69
1,12	943 59	1,37	889 31	1,62	895 92	1,87	951 84
1,13	939 93	1,38	888 54	1,63	897 24	1,88	955 07
1,14	936 42	1,39	887 85	1,64	898 64	1,89	958 38
1,15	933 04	1,40	887 26	1,65	900 12	1,90	961 77
1,16	929 80	1,41	886 76	1,66	901 67	1,91	965 23
1,17	926 70	1,42	886 36	1,67	903 30	1,92	968 78
1,18	923 73	1,43	886 04	1,68	905 00	1,93	972 40
1,19	920 88	1,44	885 80	1,69	906 78	1,94	976 10
1,20	918 17	1,45	885 65	1,70	908 64	1,95	979 88
1,21	915 58	1,46	885 60	1,71	910 57	1,96	983 74
1,22	913 11	1,47	885 63	1,72	912 58	1,97	987 68
1,23	910 75	1,48	885 75	1,73	914 66	1,98	991 71
1,24	908 52	1,49	885 95	1,74	916 83	1,99	995 81
						2,00	1,000 00

الملاحق IV حساب تقريبي لتكامل فيرمي عندما $\alpha \rightarrow -\infty$

- حساب تقريبي لتكامل فيرمي عندما $\alpha \rightarrow -\infty$

$$I = \int_0^{\infty} \frac{f(x) dx}{e^{\alpha+x} + 1}$$

بفرض $\alpha + x = Y$

$$I = \int_{\alpha}^{\infty} \frac{f(Y-\alpha) dY}{e^Y + 1} = \int_{\alpha}^{\alpha} \frac{f(Y-\alpha) dY}{e^Y + 1} + \int_0^{\infty} \frac{f(Y-\alpha) dY}{e^Y + 1}$$

بتبديل Y بـ $-Y$ فاننا نعدل التكامل الاول ونجد :

$$I = \int_0^{-\alpha} \frac{f(-Y-\alpha) dY}{e^{-Y} + 1} + \int_0^{\infty} \frac{f(Y-\alpha) dY}{e^Y + 1}$$

ضمن هذه الشروط : $x = -Y - \alpha$ في التكامل الاول و

$x = Y - \alpha$ في التكامل الثاني. ولكن :

$$\frac{1}{e^{-Y} + 1} = 1 - \frac{1}{e^Y + 1}$$

ومنه نجد

$$I = \int_0^{-\alpha} f(-Y-\alpha) dY - \int_0^{-\alpha} \frac{f(-Y-\alpha) dY}{e^Y + 1} + \int_0^{\infty} \frac{f(Y-\alpha) dY}{e^Y + 1}$$

$$I = \int_0^{-\alpha} f(x) dx + \int_0^{\infty} \frac{[f(Y-\alpha) - f(-Y-\alpha)] dY}{e^Y + 1}$$

وبتعويض $\int_0^{-\alpha}$ بالتكامل $\int_0^{+\infty}$ في التكامل الثاني لأنه عندما

$\alpha \rightarrow -\infty$ فان شكل تابع فيرمي يكون بحيث :

$$\int_0^{-\alpha} \frac{f(-Y-\alpha) dY}{e^Y + 1} \rightarrow 0$$

لنقم بنشر التكامل وفق سلسلة تايلور :

$$f(-\alpha+Y) = f(-\alpha) + Y f'(-\alpha) + \frac{Y^2}{2!} f''(-\alpha) + \frac{Y^3}{3!} f'''(-\alpha) + \dots$$

$$f(-\alpha-Y) = f(-\alpha) - Y f'(-\alpha) + \frac{Y^2}{2!} f''(-\alpha) - \frac{Y^3}{3!} f'''(-\alpha) + \dots$$

ومنه نجد

$$I = \int_0^{-\alpha} f(x) dx + 2f'(-\alpha) \int_0^{\infty} \frac{Y dY}{e^Y + 1} + \frac{1}{3} f'''(-\alpha) \int_0^{\infty} \frac{Y^3 dY}{e^Y + 1} + \dots$$

$$\int_0^{\infty} \frac{Y^{2n-1} dY}{e^Y + 1} = \frac{\pi^{2n}}{2n} (2^{2n-1} - 1) \cdot \frac{B_{2n}}{(-1)^{n+1}} \quad \text{ولكن :}$$

حيث B_{2n} تمثل كثير حدود برنولي والذي يمكن حسابه (انظر

Higher transcendental function H.Bateman, McGraw-Hill, 1953)

$$B_2 = \frac{1}{6}, \quad B_4 = -\frac{1}{30}, \quad B_6 = \frac{1}{42}, \quad B_8 = -\frac{1}{30}$$

ومنه نجد

$$I = \int_0^{-\alpha} f(x)dx + 2f'(-\alpha) \frac{\pi^2}{12} + \frac{1}{3} f'''(-\alpha) \frac{7\pi^4}{120} + \dots$$

$$I = \int_0^{-\alpha} f(x)dx + \frac{\pi^2}{6} f'(-\alpha) + \frac{7\pi^4}{360} f'''(-\alpha) + \dots$$

حساب التكامل

$$I = \int_0^{\infty} \frac{dx}{e^{\alpha+x} + 1}$$

بفرض

$$e^{\alpha} < u < \infty, \quad 0 < x < \infty, \quad u = e^{\alpha+x}$$

$$du = e^{\alpha+x} dx$$

$$dx = \frac{du}{u}$$

$$I = \int_{e^{\alpha}}^{\infty} \frac{du}{u(u+1)}$$

$$I = \int_{e^{\alpha}}^{\infty} \frac{1}{u} du - \int_{e^{\alpha}}^{\infty} \frac{1}{u+1} du$$

$$I = \left[\ln u - \ln(u+1) \right]_{e^{\alpha}}^{\infty}$$

ويكون من أجل غاز فرمي - ديراك :

$$I = \left[\ln \frac{u}{u+1} \right]_{e^{\alpha}}^{\infty} = \ln(1 + e^{-\alpha})$$

ومن اجل غاز بوزه - اينشتاين :

$$I = \left[\ln \frac{u-1}{u} \right]_{e^{\alpha}}^{\infty} - \ln(1 - e^{-\alpha})$$

الحروف اليونانية

Α	α	alpha
Β	β	beta
Γ	γ	gamma
Δ	δ, δ	delta
Ε	ε	epsilon
Ζ	ζ	zeta
Η	η	eta
Θ	θ, θ	theta
Ι	ι	iota
Κ	κ, κ	kappa
Λ	λ	lambda
Μ	μ	mu
Ν	ν	nu
Ξ	ξ	xi
Ο	ο	omicron
Π	π	pi
Ρ	ρ	rho
Σ	σ	sigma
Τ	τ	tau
Υ	υ	upsilon
Φ	φ, φ	phi
Χ	χ	chi
Ψ	ψ	psi
Ω	ω	omega

ثوابت فيزيائية مفيدة

$$C = 2,997995 \cdot 10^8 \text{ m/s}$$

سرعة الضوء

$$h = 6,6253 \cdot 10^{-34} \text{ J.S}$$

ثابت بلانك

$$\hbar = 1,0544 \cdot 10^{-34} \text{ J.S}$$

$$|e| = 1,6021 \cdot 10^{-19} \text{ C}$$

الشحنة العنصرية

$$m_e = 9,1083 \cdot 10^{-31} \text{ Kg}$$

كتلة الالكتران الساكن

$$m_p = 1,67243 \cdot 10^{-27} \text{ Kg}$$

كتلة البروتون الساكن

$$m_n = 1,67474 \cdot 10^{-27} \text{ Kg}$$

كتلة النيوترون الساكن

$$K = 1,3804 \cdot 10^{-23} \text{ J/K}$$

ثابت بولتزمان

$$R = 1,096777 \cdot 10^7 \text{ m}^{-1}$$

ثابت ريدبرغ

$$1 \text{ ev} = 1,6021 \cdot 10^{-19} \text{ J}$$

الطاقة المرتبطة بالالكتران فولت

$$\lambda_{\text{ev}} = 1,2398 \cdot 10^{-6} \text{ m}$$

طول الموجه المرتبط بواحد الكتران فولت

$$\mu_B = 0,92731 \cdot 10^{-23} \text{ Am}^2$$

ماغنتون بور

$$\mu_e = 1,001145358 \mu_B$$

العزم المغناطيسي للالكتران

$$\mu_N = 0,505038 \cdot 10^{-26} \text{ Am}^2$$

الماغنتون النووي

$$\mu_p = 2,79275 \mu_N$$

العزم المغناطيسي للبروتون

$$\mu_n = 1,91342 \mu_N$$

العزم المغناطيسي للنيوترون

$$2,42626 \cdot 10^{-12} \text{ m}$$

$$1,32141 \cdot 10^{-15} \text{ m}$$

$$1,31959 \cdot 10^{-15} \text{ m}$$

$$1 \text{ u.m.a} = 1,6598 \cdot 10^{-24} \text{ Kg}$$

$$1 \text{ Kg} = 5,6100 \cdot 10^{29} \text{ MeV}$$

$$1 \text{ u.m.a} = 931,141 \text{ MeV}$$

طول موجة كومبتون :

- بالنسبة للإلكترون

- بالنسبة للبروتون

- بالنسبة للنيوترون

واحدة الكتلة الذرية

الطاقة المكافئة للكتلة



1. BECKER.R., Theory of heat (1967) p. 380
2. BRIAND.J.,et CLERC.R.L., Thermodynamique ,intia-
tion a la Thermodynamique par la statisti-
que (1983) p. 334.
3. BRUHAT.G., Thermodynamique (1968) p.888.
4. CHAHINE C.,DEVAUX P. , Thermodynamique Statisti-
que (1976) p.474
- 5.DESSAUX O., GOUDMAND P., LANGRAND.F., Thermodyna-
mique statistique chimique (1982) p.154.
6. GERL M.,JANOT C., Thermodynamique et Physique
Statistique (1970) p.212.
7. GIBBS J.W.,Elementary Principles in Statistical
Mechanics (1902) edition(1960) p.208.
8. HULIN-JUNG N., KLEIN J. , Mecanique quantique -
Thermodynamique T.D.(1970) p.304.
9. KITTEL C. Elementary Statistical Physics(1958)
p.228.

10. KITTEL C., Introduction to Solid State Physics
(1976)
11. KITTEL C., KRUEMER H., thermal Physics(1977)p.476.
12. KOMPANEYETS A.S., Theoretical Physics(1961)p.616.
مع الاستفادة من الترجمة العربية لهذا الكتاب
13. LANDAU L., LIFTCHITZ E., Physique Statistique
(1967) p.584.
14. LUMBROSO H., Thermodynamique (problemes resolues)
(1982) p.434.
15. MORSE P.M., Thermal Physics(2ed edition)(1969),
p.432.
16. PACAULT A., Eléments de Thermodynamique Statis-
tique(1963), p.358.
17. POINTON A.J. ,An introduction to Statistical
Physics For student (1967) p.202.
18. REIF F., Fundamentals of Statistical and Ther-
mal Physics (1965)p.652.
Statistical Physics (1965)
19. ROCARD Y., Thermodynamique (1967) p.564.
20. RUMER Yu.B., RYVKIN M.Sh., Thermodynamics,
Statistical physics and Kinetics(1980)p.600.

21. SEARS F.W., Thermodynamics (1953) p.374.
22. SEARS F.W. , SALINGER G.L., Thermodynamics
Kinetic Theory and Statistical Thermodynamics, (1978)p.302.
23. TODA M., KUBO R., SAITÔ N., Statistical Physics
I. " Equilibrium Statistical Mechanics"(1983)
p.249.

د. محمد خير أحمد - مبادئ الإحصاء الرياضي، (١٩٨١) جامعة تشرين.

* * *

المصطلحات العلمية (فرنسي - عربي)

-A-

Adiabatique (transformation...)	كظوم (تحول ٠٠٠٠)
Agitation thermique	هيجان حراري
Aléatoire	عشوائي
Approximation	يكون تقريبا

- des statistiques quantiques

تقريب الاحصاءات الكوانتية

- de Stirling

تقريب ستيرلنج

Assemblé

تجمع ، حشد

-B-

Bande d'energie

عصابة طاقة

Bidimensionnel

ثنائي الابعاد

Binomial (distribution..)

ثنائي الحد (توزيع ٠٠٠٠)

Bosé-Einstein (Répartition de....)

بوزة - آينشتاين (توزع ٠٠٠٠)

-(statistique de....)

بوزة - آينشتاين (احصاء ٠٠٠٠)

Bosons

بوزونات

-C-

Canonique (ensmble..)	قانوني (طاقم...)
Cellules d'extension en phase	خلايا اتساع في فراغ الطور
Chaleurs specifiques	سعات حرارية
Combinaisons	المتوافقات (التراكيب)
Combinatoire(analyse)	التحليل التوافقي
Conditions d'équilibre	شروط التوازن
Configuration	الوضع النسبي ، هيئة
Conservation	انحفاظ (محفوظ)
Continue(du discontinu au...)	مستمر(من المنقطع الى...)
Constante d'équilibre	ثابتة التوازن
contrainte	قييد
Corps noir	جسم أسود
Covolume	حجم مرتبط

-D-

Debye (loi de....)	قانون ديبي
-(température caractéristique de...)	درجة الحرارة المميزة لديبي
Dégénérescence	انطباق
-(cas de faible....)	حالة انطباق ضعيف
-(cas de forte....)	حالة انطباق قوي
Densité(de probabilité)	كثافة (الاحتمال)

Discernables(particules...) متمايزة (جسيمات...)

Discontinu منقطع

Distribution(Loi de....) توزيع أو توزع (قانون ..)

-des particules توزيع الجسيمات

-La plus probable التوزيع الاكثر احتمالا

Disordre عدم انتظام (فوضى)

-E-

Electroniques(somme d'états...)

الالكترونية (مجموع الحالات ...)

Énergie طاقة

-Calorifique - حرارية

- Cinétique - حركية

- Interne - داخلية

- Libre(de HELMHOLTZ) - حرة (لهيلمهولتز)

Ensemble طاقم (انظر الفصل العاشر)

-Canonique الطاقة القانوني

- de GIBBS طاقم جيبس

- grand cononique الطاقم القانوني الكبير

- Microcanonique الطاقم القانوني المجهرى

Enthalpie الانتالبية

-Libre(de GIBBS) الانتالبية الحرة (لجيبس)

Entropie الانتروبية

-Statistique الانتروبية الاحصائية

Équation de SCHRÖDINGER	معادلة شرودينجر
Equilibre	توازن
Equipartition de l'énergie	التوزع المتساوي للطاقة
Espace de phase(s)	فراغ الطور
État quantique	حالة كوانتية
Événement	حدث
Explicite	بشكل ظاهر، بوضوح

-F-

Facteur de symetrie	عامل تناظر
FERMI(intégral de....)	فيرمي (تكامل ٠٠٠)
FERMI-DIRAC(Gaz de...)	غاز فيرمي - ديراك
-(répartition de...)	توزع فيرمي - ديراك
-(Statistique de...)	احصاء فيرمي - ديراك
Fermions	فرميونات
Fluctuation quadratique moyenne	

الترجح التربيعي الوسطي

-relative	الترجح النسبي
-spontanée	ترجح تلقائي (ذاتي)
Fonction	تابع
-de partition	تابع التخاص
- de distribution	تابع توزع
-d'onde	تابع موجة
- - antisymétrique	-- غير تناظر
- - symétrique	-- متناظر

Fonctionnel des intégrales premières

تابع للتكاملات الأولية

Fréquence de vibration

تواتر الاهتزاز

-G-

Gaz

غاز

- complètement dégénéré - تام الانطباق
- de boson الغاز البوزوني
- de fermion الغاز الفيرميوني
- parfait (الكامل) الغاز المثالي
- de photons الغاز الفوتوني
- de phonons الغاز الفونوني

Grandeurs

مقادير

- compatibles - منسجمة
- incompatibles - غير منسجمة
- Thermodynamique - ترموديناميكية

Grand canonique(ensemble...)

القانوني الكبير (الطاقم ...)

-H-

HAMILTONIENNE(function...)

الهاملتوني (التابع)

HEISENBERG (Principe d'indetermination d'...)

مبدأ الشك لهايزنبرغ

Hyperespace

فراغ معمم

Hypersurface

سطح معمم

-I-

Impulsion	دفع (كمية حركة)
Indépendantes(variables...)	مستقلة (متحولات ...)
Indiscernables(particules...)	غير متمايضة (جسيمات ...)
Information(Theorie d '...)	النظرية المعلوماتية
Interaction(particules en..)	

جسيمات متفاعلة أو متبادلة التأثير

Irréversible (transformation)	غير عكوس (تحول ...)
-------------------------------	----------------------

-L-

LAGRANGE(fonction de...)	تابع لاغرانج
- (multiplicateurs de....)	مضارب لاغرانج
Limite thermodynamique	الحد الترموديناميكي
Loi	قانون

-M-

Macroscopique(état...)	ماكروسكوبية (حالة)
MAXWELL-BOLTZMANN(Gaz de...)	غاز ماكسويل بولتزمان
-(statistique de...)	احصاء ماكسويل بولتزمان
Message	رسالة
Microcanonique(ensemble...)	القانون المجهرى (الطاقم ...)
Microscopique(état....)	ميكروسكوبية أو مجهرية (حالة ...)
Molecule diatomique	جزيئة ثنائية الذرة

- Ortho	ذات سبين متوازن (اورتو)
- Para	ذات سبين متعاكس (بارا)
Mouvement de rotation	حركة دورانية
- de translation	انسحابية
- de vibration	اهتزازية
Moyenne	قيمة متوسطة أو وسطى

-N-

NERNST(principe de...)	نرنست (مبدأ)
Niveau d'énergie	سوية طاقة
- de FERMI	سوية فيرمي
Nombre d'états quantiques	عدد الحالات الكوانتية
-d'occupation	عذد الانشغال
Nucleaire(somme d'états...)	النووية (مجموع الحالات ...)

-O-

Observée(valeur...)	ملاحظة (قيمة ...)
Oscillateur harmonique	هزاز توافقي

-P-

Parmutations	تبديلات
Poids statistique	الوزن الاحصائي
Potentiel chimique	الكمون الكيميائي
Pression interne	الضغط الداخلي
Principe d'indiscernabilité	مبدأ عدم التمايز
Probabilité	احتمال

- composé	- مركب
- Thermodynamique	.. ترموديناميكي
- Totale	- كلي

-Q-

Quantiques (statistiques..)	كوانتية (احصاءات..)
Quantité de Chaleur	كمية حرارة
- Thermodynamique	كمية ترمودينا ميكية

-R-

Rayonnement Thermique	اشعاع حراري
Répartition (Loi de...)	توزيع (قانون...)
Réversible (Transformation..)	عكوس (تحول...)
Rotateur libre	دوار حر
- Plan	- مستوي
Rotation	دوران
Rotation (Température caractéristique de...)	

دورانية (درجة الحرارة المميزة للحركة...)

-S-

Singularité	فردية ، وحدانية
Sommes d'états	مجموع الحالات
- - électroniques	- - الالكترونية
- - nucléaires	- - النووية
- - de Rotation	- - الدورانية
- - de translation	- - الانسحابية
- - de vibration	- - الاهتزازية

Spin	سبين
Symétrie(nombre de...)	التناظر (عدد...)
Systeme isolé	جملة معزولة
- ouvert	- مفتوحة
- Parfait	مثالية أو كاملة

-T-

Température caractéristique	درجة حرارة مميزة
- - de translation	درجة الحرارة المميزة للحركة الانسحابية
Trajectoire	مسار
Translation	انسحاب

- bidimensionnel ox,oy

حركة انسحابية وفق اتجاهين من الفراغ

- tridimensionnel

حركة انسحابية وفق الاتجاهات الثلاثة من الفراغ

Travail	عمل
---------	-----

-V-

Valeurs moyennes	قيم وسطى
Variance	تشتت
Vibration	اهتزاز

-(temperateur caracteristique de...)

اهتزازية (درجة الحرارة المميزة للحركة ٢٠٠) .

السرعة (قانون توزيع...)(Loi de distribution des...)

* * *

المصطلحات العلمية (انكليزي - عربي)

- A -

Absolute	مطلق
Absorption	امتصاص
Activation	تنشيط
Additive	جمعي
Adiabatic	اديباتيكي (كظوم)
Amorphous	لا بلوري
Anharmonic	غير توافقي
Anisotropic	متباين المناحي (لامتناهي)
Alkalimetals	معادن قلوية
Antisymmetric	لامتناظر
Angular momentum	عزم زاوي
Avogadro number	عدد افوكادرو
Atom	ذرة
Allowed	مسموحة
Approximation	تقريب
Angular	زاوي
Actual value	القيمة الفعلية او الحالية

- B -

Band	عصابة
Bias	تغذية

Barrier	حاجز
Bonding energy	طاقة الارتباط
Bosons	بوزونات
Black body	جسم اسود
Bond	رابطة
Bose	بوزة (عالم)
Boundary conditions	الشروط الحدية
Bosé Einstein statistics	احصاء بوزة -- آينشتاين

- C -

Capacity	سعة
Carriers	حاملات
Characteristics	ميزات
Change of state	تغير الحالة
Coefficient	معامل
Coherent	منسجم (متوافق)
Conditions	شروط
Condensation	تكاثف
Compensation	تعديل
Conduction	نقل
concentration	تركيز
Conductivity	ناقلية
Conservation	انحفاظ

Critical	حرج
Crystal	بلورة
Current	تيار
Curve	منحني
Continuity	استمرار
Coordinates	احداثيات
Cubic	مكعب
Curie	كوري (عالم)
Collision	تصادم
Chemical potential	الكمون الكيميائي

- D -

Degeneracy	انطباق (انحطاط)
Degenerate	منطبق (منحل)
Density	كثافة
Density of state	كثافة الحالات
Detector	كاشف
Difinition	تعريف
Debye	ديباي عالم
Degree	درجة
Debye characteristic temperature	
Degree of freedom	درجة حرية
Density	كثافة
Diatomic	ثنائي الذرة

Discontinuity	انقطاع ، عدم استمرار
Distribution	توزع
Displacement	انزياح
Distribution function	تابع التوزع
Disorder	عشوائي
Dulong-Petit	العالمان دولنغ وبيتي

- E -

Electron gas	غاز الكتروني
Effect	اثر ، مفعول
Elastic	مرن
Effective	فعال
Electromagnetic	كهرومغناطيسي
Emission	اصدار
Energy	طاقة
Enthalpy	انتالبية
Entropy	انتروبية
Equation	معادلة
Equilibrium	توازن
Equipartition	تساوي التوزع
Equivalent	تكافؤ
Exchange	تبادل
Excitation	اشارة (تهيج)
Exclusion	استبعاد

Einstein	اينشتاين (عالم)
Expansion	تمدد
Extrinsic	لاذاتي
Ensemble	طاقم
Equipartition of Energy	التوزع المتساوي للطاقة

- F -

Factor	عامل (مضروب)
Fermions	فيرميونات
Fermi-Dirac	(العالمان) فيرمي - ديراك
Field	حقل
Free electron	الكثرون حر
Frequency	تواتر
Fluctuation	ترجح
Fluid	سائل
Free energy	طاقة حرة
Fermi energy	طاقة فيرمي
Fluctuation probability	احتمال الترجح
Fuller equilibrium	التوازن الاكمل

- G -

Gas	غاز
Gibbs	جيبس (عالم)
Gradient	تدرج
Generation	تولد

Gravitation	مجموعة جاذبية
Gap	فاصل
Ground state	الحالة الارضية (الصفرية) اخفض حالة ممكنة

- H -

Hamiltonian	موثر هامليتون
Harmonic oscillator	هزاز توافقي
Heat	حرارة
Heat equilibrium	توازن حراري
Heat capacity	سعة حرارية
Homogeneous	متجانس
Heisenberg uncertainty principle	مبدأ الشك للعالم هايزنبرغ
Heterogeneous	غير متجانس
Helmholtz	هلمهولتز (عالم)

- I -

Ion	ايون (شاردة)
Indistinguish	عدم التمايز
Integral	تكامل
Induction	تحريض
Interaction	تأثير متبادل
Internal	داخلي

Intermolecular forces	قوى ترابط جزيئية (بين الجزيئات)
Intensity	شدة
Intrinsic	ذاتي
Ionization	تأين
Isotropic	متماثل المناحي
Isochore	متساوي الحجم
Isolated	معزول
Isotherm	متساوي درجة الحرارة
Isobar	متساوي الضغط
Inert gas	غاز خامل
Information theory	النظرية المعلوماتية

- J -

Joule	جول (العالم)
Junction	وصلة (اتصال)

- L -

Lattice	شبكة
Level	سوية
Lifetime	عمر
Localized	متوقع (متركز)
Longitudinal	طولي
Luminescence	تألق
Lagrange	لاغرانج (عالم)
Laplace	لابلاس

Low	اقانون
Linear	خطي

- M -

Macroscopic	ماكروسكوبي
Mass	كتلة
Maxwell	ماكسويل (عالم)
Mean value	قيمة وسطى
Microscopic	ميكروسكوبي
Mean velocity	سرعة وسطى
Mean free path	مسار حر وسطى
Magnetization	تمغنط
Mobility	حركية
Mode	نمط
Magnetic moment	العزم المغناطيسي
Mole	مول
Molecule	جزيئه
Momentum	كمية الحركة (الدفع)
Monoatomic	وحيد الذرة
Motion	حركة
Model	نموذج
Mean square fluctuation	الترجح التربيعي الوسطي
Maxwell-Boltzman distribution	توزع ماكسويل - بولتزمان
Mean square velocity	السرعة التربيعية الوسطية

Maxwell-Boltzman statistics

احصاء ماكسويل - بولتزمان

- N -

Negative

سالب

Nernst

نرنست (عالم)

Normal condition

شرط نظامي

Normalization

تنظيم (معايرة)

Number

عدد

- P -

Parameter

وسيط

Particle

جسيمة

Pauli

باولي (عالم)

Phase

طور ، طوري

Pauli exclusion principle

مبدأ الاستبعاد لباولي

Phase transition

تحول طوري

Phonon

فونون

Photon

فوتون

Phenomenon

ظاهرة

Planck

بلانك (عالم)

Point

نقطة

Positive

موجب

Potential

كمون

Pressure

ضغط

Principle

مبدأ

Probability	احتمال
Process	عملية وآلية (تحول)
Pure	نقي
Permeability	نفوذية
Period	بعد (فترة)
Perturbation	اضطراب
probability distributions	توزيعات الاحتمال

- Q -

Quantum	كم (كوانتم) كومي
Quantization	تكميم
Quantum mechanics	ميكانيك كوانتي
Quantity	كمية ، مقدار
Quasi-	شبه
Quasi-Particle	شبه جسيم او شبه جسيمة
Quasielastic	شبه مرن

- R -

Ratio	نسبة
Radiation	اشعاع
Rayleigh-Jeans	العالمان رايلي وجينز
Relative	نسبي
Relation	علاقة
Region	مجال ، منطقة
Random	عشوائي

Reciprocal	عكسي
Rectangular	مستطيل
Reduced	مختزل
Relaxation	استرخاء
Resistivity	مقاومة نوعية
Root mean square	الجذر التربيعي الوسيط

- S -

Saturation	اشباع
Scalar	سلمي
Scattering	تبعثر (تشتت)
Series	سلسلة
Semiconductor	نصف ناقل
Semipermeable	نصف منفذ
Solid	صلب
Source	منبع
Spin	سبين
Splitting	انشطار
Specific heat	حرارة نوعية
Spectrum	طيف
Spontaneous	تلقائي
Stability	استقرار
State	حالة
Stationary	مستقر

Statistical	احصائي
Stefan	ستيفان (عالم)
Sum of state	مجموع الحالات
System	جملـة
Structure	بنية
Steady state	حالة مستقرة

- T -

Theorem	نظرية (مبرهنة ، دعوى)
Tetragonal	رباعي
Theory	نظرية
Transition	تحول
Transversal	عرضي
Transform	تحويل
Thermal	حراري
Thermodynamic	ترموديناميك (التحريك الحراري)
Total	كلي

- U -

Universal	عالمي
Unit	وحدة
Unperturbed	غير مضطرب

- V -

Vacuum	خلاء
Value	قيمة
Vibration	اهتزاز

dnor

Viscosity

لزوجة

Volume

حجم

Vector

شعاع (متجهة)

- W -

Width of distribution

عرض مجال التوزيع

Weighing Factor

معامل الوزن

* * *

الفهرس

الفصل الاول

مبادئ نظرية الاحتمالات

- 1.1 - الجمل - المقادير الماكروسكوبية والميكروسكوبية ١٣
- 1.2 - الحاجة الى دراسة احصائية ١٤
- 1.3 - قوانين الاحتمال ١٦
 - 1.3.A تعريف الاحتمال ١٦
 - 1.3.B الاحداث المتنافية ١٧
 - 1.3.C الاحتمال الاحصائي ١٧
 - 1.3.D الاحتمالات المركبة أو المشروطة: قاعدة جداء الاحتمالات ١٨
 - 1.3.E الاحتمالات الكلية أو الشاملة: قاعدة جداء الاحتمالات ١٨
- 1.4 - بعض القواعد الاساسية في الحساب العددي ١٩
 - 1.4.A قاعدة الـ nxm ١٩
 - 1.4.B قاعدة التبديلات الممكنة (أو التبادلات) ١٩
 - 1.4.C قاعد المتوافقات (التراكيب) ٢١
- 1.5 تطبيقات ٢٣
 - 1.5.A التوزيع الثنائي لخدمثال: ترجحات كثافة غاز مثالي ٢٣
 - 1.5.B توزيعات الاحتمال ٢٤
 - 1.5.C القيم الوسطى ٢٦
 - 1.5.D التشتت (الترجحات) ٢٧

الفصل الثاني

الاسس التي تقوم عليها الفيزياء الحرارية

- ٣٣ 2.1- المبادئ الأساسية
- ٣٩ 2.2- نتائج من الميكانيك الكوانتي

الفصل الثالث

قوانين التوزع الاحصائية

- ٤٥ 3.1- طرح المسألة الاحصائية
- ٤٧ 3.2- امثلة على التوزيعات
- ٥٠ 3.3- توزيع البوزونات
- ٥٢ 3.4- توزيع الفرميونات
- ٥٤ 3.5- تطبيق التوزيعات على امثال المدروس في الفقرة (3.2)
- ٥٤ 3.6- تحويل علاقات التركيب
- ٥٦ 3,7- ايجاد التابع $N=f(g_i, \epsilon_i)$
- ٥٧ 3.8- قوانين التوزع
- ٥٧ 3.8.A- الاحصاءات الكوانتية
- ٦٠ 3.8.B- تقريب الاحصاءات الكوانتية - احصاء ماكسويل بولتزمان

الفصل الرابع

التوزعات الاحصائية والمقادير الترموديناميكية

- ٦٥ 4.1- تمهيد
- ٦٦ 4.2- فراغ الطور

- ٦٧ 4.3- الاحتمال والانتروبية (مبدأ بولتزمان)
- ٧١ 4.3.A- علاقة الانتروبية الاحصائية
- ٧٢ 4.4- تعيين الوسائط α و β لقوانين التوزيع
- ٧٢ 4.4.A- تعيين الوسيط α
- ٧٤ 4.4.B- تعيين الوسيط β
- ٧٨ 4.5- التفسير الاحصائي لكمية الحرارة والعمل لمجموعة جسيمات
- ٨١ 4.6- حساب التوابع الترموديناميكية بتطبيق الاحصاءات الكوانتية
- ٨١ 4.6.A- الاحتمال الترموديناميكي
- ٨٢ 4.6.B- التوابع الترموديناميكية

الفصل الخامس

مجموع الحالات (تابع التماس)

- ٩١ 5.1- تعاريف
- ٩٣ 5.2- حساب مجموع الحالات
- ٩٣ 5.3- مجموع الحالات للحركة الانسحابية z_t
- ٩٥ 5.4- مجموع الحالات النووي z_N
- ٩٨ 5.5- مجموع الحالة للحركة الدورانية z_r
- ٩٨ 5.5.A- حالة جزيئة ثنائية الذرة
- ١٠٢ 5.5.B- حالة جزيئة متعددة الذرات
- ١٠٤ 5.6- مجموع الحالات الاهتزازية z_v
- ١٠٥ 5.7- مجموع الحالات الالكترونية z_e
- ١٠٧ 5.8- خاصية التجميع والتوابع الترموديناميكية
- ١٠٩ 5.9- تطبيق على دراسة التوازنات الكيميائية
- ١١٣ 5.10- توزيع الجسيمات في الحالات الكوانتية المختلفة

- ١١٤ 5.10.A - اشغال سويات الطاقة الاهتزازية
- ١١٨ 5.10.B - اشغال سويات الطاقة الدورانية
- ١٢٥ 5.11 - الانتقال من المنقطع الى المستمر
- ١٢٥ 5.11.A - طرح المسألة
- ١٢٩ 5.11.B - دراسة الحركة الانسحابية
- ١٢٩ 5.11.B.1 - حساب مجموع الحالات (تابع التحاص)
- ١٣١ 5.11.B.2 - حساب عددالحالات الكوانية في عمادة طاقة
انسحابية
- ١٣٥ 5.11.C - دراسة الحركة الدورانية

الفصل السادس

تطبيقات الاحصاء التقليدي (احصاء ماكسويل - بولتزمان)

- ١٣٧ 6.1 - الغاز المثالي احادي الذرة
- ١٤٣ 6.2 - توزيع ماكسويل لسرع الجزيئات
- ١٤٣ 6.2.A - السرعة الوسطى
- ١٤٤ 6.2.B - السرعة التربيعية الوسطية
- ١٤٥ 6.2.C - السرعة الاكثر احتمالا
- ١٤٧ 6.2.D - السرعة النسبية الوسطى
- ١٤٨ 6.3 - توزع الجزيئات في الفراغ (المعادلة البارامترية)
- ١٥٢ 6.4 - مبدأ التوزع المتساوي للطاقة
- ١٥٦ 6.5 - السعة الحرارية في الغازات
- ١٥٦ 6.5.A - السعة الحرارية في الغازات احادية الذرة
- ١٥٦ 6.5.B - السعة الحرارية في الغازات ثنائية الذرة
- ١٦٨ 6.6 - غاز ماكسويل - بولتزمان ذو سويتي الطاقة

الفصل السابع

تعيين الوسيط α في الاحصاءات الكوانتية

- 7.1 - مقدمة ١٨٣
- 7.2 - دراسة غاز البوزونات أالفيرميونات في الحركة ١٨٥
- الانحلابية ثلاثية الأبعاد
- 7.2.A - حالة الانطباق الضيف ١٨٧
- 7.2.B - حالة الانطباق القوي ١٨٨
- 7.3 - دراسة غاز البوزونات أوالفيرميونات في الحركة ١٩٠
- الانحلابية ثنائية الأبعاد

الفصل الثامن

تطبيقات الاحصاء الكوانتي I (احصاء بوزة - اينشتاين)

- 8.1 - اشعاع الجسم الاسود - الغاز الفوتوني ١٩٣
- 8.2 - استنتاج قانون بلانك ١٩٦
- 8.3 - مناقشة علاقة بلانك ٢٠١
- 8.4 - استخراج علاقة ستيفان - بولتزمان ٢٠٢
- 8.5 - الخواص الترموديناميكية للغاز الفوتوني ٢٠٨
- 8.6 - الغاز الفوتوني والسعة الحرارية في الاجسام الصلبة ٢١٠
- 8.6.A - مقدمة ٢١٠
- 8.6.B - تفسير قيم السعة الحرارية في الاجسام الصلبة ٢١٢

الفصل التاسع

تطبيقات الاحصاء الكوانتي II (احصاء فيرمي - ديراك)

- ٢٢٧ 9.1 - الغاز الالكتروني في المعادن
٢٢٩ 9.2 - تابع توزع فيرمي - ديراك
٢٣٤ 9.3 - ايجاد طاقة فيرمي
٢٣٣ 9.4 - ايجاد علاقة الطاقة الوسطى في الغاز الالكتروني
٢٣٦ 9.5 - علاقة السعة الحرارية في المعادن
٢٤١ 9.6 - الاصدار الالكتروني الحراري .

الفصل العاشر

مدخل الى احصاء جيبس

مفهوم طاقم جيبس والانتروبية الاحصائية

- ٢٤٦ 10.1 - تذكرة بالميكانيك الكلاسيكي
٢٤٩ 10.2 - الجمل والطواقم
٢٥٤ 10.3 - نظرية ليوفيل
٢٥٧ 10.3.A - مثال على حساب متوسط الطاقم ومتوسطة الجملة
٢٥٨ 10.3.B - كثافة احتمال الطاقم
٢٥٩ 10.4 - الطواقم والحد الترموديناميكي
٢٦٠ 10.5 - توابع التوزع في فراغ الطور Γ
٢٦٣ 10.6 - الحالات الكوانتية وفراغ الطور Γ
٢٦٥ 10.7 - الانتروبية وطواقم جيبس
٢٦٥ 10.7.A - الانتروبية والمعلومات
٢٦٧ 10.7.B - النظرية المعلوماتية

الفصل الحادي عشر

احصاء حيبس

- ٢٧٥ 11.1 - مقدمة
- ٢٧٧ 11.2 - الطاقم القانوني المجهرى $[N, U, V]$
- ٢٧٨ 11.3 - الطاقم القانوني $[N, T, V]$
- ٢٨٠ 11.3.A - قانون التوزع للطاقم القانوني $[N, T, V]$
- ٢٨٤ 11.3.B - تعيين قيمة الوسيط β في الطاقم القانوني $[N, T, V]$
- ٢٨٥ 11.3.C - العلاقات الترموديناميكية لجملة جسيمات مرتبطة
في الطاقم القانوني $[N, T, V]$
- ٢٨٦ 11.4 - تأثير التركيب الكيميائي
- ٢٨٩ 11.5 - الطاقم القانوني الكبير $[\mu, T, V]$
- ٢٩٣ 11.5.A - تعيين قيم الوسطاء β و δ في الطاقم القانوني
الكبير $[\mu, T, V]$
- ٢٩٤ 11.5.B - العلاقات الترموديناميكية لجملة جسيمات مرتبطة
في الطاقم القانوني الكبير $[\mu, T, V]$
- ٢٩٧ 11.6 - حالة خاصة لجملة جسيمات غير مرتبطة
- ٢٩٧ 11.6.A - عبارة تابع التحاص القانوني \mathcal{Z} بدلالة التابع
 \mathcal{Z} لجسيمة لا تتبادل التأثير مع غيرها (غير مرتبطة)
- ٣٠١ 11.6.B - عبارة تابع التحاص القانوني \mathcal{Z} بدلالة التابع \mathcal{H}
لجسيمة لا تتبادل التأثير مع غيرها (غير مرتبطة)
- ٣٠٣ 11.7 - الاحصاءات الكوانتية .

الفصل الثاني عشر

نظرية الترجحات

- ٣٠٧ 12.1 - مقدمة
- ٢٠٩ 12.2 - ترجحات الطاقة الداخلية في الطاقم القانوني $[N, T, V]$
- ٣١٢ 12.3 - ترجحات عدد الجسيمات في الطاقم القانوني الكبير $[\mu, T, V]$
- ٣١٦ 12.4 - الكميات الترموديناميكية
- ٣٢١ 12.5 - احتمال الترجح
- ٣٢٣ 12.6 - ترجحات الكميات الترموديناميكية
- ٣٢٦ 12.7 - تطبيق: ترجحات الحجم ودرجة الحرارة
- ٣٢٩ مسائل عامة

الملاحق

- ٣٣٩ - الملحق I طريقة مضارب لاغرانج
- ٣٤٣ - الملحق II تقريب سترلنغ
- ٣٤٥ - الملحق III تكاملات Γ
- ٣٤٩ - الملحق IV حساب تقريبي لتكامل فيرمي عندما $\alpha \rightarrow -\infty$
- ٣٥٣ - الاحرف اليونانية
- ٣٥٤ - ثوابت فيزيائية مفيدة
- ٣٥٧ - المراجع
- ٣٦١ - المصطلحات العلمية (فرنسي - عربي)
- ٣٧١ - المصطلحات العلمية (انكليزي - عربي)
- ٣٨٥ - الفهرس

جدول الخطأ والصواب

رقم الصفحة	السطر	الخطأ	الصواب
١٦	٥ من الأسفل	المرات $N \dots$ (ونسمي \dots)	المرات $n \dots$ (ونسميه \dots)
٢٣	٦	ترجمات	ترجمات
٢٤	٣	المتمة	المعممة
٢٦	محور فواصل الشكل	n	n / N
٢٨	٢	$\sqrt{\frac{N}{2}}$	$\sqrt{N} / 2$
٢٨	٧ من الأسفل	كثافة الترجيح	الكثافة
٢٩	١٠	$W(a) - W(b)$	$W(b) - W(a)$
٣٣	٢	الفيزياء الحرارية	الفيزياء الحرارية الاحصائية
٣٧	١٢	الموجي للتابع	للتابع الموجي
٣٨	١٠	متناظرة	متناظر
٥١	٥ من الأسفل	$N!$	$N_i !$
٥٢	٤	C	C_i
٥٣	١١ و ١٥	تراتب	تراكيب
٥٥	العلاقة (3.4)	$+ g_i \left(\frac{N_i}{g_i} + \right.$	$+ g_i \cdot \text{Ln} \left(\frac{N_i}{g_i} + \right.$
٥٩	٣ من الأسفل	$\sum_i N_i - \epsilon_i$	$\sum_i N_i \epsilon_i$
٦٨	٦ من الأسفل	الحالة ١	حالة ١

الصواب	الخطأ	السطر	رقم الصفحة
$\sum_i P_i = 1$	$S = \sum_i P_i = 1$	١	٧٢
$+N \ln N$	$+N \ln Z$	٥	٧٥
$\sum_i N_i \varepsilon_i + \sum_i N'_i \varepsilon'_i$	$\sum_i (N_i \varepsilon_i + N_i^1 \varepsilon_i^1)$	١١	٧٦
$-\alpha'$	$-\alpha$	٥	٧٧
U/T	U/KT	٨	٩٠
بحيث	التي	١٠	٩٥
$e^{-J(J+1) \frac{\theta_r}{T}}$	الأس	العلاقة (5.20)	٩٨
عدد كتلة زوجي	عدد زوجي	٨	٩٩
\sum_0^∞	$\sum_{-\infty}^{+\infty}$	٥ يمين	١٣٠
ε	ε_i	٢ و ٣ يسار	١٣٠
2π	4π	٢	١٣٤
dS	$d\varepsilon$	٤	١٣٤
$dg = \frac{1}{h} \int$	$dg = \int$	٨ يسار	١٣٦
$e^{-a x^2}$	$e^{a x^2}$	٦	١٤٤
T	t	١	١٦٩
\overline{u}	\overline{U}	٨	٢١٣
$\overline{u}(\omega)$	$\overline{\varepsilon}(\omega)$	٣	٢١٩

رقم الصفحة	السطر	الخطأ	الصواب
٢٤٨	العلاقة (10.5)	الحد الأخير	احذف النقطة فوق ∂q_i من المقام
٢٥٦	٢ من الأسفل	ينعدم تابع	ينعدم مشتق تابع
٢٦٢	٤ من الأسفل	معروفة	معدومة
٢٦٣	٤ و ٥ من الأسفل	$H\psi$	$\widehat{H} \psi$
٢٦٨	٧ من الأسفل	تقريباً من	تقريباً أكبر من
٢٧٠	٥ من الأسفل	المثثلة	المثل
٢٧١	٨	$\sum W$	$\sum W - 1$
٢٨١	١ و ٢ من الأسفل يمين	$\frac{\partial \text{Ln } W}{\partial \eta_i}$	$\frac{\partial \text{Ln } W}{\partial N_i}$
٢٨٩	٧	$\left(\frac{\partial H}{\partial n_i} \right)_{S, V, n_j}$	$\left(\frac{\partial H}{\partial n_i} \right)_{S, P, n_j}$
٢٩٦	٥	$-\frac{NU}{T}$	$-\frac{N\mu}{T}$
٢٩٧	العلاقة (11.52) تصحح		$P = KT \frac{\text{Ln } \zeta}{V} = KT \left(\frac{\partial \text{Ln } \zeta}{\partial V} \right)_{\mu, T}$
٣٠٣	١	غير متممايزة	متممايزة
٣٠٥	العلاقة (11.70)	$\sum_{n_i} e$	$\sum_{n_i} n_i e$
٣٠٦	٥	$(1 + e$	$(1 \mp e$
٣١٣	٣		الحد الأول من الطرف الأيمن للمعادلة $\sum_N Ne$
٣٣٠	تمرين ٤	Z	Z